ГЛАВНОЕ УПРАВЛЕНИЕ ГИДРОМЕТЕОРОЛОГИЧЕСКОЙ СЛУЖБЫ
ПРИ СОВЕТЕ МИНИСТРОВ СССР

УПРАВЛЕНИЕ ГИДРОМЕТЕОРОЛОГИЧЕСКОЙ СЛУЖБЫ ТАДЖИКСКОЙ ССР
ИНСТИТУТ ГЕОГРАФИИ АКАДЕМИИ НАУК СССР

РЕСУРСЫ ПОВЕРХНОСТНЫХ ВОД СССР

КАТАЛОГ ЛЕДНИКОВ СССР

ТОМ 14

СРЕДНЯЯ АЗИЯ

ВЫПУСК 3

Амударья

Часть 9

БАССЕЙН р. ОБИХИНГОУ

ГИДРОМЕТЕОИЗДАТ
ЛЕНИНГРАД. 1978

ГЛАВНОЕ УПРАВЛЕНИЕ ГИДРОМЕТЕОРОЛОГИЧЕСКОЙ СЛУЖБЫ
ПРИ СОВЕТЕ МИНИСТРОВ СССР

УПРАВЛЕНИЕ ГИДРОМЕТЕОРОЛОГИЧЕСКОЙ СЛУЖБЫ ТАДЖИКСКОЙ ССР
ИНСТИТУТ ГЕОГРАФИИ АКАДЕМИИ НАУК СССР

РЕСУРСЫ ПОВЕРХНОСТНЫХ ВОД СССР

КАТАЛОГ ЛЕДНИКОВ СССР

ТОМ 14

СРЕДНЯЯ АЗИЯ

ВЫПУСК 3

Амударья

Часть 9

БАССЕЙН р. ОБИХИНГОУ

Г. М. ВАРНАКОВА, О. В. РОТОТАЕВА

ГИДРОМЕТЕОИЗДАТ
ЛЕНИНГРАД·1978

УДК 556.124

Каталог ледников бассейна р. Обихингоу составлен и отредактирован в отделе гляциологии Института географии АН СССР. Каталог рекомендован к печати секцией гляциологии Междуведомственного геофизического комитета при Президиуме АН СССР.

Ответственный редактор
В. М. КОТЛЯКОВ

Редакторы
О. Н. ВИНОГРАДОВ, Г. И. КОНОВАЛОВА

В Каталоге дается характеристика географического положения, морфологии, климатических условий существования ледников малоизученного района современного оледенения. Приводятся основные сведения о ледниках, схемы расположения ледников.

Рассчитан на географов, гляциологов, гидрологов, метеорологов.

К $\frac{20806\text{-}041}{069(02)\text{-}78}$ без объявл

© Управление гидрометеорологической службы Таджикской ССР (УГМС ТаджССР), 1978 г.

ПРЕДИСЛОВИЕ

Каталог ледников бассейна р. Обихингоу является частью многотомного издания «Каталога ледников СССР», входящего в свою очередь в качестве самостоятельного раздела в издание «Ресурсы поверхностных вод СССР».

Каталог ледников бассейна р. Обихингоу входит в том 14— Средняя Азия, вып. 3— Амударья, разделенный на 18 частей. Настоящий каталог является девятой частью этого выпуска. Деление Каталога на тома, выпуски и части приведено ниже.

Каталог состоит из пяти основных таблиц:

Таблица I — Основные сведения о ледниках (с пояснениями),

Таблица II — Список гидрометеорологических станций и постов в районе ледников,

Таблица III — Список суммарных осадкомеров и снегомерных пунктов в районе ледников,

Таблица IV — Экспедиционные и стационарные исследования ледников,

Таблица V — Список работ, содержащих сведения о ледниках.

Таблицы составлены в соответствии с требованиями «Руководства по составлению Каталога ледников СССР». Основные таблицы Каталога нумеруются римскими цифрами.

Каталог содержит характеристику географического положения, климатических условий и морфологии ледников, схему размещения в бассейне гидрометеорологических станций и постов, суммарных осадкомеров и снегомерных пунктов, орографическую схему района, а также графический и табличный материал.

В табл. I приведены данные о линейных размерах и площади каждого ледника, его морфологическом типе, экспозиции, высоте над уровнем моря. Даются сведения о положении фирновой линии, площадях абляции и аккумуляции, площадях с моренным покрытием и без него. Ледники в таблице сгруппированы по малым речным бассейнам, названия которых вынесены в подзаголовки. Там же даются названия и экспозиция склонов основных хребтов, на которых лежат ледники в этом бассейне.

Морфометрические данные о ледниках были получены при измерениях по крупномасштабных топографических картах, при этом не учитывались поправки на абсолютную высоту местности и уклоны ее поверхности. При нанесении на карту гляциологической нагрузки (контуров ледника в целом, контуров языка, границы между погребенной частью и мертвыми льдами, положения фирновой линии и границы питания на леднике, начала ледника, снежных пятен, относящихся к леднику, границ между ледниками и т. д.), использовались материалы аэрофотосъемок разных лет. Они явились основным источником для уточнения и исправления гляциологической нагрузки на топографических картах.

Дешифрирование аэрофотоснимков производилось во время полевых работ Таджикско-Памирской высокогорной гляциологической экспедиции Института географии АН СССР (ИГАН), организованной в 1968 г. Летом 1969 г. было произведено совместно с УГМС ТаджССР аэровизуальное обследование почти всего района оледенения. Ввиду того, что зима 1968/69 г. была необычно многоснежной и дешифрирование даже в конце лета было затруднено, в 1970 г. произведено повторное дешифрирование аэрофотоснимков бассейна р. Обимазар, в 1971 г.— бассейна р. Гармо.

Аэровизуальное дешифрирование выполнялось в конце августа с борта вертолета МИ-4. Перед каждым облетом тщательно изучалась трасса маршрута по картам и аэрофотоснимкам, до полетов снимки были отдешифрированы под стереоскопом, а ледники последовательно пронумерованны. Дешифрирование в полете производилось двумя исполнителями. Во время полетов корректировались границы ледников, отмечались все расхождения с аэрофотоснимками и все случаи отступания или наступания ледников по сравнению с их положением на дату аэрофотосъемки, определялись морфологические типы ледников и системы соподчинения притоков, входящих в сложные долинные ледники, отмечалось положение границы сезонного снега на поверхности ледников и по возможности фирновой линии, велись аэровизуальные наблюдения за характером питания ледников (лавинами и т. п.), их моренным покрытием, мертвыми льдами и т. д.

В полете производилось фотографирование ледников. Фиксировались сложные участки в их верховьях, рисунок морены, контакты ледников, концы языков. Впоследствии эти фотографии, сделанные в полете О. В. Рототаевой, стали ценным материалом при составлении табл. I.

Сразу после прибытия в полевой лагерь, материалы облетов обрабатывались, вновь просматривались снимки, фиксировались замеченные изменения, сличались отметки, затем составлялась

рабочая таблица данных аэровизуального дешифрирования.

Камеральное дешифрирование производилось по нетрансформированным аэрофотоснимкам при помощи стереоскопа. Окончательно отдешифрированный контур ледника визуально переносился на крупномасштабную топографическую карту. Этот способ заключается в том, что участок аэрофотоснимка подробно сличается с соответствующим участком карты и контур со снимка тщательно перерисовывается на карту.

Морфологический тип и общая экспозиция ледников определялись по аэрофотоснимкам и топографическим картам с использованием фотографий и натурных наблюдений. Морфологические типы ледников соответствуют классификации, рекомендованной «Руководством по составлению Каталога ледников СССР». Исключение составляют ледники склонового типа. Характеристика ледников этого типа была дана авторами в Каталоге ледников СССР, том 14, вып. 3, часть 6 — Бассейн р. Сурхоб.

Измерение длин и площадей ледников производилось по специально подготовленной крупномасштабной топографической карте (с нанесенными на нее исправленными контурами ледников) дважды разными исполнителями, дополнительный контроль осуществлялся избыточным числом измерений. Длина ледника, т. е. расстояние по его оси от конца языка до верховьев самого длинного из питающих ледниковых потоков, измерялась при помощи циркуля с постоянным раствором, равным в зависимости от протяженности объекта 1 или 2 мм. Так же определялась наибольшая длина открытой части ледника. Границу распространения моренного покрова на поверхности ледника проводили при дешифрировании аэрофотоснимков. При определении положения нижней границы ледника, когда его поверхность скрыта под мореной, дешифрирование производилось по косвенным признакам: боковым трещинам, формам термокарстового рельефа, выходу водотока на конце ледника и др. Длина ледника дается с точностью до 0,1 км.

Площади ледников измерялись палеткой с длиной стороны квадрата 1 мм. Сходимость результатов отдельных измерений достигалась в соответствии с указаниями «Руководства по составлению Каталога ледников СССР». Полученная как средняя из двух или нескольких равноточных измерений площадь ледника вписывалась с точностью до 0,1 км^2 в соответствующие графы табл. I. В тех случаях, когда площадь области абляции ледника составляла менее 0,1 км^2, в графах 15 и 16 ставился прочерк и давалось соответствующее пояснение.

В конце каждой группы ледников, выделенных по их принадлежности к определенному речному бассейну, в графе 8 приводилась сумма площадей ледников всей группы. Если в данной группе имелись ледники площадью менее 0,1 км^2, то их количество и суммарная площадь записывались ниже итоговых данных вне граф таблицы и вслед за этим приводилась общая сумма площадей всех ледников. Если в выделенной группе ледников имелись ледники, площадь которых определена с пониженной точностью (результат измерений приведен в скобках), итоговая площадь также давалась в скобках. Высотные отметки характерных точек ледников приводятся с точностью до 10 м, высота фирновой линии — с точностью до 50 м.

Положение фирновой линии определялось по аэрофотоснимкам и уточнялось при аэровизуальном обследовании. В графе 14 табл. I указывается дата аэрофотосъемки. В том случае если аэрофотоснимки не позволили установить положение фирновой линии на леднике, высота ее определялась лишь на основании наблюдений с воздуха. При этом в графе 14 ставился знак «а.-виз.» — аэровизуальный способ определения. В некоторых случаях, главным образом у ледников, в питании которых значительную роль играют лавины (такой тип питания широко распространен в районе), в табл. I дается средняя высота фирновой линии, понижающейся вдоль борта ледника, закрытого лавинными конусами.

На многих ледниках района бассейн накопления снега невелик и занимает относительно пологую часть цирка, в то время как над ним на крутых высоких склонах висят разрозненные, разбитые трещинами фирновые поля. При подсчетах наиболее крупные из них включены в площадь фирновой области ледника. При измерении длины такого ледника и высоты его верхней точки учитывалась лишь верхняя отметка непрерывного фирнового поля ледника.

Ввиду отсутствия данных о толщине ледников графа 17 не заполнена.

После табл. I в Каталоге помещены пояснения к ней, где в необходимых случаях представлены дополнительные сведения о ледниках. В таких случаях в графе 1 табл. I у номера ледника, к которому имеется пояснение, ставится знак звездочки (*).

Таблица II содержит список гидрометеорологических станций и постов в районе ледников, данные наблюдений которых могут быть использованы для суждения о климатических условиях существования современного оледенения. Станции расположены в долине р. Обихингоу на значительном расстоянии от ледников. Схема размещения станций и постов показана на рис. 45.

Таблица III содержит список суммарных осадков и снегомерных пунктов. Все снегопункты и два осадкомера (Яфуч у западной границы бассейна и у кишл. Пашимгар в восточной его части) расположены вблизи р. Обихингоу. Остальные шесть осадкомеров установлены ближе к ледниковой зоне, недалеко от концов ледников (см. рис. 45).

Согласно „Руководству по составлению Каталога ледников СССР" ледники бассейна р. Обихингоу имеют единую нумерацию (по часовой стрелке). Так, № 1—61 присвоены ледникам нижних притоков р. Обихингоу, № 62—186 — ледникам бассейна р. Рагноу и правых притоков рек Обихингоу и Киргизоб, № 187—377 — ледникам бассейнов рек Гандо, Гармо и Бохуд, № 378—549 — ледникам бассейнов рек Обимазар, Писода и Лаур. Эти участки территории выделены при составлении Каталога как отдельные районы.

Литературные данные о ледниках бассейна р. Обихингоу представляют почти всегда общее морфологическое описание отдельных ледников

(см. табл. IV, V). Первое посещение ледников района относится к 1897—1899 гг., когда В. И. Липский открыл и описал более 50 ледников бассейна р. Обихингоу. Здесь работал замечательный исследователь Памира Я. С. Эдельштейн. Обе экспедиции снаряжались по поручению Русского географического Общества. В 1913 г. в западной части хр. Петра Первого работала экспедиция австронемецкого альпийского клуба под руководством геолога Р. Клебельсберга. В 1916 г. русский астроном Я. И. Беляев и его помощник П. И. Беседин составили схематическую карту долины и ледника Гармо.

В 1931 и 1932 гг. во время работ Таджикской комплексной экспедиции АН СССР топографом И. Г. Дорофеевым выполнена фототеодолитная съемка долин рек Киргизоб, Гармо, Бохуд, нанесены на карту ледники Девлохан, Гандо, Гармо и их притоки. К. К. Марков, работавший тогда в составе высокогорной группы Н. В. Крыленко, составил морфологическое описание ледников Гармо, Вавилова, Шокальского и Девлохан, занимался вопросами геоморфологии района и древнего оледенения.

В 1957 г. УГМС ТаджССР начала периодические наблюдения за положением концов некоторых ледников Памира. В бассейне р. Обихингоу в программу наблюдений включены ледники Гармо, Мазарский и Сытарги восточный. В 1969—1972 гг. гидрографическая партия УГМС ТаджССР проводила летние стационарные работы на леднике Скогач, включившие метео- и гидрологические наблюдения, измерения скоростей движения льда и абляции, снегосъемки в верховьях ледника.

В 1969 и 1970 гг. в бассейне р. Обихингоу проводила работы экспедиция ИГАН, организованная с целью каталогизации ледников. Кроме аэровизуального дешифрирования, в задачи экспедиции входило изучение режима фирновых областей ледников. Эти работы были проведены на ледниках Писода, Скогач, Сытарги восточный.

Настоящая часть Каталога ледников СССР подготовлена и составлена в отделе гляциологии ИГАН. В полевых работах, проводившихся с целью каталогизации ледников, принимали участие сотрудники УГМС ТаджССР А. Г. Санников, А. А. Яблоков. В технической обработке материалов и их оформлении большую помощь оказали лаборанты отдела Л. Н. Тарасова и Л. В. Петрова.

ДЕЛЕНИЕ КАТАЛОГА ЛЕДНИКОВ СССР НА ТОМА, ВЫПУСКИ И ЧАСТИ

Подразделение Каталога ледников СССР на тома и выпуски полностью соответствует подразделению на тома и выпуски справочного издания «Ресурсы поверхностных вод СССР» (рис. 1), которое состоит из 20 томов, характеризующих всю территорию Советского Союза. В основу разделения справочника на тома положен принцип принадлежности территории к крупным речным бассейнам.

Поскольку области современного оледенения находятся не в каждом из 20 районов—томов издания «Ресурсы поверхностных вод СССР», Каталог ледников СССР составляется лишь на районы, охватываемые томами 1, 3, 8, 9, 13—17, 19, 20 этого издания.

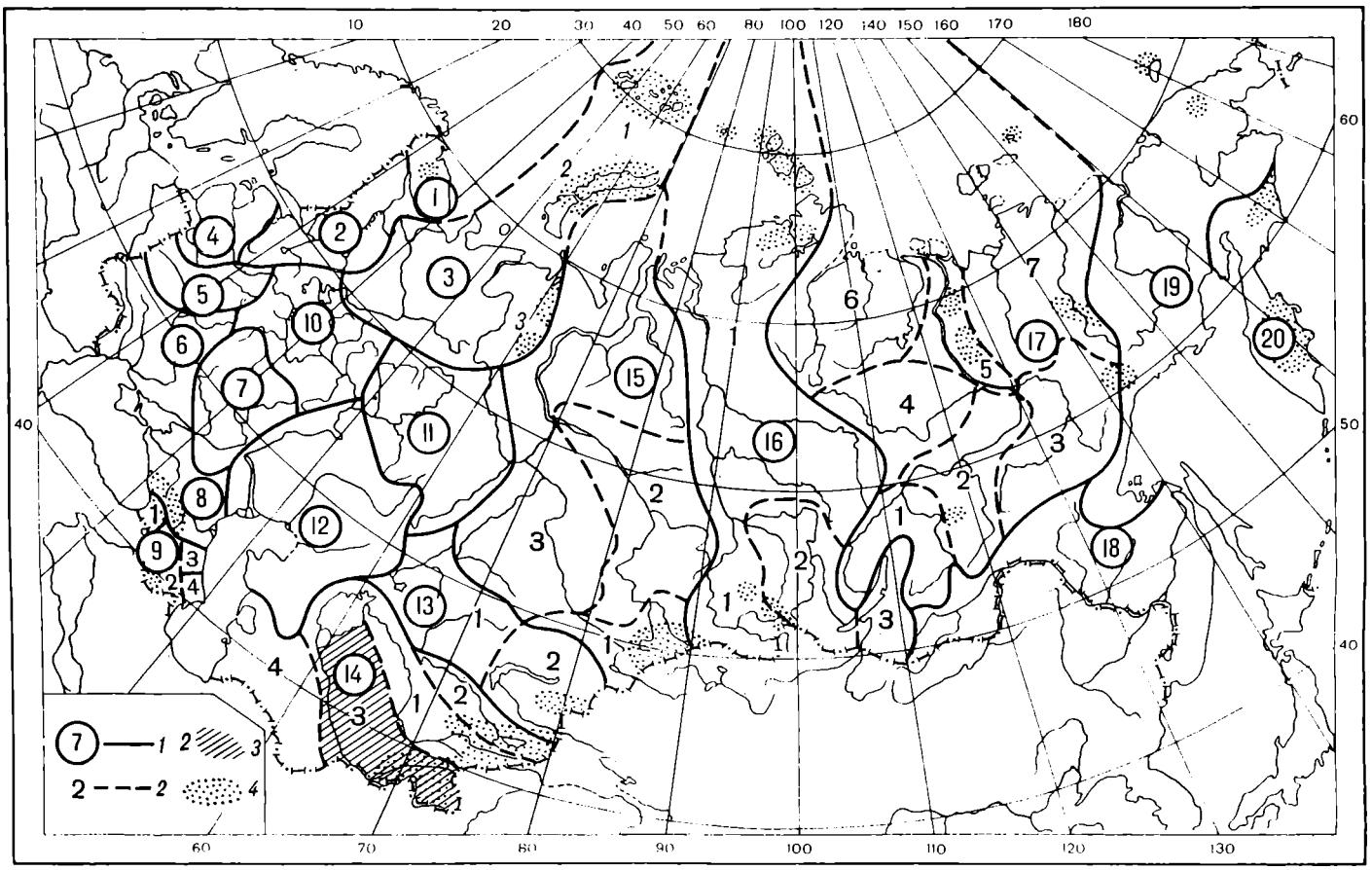


Рис. 1. Схема деления территории на тома и выпуски Каталога ледников.

1 — номер тома и границы отнесенной к нему территории, *2* — номер выпуска и границы отнесенной к нему территории, 3 — территория, сведения о которой включены в том 14, вып. 3 — Амударья, *4* — районы современного оледенения.

В связи с неравномерностью распределения оледенения по территории СССР в пределах выделенных томов и отдельных выпусков предусматривается издание нескольких частей Каталога ледников. Так, например, том 14 (Средняя Азия), вып. 3 (Амударья), разделенный на 20 частей, включает часть 9 — Бассейн р. Обихингоу (рис. 2).

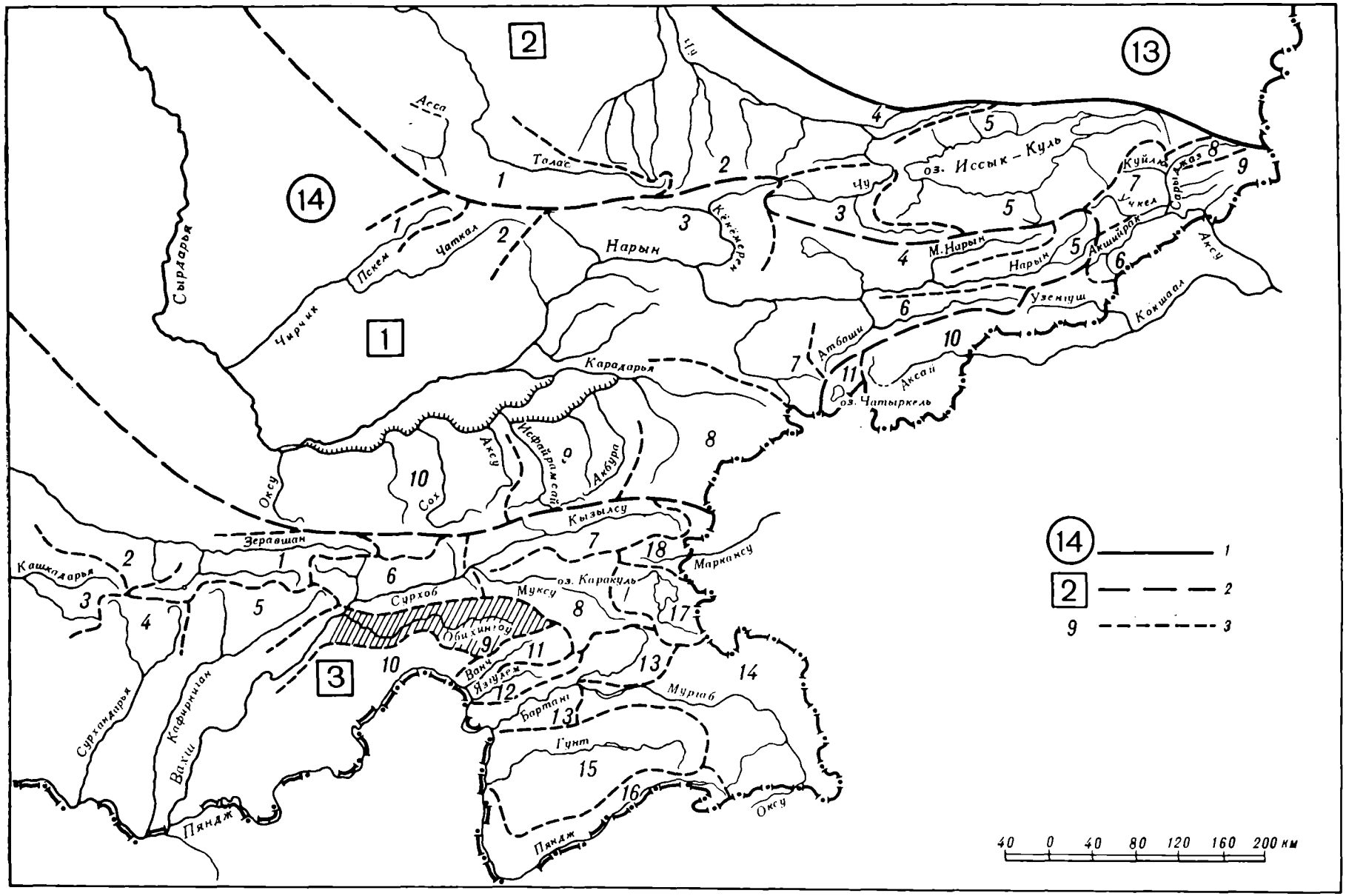


Рис. 2. Схема деления на выпуски и части тома 14 — Средняя Азия — Каталога ледников СССР.

1 — номер тома и границы отнесенной к нему территории, *2* — номер выпуска и границы отнесенной к нему территории, *3* — номер части и границы отнесенной к ней территории (штриховкой выделена территория, отнесенная к части 9 вып. 3 тома 14).

СПИСОК ТОМОВ, ВЫПУСКОВ И ЧАСТЕЙ КАТАЛОГА ЛЕДНИКОВ СССР

Том. 1. КОЛЬСКИЙ ПОЛУОСТРОВ

Часть 1. Хибинские горы (издано в 1966 г.)

Том. 3. СЕВЕРНЫЙ КРАЙ

Часть 1. Земля Франца-Иосифа (издано в 1965 г.)
Часть 2. Новая Земля
Часть 3. Урал (издано в 1966 г.)

Том 8. СЕВЕРНЫЙ КАВКАЗ

Часть 1. Бассейны рек Белой, Лабы, Урупа (издано в 1967 г.)
Часть 2. Бассейны рек Большого Зеленчука, Малого Зеленчука (издано в 1967 г.)
Часть 3. Бассейн р. Теберды (издано в 1967 г.)
Часть 4. Бассейн верховьев р. Кубани (издано в 1967 г.)
Часть 5. Бассейны рек Малки, Баксана (издано в 1970 г.)
Часть 6. Бассейн р. Чегема (издано в 1973 г.)
Часть 7. Бассейн р. Черека (издано в 1973 г.)
Часть 8. Бассейн р. Уруха (издано в 1976 г.)
Часть 9. Бассейн р. Ардона (издано в 1976 г.)
Часть 10. Бассейны рек Фиагдона, Гизельдона (издано в 1977 г.)
Часть 11. Бассейн верховьев р. Терека (издано в 1977 г.)
Часть 12. Бассейны правых притоков р. Сунжи (издано в 1977 г.)

Том 9. ЗАКАВКАЗЬЕ И ДАГЕСТАН

Выпуск 1. **Западное Закавказье**

Часть 1. Бассейн р. Мзымты (издано в 1977 г.)
Часть 2. Бассейн р. Бзыби (издано в 1975 г.)
Часть 3. Бассейн р. Келасури (издано в 1975 г.)
Часть 4. Бассейн р. Кодори (издано в 1975 г.)
Часть 5. Бассейн р. Ингури (издано в 1975 г.)
Часть 6. Бассейны рек Хоби, Риони (издано в 1975 г.)
Часть 7. Бассейны левых притоков р. Куры (издано в 1975 г.)

Выпуск 2. **Армения**

Часть 1. Бассейн р. Аракса

Выпуск 3. **Дагестан**

Часть 1. Бассейн р. Сулака (издано в 1975 г.)
Часть 2. Бассейн р. Самура (издано в 1975 г.)

Выпуск 4. **Восточное Закавказье**

Часть 1. Бассейн р. Кусарчая (издано в 1975 г.)

Том 13. ЦЕНТРАЛЬНЫЙ И ЮЖНЫЙ КАЗАХСТАН

Выпуск 2. **Бассейн оз. Балхаш**

Часть 1. Бассейны левых притоков р. Или от устья р. Тургень до устья р. Курты (издано в 1967 г.)
Часть 2. Бассейн р. Чилика (издано в 1968 г.)
Часть 3. Бассейны рек Чарына, Текеса (издано в 1969 г.)
Часть 4. Бассейны рек Хоргоса, Усека (издано в 1975 г.)
Часть 5. Бассейн р. Каратала
Часть 6. Бассейны рек Биена, Аксу, Лепсы (издано в 1970 г.)
Часть 7. Бассейны рек Тентека, Ргайты (издано в 1969 г.)

Том 14. СРЕДНЯЯ АЗИЯ

Выпуск 1. **Сырдарья**

Часть 1. Бассейн р. Пскема (издано в 1968 г.)
Часть 2. Бассейн р. Чаткала (издано в 1970 г.)
Часть 3. Бассейны правых притоков р. Нарына ниже устья р. Кёкёмерена
Часть 4. Бассейны правых притоков р. Нарына от устья р. Кёкёмерена до устья р. Малого Нарына (издано в 1973 г.)
Часть 5. Бассейны правых и левых притоков верховьев р. Нарына
Часть 6. Бассейн р. Атбаши (издано в 1974 г.)
Часть 7. Бассейны левых притоков р. Нарына от устья р. Атбаши до устья р. Карадарьи (издано в 1977 г.)
Часть 8. Бассейн р. Карадарьи
Часть 9. Бассейны левых притоков р. Сырдарьи от устья р. Карадарьи до устья р. Аксу (издано в 1974 г.)
Часть 10. Бассейны левых притоков р. Сырдарьи от устья р. Аксу и ниже (издано в 1974 г.)
Часть 11. Бассейн р. Арыси (издано в 1976 г.)

Выпуск 2. **Киргизия**

Часть 1. Бассейны рек Ассы, Таласа (издано в 1968 г.)
Часть 2. Бассейны левых притоков р. Чу ниже устья р. Коморчека (издано в 1973 г.)
Часть 3. Бассейн верховьев р. Чу (издано в 1971 г.)
Часть 4. Бассейны правых притоков р. Чу ниже Боамского ущелья (издано в 1969 г.)
Часть 5. Реки бассейна оз. Иссык-Куль (издано в 1976 г.)
Часть 6. Бассейн р. Акшийрака (издано в 1970 г.)
Часть 7. Бассейны правых притоков р. Сарыджаза между устьями рек Акшийрака и Куйлю (издано в 1969 г.)
Часть 8. Бассейн верховьев р. Сарыджаза от устья р. Куйлю и выше
Часть 9. Бассейны левых притоков р. Сарыджаза (реки Инышьчек, Каинды, Каюкан)
Часть 10. Бассейн р. Кокшаала (издано в 1971 г.)
Часть 11. Реки бассейна оз. Чатыркёль (издано в 1971 г.)

Выпуск 3. **Амударья**

Часть 1. Бассейн верховьев р. Зеравшана от устья р. Фандарьи
Часть 2. Бассейн р. Зеравшана ниже устья р. Фандарьи
Часть 3. Бассейн р. Кашкадарьи (издано в 1969 г.)
Часть 4. Бассейн р. Сурхандарьи (издано в 1969 г.)
Часть 5. Бассейн р. Кафирнигана
Часть 6. Бассейн р. Сурхоба между устьями рек Обихингоу и Муксу (издано в 1971 г.)
Часть 7. Бассейн р. Кызылсу (издано в 1976 г.)
Часть 8. Бассейн р. Муксу
Часть 8А. Система ледника Федченко (бассейн р. Муксу) (издано в 1968 г.)
Часть 9. Бассейн р. Обихингоу
Часть 10. Бассейны правых притоков р. Пянджа от устья р. Вахша до устья р. Ванча
Часть 11. Бассейн р. Ванча
Часть 12. Бассейн р. Язгулема
Часть 13. Бассейн р. Бартанга
Часть 14. Бассейн р. Мургаба
Часть 15. Бассейн р. Гунта
Часть 16. Бассейн верховьев р. Пянджа выше устья р. Гунта
Часть 17. Реки бассейна оз. Каракуль (издано в 1975 г.)
Часть 18. Бассейн верховьев р. Маркансу (издано в 1975 г.)
Часть 19. Бассейн р. Восточной Кызылсу
Часть 20. Бассейны правых притоков р. Пянджа между устьями рек Язгулем, Бартанг и Гунт

Том 15. АЛТАЙ И ЗАПАДНАЯ СИБИРЬ

Выпуск 1. **Горный Алтай и Верхний Иртыш**

Часть 1. Бассейны левых притоков р. Иртыша (издано в 1969 г.)
Часть 2. Бассейн р. Кабы (издано в 1969 г.).
Часть 3. Бассейны рек Курчума, Бухтармы, Ульбы, Убы (издано в 1969 г.)
Часть 4. Бассейн верховьев р. Катуни
Часть 5. Бассейн р. Аргута
Часть 6. Бассейн р. Чуи (издано в 1974 г.)
Часть 7. Бассейн р. Бии
Часть 8. Бассейны рек Моген-Бурен, Каргы

Выпуск 2. **Верхняя и Средняя Обь**

Часть 1. Бассейн рек Томи и Чулыма (Кузнецкий Алатау)

Том 16. АНГАРО-ЕНИСЕЙСКИЙ РАЙОН

Выпуск 1. **Енисей**

Часть 1. Северная Земля
Часть 2. Бассейн р. Таймыры (горы Быррапга)
Часть 3. Бассейны рек Казыра, Кана (издано в 1973 г.)
Часть 4. Бассейн р. Кемчика (издано в 1973 г.)
Часть 5. Бассейн верховьев р. Енисея выше устья р. Кемчика (издано в 1973 г.)
Часть 6. Горы Путорана
Часть 7. Остров Ушакова

Выпуск 2. **Ангара**

Часть 1. Бассейны верховьев рек Оки, Уды (издано в 1973 г.)

Том 17. ЛЕНО-ИНДИГИРСКИЙ РАЙОН

Выпуск 2. **Средняя Лена**

Часть 1. Бассейны рек Чары и Витима (хребет Кодар) (издано в 1972 г.)

Выпуск 3. **Алдан**

Часть 1. Бассейн р. Юдомы (горы Сунтар-Хаята)

Выпуск 5. **Нижняя Лена**

Часть 1. Хараулахские горы
Часть 2. Хребет Орулган (издано в 1972 г.)

Выпуск 7. **Яна, Индигирка**

Часть 1. Острова Де-Лонга
Часть 2. Бассейны притоков Средней Индигирки (хребет Черского)
Часть 3. Бассейны левых притоков верховьев р. Индигирки (горы Сунтар-Хаята)
Часть 4. Бассейн р. Адычи (хребет Черского)

Том 19. СЕВЕРО-ВОСТОК

Часть 1. Остров Врангеля
Часть 2. Бассейн р. Анадыри (хребет Пекульней)
Часть 3. Бассейн р. Дельку (хребет Сунтар-Хаята)
Часть 4. Бассейны р. Колымы (хребет Черского)

Том 20. КАМЧАТКА

Часть 1. Корякский хребет
Часть 2. Бассейны рек западного побережья Камчатки (издано в 1968 г.)
Часть 3. Бассейн р. Камчатки (издано в 1968 г.)
Часть 4. Бассейны рек восточного побережья Камчатки (издано в 1968 г.)

СПИСОК ПРИНЯТЫХ СОКРАЩЕНИЙ

Учреждения и организации

АН ТаджССР — Академия наук Таджикской ССР
ВГО — Всесоюзное географическое общество
ГГО — Государственное географическое общество
ИГАН — Институт географии Академии наук СССР
МПГ — Международный полярный год
РГО — Русское географическое общество
САРНИГМИ — Среднеазиатский региональный научно-исследовательский гидрометеорологический институт
СПб — Санкт-Петербург

Пункты наблюдений

гп — гидрологический пост
гмст — гидрометеорологическая станция
мст — метеорологическая станция
ос — суммарный осадкомер
сп — снегомерный пункт

Морфологические типы ледников

асимм.дол. — асимметричный долинный
асимм.кар. — асимметричный каровый
вис. — висячий
вис.дол. — висячий долинный
вис.кар. — висячий каровый
дендр. — дендритовый
дол. — долинный
кар. — каровый
кар.-вис. — карово-висячий
кар.-дол. — карово-долинный
котл. — котловинный
прискл. — присклоновый
склон. — склоновый
сл.-дол. — сложный долинный

Определение высоты фирновой линии

АФС — на основании дешифрирования аэрофотоснимков
наз.-виз. — на основании наземно-визуального осмотра ледников

Прочие

л. — ледник
оз. — озеро
пер. — перевал
пр. р. — приток реки
р. — река
хр. — хребет

ХАРАКТЕРИСТИКА ГЕОГРАФИЧЕСКОГО ПОЛОЖЕНИЯ, КЛИМАТИЧЕСКИХ УСЛОВИЙ, МОРФОЛОГИИ И РЕЖИМА ЛЕДНИКОВ

РЕЛЬЕФ И ГИДРОГРАФИЯ

Бассейн р. Обихингоу — одной из составляющих р. Вахш — один из наиболее значительных районов оледенения Памира. Долина р. Обихингоу имеет в целом широтное простирание. Протяженность бассейна с запада на восток около 180 км, с севера на юг в наиболее широкой, средней его части — более 70 км. Площадь бассейна 6660 км².

На севере хр. Петра Первого служит границей с долинами рек Муксу и Сурхоб, на востоке хр. Академии Наук разделяет ледники бассейна р. Обихингоу и системы ледника Федченко, на юге, за Дарвазским хребтом, расположен бассейн р. Ванча. Большие абсолютные высоты хребтов, окаймляющих долину р. Обихингоу, и благоприятное расположение бассейна по отношению к основным влагонесущим потокам — западному и юго-западному — определяет высокую степень оледенения бассейна — в целом 11%, несмотря на то что 1/4 часть территории в низовьях Обихингоу вообще лишена ледников.

Основная масса льда сосредоточена в верхней части бассейна, в долинах двух составляющих р. Обихингоу — рек Гармо и Киргизоб — и ее левого притока р. Бохуд (рис. 3). Меридиональный участок хр. Академии Наук, замыкающий верховья долины р. Гармо, имеет высоты 5600—6800 м. Над ледником Беляева, на стыке хребтов Академии Наук и Петра Первого, поднимаются стены высочайшей вершины Советского Союза — пика Коммунизма (7495 м) (рис. 4). Хребет Петра Первого имеет на восточном участке наибольшую высоту — его вершины достигают здесь 5800—6500 м, высшая точка — пик Москва (6785 м). Юго-западный отрог хр. Петра Первого — хр. Гармо — разделяет долины рек Гармо и Гандо, высота его снижается от 6000 до 5000 м.

Участок хр. Академии Наук, принадлежащий бассейну р. Обихингоу, на юге замыкается грандиозным массивом пика Гармо (6595 м), отсюда на юго-запад отходит гребень Дарвазского хребта (рис. 5). Высота хребта постепенно снижается до 5000 м в верховьях долины Бохуд, затем вновь повышается на участке сочленения с Мазарским хребтом — крупнейшим северо-западным отрогом Дарвазского хребта. Мазарский хребет высок — имеет высотные отметки от 5770 м на юго-востоке до 5140 м на северо-западе. Его высшая точка (5890 м) расположена в верховьях ледника Батрут (№ 359). Другой, более низкий отрог Дарвазского хребта — хр. Пашимгар — разделяет бассейны рек Бохуд и Гармо.

Долина р. Гармо более чем на половину по ее длине занята ледником Гармо — крупнейшим ледником района и одним из наиболее значительных в Средней Азии, его площадь 114,6 км². Ниже конца ледника р. Гармо принимает слева несколько небольших притоков, питающихся ледниками. Второй по величине ледник района — ледник Гандо (44,6 км²) — занимает почти целиком долину, расположенную к северу от р. Гармо. Воды ледника питают одну из составляющих р. Киргизоб. Второй исток этой реки берет начало от крупного ледника Девлохан. Справа р. Киргизоб принимает значительный приток ледникового питания.

Многоводная р. Бохуд получает питание от многочисленных ледников и течет в узкой глубокой долине. Почти все оледенение этого бассейна сосредоточено в верховьях и на левом склоне этой долины. На северном склоне Мазарского хребта расположен целый ряд крупных ледников, питающих левые притоки р. Бохуда,— Зорди-Бираусо, Сурайша, Минаду, Скогач, а также реки, впадающие непосредственно в р. Обинхингоу ниже устья р. Бохуд, Батрут и Биджау. Ледники этого склона хребта занимают свои долины на большей части их протяжения, так что ледниковые потоки оказываются в 3—4 раза короче питающих их ледников. Справа р. Бохуд принимает лишь один приток с ледниковым питанием — р. Сагдар.

Все три потока, собирающие воды ледников верхней части бассейна р. Обихингоу,— реки Гармо, Киргизоб и Бохуд — соединяются вместе на широкой пойме, на высоте 2600 м.

Дарвазский хребет от места соединения с Мазарским хребтом поворачивает к югу, а затем к северо-западу, огибая верховья р. Обимазар — наиболее значительного левого притока р. Обихингоу. В истоках р. Обимазар лежат два крупных ледника — Дарвазский и Мазарский. Здесь Дарвазский хребет поднимается до 6000 м. Далее к западу он снижается, и высоты вершин колеблются в пределах 4800—5100 м. Хребет Дархарвак — северный отрог Дарвазского хребта — отделяет верховья р. Обимазар от долины его левого притока —

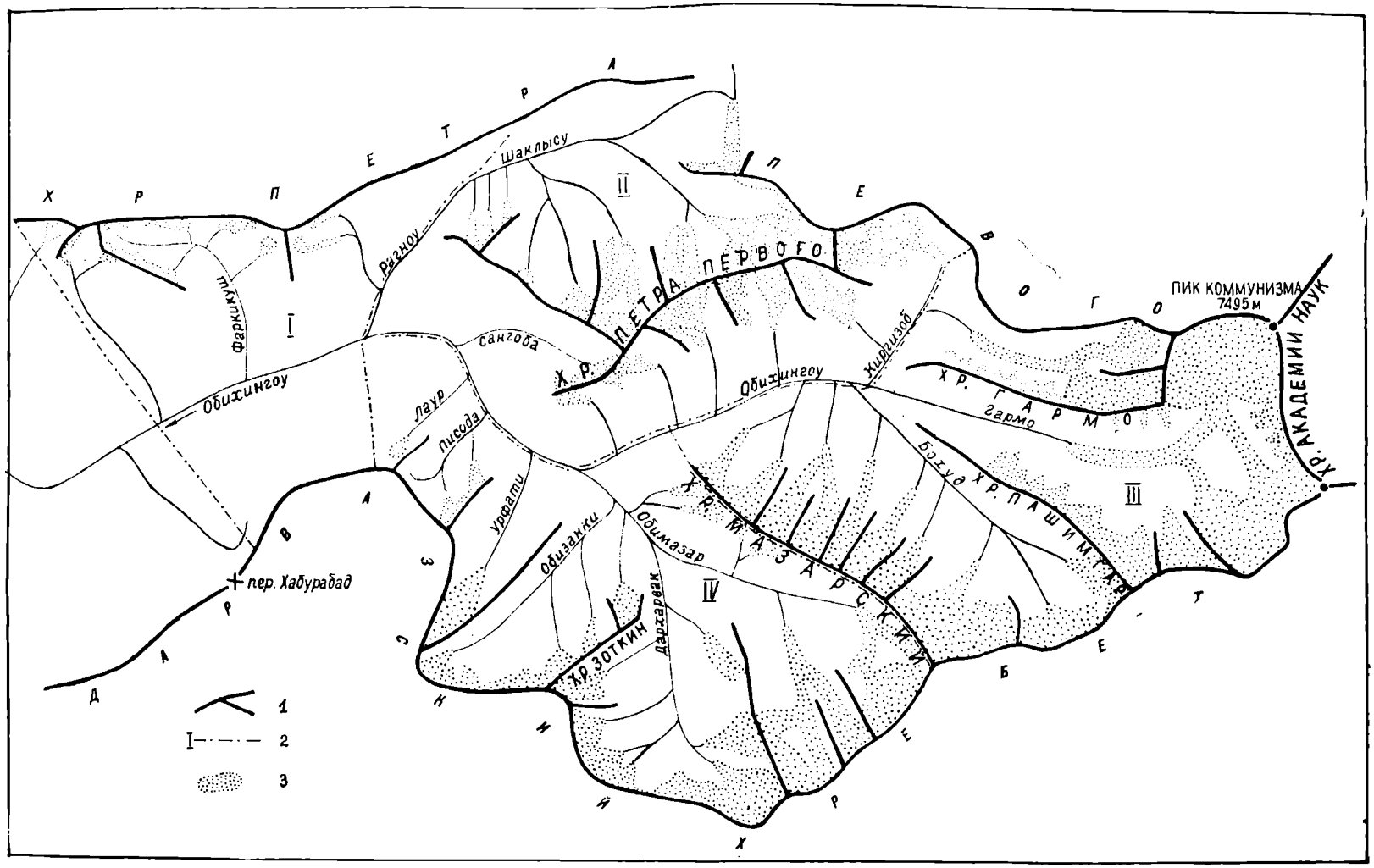


Рис. 3. Орографическая схема бассейна р. Обихингоу.

1 — хребет и основной отрог, *2* — граница крупного района и его номер, *3* — участок распространения ледников.



Рис. 4. Пик Коммунизма (7495 м). Вид с ледника Гармо.

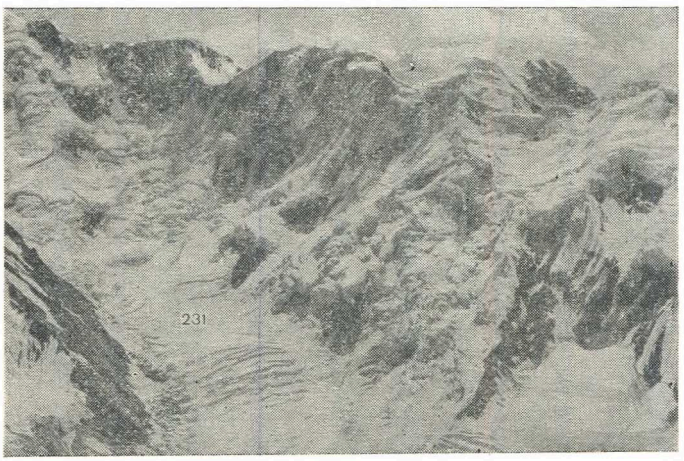


Рис. 5. Восточный участок гребня Дарвазского хребта в верховьях ледника Вавилова (№ 231).

р. Дархавак, не уступающей по водности в месте слияния основному потоку. Целая серия притоков р. Дархарвак образует широкий веер на северном склоне Дарвазского хребта с его многочисленными, хотя и не очень крупными ледниками (рис. 6, 58, 59). В нижнем течении р. Обимазар принимает

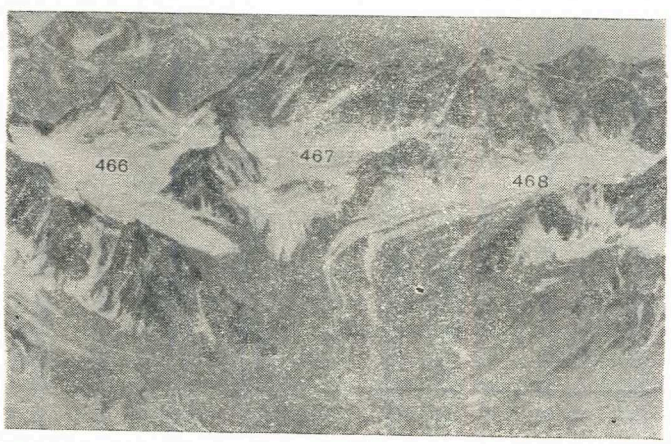


Рис. 6. Характер оледенения Дарвазского хребта в верховьях р. Дархарвак.

еще один значительный левый приток, получающий питание с ледников, — р. Обизанки, небольшой правый приток Обинисай, а также несколько более мелких потоков с ледниковым питанием. Долины рек Дархарвак и Обизанки разделяет хр. Зоткин высотой 4600—4800 м.

Ниже устья р. Обимазар р. Обихингоу принимает еще несколько притоков, имеющих небольшие ледники. Наиболее значительные из них — реки Урфати, Писода и Лаур. Здесь Дарвазский хребет сравнительно невысок (4600—4200 м), а в верховьях самых западных левых притоков р. Обихингоу (без ледников) он снижается до 3800—3600 м и меняет направление на юго-западное.

Северной границей бассейна р. Обихингоу на всем его протяжении служит хр. Петра Первого. В верховьях крупнейшего правого притока р. Обихингоу — р. Рагноу — главный водораздел хр. Петра Первого разделяется на две ветви.

Северная ветвь — 10-километровый скалистый участок — быстро снижается от пика Агасис (5805 м) к плато Тупчек — древней поверхности выравнивания высотой 3100—3300 м. Один из ледников северного склона — Баральмос — принадлежит бассейну р. Обихингоу. Ниже конца ледника располагается огромный конус выноса моренного материала, рассеченный ветвистыми эрозионными ложбинами. Воды ледника питают исток р. Рагноу — р. Карашура. Кроме того, часть его вод стекает на север, в бассейн р. Сурхоб.

Вторая ветвь хр. Петра Первого уходит в юго-западном направлении. Начало южной ветви разделяет верховья двух крупных ледников — Девлохана, спускающегося на восток, и Петра Первого — главного ледника бассейна р. Рагноу, стекающего на запад. Южная ветвь хр. Петра Первого имеет значительное оледенение. На северном склоне целый ряд ледников располагается в верховьях левых притоков р. Рагноу. Ледники южного склона также многочислены, воды их питают короткие потоки, впадающие непосредственно в р. Обихингоу. Высота гребня этой части хр. Петра Первого 5400—5000 м, на западе — до 4500 м.

Северная ветвь продолжается к западу от плато Тупчек. Южный склон ее, принадлежащий бассейну р. Обихингоу, отличается незначительным оледенением. Гребень хребта постепенно повышается до высоты 4100—4300 м, здесь появляются ледники, питающие нижние правые притоки р. Шаклысу-Рагноу. В бассейне р. Фаркикуш количество ледников увеличивается, здесь находится и высшая точка (4780 м) западного отрезка хр. Петра Первого. Далее к западу мелкие разрозненные ледники встречаются вплоть до верховий р. Сурхсу.

Таким образом, обширный бассейн р. Обихингоу имеет значительное оледенение, занимающее более 700 км². Характерно, что ледники здесь размещены не в отдельных узлах, а покрывают склоны долин почти сплошными рядами. Чтобы сравнить характеристики оледенения разных частей этой большой территории, целесообразно разделить ее на несколько крупных районов (см. рис. 3).

I. Низовья р. Обихингоу — западный район. Южный склон хр. Петра Первого в нижней части бассейна р. Обихингоу рассматривается как

отдельный район оледенения, выдвинутый далее всего на запад. Он включает бассейны нижних правых притоков р. Обихингоу, имеющие ледники. Это сравнительно небольшая по площади территория с мелкими ледниками (ледники № 1—61).

II. Правобережье р. Обихингоу — северный район — охватывает центральный участок хр. Петра Первого, т. е. целиком южную его ветвь и часть северной ветви хребта от плато Тупчек на западе до бассейна ледника Девлохан включительно на востоке. Большая часть оледенения района сосредоточена в бассейне р. Рагноу (ледники № 62—186).

III. Верховья р. Обихингоу — восточный район, в котором сосредоточено наиболее значительное оледенение. Район включает территорию, заключенную между хр. Академии Наук, восточными отрезками хребтов Петра Первого и Дарвазского и Мазарским хребтом. Здесь находятся бассейны рек Гандо (и левых притоков р. Киргизоб с несколькими ледниками), Гармо, Бохуд, а также Батрут и Биджау (ледники № 187—377).

IV. Левобережье р. Обихингоу — южный район, объединяющий ледники северного склона, Дарвазского хр. Кроме основного бассейна, сюда относятся левые притоки р. Обихингоу ниже устья р. Обимазар, имеющие ледники, а также один приток выше устья (с двумя ледниками) (ледники № 378—549).

КЛИМАТИЧЕСКИЕ ОСОБЕННОСТИ И ГИДРОЛОГИЧЕСКИЙ РЕЖИМ

В ледниковой зоне бассейна р. Обихингоу метеорологические наблюдения проводились только в одном пункте — на леднике Скогач, где в 1969 г. УГМС ТаджССР были организованы комплексные гляциологические работы. В районе имеются три метеостанции. Многолетний ряд наблюдений имеет гмст Тавиль-Дара (с 1932 г.) (высота 1620 м), расположенная в западной части района. В этой же части бассейна вблизи перевала Хабурабад расположена еще одна метеостанция (3350 м). Метеостанция Сангвор (2180 м) находится несколько выше устья р. Обимазар. Она более приближена к ледникам, чем гмст Тавиль-Дара. Недалеко от восточной границы бассейна на высоте 4170 м работает самая высокогорная в Советском Союзе станция Ледник Федченко (4170 м) с многолетним рядом наблюдений, данные которой можно также использовать для характеристики климатических условий района (см. рис. 45).

Самым холодным месяцем в бассейне р. Обихингоу является январь, самым теплым — август (табл. 1). Годовая амплитуда средних месячных

Таблица 1

Температура воздуха, °С

Месяц	Средняя				Абсолютный максимум				Абсолютный минимум			
	Ледник Федченко	Тавиль-Дара	Сангвор	Хабурабад	Ледник Федченко	Тавиль-Дара	Сангвор	Хабурабад	Ледник Федченко	Тавиль-Дара	Сангвор	Хабурабад
Январь	—17,1	—6,0	—6,8	—12,2	—3	10	10	3	—38	—34	—32	—34
Февраль	—16,0	—4,2	—4,7	—11,7	—1	15	15	5	—38	—31	—29	—33
Март	—13,0	1,4	0,0	—7,6	2	22	19	10	—36	—24	—26	—30
Апрель	—7,7	9,2	6,3	—2,4	7	29	26	13	—27	—6	—9	—19
Май	—3,4	14,0	11,4	2,6	13	33	30	19	—19	—1	—3	—12
Июнь	—0,1	17,8	14,4	6,4	16	35	33	22	—13	2	—1	—8
Июль	3,6	21,6	18,1	10,3	20	36	34	22	—8	6	3	—4
Август	3,7	21,5	18,1	9,9	15	38	35	22	—9	5	0,4	—4
Сентябрь	0,2	17,4	14,3	6,2	14	35	33	21	—16	—0,3	—2	—8
Октябрь	—6,3	10,4	8,0	0,1	9	31	29	18	—27	—7	—11	—22
Ноябрь	—11,7	3,6	1,7	—6,1	3	24	23	11	—28	—18	—21	—24
Декабрь	—15,5	—2,4	—3,2	—10,0	—1	16	16	6	—36	—29	—27	—32
Год	—6,9	8,7	6,5	—1,2	20	38	35	22	—38	—34	—32	—34

Примечание. Данные для табл. 1, 2 и 3 взяты из «Справочника по климату СССР». Т. 31. Л., Гидрометеоиздат, 1966.

температур воздуха в долине составляет около 29° С. В ледниковой зоне она должна быть меньше. С февраля начинается постепенное повышение температуры воздуха. Весной переход средних суточных температур через 0° С на западе долины наблюдается в первой половине марта, а на востоке, в ледниковой зоне,— в середине июня. Переход температур через 0° С осенью в ледниковой зоне происходит в конце сентября, а на западе долины — в конце ноября (табл. 2).

Колебания дат первых осенних и последних весенних заморозков очень велики от года к году. С высотой даты первых и последних заморозков изменяются. Для бассейна р. Обихингоу средние даты приведены в табл. 2.

С увеличением высоты местности температура воздуха понижается, причем это изменение летом больше, чем зимой. На высоких открытых склонах и перевалах в зимнее время температура воздуха выше, чем на дне долины, где происходит выхолаживание. Инверсии температур особенно сильно выражены в отдельные холодные дни. В горах Таджикистана средние из ежегодных абсолютных минимумов температуры в верхних частях склонов на 6—8° С выше, чем в долинах и котловинах. В летнее время в ледниковой зоне восходящие то-

Таблица 2

Даты перехода температуры воздуха через 0° С, первых и последних заморозков

Станция	Дата перехода средних суточных температур через 0°С		Дата заморозка				Средняя продолжительность безморозного периода, дни
			последнего		первого		
	весна	осень	средняя	самая ранняя	средняя	самая ранняя	
Тавиль-Дара	8/III	29/XI	7/IV	17/III 1944	23/X	16/XI 1941	198
Сангвор	16/III	24/XI	19/IV		14/X		177
Хабурабад	29/IV	16/X	16/VI		15/IX		90
Ледник Федченко	17/VI	16/IX	·		·		

Примечание. Точка (.) означает, что более чем в 50% всех лет длительность безморозного периода составляет менее 30 дней.

ки и интенсивное перемешивание воздуха способствуют понижению температуры, в то время как дно долины сильно нагревается. В бассейне р. Обихингоу непосредственные наблюдения за температурой воздуха проводились летом 1969 г. В ясный день 2/VIII температура воздуха на дне долины р. Обихингоу на высоте 2650 м (широкая пойма) была равной 25,8° С, у языка ледника Скогач 21,8° С (3200 м, открытый травянистый склон) и на уровне фирновой линии этого ледника 7° С (4400 м, снег). Таким образом, градиент температуры на 100 м высоты был равен 0,73° С с учетом температурного скачка между скалами и льдом, равного 2° С[1].

Бассейн р. Обихингоу расположен на пути влагонесущих воздушных масс, приходящих с юго-запада. Кроме того, в формировании осадков в бассейне значительную роль играют потоки влажного тропического воздуха из Индии (зимой, весной и в начале лета). Западные и северо-западные холодные вторжения полярных воздушных масс также приносят длительные и обильные осадки, при этом в ледниковой зоне даже летом выпадает снег.

Склоны бассейна имеют благоприятную для выпадения осадков южную и юго-западную ориентацию. С увеличением высоты количество осадков на склонах, доступных для влажных воздушных масс, возрастает до 2000 мм и более. Эта величина получена из расчета стока рек; ее подтверждают и наблюдения на метеостанции Ледник Федченко (4170 м), где годовая сумма осадков равна 2236 мм.

Основная масса осадков в районе выпадает в зимние и весенние месяцы, при этом количество зимних осадков в 8—10 раз превышает летние (табл. 3). Максимальная месячная сумма осадков

Таблица 3

Среднее количество осадков (с поправками к показаниям осадкомера), мм

Станция	Абсолютная высота, м	I	II	III	IV	V	VI	VII	VIII	IX	X	XI	XII	Год
Сангвор, мст	2180	54	77	110	117	111	45	23	15	5	27	70	69	723
Сангвор, гп	2210	57	52	78	96	88	40	12	13	5	37	57	57	592
Тавиль-Дара	1620	102	131	182	158	130	42	10	4	5	47	73	90	974
Хабурабат	3350	123	194	199	165	140	54	24	10	6	42	125	152	1234
Ледник Федченко	4170	213	251	304	272	222	129	81	41	35	152	276	260	2236

на мст Сангвор приходится на апрель месяц (в среднем 117 мм). На мст Хабурабат — самой высокой в районе, расположенной вблизи перевала с таким же названием, максимум осадков (199 мм) наблюдается в марте. В ледниковой зоне эти сроки, очевидно, могут смещаться. Самые сухие месяцы в году — июль, август, сентябрь — совпадают с периодом абляции ледников. В это время в долине месячные суммы осадков составляют 4—24 мм, а в месяц минимума — сентябрь — выпадает 5—6 мм. Для сравнения можно отметить, что на мст Ледник Федченко в месяц минимума (сентябрь) выпадает 35 мм осадков, а в месяц максимума (март) — 304 мм. Для долины характерно уменьшение годовой суммы осадков по направлению с запада на восток, несмотря на увеличение абсолютных высот в этом же направлении.

С увеличением высоты местности растет не только годовая сумма осадков, но и доля твердых осадков. На Памире на высотах выше 2000 м более половины годовой суммы осадков выпадает в виде снега, на высотах до 3300 м — около 70%, выше 4200—4300 м практически все осадки являются твердыми. Так, на леднике Федченко (на высоте 4170 м) твердые осадки составляют 99% годового количества и только 1% приходится на долю смешанных осадков.

На территории района установлено восемь суммарных осадкомеров. Три из них находятся у концов ледников Гармо, Скогач, Мазарского, еще три установлены в высокогорной зоне, но на некотором расстоянии от ледников и два осадкомера

[1] Кренке А. Н. Климатические условия существования современного оледенения Средней Азии.— «Изв. АН СССР. Сер. геогр.», 1973, № 1.

находятся значительно ниже ледников, в главной долине. Несмотря на то что в высокогорной зоне показания осадкомеров содержат большие ошибки, можно попытаться сравнить данные двух суммарных осадкомеров, расположенных в противоположных концах долины: один у населенного пункта Яфуч в западной части долины р. Обихингоу на высоте 2040 м, другой у конца ледника Гармо на высоте 2960 м, на расстоянии (по прямой) приблизительно 140 км от первого. Отсчеты осадков по этим осадкомерам производятся два раза в год и дают суммы за зимний и летний периоды (октябрь — май и июнь — сентябрь). Количество осадков за 7 лет у Яфуча превышает в среднем более чем в три раза осадки у ледника Гармо. Сравнивая данные двух других осадкомеров, например осадкомера, установленного на высоте 2960 м у слияния р. Обимазар с потоком, вытекающим из Дарвазского ледника, и осадкомера у верхнего озера на р. Писода (3330 м), можно подсчитать, что средний градиент осадков за зимний период составляет 60 мм на 100 м высоты, а в летний — 32 мм. По данным непосредственных измерений летом 1969 г. в фирновой области ледника Писода (на северном склоне Дарвазского хребта) на высоте 4000 м, годовая аккумуляция составляет 1820 мм. На мст Ледник Федченко, по данным осадкомера на высоте 4170 м, годовая сумма осадков достигает 2236 мм.

Снегомерные съемки в долине, вдоль р. Обихингоу, проводятся регулярно. Снегопункты распределены равномерно снизу вверх по долине до высот 2500—2660 м. Данные снегомерных съемок в бассейне указывают на значительную высоту снежного покрова, достигающего в среднем 60—80 см, а в отдельных местах 130—150 см.

В связи с большими высотами и благоприятной ориентацией склонов по отношению к основным влагонесущим потокам бассейн р. Обихингоу является одним из самых водообеспеченных районов Памира (табл. 4). По данным А. О. Кеммериха (табл. V/№ 10), модули стока на наветренных

Таблица 4

Средние годовые расходы и модули стока р. Обихингоу и ее притоков (табл. V/№ 10)

Река	Место наблюдений	Число лет наблюдений	Площадь бассейна, км²	Расходы воды, м³/с			Модуль стока, л/(с·км²)		
				средний	наибольший	наименьший	средний	наибольший	наименьший
Обихингоу	Лабиджар	18	6600	224	268	159	34	40,6	24,1
	Тавильдара	11	5390	158	174	137	29,3	32,3	25,4
	Сангвор	12	1880	49,8	61,2	34,3	26,5	32,6	18,2
Обимазар	»	8	1030	26,4	31,9	18,7	25,6	31,0	18,2
Сарыоб	Калаисанг	7	304	4,9	6,7	4,3	16,2	21,9	14,2
Ратноу	Ляйрун-Боло	1	742	20,8			28,0		
Гармо	Устье	1	556	18,1	20,6		32,4	37,0	
Киргизоб	Устье (в 3 км выше)	1	343	11,8	13,2		31,5	38,5	

склонах хребтов достигают 40—50 л/(с·км²). Так, в низовьях рек Фаркикуш и Сурхсу (юго-западный склон хр. Петра Первого) модули стока равны 42—43 л/(с·км²), в то время как на противоположном, подветренном склоне Дарвазского хребта, в бассейне р. Сарыоб, при такой же площади водосбора они составляют всего 16 л/(с·км²).

Основными источниками питания рек в бассейне р. Обихингоу являются талые воды ледников, сезонных снегов и подземные воды. Последняя составляющая дает примерно 30% общего годового стока бассейна. В створе мст Сангвор (в верхней части бассейна) доля ледникового стока составляет 44%, а в низовьях р. Обихингоу — 22%. Талые снеговые воды дают соответственно 27 и 48%.

Основную массу воды р. Обихингоу несет во время весенне-летнего половодья, которое продолжается обычно с конца марта до середины октября. За это время проходит в среднем почти 90% годового стока. Максимум половодья наблюдается обычно в июле, реже в августе. Средний многолетний сток р. Обихингоу составляет 7,06 км³.

ОЛЕДЕНЕНИЕ

Фирновая линия. Средний уровень высоты фирновой линии в бассейне р. Обихингоу равен 4350 м. Долина, имеющая в целом широтное простирание, открыта на запад, что создает благоприятные условия для проникновения влагонесущих западных и юго-западных воздушных потоков. Однако влага имеет достаточно свободный доступ к горным склонам лишь в нижней части бассейна, а по мере продвижения к востоку воздушный поток встречает на своем пути целую сеть высоких горных хребтов с отрогами, перехватывающих осадки. Верховья бассейна таким образом получают намного меньше осадков по сравнению с западной частью. Фирновая линия на ледниках соответственно повышается с запада на восток в среднем от 3800 до 4500 м. Это повышение фирновой линии прослеживается на ледниках всех экспозиций (табл. 5).

Юго-западные потоки влаги по отдельным крупным долинам проникают внутрь гор. Например, на северном склоне хр. Петра Первого на ледниках западной его части фирновая линия опускается до 3700—3800 м, а по мере продвижения на восток (вдоль долины р. Шаклысу) постепенно повышается до 4100 м (ледники № 85—88).

Кроме западного переноса, на высоту фирновой линии влияют воздушные потоки северных вторжений. Например, при меридиональном пересечении средней части бассейна р. Обихингоу оказывается, что уровень фирновой линии заметно повышается к югу. На северном склоне хр. Петра

Таблица 5

Положение фирновой линии на ледниках различной экспозиции по основным районам бассейна р. Обихингоу, м над ур. м

Экспозиция ледников, высотная отметка	Верховья	Левобережье	Правобережье	Низовья	В целом
С	4360	4230	3980	3760	4230
СВ	4350	4320	4120	3800	4280
В	4490	4390	4170	3790	4260
ЮВ	4640	4400	4220	4010	4440
Ю	4740	4430	4370	4100	4530
ЮЗ	4820	4560	4200	—	4760
З	4660	4400	4160	3780	4440
СЗ	4410	4300	4080	3760	4360
Средняя	4490	4310	4140	3820	4350
Максимальная	4900	4700	4500	4200	4900
Минимальная	4050	3850	3700	3600	3600
Разница крайних отметок	850	850	800	600	1300

Примечания. 1. Высота фирновой линии дается как средняя взвешенная (по площади) для ледников различной экспозиции.

2. Дендритовые и сложные долинные ледники расчленены на составляющие их потоки.

Первого она находится на высоте 4050 м (район ледников № 72—88), на северном склоне Мазарского хребта — на высоте 4250 м (на ледниках № 363—373), на склоне Дарвазского хребта на высотах 4350—4450 (район ледников № 392—457). Таким образом, хребты, встающие на пути северных влагонесущих потоков, служат барьерами, перехватывающими влагу.

Вторым фактором, влияющим на положение фирновой границы, является затененность склонов. В разных частях бассейна р. Обихингоу были выбраны для сравнения небольшие участки хребтов, получающие примерно одинаковое количество осадков на северном и южном склонах. Разница высот фирновой линии на этих склонах оказалась равной 200—300 м. В среднем для всего бассейна р. Обихингоу фирновая граница на ледниках северных склонов лежит на 350 м выше по сравнению с ледниками южной экспозиции.

Разница крайних значений высоты фирновой линии на отдельных ледниках во всех выделенных нами районах, кроме западного, постоянна — 800—850 м (табл. 5). На западе она сокращается до 600 м, что и следует ожидать в небольшом районе, где все ледники располагаются на одном склоне хребта и имеют наиболее благоприятные условия снегонакопления.

Нередко на крупных ледниках, где область питания окружена склонами разной экспозиции, фирновая линия значительно меняет свою высоту в пределах цирка от северного борта ледника к южному, например: на леднике Беляева (№ 224) — от 4500 до 4900 м, на леднике Вавилова (№ 231) — от 4350 до 4650, Гусаляхана (№ 142) — от 3800 до 4300 м.

На отдельных ледниках фирновая линия находится гораздо ниже среднего уровня фирновой границы для ледников данного склона. Это наблюдается чаще всего на каровых ледниках, располагающихся на окраинных участках отрогов хребтов, иногда на таких малых высотах, где ледники, казалось бы, не могут сохраняться в современных условиях. Такие ледники обязаны своим существованием исключительно лавинному питанию. Фирновый бассейн им заменяет полоса слившихся между собой конусов выноса лавин, прижатая обычно к северному тыловому склону. Примером таких ледников могут служить ледники № 128, 252, 354, 361, 503 и др. Необходимо отметить, что лавины и обвалы фирна вообще служат одним из главных источников питания для ледников бассейна р. Обихингоу, в том числе и самых крупных.

Высотное положение ледников. Большие абсолютные высоты в сочетании с глубоким расчленением рельефа и значительные колебания уровня фирновой линии в пределах бассейна р. Обихингоу являются причиной большого разнообразия в высотном положении ледников. Так, основная масса

Таблица 6

Высотные характеристики ледников по основным районам бассейна р. Обихингоу, м над ур. м.

Район оледенения	Высота концов ледников			Высота высшей точки ледников			Средний вертикальный высотный диапазон оледенения	Диапазон высот крайних точек ледников
	средняя	минимальная	максимальная	средняя	минимальная	максимальная		
Верховья	4010	2970	5150	4870	4000	6350	860	3380
Левобережье	3930	2950	4980	4680	3800	5800	750	2850
Правобережье	3780	2900	4550	4490	3720	5500	710	2600
Низовья	3620	2700	4100	4020	3600	4700	400	2000
Итого	3890	2700	5150	4630	3600	6350	740	3650

Примечание. Сложные долинные и дендритовые ледники расчленены на составляющие их потоки.

ледников располагается в пределах высот 3600—4900 м, крайние пределы начала и конца ледников приурочены соответственно к высотам 6350 и 2700 м.

По основным районам высоты концов ледников в среднем повышаются с запада на восток от 3620 до 4010 м (табл. 6). Наиболее низко оканчивается долинный ледник № 61 в бассейне р. Рагноу (2700 м), наиболее высоко расположены концы некоторых висячих ледников в верховьях р. Обихингоу — до 5000 м и более. Верхняя граница ледников повышается в том же направлении, но более

значительно — в среднем по районам на 850 м. Высшая точка самого высокого ледника западной части бассейна р. Обихингоу находится на 170 м ниже среднего уровня начала ледников в верховьях бассейна.

Высотный диапазон оледенения, осредненный для всей территории, достаточно велик — 740 м. В наиболее высоком и глубоко расчлененном районе — в верховьях р. Обихингоу — эта величина увеличивается еще на 120 м. Однако эти средние величины не дают наглядной картины высотного положения ледников. В долинах рек Гармо и Гандо существует очень характерный комплекс оледенения: главный ледник, занимающий верховья и основную часть долины, и боковые ледники на склонах, не доходящие до основного потока. Главный ледник имеет наибольший перепад высот: для ледника Гармо он составляет 3380 м, а для ледника Гандо — 3130 м. Он образуется благодаря не столько низкой отметке конца ледников, сколько главным образом большим высотам в их верховьях — до 6350 м. При этом учитывались лишь верхние отметки непрерывного фирнового поля в истоках ледника, в то время как разрозненные фирновые поля, висящие на крутых склонах над ним, достигают еще больших высот.

Таким образом, главный ледник начинается на самых высоких участках хребтов в замыкающем цирке долины. Боковые хребты, ограничивающие долину, постепенно снижаются. Соответственно снижаются высшие отметки ледников, расположенных на их склонах, а концы ледников все больше удаляются от главного ледника, «поднимаясь» на склоны. Отсюда целый ряд боковых ледников как бы занимает «второй этаж» над длинным языком главного ледника. Подобная картина существует в верховьях и других долинах бассейна р. Обихингоу, занятых крупными ледниками — Мазарским, Дарвазским, Петра Первого, Девлохан и др.

Размеры и экспозиция ледников. Всего в бассейне р. Обихингоу находится 549 ледников размерами более 0,1 км². Они занимают 701,9 км². 207 ледников меньшего размера занимают в сумме 10,5 км². Распределение количества и площади ледников по различным участкам территории показано в табл. 7.

Таблица 7

Распределение ледников по основным районам бассейна р. Обихингоу

Район оледенения	Ледники площадью 0,1 км² и более		Ледники площадью менее 0,1 км²		Всего	
	количество	площадь, км²	количество	площадь, км²	количество	площадь, км²
Верховья	191	352,4	79	4,0	270	356,4
Левобережье	172	189,4	29	1,6	201	191,0
Правобережье	125	134,2	75	3,4	300	137,6
Низовья	61	25,9	24	1,5	85	27,4
Итого	549	701,9	207	10,5	756	712,4

Половина всей площади оледенения принадлежит верховьям р. Обихингоу — бассейнам рек Гармо, Гандо и Бохуд, здесь же находится и наибольшее число ледников. Более четверти общей площади оледенения заключает в себе бассейн р. Обимазар, еще пятую часть — ледники хр. Петра Первого на правобережье р. Обихингоу. Небольшие ледники западного участка бассейна занимают 27,4 км².

Размеры ледников бассейна р. Обихингоу крайне разнообразны, однако большинство их невелико. Ледники площадью менее 0,5 км² составляют более 70% общего числа ледников, а 84% всех ледников не превышают 1 км² (табл. 8). В низовьях р. Обихингоу таких ледников более 90%, но здесь и самый крупный ледник достигает лишь 2,6 км². В бассейне р. Обимазар ледников с площадью до 1 км² несколько меньше — 76%. В то же время этот район отличается множеством ледников средней величины (от 1 до 5 км²). Они составляют здесь 21% общего числа ледников, в то время как в любом другом районе только 9%.

Крупных ледников, превышающих по площади 10 км², на всей территории только 14 (т. е. 2% общего числа), но они занимают в сумме около 48% всей площади оледенения. Третью часть этой суммы составляет площадь ледника Гармо (114,6 км²), одного из крупнейших ледников Средней Азии, притоки которого образуют сложную сеть в верховьях долины. Степень оледенения в бассейне ледника Гармо равна 39%. Основное число крупных ледников (8 из 14) принадлежит верховьям бассейна р. Обихингоу, они занимают 2/3 площади оледенения этого района. Два ледника, превышающие по площади 20 км², лежат в верховьях р. Обимазар, третий ледник такого же размера (ледник Петра Первого) находится в истоках р. Шаклысу (табл. 9).

Размер среднего ледника, рассчитанный в целом по бассейну р. Обихингоу, составляет 1 км². Эта цифра велика благодаря отдельным крупным ледникам. Действительно, размер среднего ледника в верхней части долины р. Обихингоу достигает наибольшей величины — 1,6 км². Однако если исключить из расчета лишь два ледника — Гармо и Гандо, средняя площадь ледника снижается до 0,9 км². Размер среднего ледника в бассейне р. Обимазар равен 1,0 км², а без Мазарского и Дарвазского ледников — 0,8 км². Таким образом, почти для всей территории бассейна р. Обихингоу размер среднего ледника составляет 0,8—0,9 км²,

Таблица 8

Распределение ледников по величине их площади по основным районам бассейна р. Обихингоу

Район оледенения	Количество ледников площадью, км²							Всего ледников	Площадь одного ледника, км²	
	менее 0,1	0,1—0,5	0,5—1,0	1—5	5—10	10	более 30		максимальная	средняя
Верховья	79	85	25	21	6	6	2	224	114,6	1,6
	35,3	37,9	11,1	9,4	2,7	2,7	0,9	100		
Левобережье	29	94	19	37	2	3	—	184	27,8	1,0
	15,8	51,1	10,3	20,1	1,1	1,6		100		
Правобережье	75	61	21	18	3	3	—	181	24,2	0,8
	41,4	33,7	11,6	9,9	1,7	1,7		100		
Низовья	24	41	12	8	—	—	—	85	2,6	0,3
	28,2	48,3	14,1	9,4				100		
Итого	207	281	77	84	11	12	2	674	114,6	1,0
	30,7	41,7	11,4	12,5	1,6	1,8	0,3	100		

Примечания: 1. В числителе — количество ледников, в знаменателе — процент общего количества ледников в бассейне.

2. Дендритовые и сложные долинные ледники при подсчете не расчленены на отдельные потоки.

Таблица 9

Крупнейшие ледники бассейна р. Обихингоу

Название (номер) ледника	Район оледенения	Тип ледника	Площадь, км²	Длина, км
Гармо (№ 224—243)	Верховья	дендр.	114,6	30,4
Гандо (№ 188—194)	»	»	44,6	22,0
Дарвазский (№ 406—413)	Левобережье	»	27,8	16,2
Петра Первого (№ 69—74)	Правобережье	»	24,2	17,2
Мазарский (№ 392—393)	Левобережье	сл. дол.	23,0	16,8
Девлохан (№ 178—183)	Правобережье	дендр.	17,4	12,6
Батрут (№ 359)	Верховья	дол.	16,6	12,4
Зорди-Бираусо (№ 326—329)	»	сл. дол.	14,6	9,4
Скогач (№ 353)	»	дол.	12,6	12,0
Зюрюзамин (№ 90—93)	Правобережье	сл. дол.	12,1	13,0
Дархарвак (№ 452—457)	Левобережье	»	12,1	6,9
Ванчдара (№ 264—266)	Верховья	»	11,5	9,5
Токаест (№ 277—279)	»	»	10,9	5,6
Сытарги (№ 315—318)	»	»	10,3	6,0

лишь в западном районе он резко снижается до 0,3 км².

В табл. 10 показано количество ледников разной длины на основных участках территории бассейна. В целом наиболее широко распространены ледники длиной от 0,6 до 2,0 км. В бассейне р. Обимазар 77% составляют ледники средней длины — от 0,6 до 5,0 км, в то же время на западном участке только семь ледников превышают в длину 2 км. Самый длинный ледник бассейна — ледник Гармо — имеет протяженность 30,4 км.

Ледники бассейна р. Обихингоу занимают склоны, ориентированные самым различным образом (табл. 11). Почти на всей территории преобладают ледники северной экспозиции. Хорошо заметно влияние различных условий увлажненности склонов и освещенности солнцем на правобережье р. Обихингоу, где ледники имеют значительное распространение на обоих склонах южной ветви хр. Петра Первого. В этом районе развитие оледенения восточной экспозиции более заметно, чем на других участках бассейна р. Обихингоу (рис. 7). Причина этого в том, что ледниковые долины горной цепи хр. Петра Первого, открытой западным влагонесущим потокам, чрезвычайно глубоко врезаны, благодаря чему концентрация снега на ледниках подветренных склонов более значительна, чем в других районах. Западную составляющую здесь обеспечивают главным образом ледники в «куте» долины р. Вайзирек, на стыке двух высоких хребтов — северной и южной ветвей хр. Петра Первого.

Перенос снега на восточные склоны хорошо заметен и в низовьях р. Обихингоу. Здесь, несмотря на общую южную экспозицию склона хр. Петра Первого, основная площадь оледенения принадлежит восточному сектору, внутри которого особенно большое распространение имеют ледники северо-восточного румба (рис. 7).

В верховьях бассейна, помимо резкого преобладания ледников северной ориентации, более развито по сравнению с другими районами оледенение западной ориентации. Это объясняется орографическими условиями района. Чрезвычайно большие

Таблица 10

Соотношение количества ледников различной длины по основным районам бассейна р. Обихингоу

Район оледенения	Количество ледников длиной, км								Всего ледников	Максимальная длина одного ледника, км
	<0,5*	до 0,5	0,6—1,0	1,1—2,0	2,1—5,0	5,1—10,0	10,1—20,0	>20		
Верховья	79	10	45	47	28	5	5	5	224	30,4
	35,4	4,5	20,1	20,9	12,5	2,2	2,2	2,2	100	
Левобережье	29	10	50	46	45	1	3	—	184	16.8
	15,8	5,4	27,2	25,0	24,5	0,5	1,6		100	
Правобережье	75	14	31	32	21	4	4	—	181	17,2
	41,4	7,7	17,2	17,7	11,6	2,2	2,2		100	
Низовья	24	10	25	19	7	—	—	—	85	4,0
	28,2	11,8	29,4	22,4	8,2				100	
Итого	207	44	151	144	101	10	12	5	674	30,4
	30,7	6,5	22,4	21,4	15,0	1,5	1,8	0,7	100	

Примечания. 1. В числителе — количество ледников, в знаменателе — процент общего количества ледников в каждом районе.

2. Дендритовые и сложные долинные ледники не расчленены на составляющие их потоки.

* В эту графу занесены ледники размерами менее 0,1 км² независимо от их длины.

Таблица 11

Распределение ледников по экспозициям по основным районам бассейна р. Обихингоу

Экспозиция ледников	Количество ледников		Площадь	
	всего	% общего количества	км²	% общей площади
Верховья				
С	48	25,2	95,8	27,2
СВ	47	24,6	53,6	15,2
В	5	2,6	6,5	1,8
ЮВ	13	6,8	19,6	5,6
Ю	15	7,8	17,6	5,0
ЮЗ	17	8,9	45,7	13,0
З	16	8,3	28,4	8,1
СЗ	30	15,8	85,2	24,1
Итого	191	100	352,4	100
Левобережье				
С	51	29,6	49,8	26,3
СВ	45	26,2	64,8	34,3
В	11	6,4	7,9	4,2
ЮВ	11	6,4	5,2	2,7
Ю	10	5,8	6,3	3,3
ЮЗ	6	3,5	6,1	3,2
З	7	4,1	2,9	1,5
СЗ	31	18,0	46,4	24,5
Итого	172	100	189,4	100
Правобережье				
С	26	20,8	43,7	32,5
СВ	16	12,8	12,3	9,2
В	19	15,2	26,0	19,4
ЮВ	14	11,2	12,4	9,2
Ю	24	19,2	17,2	12,8
ЮЗ	9	7,2	2,5	1,9
З	9	7,2	17,2	12,8
СЗ	8	6,4	2,9	2,2
Итого	125	100	134,2	100
Низовья				
С	13	21,4	3,1	12,0
СВ	15	24,6	10,9	42,1
В	6	9,8	2,6	10,0
ЮВ	8	13,1	3,6	13,9
Ю	5	8,2	1,3	5,0
ЮЗ	—	—	—	—
З	3	4,9	1,6	6,2
СЗ	11	18,0	2,8	10,8
Итого	61	100	25,9	100
В целом по бассейну				
С	138	25,0	192,4	27,5
СВ	123	22,5	141,6	20,0
В	41	7,5	43,0	6,2
ЮВ	46	8,4	40,8	5,7
Ю	54	9,8	42,4	6,1
ЮЗ	32	5,8	54,3	7,8
З	35	6,4	50,1	7,1
СЗ	80	14,6	137,3	19,6
Итого	549	100	701,9	100

Примечания. 1. Дендритовые и сложные долинные ледники расчленены на составляющие их потоки.
2. Ледники площадью менее 0,1 км² в таблицу не включены.

высоты хребтов Академии Наук и Петра Первого позволяют накапливаться здесь огромным массам снега, которые питают ледники, спускающиеся по главным долинам на запад.

Северная экспозиция ледников бассейна р. Обимазар целиком отвечает орографическим особенностям бассейна, занимающего северный склон Дарвазского хребта.

Морфологические типы ледников. Бассейн р. Обихингоу как характерный район Западного

Памира отличается огромным разнообразием морфологических типов ледников, которое трудно уложить в рамки классификации, принятой для составления Каталога ледников СССР. Сильно расчлененный рельеф создает множество вариантов переходных форм ледников.

Наиболее многочисленны в бассейне р. Обихингоу простые долинные ледники, которые составляют более трети общего числа ледников (табл. 12). На втором месте по количеству стоят каровые ледники, которые вместе со своими вариациями — асимметричными каровыми и висячими каровыми — составляют около 20% всех ледников. Значительно число карово-долинных и висячих ледников, сложные долинные ледники стоят на пятом месте.

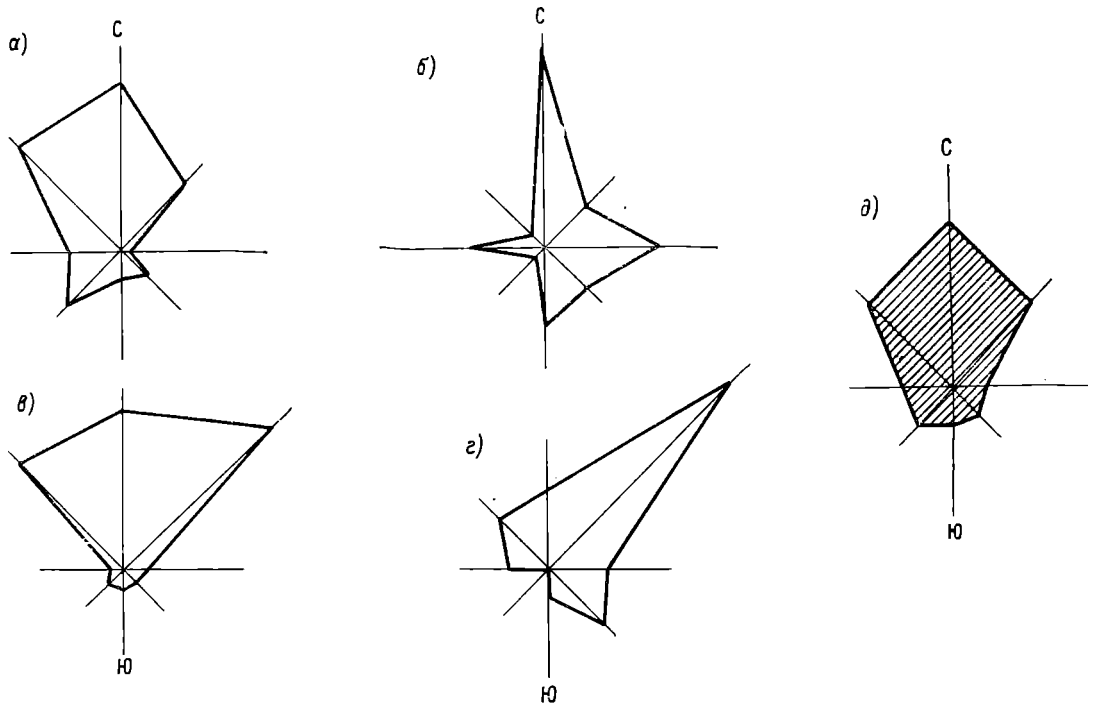


Рис. 7. Распределение площади ледников по экспозициям по основным районам бассейна р. Обихингоу.
а — верховья, *б* — правобережье, *в* — левобережье, *г* — низовья, *д* — распределение по экспозициям всех ледников района в целом.

Однако распределение площади оледенения и соответственно основных запасов льда в бассейне р. Обихингоу иное.

Наибольшую площадь в сумме занимают сложные долинные ледники — около трети всего оледенения р. Обихингоу, а вместе с пятью дендритовыми ледниками их площадь удваивается.

Таблица 12

Распределение морфологических типов ледников по основным районам бассейна р. Обихингоу

Морфологический тип ледника	Верховья			Левобережье			Правобережье			Низовья			Всего		
	количество ледников	площадь, км²	% общей площади	количество ледников	площадь, км²	% общей площади	количество ледников	площадь, км²	% общей площади	количество ледников	площадь, км²	% общей площади	количество ледников	площадь, км²	% общей площади
Дендритовый	2	159,2	45,2	1	27,8	14,7	2	41,6	31,0	—	—	—	5	228,6	32,6
Сложный долинный	16	99,7	28,3	7	54,8	28,9	11	42,2	31,5	2	2,1	8,1	36	198,8	28,3
Простой долинный	49	70,0	20,0	59	67,6	35,6	26	30,7	22,9	24	14,6	56,4	158	182,9	26,0
Висячий долинный	10	3,0	0,8	2	0,4	0,2	6	1,9	1,4	—	—	—	18	5,3	0,8
Асимметричный долинный	8	8,7	2,5	11	10,1	5,3	4	4,6	3,4	5	2,2	8,5	28	25,6	3,6
Котловинный	—	—	—	4	14,0	7,4	—	—	—	—	—	—	4	14,0	2,0
Карово-долинный	12	3,8	1,1	24	6,2	3,3	13	4,7	3,5	4	1,5	5,8	53	16,2	2,3
Висячий каровый	6	0,9	0,2	1	0,1	0,1	6	1,7	1,3	1	0,1	0,4	14	2,8	0,4
Каровый	14	2,9	0,8	28	4,5	2,4	23	4,2	3,1	10	1,3	5,0	75	12,9	1,8
Асимметричный каровый	—	—	—	1	0,3	0,2	—	—	—	1	0,1	0,4	2	0,4	0,1
Карово-висячий	1	0,3	0,1	2	0,3	0,2	—	—	—	—	—	—	3	0,6	0,1
Висячий	19	2,2	0,6	9	1,4	0,7	13	1,9	1,4	2	0,7	2,7	43	6,2	0,9
Склоновый	2	0,5	0,1	2	0,7	0,4	—	—	—	9	2,8	10,8	13	4,0	0,6
Присклоновый	6	1,2	0,3	4	1,2	0,6	2	0,7	0,5	3	0,5	1,9	15	3,6	0,5
Итого	145	352,4	100	155	189,4	100	106	134,2	100	61	25,9	100	467	701,9	100

Примечания. 1. Сложные долинные и дендритовые ледники не расчленены на отдельные потоки.
2. Ледники площадью менее 0,1 км² в таблицу не включены.

Крупнейший ледник района — дендритовый ледник Гармо. Составляющие ледники Гармо — ледники Липского, Беляева, Вавилова, Шокальского. Первые два ледника с их притоками образуют широкий веер в верховьях долины р. Гармо. Ледники Вавилова и Шокальского (левые притоки) — крупные ледники с длинным центральным «стволом» и ветвистыми притоками. Фирновая область основного потока ледника Беляева — высокая, занимает несколько цирков. Крутые склоны над ледником несут на себе висячие фирновые поля; в любое время года здесь грохочут постоянные обвалы льда и лавины. Язык ледника Гармо несколько раз меняет направление своего течения, следуя изгибам долины (ЮЗ, СЗ, Ю, ЮЗ, З). На языке ледника в средней его части хорошо видны полосы срединных морен. В нижней части на протяжении 7 км язык сплошь закрыт моренным чехлом. Конец языка в настоящее время монолитный, поверхность его бугристая с многочисленными мелкими озерками (рис. 8, 9, 50). Ледник Вавилова — крупнейшая южная ветвь ледника Гармо. В верховьях ледника поднимаются крутые заснеженные склоны грандиозного пика Гармо (6595 м). Язык ледника до соединения с Гармо на большей части своей ширины свободен от морены. Более развита правая боковая морена, которая закрывает слившиеся между собой концы правых притоков (№ 232—237). По состоянию на 1969—1971 гг. ледник является активным притоком ледника Гармо. При слиянии с главным ледником его лед резко поворачивает на юго-запад в виде широкой белой ленты.

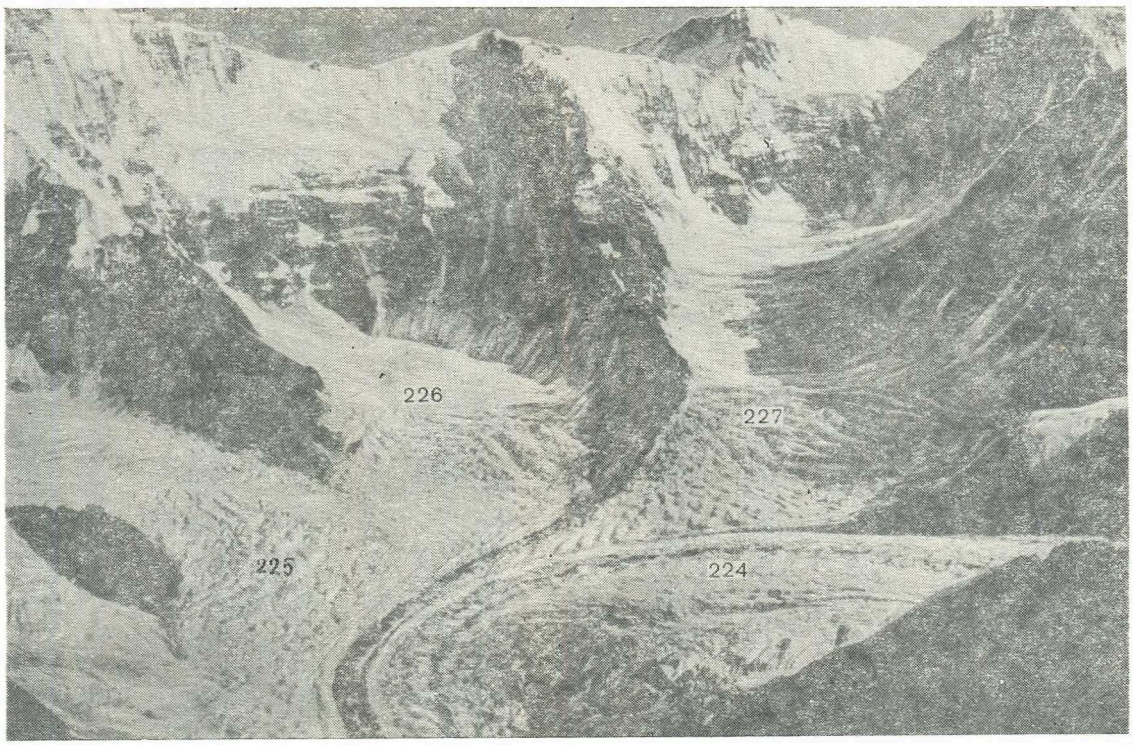


Рис. 8. Верховья ледника Беляева, цирки правых его притоков (ледников № 226, 227).

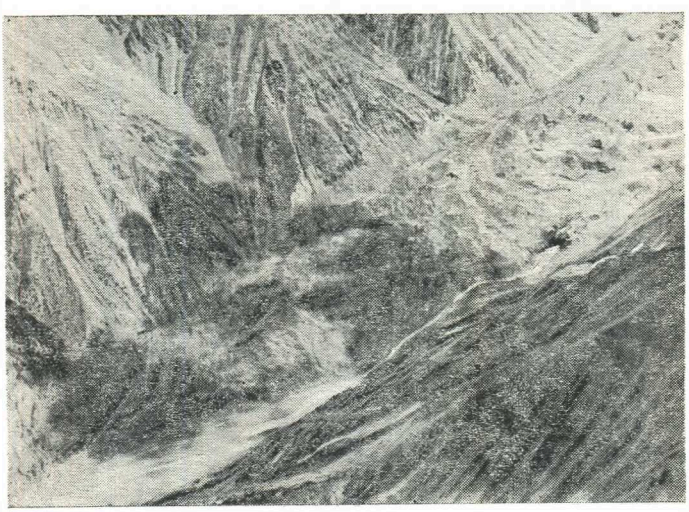


Рис. 9. Конец языка ледника Гармо.

Второй и последний левый приток ледника Гармо — ледник Шокальского с его многокамерной областью питания, вытянутой у подножья северного, тылового склона широкого цирка. Мощный поток льда занимает прямую долину, уходящую на север (рис. 10). Ледник принимает три притока. В районе фирновой линии и верхней части языка находится характерная «ячеистая» поверхность с многочисленными мелкими озерками.

Второй по величине ледник района — дендритовый ледник Гандо (рис. 11). Основной поток ледника (№ 188) имеет сложную, многокамерную область питания. После слияния пяти крупных

коротких потоков льда в верховьях ледниковый поток превышает в ширину 2 км. Тыловые склоны над ледником круты, северные покрыты фирном и снегом, южные местами лишены снега. Сильно развита лавинная деятельность.



Рис. 10. Ледник Шокальского (№ 240).

Главный приток — ледник Дорофеева (№ 191) — имеет обширную, ровную, высокоподнятую фирновую область. Окружающие ее с юга белоснежные вершины относительно невысоко поднимаются над фирновым бассейном. Правый склон над ледником скалистый, здесь ледник получает единственный короткий приток, выходящий из небольшого кара. На относительно ровных участках поверхности фирновой области и верхней части языка ледника Дорофеева (так же, как и ледника Гандо) развит характерный бугристо-ячеистый рельеф (см. рис. 49). Язык ледника Дорофеева после слияния с ледником Гандо протягивается почти на 6 км и хорошо очерчен моренными валами. Ниже его впадения ледник Гандо принимает слева еще три небольших притока (рис. 12). Язык ледника Гандо заполняет дно длинной долины, ширина его постепенно уменьшается до 500 м. Моренные гряды начинаются высоко, при слиянии основных составляющих в верховьях. В средней и нижней части языка полосы морены образуют на поверхности характерные «петли», картина которых меняется в разные годы. Ниже конца ледника дно долины занято участком мертвого льда, протяженностью 1,5 км. Мертвый лед погребен также в береговых моренах.

Ледники Дарвазский (дендр.) и Мазарский (сл. дол.) принадлежат бассейну р. Обимазар. Каждый из них превышает по площади 20 км². Оба ледника расположены в узких глубоких долинах с крутыми склонами. Область их питания не-

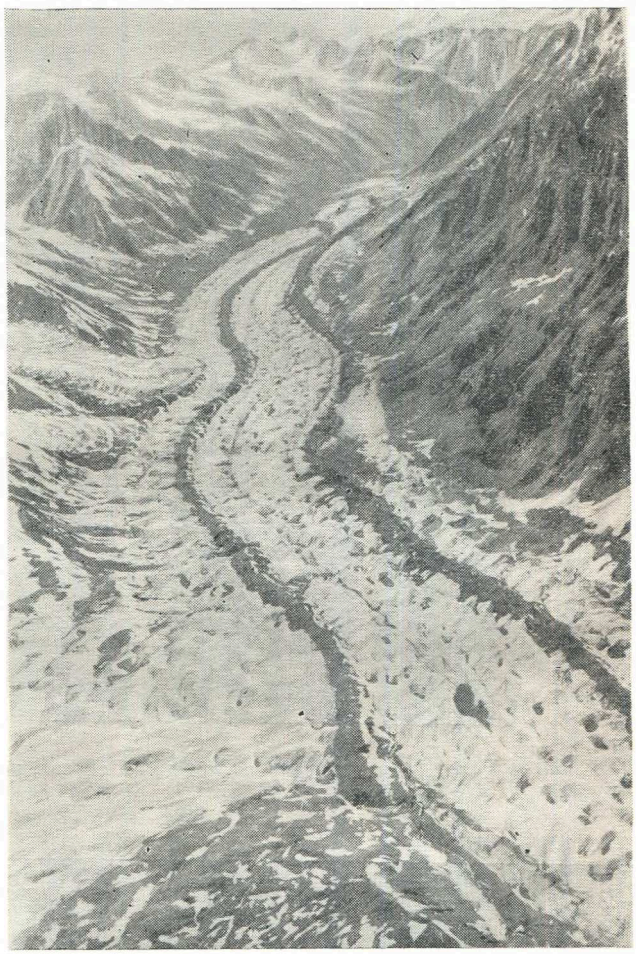


Рис. 11. Язык ледника Гандо.



Рис. 12. Левые притоки ледника Гандо.

велика по сравнению с длинным языком (особенно у Дарвазского ледника). Питаются ледники преимущественно лавинами и обвалами фирна. Поверхность языков на большей своей части закрыта моренным чехлом. Концы ледников труднопроходимы, покрыты буграми и провалами, заваленными черной мореной.

Оба ледника в своей нижней части принимают по одному крупному притоку, строение которого сходно с описанным выше главным потоком. В верховьях с Дарвазским ледником соединяется множество более мелких потоков льда, спускающихся с левого склона. Верхняя часть Мазарского ледника более цельная и широкая. Этот ледник берет начало от обширного белоснежного плато в пригребневой части Дарвазского хребта, которое питает также несколько крупных ледников противоположного склона хребта.

В северной части района, на склоне хр. Петра Первого, находятся еще два дендритовых ледника— Петра Первого и Девлохан.

Ледник Петра Первого (№ 69—74) — один из выдающихся ледников района, который начинается на стыке северной и южной ветвей хр. Петра Первого. Его фирновая область представляет ровное пространство, поднятое на высоту 4600—5000 м. Ниже с крутой ступени спускается на 400 м мощный ледопад шириной более 1 км — сплошной хаос трещин и обломков льда (рис. 13).

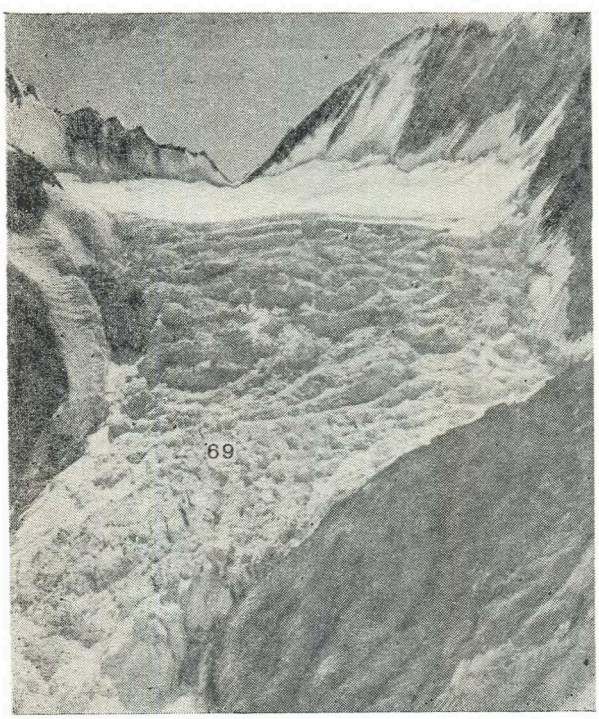


Рис. 13. Ледопад в верховьях ледника Петра Первого (№ 69).

Фирновая линия проходит у его подножья. Язык полого спускается по долине. В его верхней части хорошо заметна серия характерных поперечных дуг. Мореной покрыты в основном краевые части ледника (больше правая часть и конец) (см. рис. 14, 15).

Ледник принимает слева два крупных притока (ледники № 72—74) и справа, в верховьях, два небольших потока льда. В 1897—1899 гг. ледники № 85 и 88, сливаясь, образовывали нижний приток ледника Петра Первого (табл. V/№ 19).



Рис. 14. Язык ледника Петра Первого (№ 69) в средней части.

Ледник Девлохан (№ 178—183) (рис. 16, 48). Верховья ледника почти смыкаются у гребня хребта с верховьями ледника Петра Первого, лежащего на противоположном склоне хребта. Питание ледника и его притоков в большой степени лавинно-обвальное. Значительную долю питания ледник получает с правого склона (северной экспозиции), покрытого на большом протяжении фирном и снегом (рис. 17). Поверхность основного потока ледника (№ 178) почти наполовину длины закрыта мореной. Целиком закрыты мореной и языки притоков № 181 и 182. Конец ледника постепенно отступает и разрушается, на его поверхности развиты термокарстовые процессы.

Правый приток ледника (№ 179) состоит из двух потоков. Основной из них, левый, занимает узкую длинную долину. Его область питания морфологически не выражена, а поверхность сильно разбита трещинами. Правый поток льда имеет короткий широкий язык. Область питания занимает обширный участок склона северной экспозиции. Ледники в среднем течении разделены длинным

нунатаком, от которого вниз по леднику протягивается темная полоса срединной морены. В верховьях правая составляющая ледника расположена на более высоком гипсометрическом уровне по сравнению с левой.

(рис. 18) и на северных склонах хр. Петра Первого. В бассейне р. Обимазар их меньше, что связано с понижением высот и уменьшением расчлененности Дарвазского хребта по сравнению с предыдущими районами. В западной части бассейна

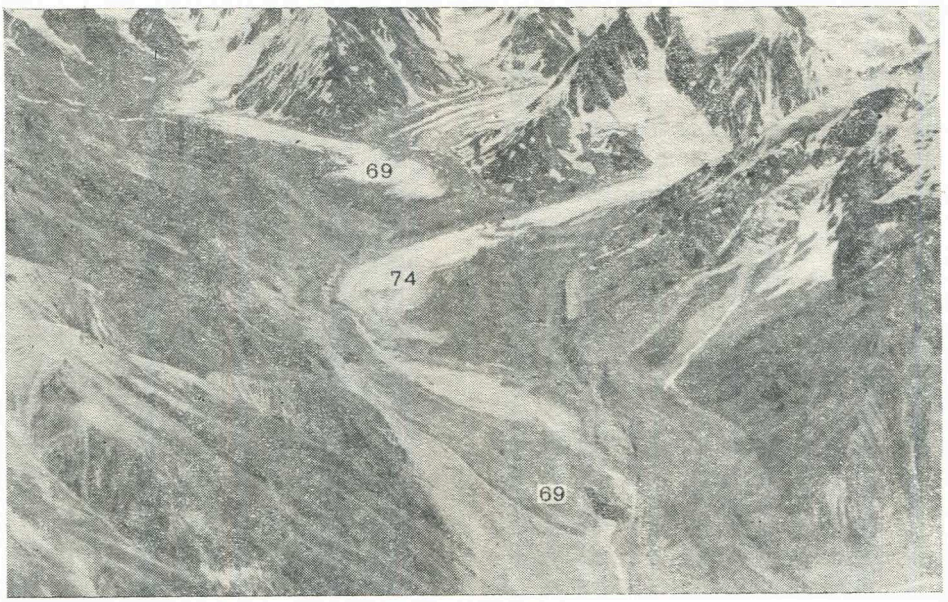


Рис. 15. Конец языка ледника Петра Первого (№ 69).

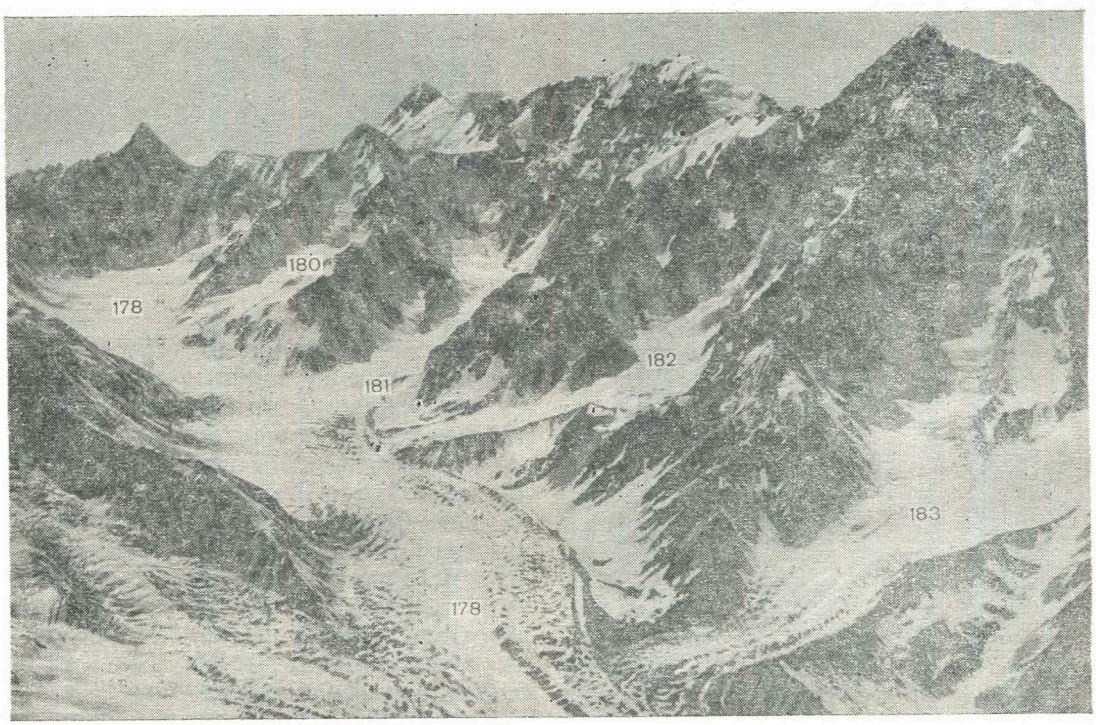


Рис. 16. Ледник Девлохан (№ 178) с притоками.

Сложные долинные ледники в бассейне р. Обихингоу многочисленны и приурочены к наиболее высоким участкам хребтов, преимущественно северной экспозиции. Основное количество ледников этого типа находится в верховьях главной долины р. Обихингоу сложных долинных ледников всего два.

Сложный долинный ледник Баральмос (№ 62—63) образуется при слиянии двух почти равновеликих потоков льда. По своей морфологии



Рис. 17. Верховья ледника Девлохан и заснеженный правый склон (№ 178).



Рис. 18. Верховья сложного долинного ледника Зорди-Бираусо (№ 326—329).

это типичные ледники туркестанского типа (рис. 19). Область аккумуляции морфологически не выражена. Фирновая линия совпадает с нижней границей крупных лавинно-обвальных конусов, располагающихся у подножья тыловых склонов ледников. Граница области питания проходит несколько ниже, включая зону наложенного льда. Уклон поверхности ледников невелик. Языки обоих потоков почти полностью закрыты моренным чехлом. В нижней части языка его поверхность изборождена промоинами и ямами с озерками.

Ледник Биджау (№ 363—364) — сложный долинный ледник северного склона Мазарского хребта. Области питания обоих составляющих потоков—крутопадающие, разбитые огромными трещинами. Язык правого, основного потока занимает широкую относительно пологую долину. Его поверхность довольно спокойная и чистая, по бокам тянутся длинные гряды морен. Язык левого потока узкий, зажатый между склоном и мощным ледником справа. Его поверхность разбита трещинами и почти целиком покрыта мореной.

Простые долинные ледники, небольшие по размерам по сравнению со сложными, благодаря своей многочисленности занимают более четверти всей площади оледенения бассейна р. Обихингоу. Они наиболее распространены среди ледников прочих типов во всех четырех районах бассейна и встречаются на склонах любой экспозиции (рис. 20).

Для некоторых из них лавины и обвалы фирна с крутых тыловых склонов являются практически единственной статьей прихода вещества. Площадь области питания таких ледников ничтожна. Язык, зажатый в узком ущелье, завален почти целиком мореной. Это «туркестанские» ледники, примером

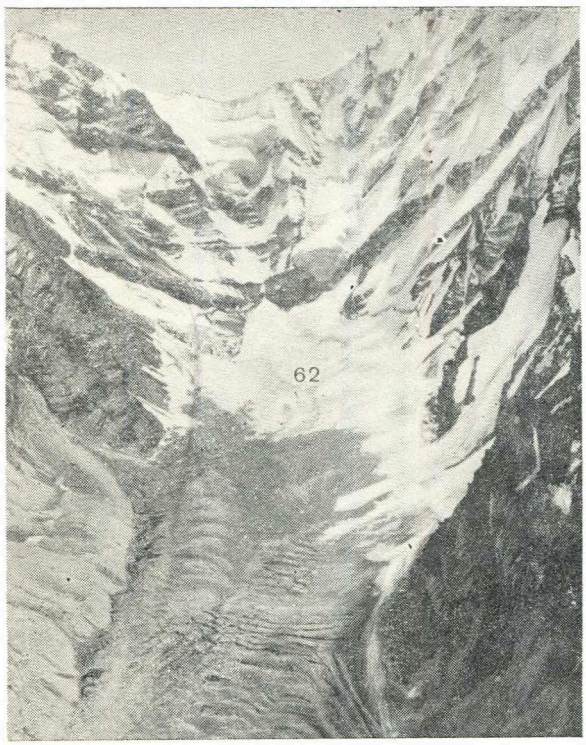


Рис. 19. Верховья ледника Баральмас (№ 62).



Рис. 20. Долинный ледник № 388 в верховьях р. Обимазар.

которых могут служить почти все долинные ледники северного склона хр. Петра Первого, в том числе и составляющие сложных. В других районах это ледники № 284, 393, 469 и др. (см. рис. 19, 23).

Нередки асимметричные долинные ледники, область питания которых занимает склон северной экспозиции, а языки вытянуты вдоль его подножья и далее вниз по долине широтного простирания (например, ледники № 127, 135, 340, 509 и др.). Висячие долинные ледники с крутопадающим изломанным трещинами языком характерны для верховий долины р. Обихингоу и северного склона хр. Петра Первого, где расчленение и крутизна склонов долин наиболее значительны.

Средняя величина простого долинного ледника в бассейне р. Обихингоу равна 1,1 км². Наиболее крупные из ледников этого типа находятся на северном склоне Мазарского хребта — ледники Батрут (№ 359), Скогач (№ 353) и др.

Ледник Батрут (№ 359) — крупнейший ледник (16,6 км²) северного склона Мазарского хребта с высокой областью питания, представляющей обширные белоснежные поля, круто падающие на север и разделенные узкими скалистыми гребнями. Язык ледника в своей верхней части достигает 2 км в ширину, мощным потоком спускается по долине и близ конца прерывается высокой скальной ступенью. Ниже ступени конец языка на протяжении около 2 км закрыт мореной.

В 1899 г. В. И. Липский прошел снизу по языку ледника (табл. V/№ 19) и принял этот отвесный обрыв за тыловую стену ледника. Ученого поразила нависающая над стеной сверкающая толща льда и непрекращающийся грохот обвалов и шум водопадов, падающих со ступени. Основной, более длинной ветвью ледника Батрут Липский считал ледник № 362, хорошо видный снизу и бывший тогда притоком ледника Батрут. Во время составления настоящего каталога ледников ледник № 362 кончался у края ледника Батрут. Однако этот ледник — «пульсирующий»: периодически конец его продвигается вперед и частично перекрывает конец ледника Батрут.

Широко распространены в бассейне р. Обихингоу каровые ледники. Они многочисленны во всех районах бассейна. Нередко встречаются каровые ледники прямой южной экспозиции на тех участках склонов, где отсутствуют ледники других, более развитых морфологических типов. Размер карового ледника очень невелик — в среднем 0,2 км². В старых разрушенных цирках, обычно у подветренного или северного склона, образуются присклоновые ледники, вытянутые в ширину, иногда подковообразной формы. Типичные примеры присклоновых ледников — ледники № 304, 475, 514.

Карово-долинные ледники тоже многочисленны как промежуточная форма ледника между двумя наиболее распространенными здесь типами ледников. Поскольку ледники этого типа отличаются сравнительно коротким языком, их размеры (0,3 км²) (рис. 21) в среднем ближе к каровым ледникам, чем к долинным.

Висячие ледники наиболее характерны для крутых скалистых склонов северного и восточного рай-

онов бассейна. При составлении данного каталога висячие ледники выделялись как самостоятельные единицы главным образом в тех случаях, когда они не являлись участком области питания нижележащего более крупного ледника и имели четкие границы. Фирновые поля, висящие на крутых

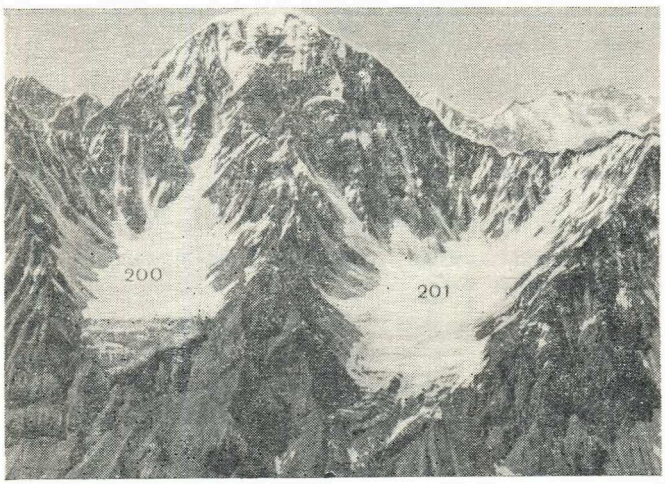


Рис. 21. Висячий каровый (№ 200) и карово-долинный (№ 201) ледники южного склона хр. Петра Первого.

склонах в верховьях многих ледников, сильно раздробленные, разбитые на «куски», не имеющие определенных границ между собой, считались частью области аккумуляции главного ледника, лежащего ниже.

Склоновые ледники в бассейне р. Обихингоу немногочисленны. Они располагаются на открытых, нерасчлененных участках склонов, принимающих на себя сравнительно большое количество осадков. Таким условиям более всего отвечает западный район, где находится наибольшее количество ледников этого типа. Средняя площадь склонового ледника в бассейне р. Обихингоу равна 0,3 км^2.

Морена на ледниках. Как уже указывалось, многие долинные ледники бассейна р. Обихингоу имеют очень небольшие области питания, так как целиком залегают в узких глубоких долинах. Такие ледники окружены высокими крутыми склонами, на которых снег не может накапливаться (рис. 19, 22). Вместе с постоянными снежными лавинами на поверхность ледника падает со склонов огромное количество обломочного материала, иногда полностью закрывающего поверхность языка. Черты ледников «туркестанского» типа имеют и наиболее крупные, сложные ледники, длинные языки которых на протяжении многих километров закрыты мощным моренным чехлом. Так, на Мазарском леднике морена закрывает треть области абляции, на леднике Зорди-Бираусо — почти половину, на леднике Дарвазском — около 60%. На языке ледника Гармо гряды морен, начинаясь на высотах 4400—4200 м, протягиваются на 25 км.

Таким образом, морена на ледниках бассейна р. Обихингоу значительно распространена. Третья часть всех ледников и почти 14% общей площади оледенения имеет моренное покрытие (табл. 13). Наибольшие площади льда закрыты мореной на ледниках хр. Петра Первого и в верховьях долины р. Обихингоу, что прямо связано с характером расчленения склонов в этих районах. Здесь почти половина ледников имеет моренное покрытие (рис. 23).



Рис. 22. Характер рельефа гребневой части хр. Петра Первого.



Рис. 23. Долинный ледник № 113 на северном склоне хр. Петра Первого.

Таблица 13

Морена на ледниках основных районов бассейна р. Обихингоу

Район оледенения	Площадь оледенения, км²	Площадь льда, закрытого мореной		Количество ледников с закрытым концом	Высота конца погребенной части ледника, м			Высота низшей точки открытой части ледника, м		
		км²	% общей площади		средняя	минимальная	максимальная	средняя	минимальная	максимальная
Верховья	352,4	45,2	12,8	74	3790	2970	4400	3980	3050	4650
Левобережье	189,4	17,6	9,2	39	3730	2950	4180	3890	3480	4550
Правобережье	134,2	32,6	24,3	61	3580	2900	4100	3810	3340	4430
Низовья	25,9	1,7	6,6	7	3600	3420	3750	3700	3550	3800
Всего	701,9	97,1	13,8	181	3700	2900	4400	3890	2550	4800

Примечания. 1. Сложные долинные и дендритовые ледники расчленены на составляющие их потоки.
2. Ледники площадью менее 0,1 км² в таблицу не включены.

Высота концов ледников под мореной в среднем по всему бассейну р. Обихингоу на 200 м ниже средней отметки концов всех ледников. Последняя отметка совпадает с нижней границей открытого льда на замореннных языках ледников (см. табл. 6 и 13). Как правило, концы ледников под мореной находятся на высоте не выше 4000 м.

Как продолжение ледника, закрытого мореной, ниже по долине нередко встречаются участки мертвого льда, иногда значительного протяжения. Так, у конца ледника Гандо поле мертвого льда имеет длину не менее 1,5 км, а у ледника Ванчдара оно занимает площадь 0,9 км². Часто морена закрывает сплошным покровом и конец языка, и мертвый лед ниже его, так что границу между ними без специальных исследований установить невозможно. Низшая точка ледника в таком случае определяется приблизительно (см. рис. 23, 47).

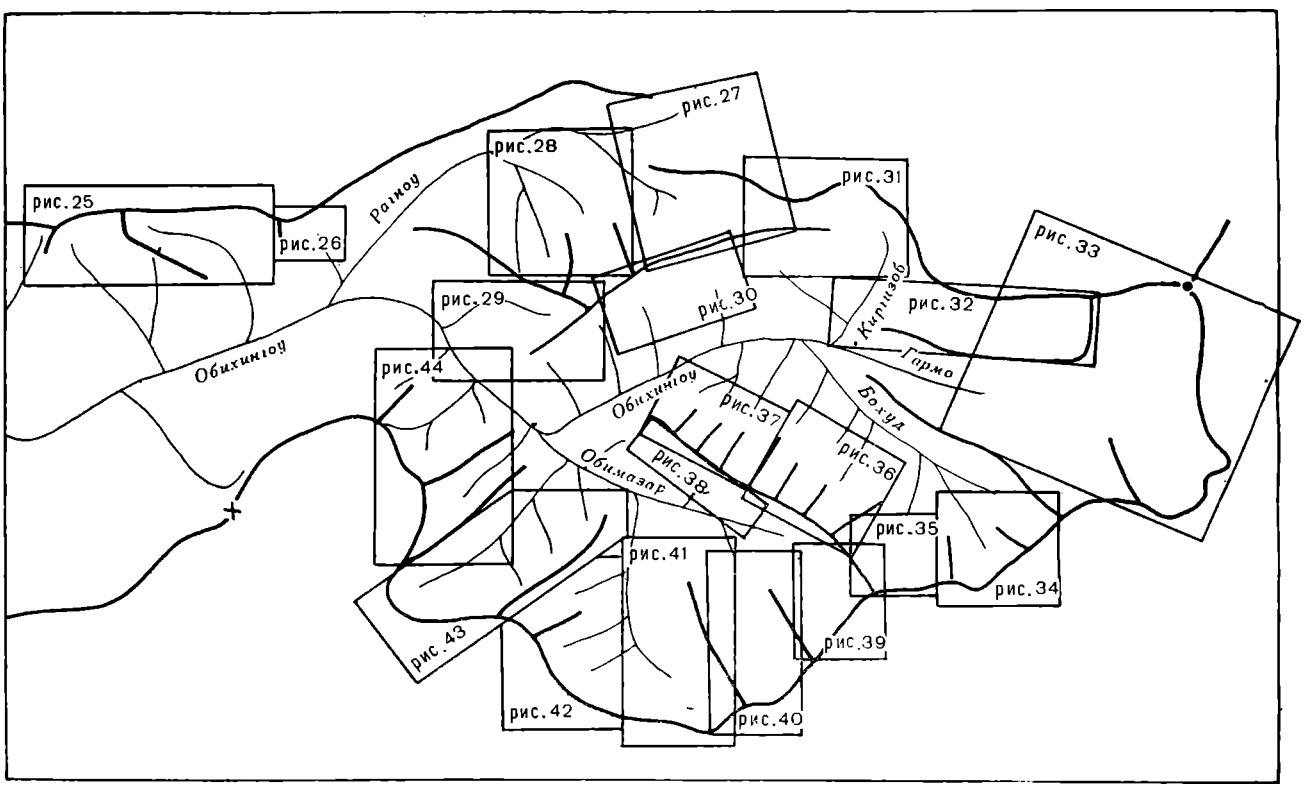


Рис. 24. Общая схема расположения отдельных участков оледенения бассейна р. Обихингоу, в пределах которых размещаются ледники, показанные на рис. 25—44.

Рисунок 25 — ледник № 1—42, рис. 26 — ледники № 43—61, рис. 27 — ледники № 62—89, рис. 28 — ледники № 90—116, рис. 29 — ледники № 117—134, рис. 30 — ледники № 135—159, рис. 31 — ледники 160—186, рис. 32 — ледники № 187—223, рис. 33 — ледники № 224—300, рис. 34 — ледники № 301—325, рис. 35 — ледники № 326—340, рис. 36 — ледники № 341—358, рис. 37 — ледники № 359—379, рис. 38 — ледники № 380—391, рис. 39 — ледники № 392—401, рис. 40 — ледники № 402—429, рис. 41 — ледники № 430—463, рис. 42 — ледники № 464—483, рис. 43 — ледники № 484—516, рис. 44 — ледники № 517—549.

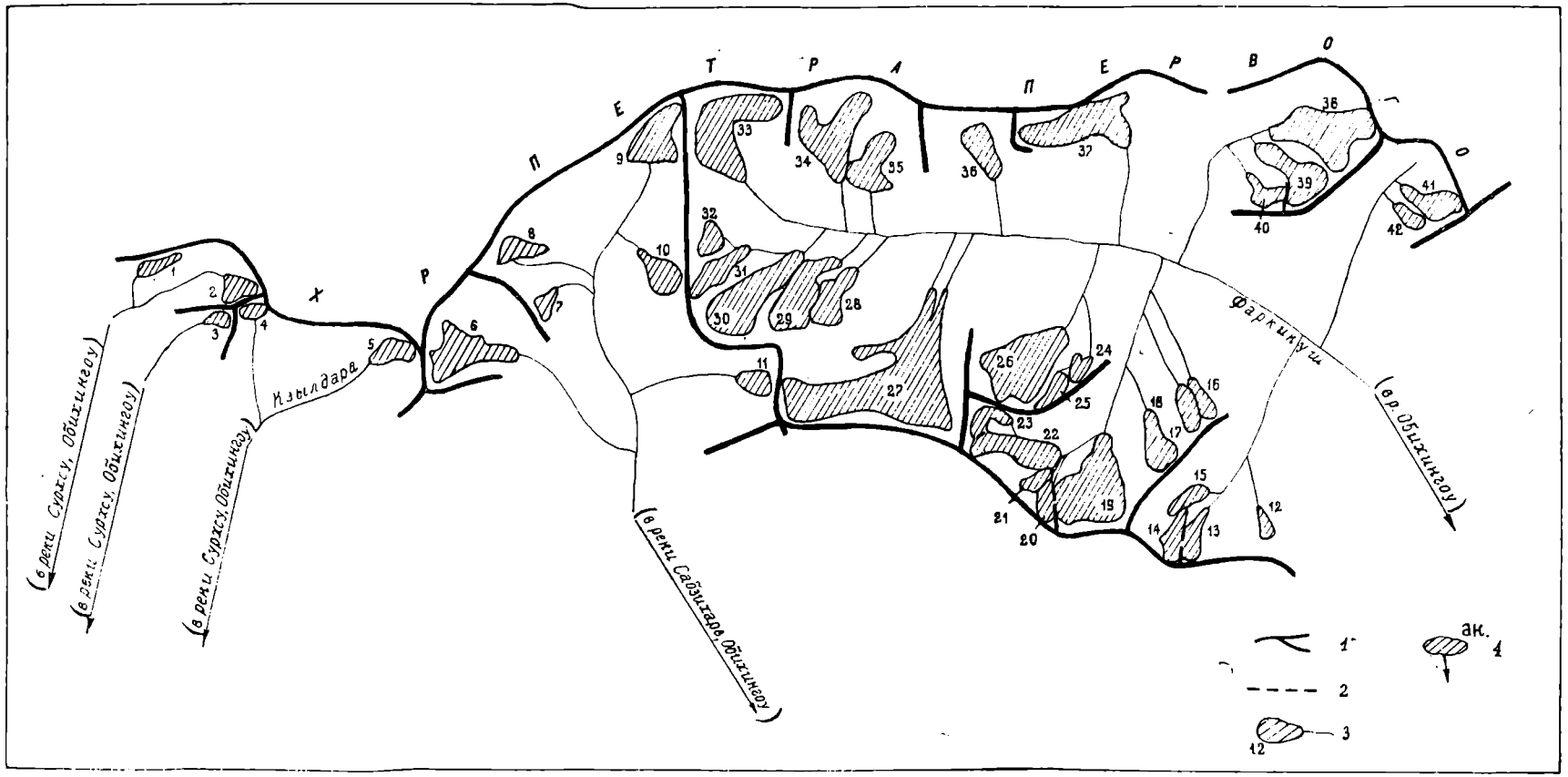


Рис. 25. Схема расположения ледников в бассейнах правых нижних притоков р. Обихингоу.

1 — хребет и основной отрог, *2* — ледораздел, *3* — ледник и его номер, *4* — висячее фирновое поле, относящееся к леднику.

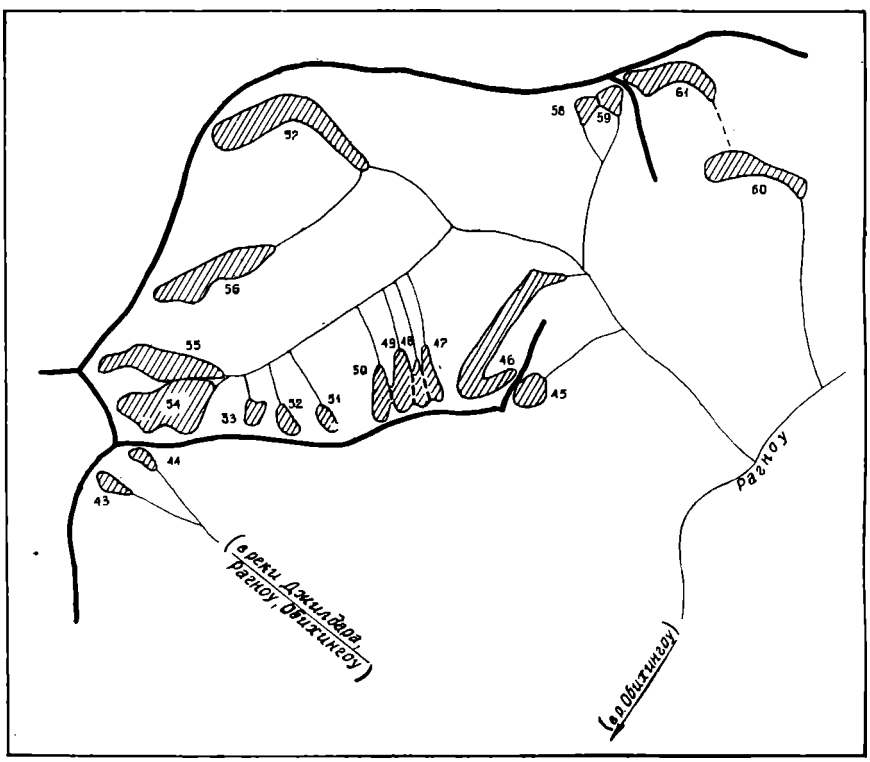


Рис. 26. Схема расположения ледников в бассейнах правых нижних притоков р. Рагноу.

Усл. обозначения см. на рис. 25.

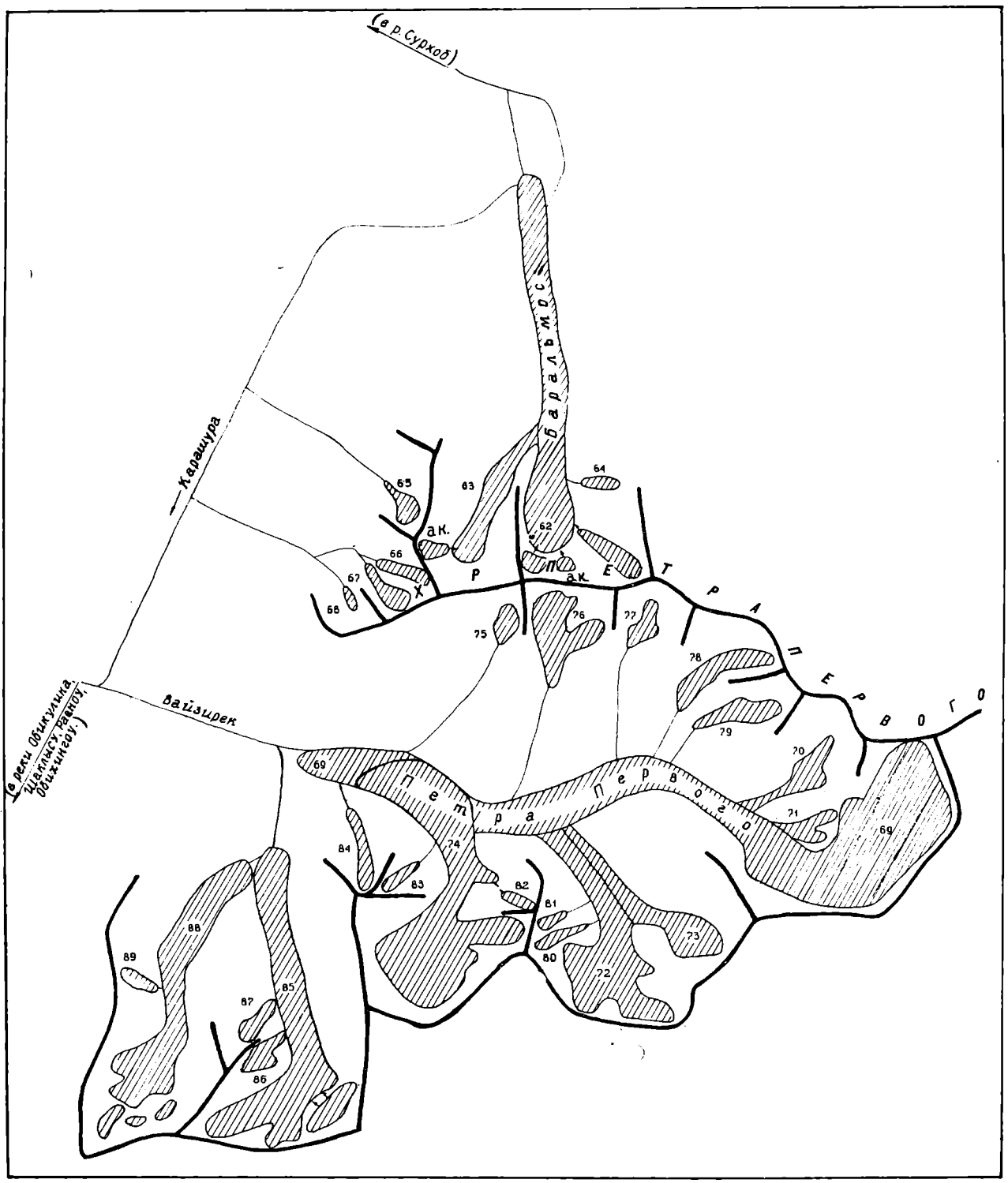


Рис. 27. Схема расположения ледников в бассейнах рек Карашура и Вайзирек.

Усл. обозначения см. на рис. 25.

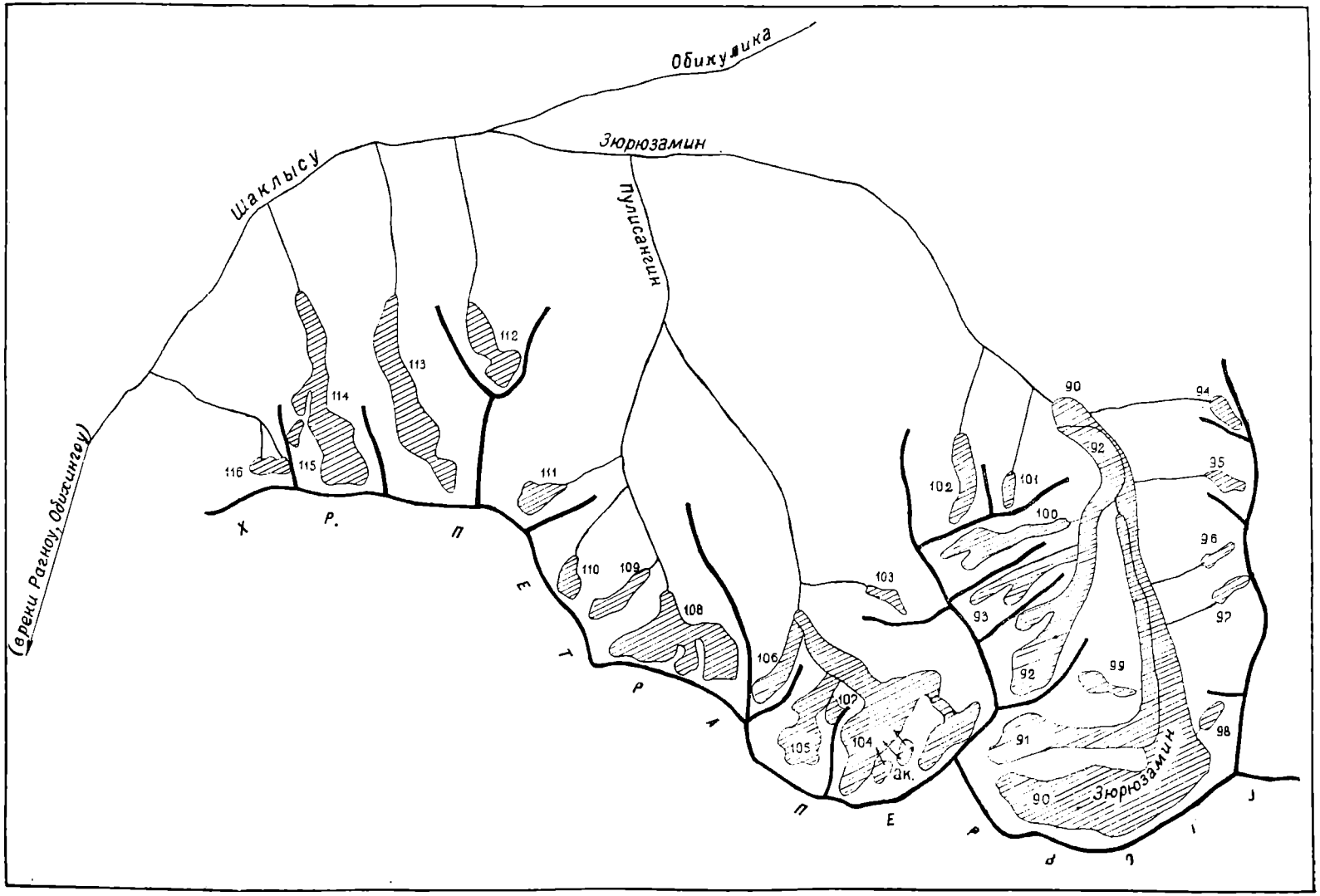


Рис. 28. Схема расположения ледников в бассейне р. Шаклысу.

Усл. обозначения см. на рис. 25.

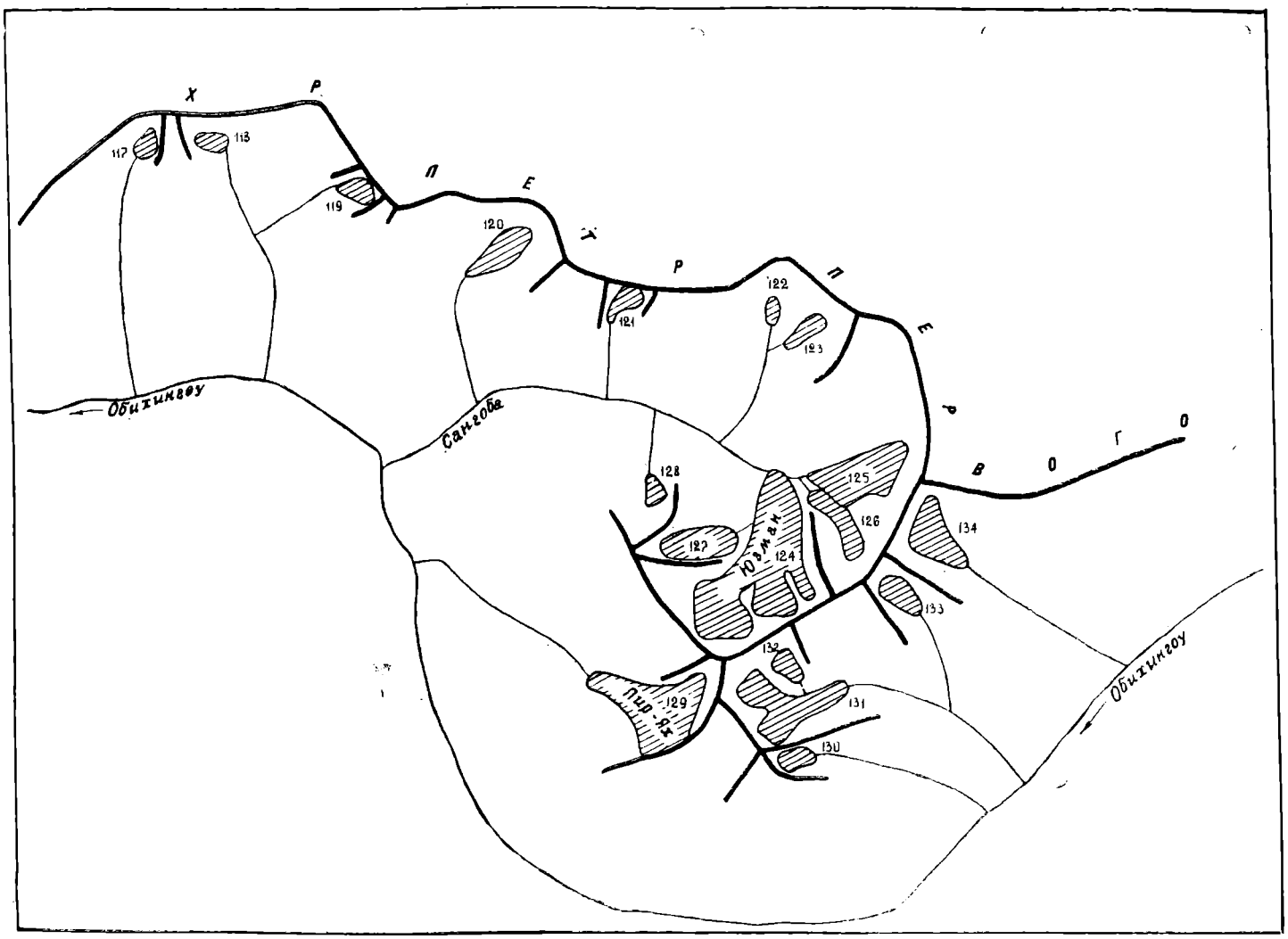


Рис. 29. Схема расположения ледников в бассейнах правых средних притоков р. Обихингоу.

Усл. обозначения см. на рис. 25.

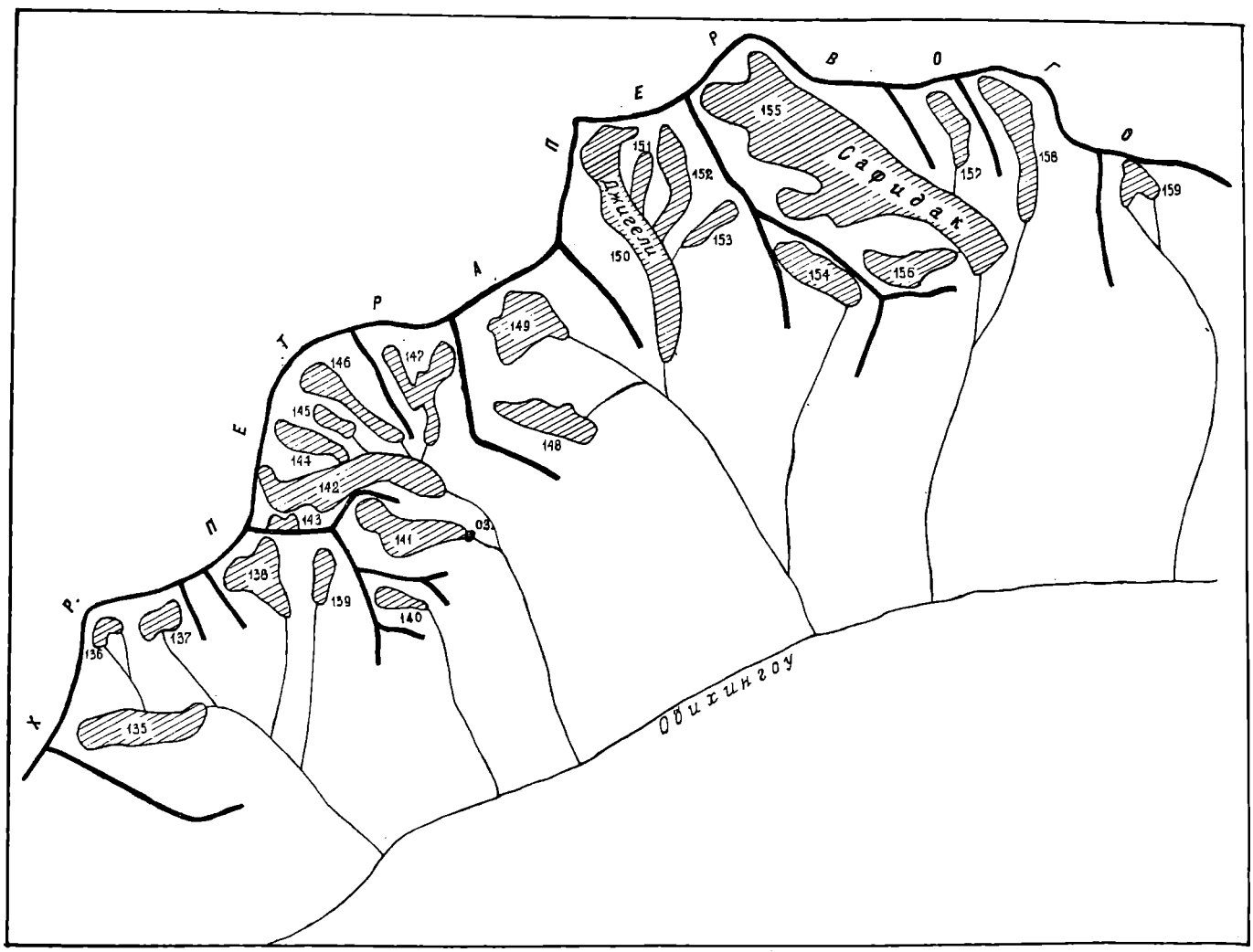


Рис. 30. Схема расположения ледников в бассейнах правых средних притоков р. Обихингоу.

Усл. обозначения см. на рис. 25.

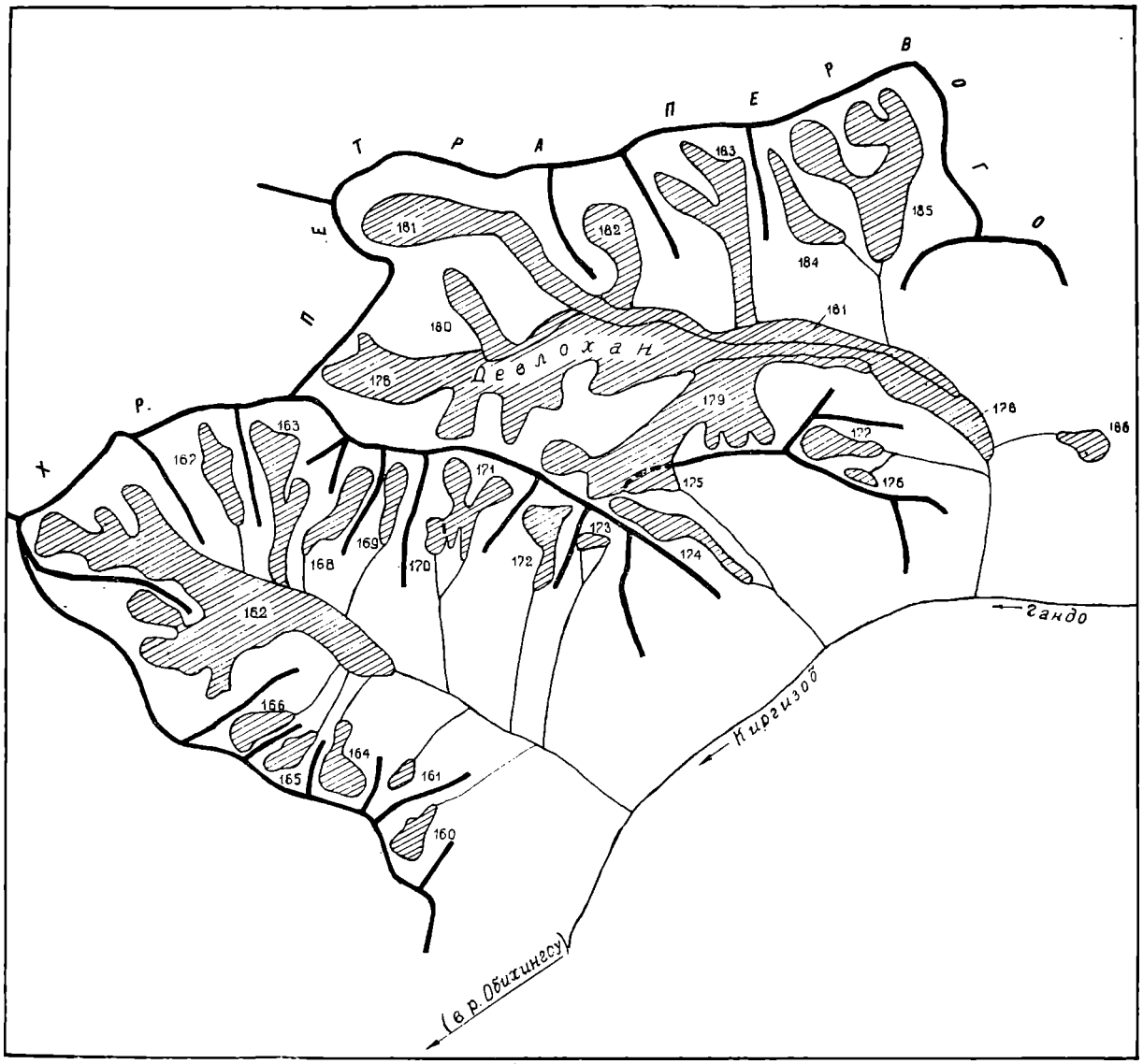


Рис. 31. Схема расположения ледников в бассейнах правых притоков р. Киргизоб.

Усл. обозначения см. на рис. 25.

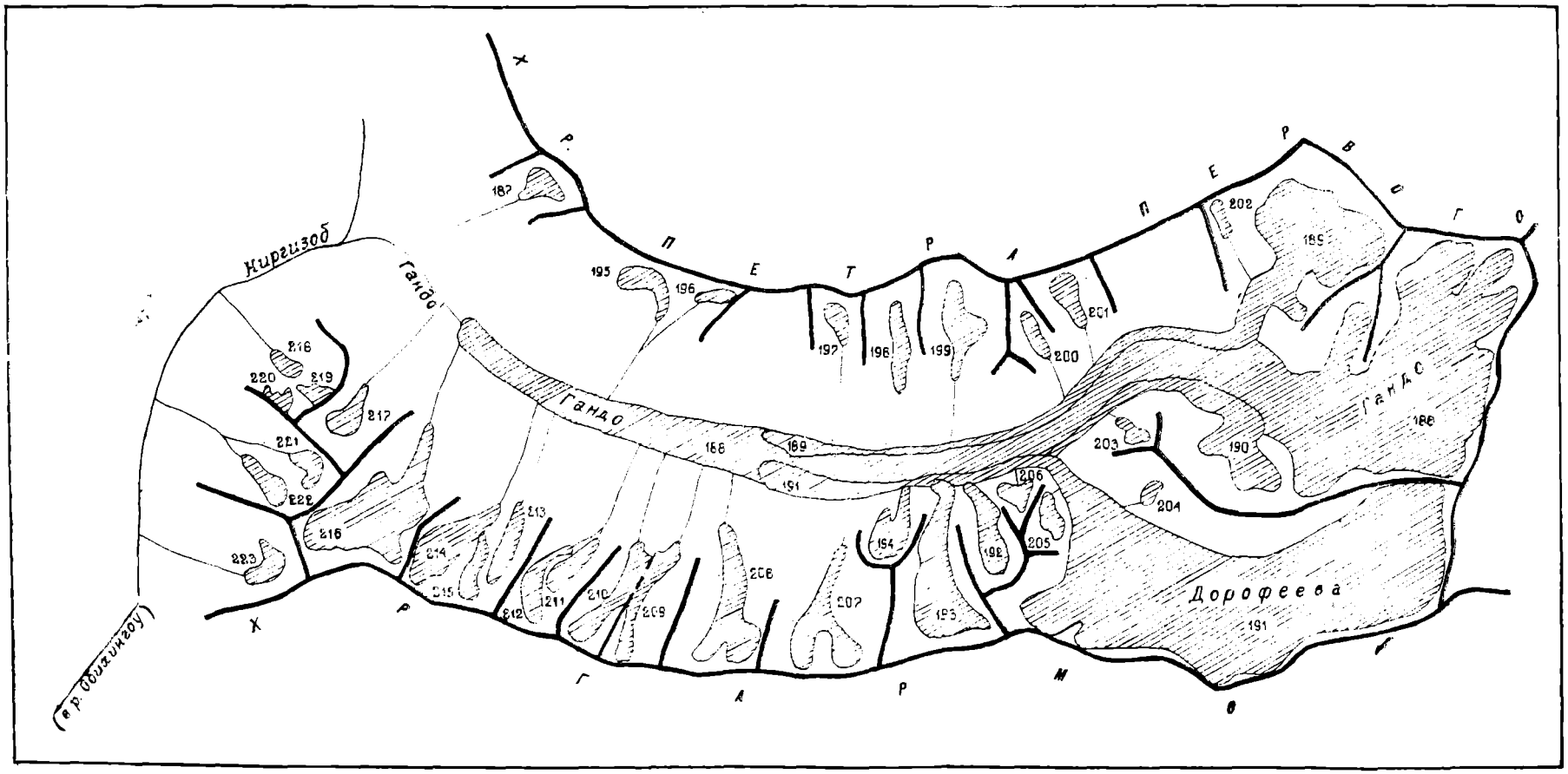


Рис. 32. Схема расположения ледников в бассейнах рек Гандо и левых притоков р. Киргизоб.

Усл. обозначения см. на рис. 25.

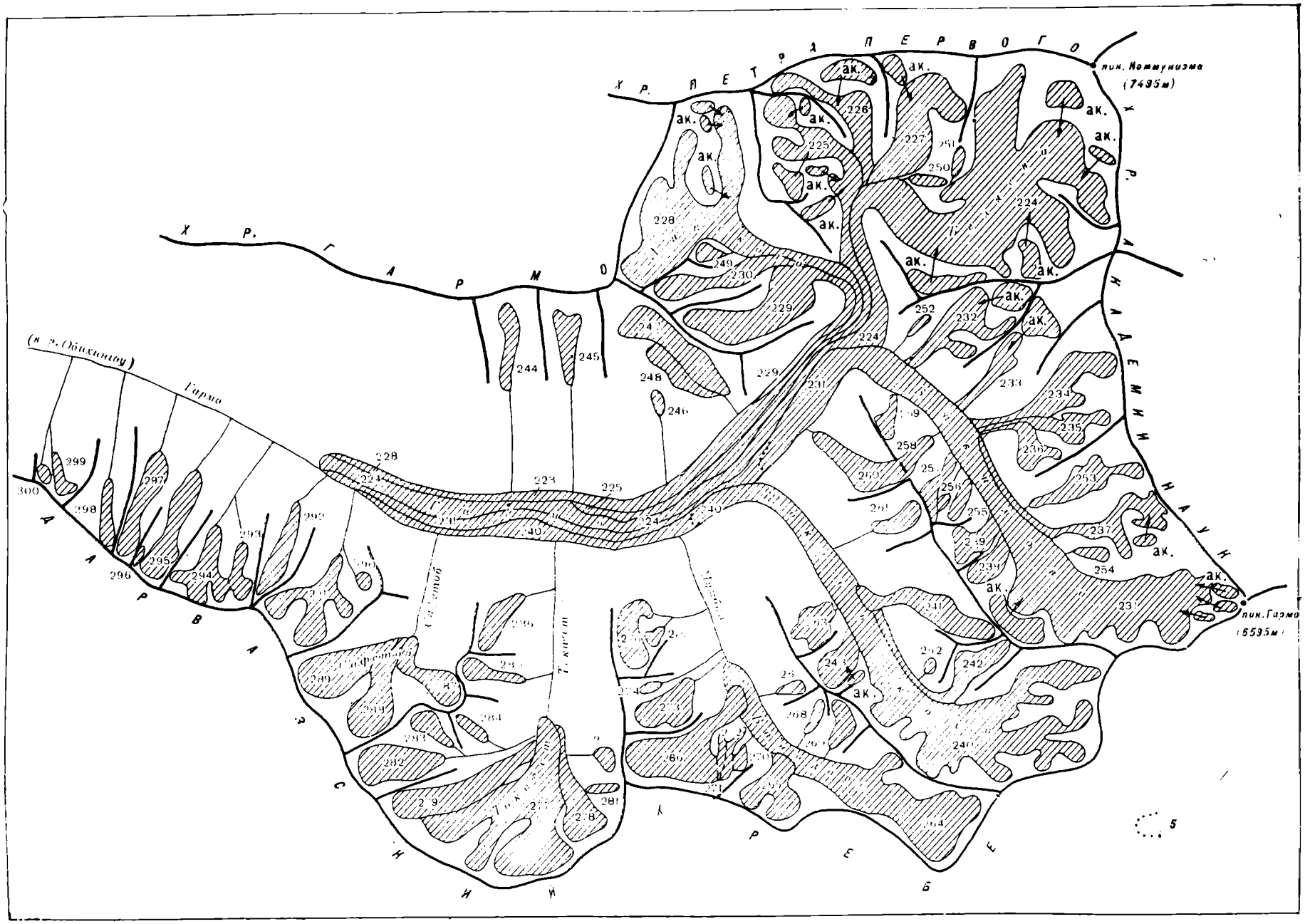


Рис. 33. Схема расположения ледников в бассейне р. Гармо.

Усл. обозначения см. на рис. 25. *5* — положение активной части конца ледника на 1969 г.

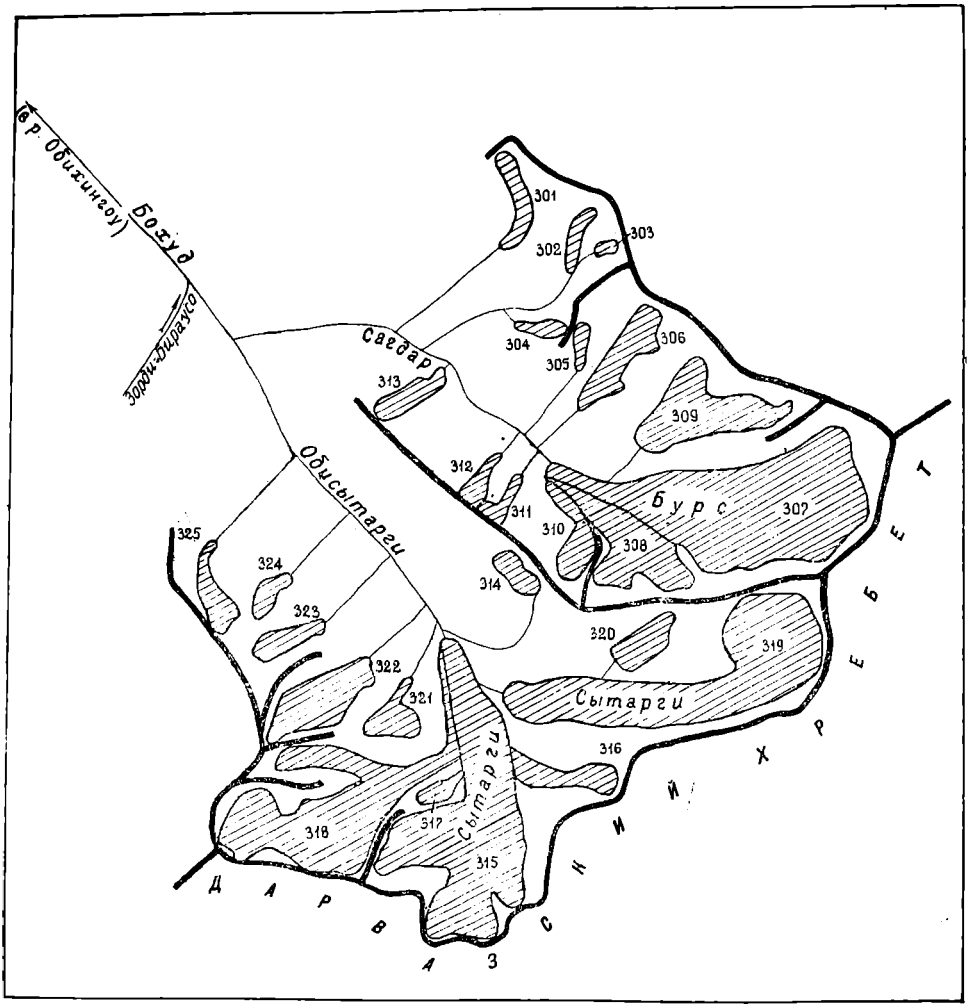


Рис. 34. Схема расположения ледников в бассейнах рек Сагдар и Обисытарги.

Усл. обозначения см. на рис. 25.

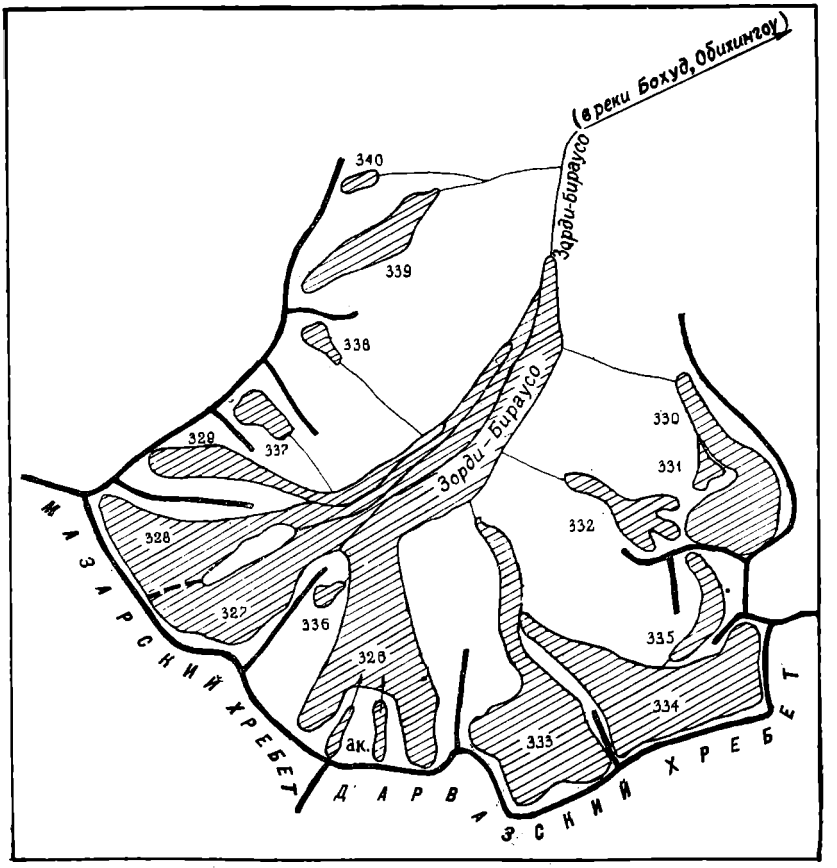


Рис. 35. Схема расположения ледников в бассейне р. Зорди-Бираусо.

Усл. обозначения см. на рис. 25.

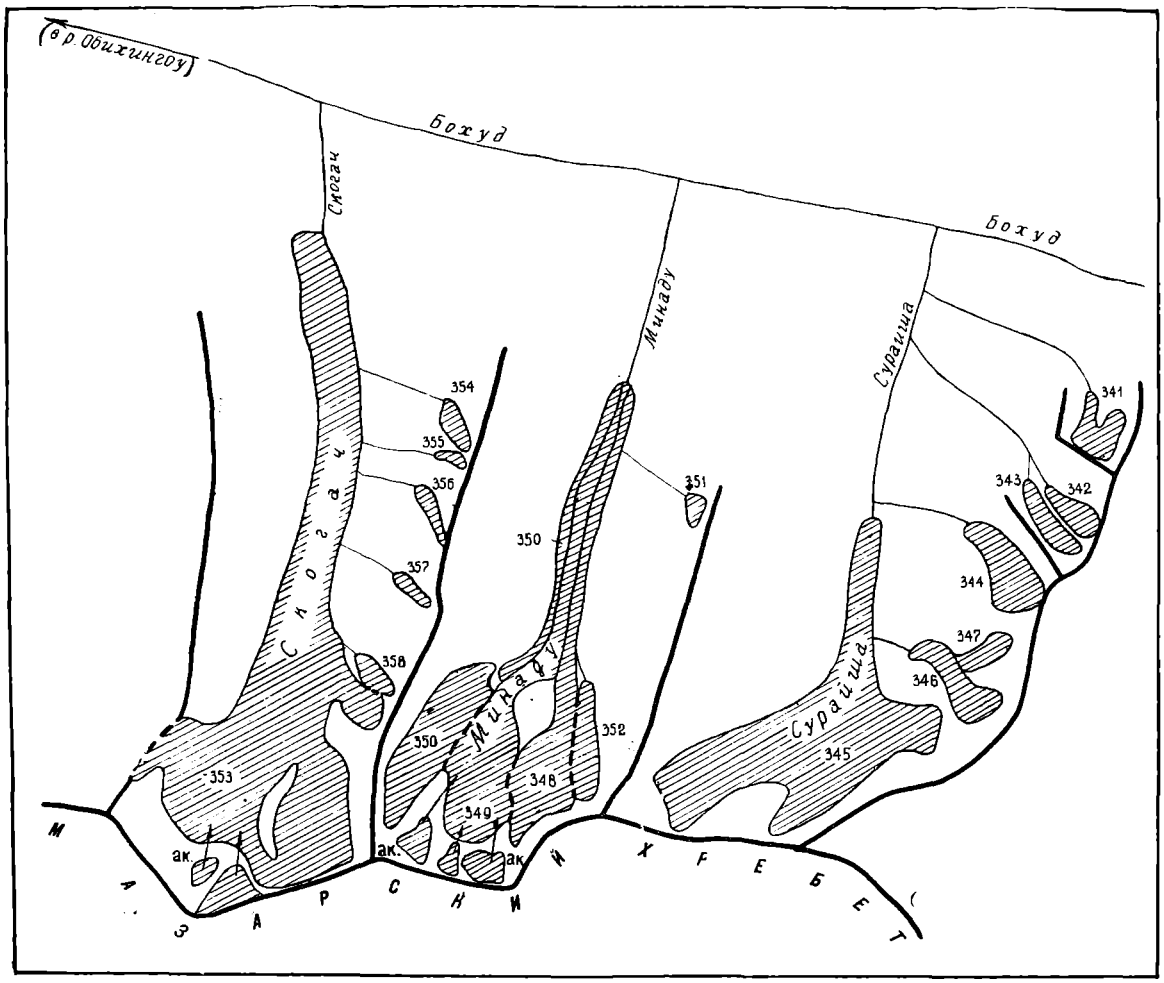


Рис. 36. Схема расположения ледников в бассейне рек Сурайша, Минаду и Скогач.

Усл. обозначения см. на рис. 25

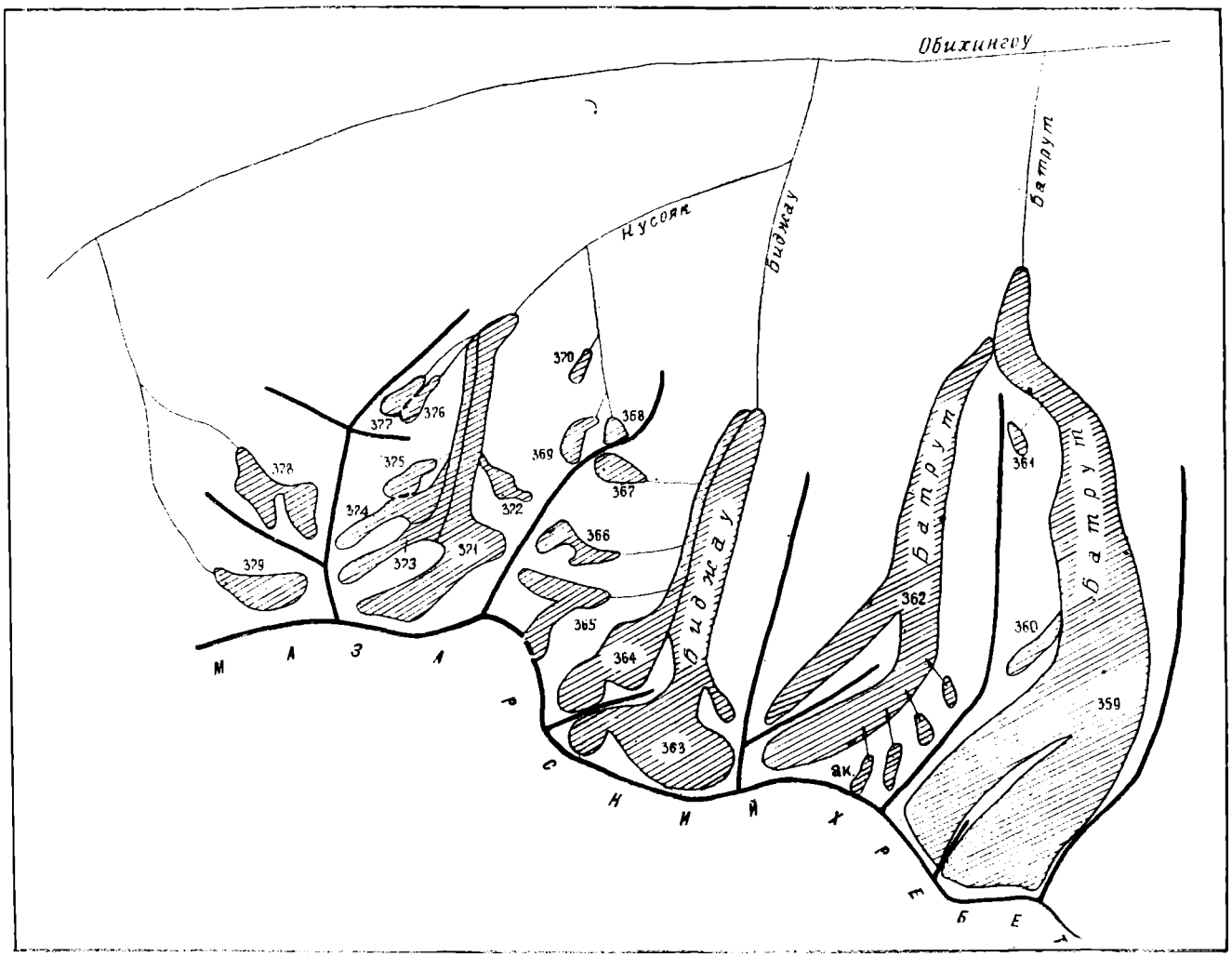


Рис. 37. Схема расположения ледников в бассейнах левых средних притоков р. Обихингоу.

Усл. обозначения см. на рис. 25.

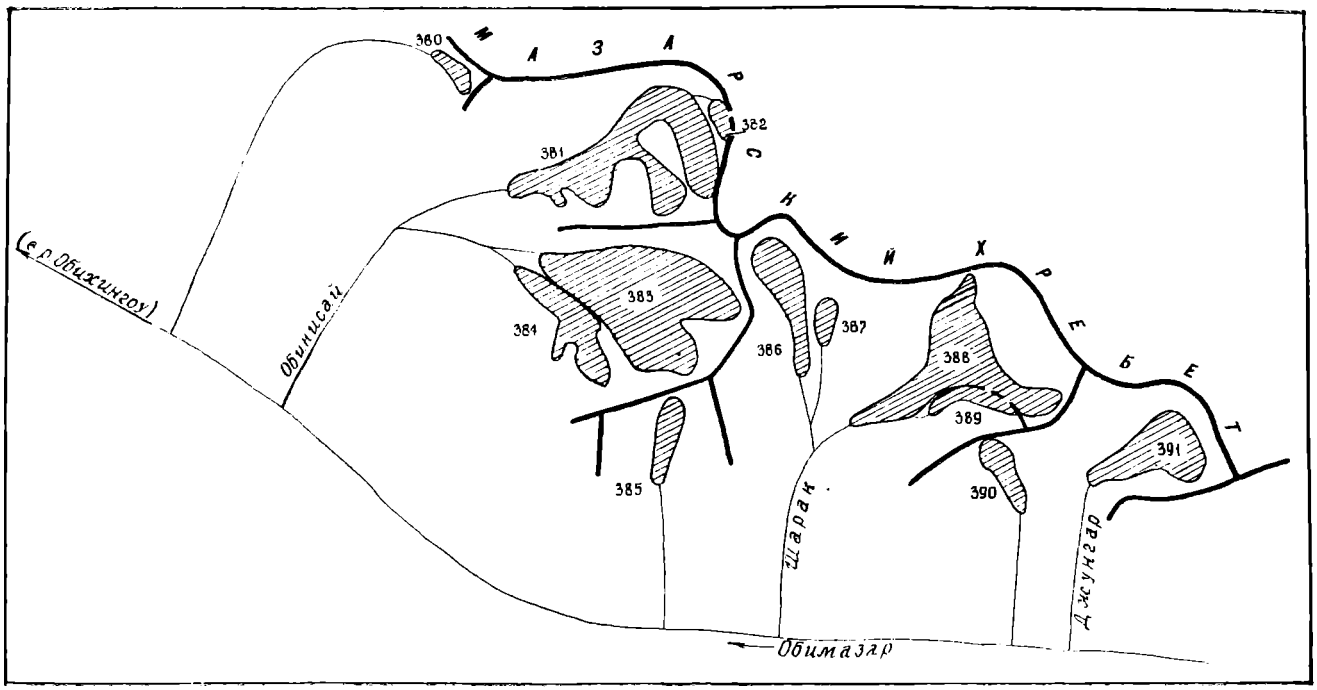


Рис. 38. Схема расположения ледников в бассейнах правых притоков р. Обимазар.
Усл. обозначения см. на рис. 25.

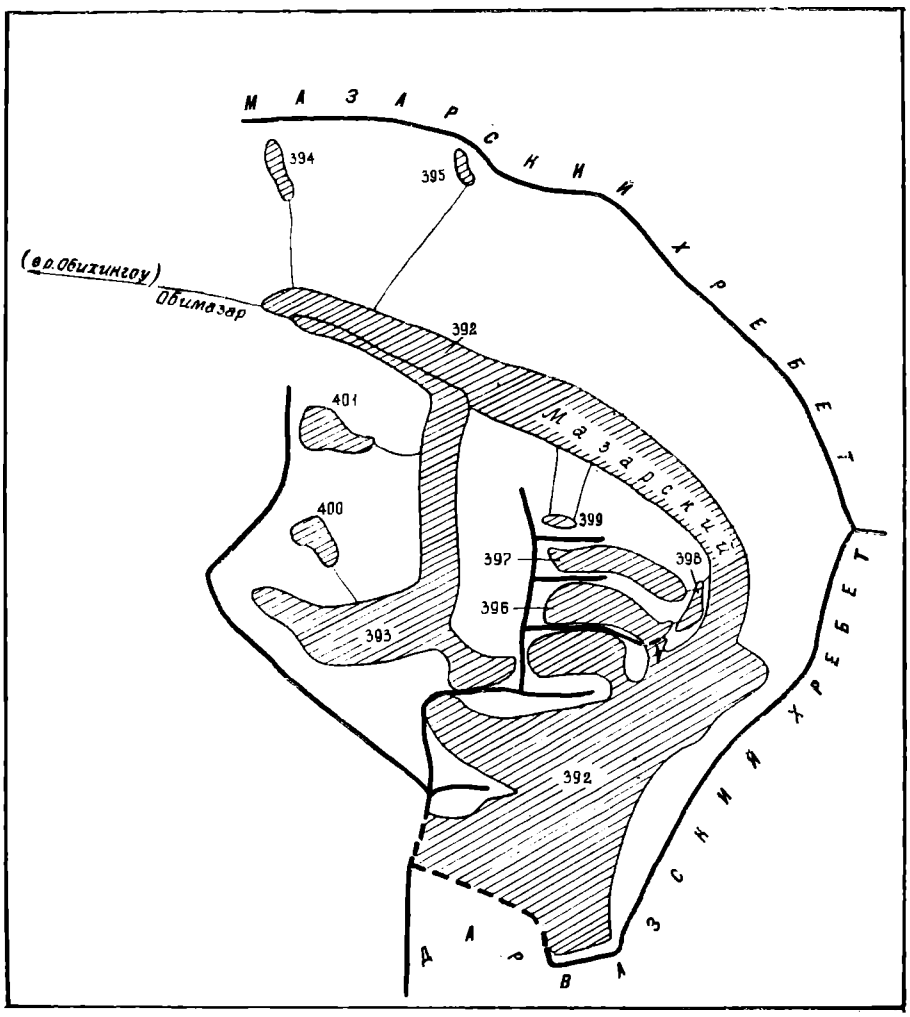


Рис. 39. Схема расположения ледников в верховьях р. Обимазар.
Усл. обозначения см. на рис. 25.

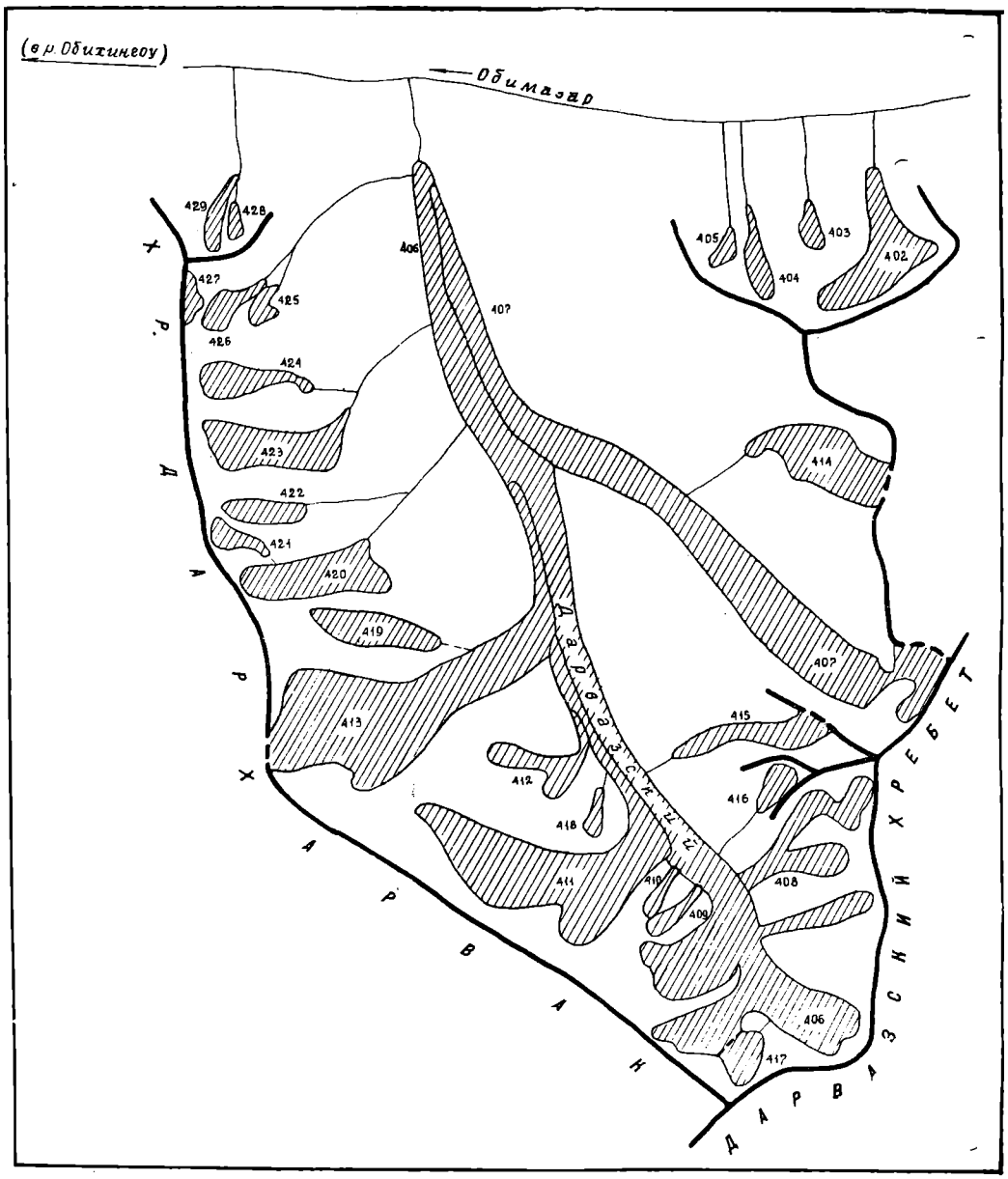


Рис. 40. Схема расположения ледников в бассейнах левых верхних притоков р. Обимазар.

Усл. обозначения см. на рис. 25.

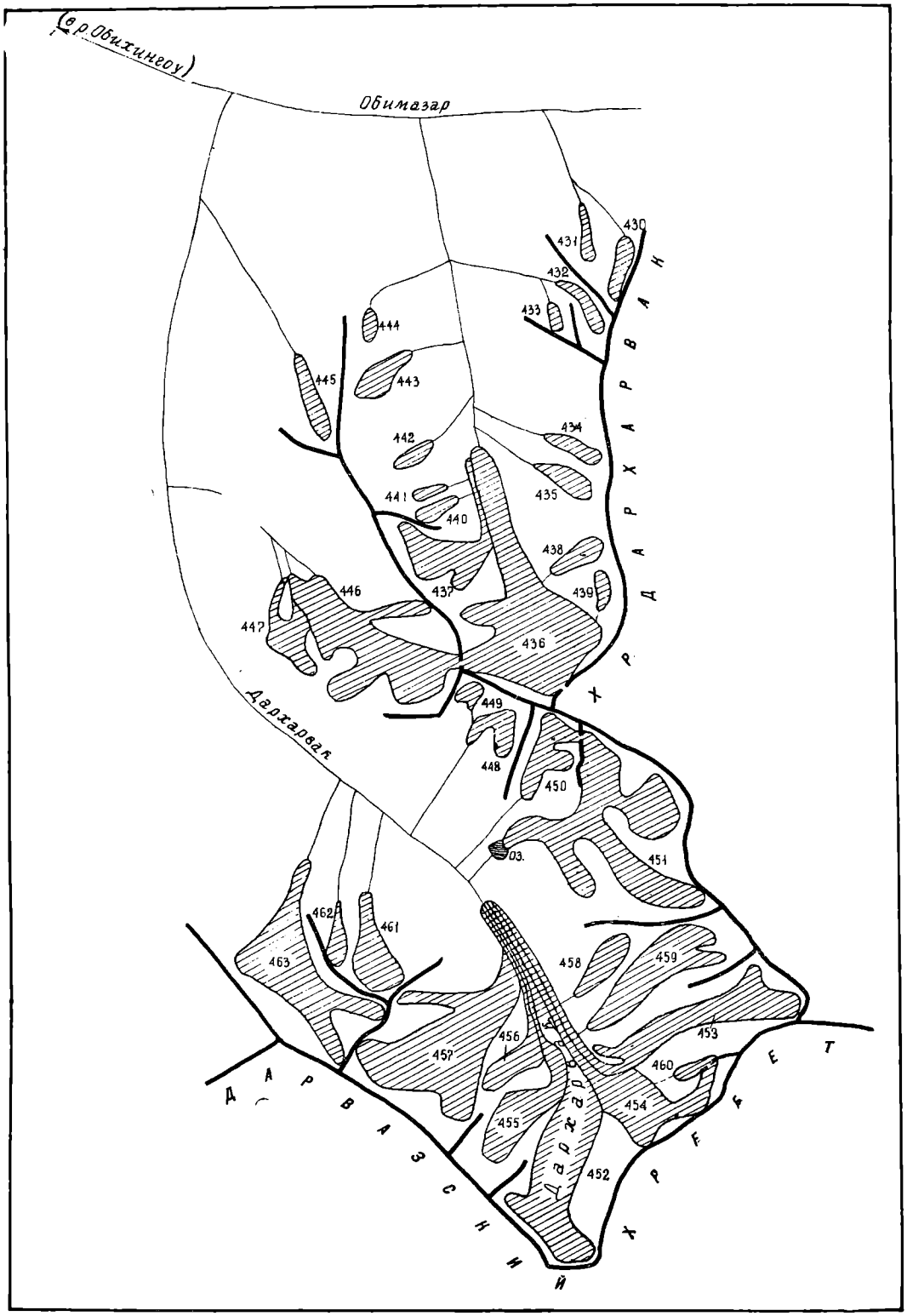


Рис. 41. Схема расположения ледников в бассейнах левых притоков р. Обимазар и в верховьях р. Дархарвак.

Усл. обозначения см. на рис. 25.

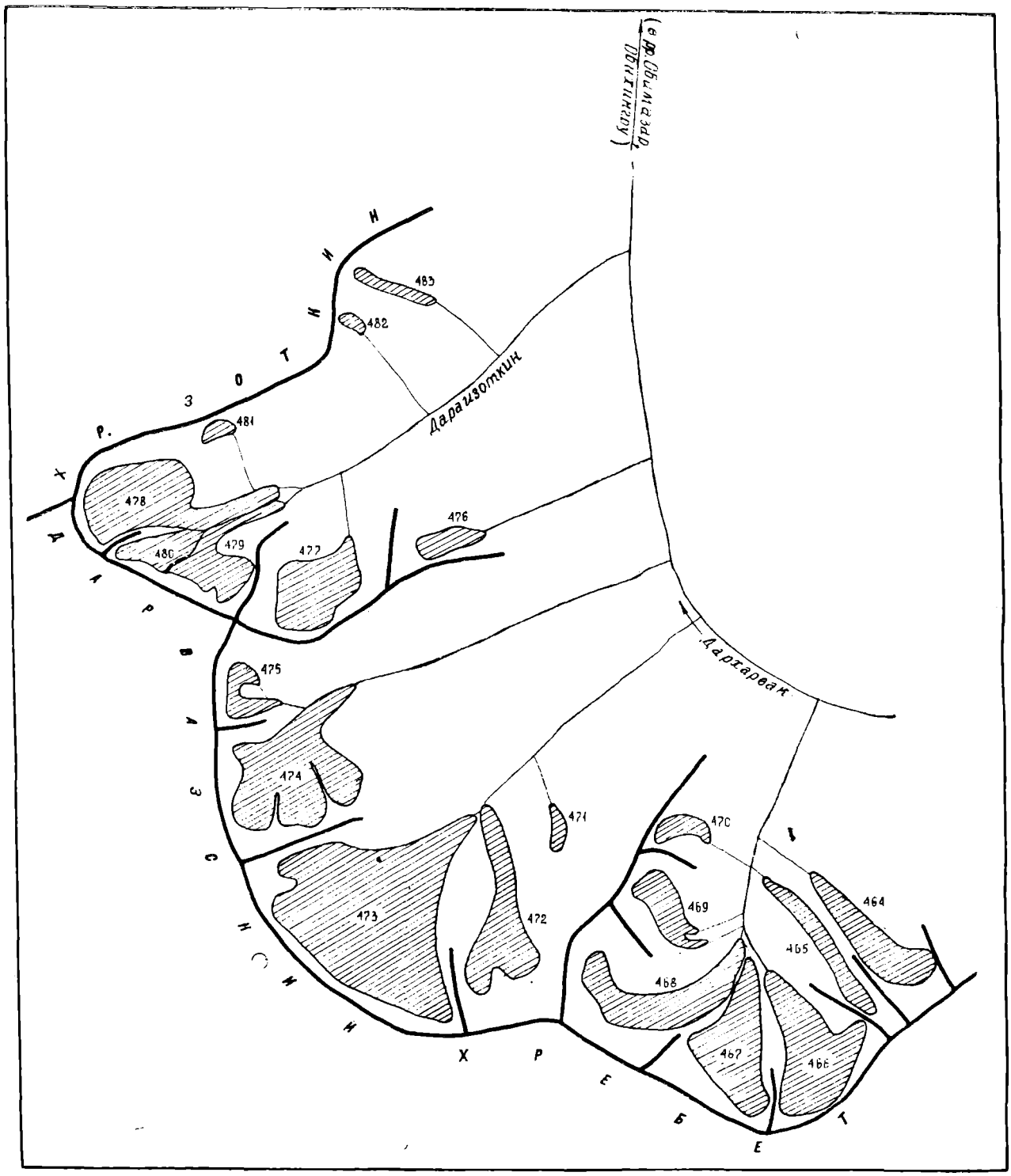


Рис. 42. Схема расположения ледников в бассейнах левых притоков р. Дархарвак.

Усл. обозначения см. на рис. 25.

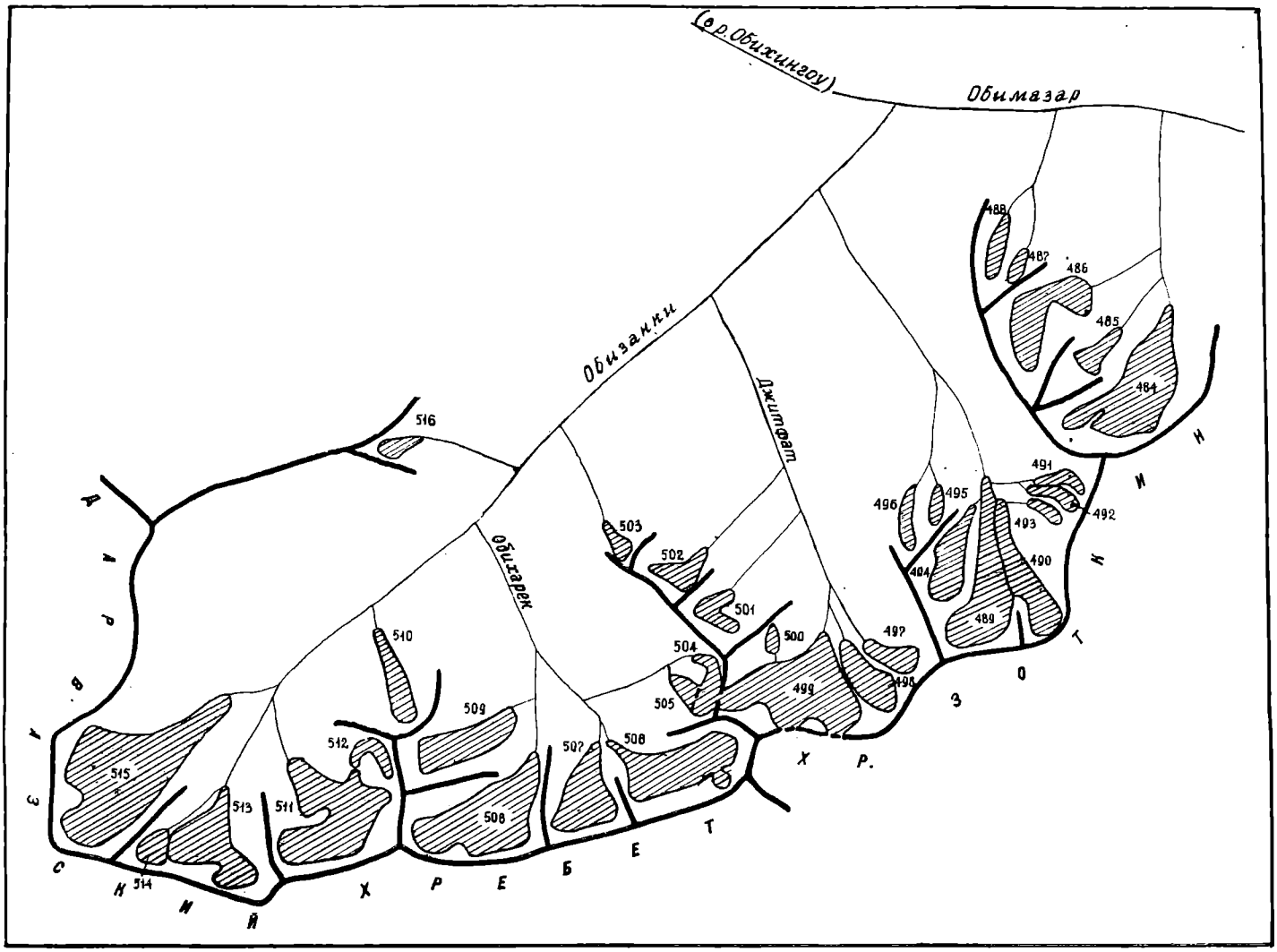


Рис. 43. Схема расположения ледников в бассейнах р. Обизанки и левых притоков р. Обимазар.

Усл. обозначения см. на рис. 25.

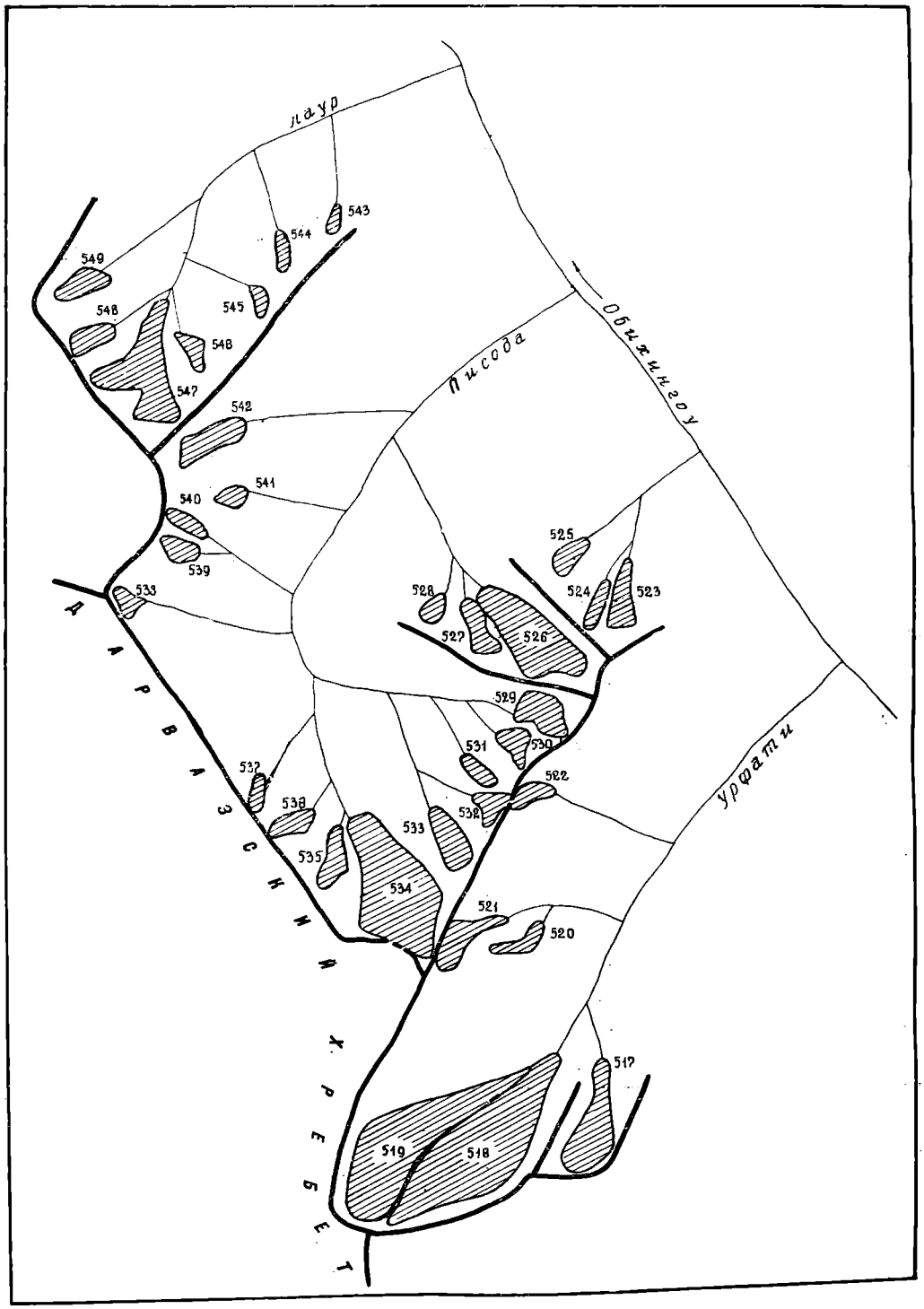


Рис. 44. Схема расположения ледников в бассейнах рек Урфати, Писода, Лаур.

Усл. обозначения см. на рис. 25.

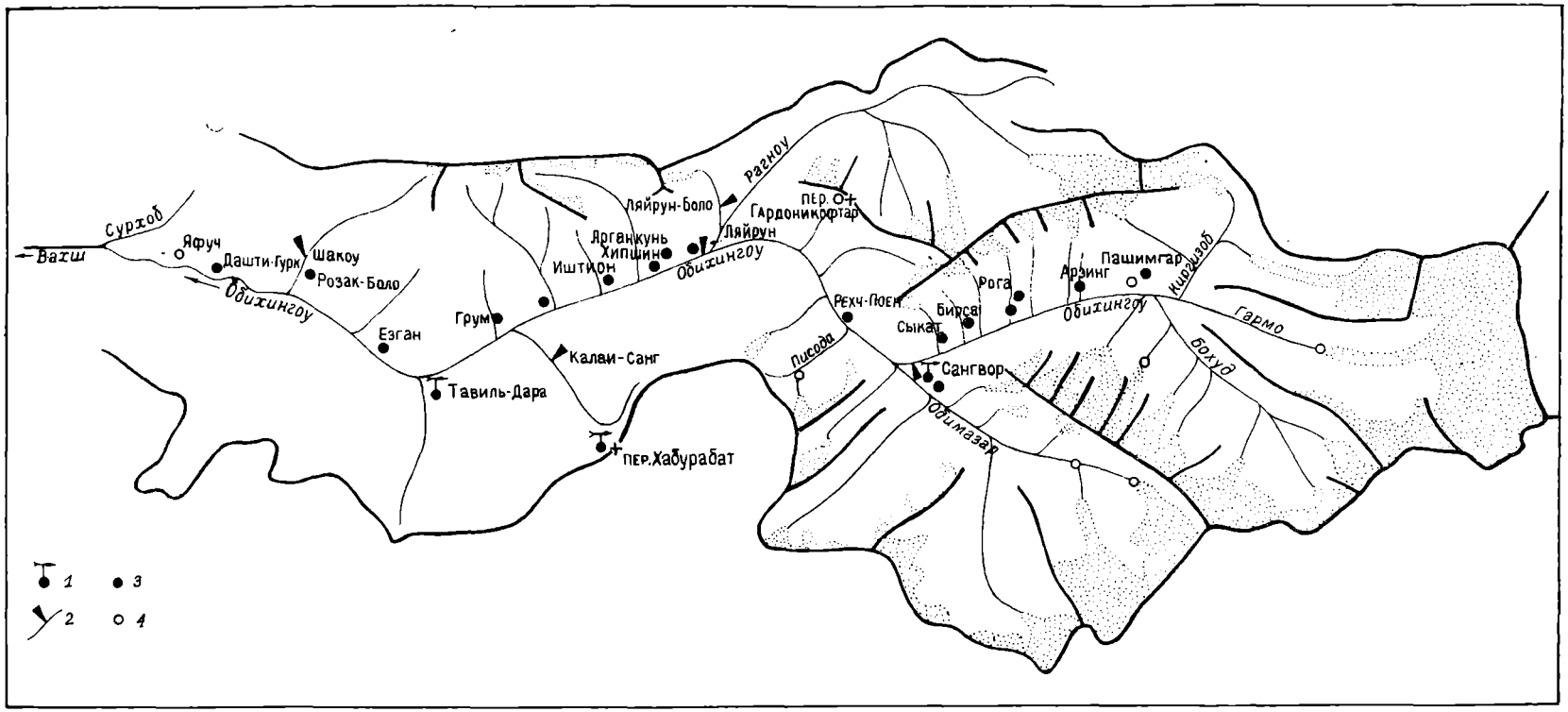


Рис. 45. Схема расположения гидрометеорологических станций и суммарных осадкомеров в районе ледников.

1 — действующая метеорологическая станция, *2* — гидрологический пост, *3* — снегомерный пункт, *4* — суммарный осадкомер.

ОСНОВНЫЕ ТАБЛИЦЫ КАТАЛОГА ЛЕДНИКОВ

№ по схеме	Название	Название реки, вытекающей из ледника	Морфологический тип	Общая экспозиция	Наибольшая длина, км		Площадь, км²	
					всего ледника	в том числе открытой части	всего ледника	в том числе открытой части
1	2	3	4	5	6	7	8	9

ЛЕДНИКАХ

Высота, м			Фирновая линия		Площадь области абляции, км²		Объем льда, км³	Ссылки на последующие таблицы (иллюстрации)
низшей точки конца ледника	низшей точки открытой части	высшей точки ледника	высота, м	способ определения и год	общая	в том числе открытой части		№ таблиц и иллюстраций порядковые № сведений в таблицах
10	11	12	13	14	15	16	17	18
р. ОБИХИНГОУ								
(р. Обихингоу)								
хр. Петра Первого								
3550	3550	3700	3600	АФС 1956	0,1	0,1		
3720	3720	3880	3760	АФС 1956	—	—		
3700	3700	3880						
3840	3840	3870						
3720	3720	4000	3800	АФС 1956	—	—		
(р. Обихингоу)								
хр. Петра Первого								
3760	3760	4000	3750	АФС 1956	0,3	0,3		
3680	3680	4000	3800	АФС 1956	—	—		
3680	3680	3850	3800	АФС 1956	—	—		
3950	3950	4300	4050	АФС 1956	0,1	0,1		
3600	3600	3950	3750	АФС 1956	—	—		
3790	3790	4000	3800	АФС 1956	—	—		
					0,4			
(р. Обихингоу)								
северо-восточный склон его отрога								
3400	3400	3650						
3280	3280	3600						
3400	3400	3800						
3280	3280	3720						
3460	3460	3850						
3500	3500	3900						
3550	3550	4000	3750	АФС 1956	0,2	0,2		
3480	3480	3950	3700	АФС 1956	0,5	0,5		
3760	3760	3950						
3680	3680	3850						
3630	3630	4100						
3900	3900	4150						
3670	3670	3880	3800	АФС 1956	—	—		
3860	3860	4100	3900	АФС 1956	—	—		
3550	3550	4050	3700	АФС 1956	0,5	0,5		
3420	3600	4200	3800	АФС 1956	1,4	0,8		
3640	3700	4000	3800	АФС 1956	0,2	0,1		
3600	3800	4100	3850	АФС 1956	0,3	0,1		
3700	3800	4120	3850	АФС 1956	0,5	0,3		
3750	3750	4150	3900	АФС 1956	0,2	—		
3800	3800	4050	3850	АФС 1956	—	—		
3900	3900	4700						
4030	4030	4600	4150	АФС 1956	0,2	0,2		
4100	4100	4400	4200	АФС 1956	0,3	0,3		
3600	3700	4050	3850	АФС 1956	0,3	0,2		
3600	3600	4100	3800	АФС 1956	0,2	0,2		
3600	3600	4200	3800	АФС 1956	0,5	0,5		
3560	3560	4200	3700	АФС 1956	0,2	0,2		
3700	3700	4000	3800	АФС 1956	—	—		
3520	3520	3950	3800	АФС 1956	0,1	0,1		
3600	3600	3950	3800	АФС 1956	—	—		

№ по схеме	Название	Название реки, вытекающей из ледника	Морфологический тип	Общая экспозиция	Наибольшая длина, км		Площадь, км²	
					всего ледника	в том числе открытой части	всего ледника	в том числе открытой части
1	2	3	4	5	6	7	8	9
				БАССЕЙН р. РАГНОУ				
				Бассейны правых притоков р. Рагноу				
				Северный склон гор Джагрык,				
43*	№ 43	пр. р. Джилдара	вис. кар.	ЮВ	0,6	0,6	0,1	0,1
44*	№ 44	пр. р. Джилдара	кар.	ЮВ	0,5	0,5	0,1	0,1
45*	№ 45	пр. р. Рагноу	кар.	СВ	0,6	0,6	0,2	0,2
46*	№ 46	пр. р. Рагноу	дол.	СВ	2,7	2,7	0,8	0,8
47*	№ 47	пр. р. Рагноу	дол.	С	0,9	0,9	0,1	0,1
48*	№ 48	пр. р. Рагноу	склон.	С	0,8	0,8	0,1	0,1
49*	№ 49	пр. р. Рагноу	склон.	С	1,0	1,0	0,3	0,3
50*	№ 50	пр. р. Рагноу	дол.	С	0,9	0,9	0,2	0,2
51*	№ 51	пр. р. Рагноу	кар.	С	0,5	0,5	0,1	0,1
52*	№ 52	пр. р. Рагноу	кар.	С	0,5	0,5	0,1	0,1
53*	№ 53	пр. р. Рагноу	кар.	СВ	0,4	0,4	0,1	0,1
54*	№ 54	пр. р. Рагноу	дол.	СВ	1,6	1,6	0,8	0,8
55*	№ 55	пр. р. Рагноу	дол.	ЮВ	2,1	2,1	0,6	0,6
56*	№ 56	пр. р. Рагноу	асимм. дол.	СВ	2,1	1,9	0,7	0,7
57*	№ 57	пр. р. Рагноу	дол.	СВ, ЮВ	3,0	3,0	1,0	1,0
58*	№ 58	пр. р. Рагноу	кар.	Ю	0,5	0,5	0,1	0,1
59*	№ 59	пр. р. Рагноу	склон.	Ю	0,5	0,5	0,1	0,1
60*	№ 60	пр. р. Рагноу	дол.	В, ЮВ	1,7	1,4	0,4	0,4
61*	№ 61	пр. р. Рагноу	дол.	В, Ю	1,7	0,6	0,5	0,2
	19 ледников						6,4	6,1
	Кроме того, в бассейне правых притоков р. Рагноу имеется 6 ледников размерами менее 0,1 км² каждый общей							
	Итого 25 ледников.						6,8	

Всего в низовьях р. Обихингоу имеется 85 ледников общей площадью 27,4 км², в том числе 61 ледник размерами и 24 ледника размерами менее 0,1 км² каждый, общей площадью 1,5 км².

ПРАВОБЕРЕЖЬЕ

Бассейн р. Карашура (реки Обикулика,

Северный склон

62*	Баральмос	Карашура	сл. дол., осн. поток	С	9,2	1,2	4,9	1,6
63*	Мустаг		дол., часть сл. дол.	СВ	4,0	1,4	1,4	0,8
	Сложный долинный ледник Баральмос (№ 62—63) имеет наибольшую длину 10,7 км, общую площадь 6,3 км² (в том							
64*	№ 64		вис.	В	0,8	0,8	0,1	0,1
65	№ 65	пр. р. Карашура	вис. дол.	СЗ	1,4	1,4	0,3	0,3
66*	№ 66	пр. р. Карашура	вис.	СЗ	1,4	1,4	0,2	0,2
67*	№ 67	пр. р. Карашура	вис.	СЗ	1,4	1,4	0,3	0,3
68*	№ 68	пр. р. Карашура	кар.	С	0,7	0,7	0,1	0,1
	7 ледников						7,3	3,4
	Кроме того, в бассейне р. Карашура имеется 11 ледников размерами менее 0,1 км² каждый, общей площадью 0,4 км²							
	Итого 18 ледников						7,7	

Бассейн р. Вайзирек (реки Обикулика,

Северный склон

69	Петра Первого	Вайзирек	дендр., осн. поток	З	17,2	12,7	12,2	9,7
70*	№ 70		дол., часть дендр.	ЮЗ	2,5	2,5	0,7	0,7
71*	№ 71		дол., часть дендр.	З	1,6	1,6	0,4	0,4
72*	№ 72		сл. дол., часть дендр.	С	5,8	5,7	3,4	3,0
73*	№ 73		дол., часть сл. дол.	СЗ	5,0	2,5	1,5	1,1
	Сложный долинный ледник № 72—73, часть дендритового ледника Петра Первого, имеет наибольшую длину 5,8 км,							
74	№ 74		сл. дол., часть дендр.	С	6,6	5,2	6,0	4,8

Высота, м			Фирновая линия		Площадь области абляции, км²		Объем льда, км³	Ссылки на последующие таблицы (иллюстрации)
								№ таблиц и иллюстраций
низшей точки конца ледника	низшей точки открытой части	высшей точки ледника	высота, м	способ определения и год	общая	в том числе открытой части		порядковые № сведений в таблицах
10	11	12	13	14	15	16	17	18
(р. Обихингоу)								
(реки Рагноу, Обихингоу)								
южный склон хр. Петра Первого								
3850	3850	4150	3950	АФС 1956	—	—		
3700	3700	4050	3950	АФС 1956	—	—		
3680	3680	4000	3800	АФС 1956	—	—		
2900	2900	3900	(3800)	АФС 1956	0,5	0,5		
3640	3640	3950	(3800)	АФС 1956	—	—		
3650	3650	3900	(3750)	АФС 1956	—	—		
3600	3600	4000	(3800)	АФС 1956	0,2	0,2		
3700	3700	4000	(3850)	АФС 1956	0,1	0,1		
3650	3650	3800						
3600	3600	3900						
3640	3640	3840						
3580	3580	4000						
3520	3520	3950						
3550	3760	4100	(3800)	АФС 1956	1,9	1,9		
3250	3300	4200	3850	АФС 1956	0,7	0,7		
3800	3800	4200	3850	АФС 1956	—	—		
4050	4050	4200		АФС 1956	—	—		
2700	3200	3850	3700	АФС 1956	0,3	0,3		
3500	3550	4200	3800	АФС 1956	0,4	0,1		
площадью 0,4 км².								
0,1 км² и более каждый, общей площадью 25,9 км² (из них 1,7 км² покрыто мореной)								
Р. ОБИХИНГОУ								
Шаклысу, Рагноу, Обихингоу)								
хр. Петра Первого								
3440	3900	4240	4100	АФС 1947	3,7	0,4		IV/1, 3, 4; V/11, 17, 21, 34, 35; рис. 19
3780	4100	4420	4200	АФС 1947	0,7	0,1		IV/1; V/21
числе 3,9 км² закрыто мореной) и площадь области абляции 4,4 км²								
4050	4050	(4600)	4100	АФС 1947	—	—		
4120	4120	4600	4200	АФС 1947	0,1	0,1		
4260	4260	5000	—	АФС 1947	—	—		
4100	4100	4800	4200	АФС 1947	—	—		
4050	4050	4420	4100	АФС 1947	—	—		
					4,5			
Шаклысу, Рагноу, Обихингоу)								
хр. Петра Первого								
3200	3520	5500	4200	АФС 1947	5,5	3,0		IV/1, 3, 4; V/11, 17, 21, 34, 35; рис. 13, 14, 15
3900	3900	4780	4250	АФС 1947	0,2	0,2		
4100	4100	4900	4200	АФС 1947				
3560	3580	4600	4050	АФС 1947	1,6	1,2		IV/1; V/17, 21
3580	3820	4550	4050	АФС 1947	0,7	0,3		IV/1; V/17, 21
общую площадь 4,9 км² (в том числе 0,8 км² закрыто мореной) и площадь области абляции 2,3 км²								
3280	3420	4700	3900	АФС 1947	4,6	3,4		IV/1; V/17, 21; рис. 15

№ по схеме	Название	Название реки, вытекающей из ледника	Морфологический тип	Общая экспозиция	Наибольшая длина, км		Площадь, км²	
					всего ледника	в том числе открытой части	всего ледника	в том числе открытой части
1	2	3	4	5	6	7	8	9
Дендритовый ледник Петра Первого (№ 69—74) имеет наибольшую длину 17,2 км, общую площадь 24,2 км² (в том								
75*	№ 75		кар.	Ю	0,9	0,9	0,2	0,2
76*	№ 76		дол.	Ю	2,3	1,5	1,1	0,9
77*	№ 77		кар.	ЮЗ	1,4	1,4	0,3	0,3
78*	№ 78		вис. кар.	З	2,6	2,3	0,6	0,6
79*	№ 79		вис. кар.	З	2,2	1,8	0,5	0,5
80*	№ 80		вис.	В	1,2	1,2	0,1	0,1
81*	№ 81		вис.	В	0,8	0,8	0,1	0,1
82*	№ 82		вис.	С	0,9	0,9	0,1	0,1
83*	№ 83		кар.-дол.	СВ	1,0	1,0	0,2	0,2
84*	№ 84		вис. дол.	С	2,0	1,2	0,3	0,2
85*	№ 85	пр. р. Вайзирек	дол.	С	8,1	6,7	4,6	3,5
86*	№ 86		вис. дол.	СВ	1,2	1,2	0,3	0,3
87*	№ 87		вис. дол.	СВ	1,2	1,2	0,2	0,2
88*	№ 88		дол.	С, СВ	6,6	4,1	3,7	2,1
89*	№ 89		вис.	ЮВ	0,8	0,8	0,2	0,2
	21 ледник						36,7	29,2
Кроме того, в бассейне р. Вайзирек имеется 13 ледников размерами менее 0,1 км² каждый, общей площадью 0,6 км²								
Итого 34 ледника							37,3	
							Бассейн верховьев р. Зюрюзамин	
							Северный склон	
90*	Зюрюзамин	Зюрюзамин	сл. дол., осн. поток	В, С	13,0	10,0	6,2	5,4
91*	№ 91		дол., часть сл. дол.	В, С	7,5	5,2	2,5	2,2
92*	№ 92		дол., часть сл. дол.	СВ	6,8	1,9	2,8	1,3
93*	№ 93		дол., часть сл. дол.	СВ	2,2	1,6	0,6	0,5
Сложный долинный ледник Зюрюзамин (№ 90—93) имеет наибольшую длину 13,0 км, общую площадь 12,1 км² (в том								
94*	№ 94		кар.	СЗ	0,9	0,7	0,2	0,2
95*	№ 95		вис. кар.	СЗ	0,8	0,8	0,1	0,1
96*	№ 96		кар.	ЮЗ	0,7	0,7	0,1	0,1
97*	№ 97		кар.-дол.	ЮЗ	0,7	0,7	0,1	0,1
98*	№ 98		кар.-дол.	ЮЗ	0,8	0,8	0,2	0,2
99*	№ 99		вис. дол.	В	1,2	1,2	0,2	0,2
100*	№ 100		дол.	В	2,5	2,1	0,7	0,6
101*	№ 101	пр. р. Зюрюзамин	кар.	С	0,7	0,3	0,1	—
102*	№ 102	пр. р. Зюрюзамин	дол.	С	1,9	0,9	0,6	0,2
	13 ледников						14,4	1,1
Кроме того, в бассейне верховьев р. Зюрюзамин имеется 5 ледников размерами менее 0,1 км² каждый, общей пло								
Итого 18 ледников							14,6	
							Бассейн р. Пулисангин (реки Зюрюзамин,	
							Северный склон	
103*	№ 103	пр. р. Пулисангин	кар.	СЗ	1,0	0,9	0,1	0,1
104*	№ 104	Пулисангин	сл. дол., осн. поток	С, СЗ	5,0	2,2	3,3	2,2
105*	№ 105		дол., часть сл. дол.	СВ	1,9	0,9	0,8	0,5
106*	№ 106		дол., часть сл. дол.	СВ	1,9	1,0	0,5	0,3
Сложный долинный ледник (№ 104—106) имеет наибольшую длину 5,0 км, общую площадь 4,6 км² (в том числе								
107*	№ 107		вис.	С	0,4	0,4	0,1	0,1
108*	№ 108	пр. р. Пулисангин	сл. дол.	С	2,1	1,8	1,8	1,5
109*	№ 109	пр. р. Пулисангин	дол.	СВ	1,5	0,5	0,3	0,1
110	№ 110	пр. р. Пулисангин	кар.	С	0,8	0,8	0,2	0,2
111	№ 111	пр. р. Пулисангин	кар.	СВ	0,9	0,9	0,3	0,3
	9 ледников						7,4	5,3

Высота, м			Фирновая линия		Площадь области абляции, км²		Объем льда, км³	Ссылки на последующие таблицы (иллюстрации)
низшей точки конца ледника	низшей точки открытой части	высшей точки ледника	высота, м	способ определения и год	общая	в том числе открытой части		№ таблиц и иллюстраций; порядковые № сведений в таблицах
10	11	12	13	14	15	16	17	18
числе 4,5 км² закрыто мореной) и площадь области абляции 12,6 км².								
4100	4100	4490	4200	АФС 1947				
3900	4100	4720	4300	АФС 1947	0,4	0,2		
4040	4040	4900	4250	АФС 1947	0,1	0,1		
3860	3920	4500	4200	АФС 1947	0,2	0,2		
3820	3860	4280	4200	АФС 1947	0,2	0,2		
(4150)	(4150)	(4600)	—	АФС 1947	—	—		
(4200)	(4200)	(4500)	—	АФС 1947	—	—		
(4000)	(4000)	(4500)	—	АФС 1947	—	—		
(3800)	(3800)	(4100)	(3900)	АФС 1947	0,1	0,1		
3300	3500	4100	3900	АФС 1947	0,2	0,1		
3380	3500	4760	4050	АФС 1947	2,6	1,5		IV/1; V/17
3860	3860	4580	4100	АФС 1947	0,1	0,1		
3760	3760	4540	4100	АФС 1947				
3440	3720	4490	4050	АФС 1947	2,1	0,5		IV/1; V/17
4050	4050	4600	4100	АФС 1947	—	—		
					18,6			
(реки Шаклысу, Рагноу, Обихингоу)								
хр. Петра Первого								
3140	3340	4720	4100	АФС 1947, 1950	3,4	2,6		IV/2, 4; V/11, 19, 35
3320	3700	4880	4150	АФС 1947, 1950	1,1	0,8		IV/2; V/19
3160	4150	(5200)	4200	АФС 1947	1,7	0,2		IV/2; V/19
3740	3860	5220	4200	АФС 1947	0,3	0,2		
числе 2,7 км² закрыто мореной) и площадь области абляции 6,5 км²								
4100	4150	4460	4200	АФС 1947	0,1	0,1		
3940	3940	4560	4200	АФС 1947	—	—		
4100	4100	4600	4200	АФС 1947	—	—		
(4000)	(4000)	(4500)	(4200)	АФС 1947	—	—		
4050	4050	4600	4200	АФС 1947	0,1	0,1		
4180	4180	4700	4250	АФС 1947	—	—		
3720	3880	4760	4250	АФС 1947	0,3	0,2		
3920	4000	4100	4000	АФС 1947	—	—		
(3540)	(3800)	(4200)	(3900)	АФС 1947	0,5	0,1		
					7,5			
щадью 0,2 км²								
Шаклысу, Рагноу, Обихингоу)								
хр. Петра Первого								
3840	3860	(4600)	4050	АФС 1947	—	—		
3240	3540	5000	3900	АФС 1947	1,6	0,5		IV/2, 4; V/11, 19, 35
3380	3600	4200	4000	АФС 1947	0,6	0,3		
3260	3800	4600	4000	АФС 1947	0,3	0,1		
1,6 км² покрыто мореной) и площадь области абляции 2,5 км²								
3500	3500	3950	3700	АФС 1947	—	—		
3360	3400	4460	4000	АФС 1947	1,1	0,8		
3420	3850	4300	3900	АФС 1947	0,2	—		
3520	3520	4150	3800	АФС 1947	0,1	0,1		
3440	3440	3800	3700	АФС 1947	0,2	0,2		
					4,1			

№ по схеме	Название	Название реки, вытекающей из ледника	Морфологический тип	Общая экспозиция	Площадь, км²		Площадь, км²	
					всего ледника	в том числе открытой части	всего ледника	в том числе открытой части
1	2	3	4	5	6	7	8	9
Кроме того, в бассейне р. Пулисангин имеется 5 ледников размерами менее 0,1 км² каждый, общей площадью 0,2 км²								
Итого 14 ледников							7,6	
Бассейны левых притоков р. Шаклысу								
Северный склон								
112*	№ 112	пр. р. Шаклысу	дол.	С	(1,8)	0,9	(0,6)	0,3
113*	№ 113	Джетыгаза	дол.	С	4,1	1,5	1,6	0,5
114*	№ 114	пр. р. Шаклысу	сл. дол.	С	(4,0)	2,4	(1,7)	1,1
115*	№ 115		вис.-кар.	СВ	0,5	0,5	0,1	0,1
116*	№ 116	пр. р. Шаклысу	вис.	С	0,3	0,3	0,2	0,2
	5 ледников						4,2	2,2
Кроме того, в бассейнах левых притоков р. Шаклысу имеется 2 ледника размерами менее 0,1 км² каждый, общей								
Итого 7 ледников							4,3	
Всего в бассейне р. Рангоу имеется 116 ледников общей площадью 78,3 км², в том числе 74 ледника размерами более каждый, общей площадью 1,9 км²								
Бассейны правых притоков р. Обихингоу между								
Южный склон								
117*	№ 117	пр. р. Обихингоу	кар.	ЮЗ	0,5	0,5	0,1	0,1
118*	№ 118	пр. р. Обихингоу	кар.	В	0,6	0,6	0,2	0,2
119	№ 119	пр. р. Обихингоу	вис. кар.	СЗ	0,7	0,7	0,2	0,2
120	№ 120	пр. р. Сангоба	дол.	З	1,4	1,4	0,4	0,4
121	№ 121	пр. р. Сангоба	кар.	З	0,8	0,8	0,2	0,2
122*	№ 122	пр. р. Сангоба	кар.	Ю	0,5	0,5	0,1	0,1
123*	№ 123	пр. р. Сангоба	кар.	ЮЗ	0,9	0,9	0,2	0,2
124*	Юзман	Сангоба	сл. дол.	С	3,3	2,8	2,8	2,1
125*	№ 125		асимм. дол.	З	1,9	1,4	1,1	0,7
126*	№ 126		дол.	С	1,6	1,3	0,3	0,3
127*	№ 127	пр. р. Сангоба	асимм. дол.	В	1,4	1,2	0,7	0,6
128*	№ 128	пр. р. Сангоба	кар.	С	0,5	0,3	0,2	0,1
129*	Пир-Ях	пр. р. Обихингоу	асимм. дол.	З	2,3	2,3	1,5	1,5
	13 ледников						8,0	6,7
Кроме того, в бассейнах правых притоков р. Обихингоу между устьями рек Рагноу и Обимазар имеется 11 ледников								
Итого 24 ледника							8,5	
Бассейны правых притоков р. Обихингоу между								
Южный склон								
130	№ 130	пр. р. Обихингоу	кар.	В	0,7	0,7	0,1	0,1
131*	№ 131	пр. р. Обихингоу	дол.	В	2,2	2,0	1,1	1,0
132*	№ 132		кар.	ЮВ	0,7	0,7	0,1	0,1
133	№ 133	пр. р. Обихингоу	кар.	Ю	0,9	0,5	0,3	0,2
134	№ 134	пр. р. Обихингоу	дол.	ЮВ	1,6	1,0	0,6	0,4
135*	Верешкай	пр. р. Обихингоу	асимм. дол.	В	2,3	1,9	1,3	0,9
136*	№ 136		кар.	Ю	0,3	0,3	0,1	0,1
137*	№ 137	пр. р. Обихингоу	кар.	Ю	0,5	0,5	0,3	0,3
138*	№ 138	пр. р. Обихингоу	дол.	Ю	(1,6)	1,4	(0,8)	0,7
139*	№ 139	пр. р. Обихингоу	кар.-дол.	Ю	1,0	0,8	0,3	0,3
140*	№ 140	пр. р. Обихингоу	кар.-дол.	В	0,9	0,4	0,2	0,1
141*	№ 141	пр. р. Обихингоу	дол.	В	2,0	1,3	0,9	0,7
142*	Гусаляхана	пр. р. Обихингоу	дол.	В	3,5	3,1	1,6	1,3
143*	№ 143		вис.	С	0,3	0,3	0,1	0,1
144*	№ 144		дол.	ЮВ	1,4	1,2	0,3	0,3
145*	№ 145		вис. кар.	ЮВ	0,8	0,8	0,2	0,2
146*	№ 146		дол.	ЮВ	2,1	2,1	0,6	0,6
147*	№ 147		сл. дол.	Ю	2,1	1,9	0,7	0,7
148*	№ 148	пр. р. Обихингоу	прискл.	СВ	0,5	0,3	0,6	0,4
149	№ 149	пр. р. Обихингоу	кар.-дол.	ЮВ	1,4	1,1	1,0	0,8
150*	Джигели	пр. р. Обихингоу	дол., часть сл. дол.	Ю	4,8	4,3	2,1	1,6
151	№ 151		дол., часть сл. дол.	Ю	1,2	0,7	0,3	0,2

Высота, м			Фирновая линия		Площадь области абляции, км²		Объем льда, км³	Ссылки на последующие таблицы (иллюстрации)
низшей точки конца ледника	низшей точки открытой части	высшей точки ледника	высота, м	способ определения и год	общая	в том числе открытой части		№ таблиц и иллюстраций / порядковые № сведений в таблицах
10	11	12	13	14	15	16	17	18
(реки Шаклысу, Рагноу, Обихингоу)								
хр. Петра Первого								
(3700)	3900	4420	4000	АФС 1947	(0,4)	0,1		IV/2; V/19
3100	3600	3900	3700	АФС 1947	1,3	0,2		IV/2; V/19; рис. 23
(2900)	3520	4020	3700	АФС 1947	(1,0)	0,4		IV/2; V/19
3650	3650	3900	3800	АФС 1947	—	—		
4150	4150	4350	—	АФС 1947	—	—		
					2,7			
площадью 0,1 км²								
0,1 км² каждый, общей площадью 76,4 км² (из них 19,1 км² покрыто мореной) и 42 ледника размерами менее 0,1 км²								
устьями рек Ратноу и Обимазар (р. Обихингоу)								
хр. Петра Первого								
3930	3930	4200	3950	АФС 1947	—	—		
3920	3920	(4150)	3950	АФС 1947	—	—		
3640	3640	(4100)	3800	АФС 1947	0,1	0,1		
3400	3400	4180	3800	АФС 1947, 1950	0,2	0,2		
3760	3760	4300	3850	АФС 1947, 1950	0,1	0,1		
4180	4180	4320	4200	АФС 1947, 1950	—	—		
3960	3960	4450	4000	АФС 1947, 1950	—	—		
3400	3460	4450	3750	АФС 1947, 1950	1,3	0,6		IV/2, 3, 4; V/11, 19, 34, 35
3520	3620	4080	3800	АФС 1947, 1950	0,7	0,3		IV/2, 3; V/19
3520	3560	(4050)	3700	АФС 1947, 1950	0,1	0,1		
3540	3580	4120	3800	АФС 1950	0,4	0,3		IV/2; V/19
3480	3600	3720	3700	АФС 1950	0,2	0,1		
3540	3540	4640	4150	АФС 1947, 1950	0,6	0,6		IV/2, 3, 4; V/11, 19, 34, 35; рис. 46
					3,7			
размерами менее 0,1 км² каждый, общей площадью 0,5 км²								
устьями рек Обимазар и Бохуд (р. Обихингоу)								
хр. Петра Первого								
4080	4080	4420	4200	АФС 1947, 1950	—	—		
3700	3780	4500	4200	АФС 1947, 1950	0,5	0,4		
4080	4080	4350	4250	АФС 1947, 1950	—	—		
3960	4140	4300	4200	АФС 1947, 1950	0,2	0,1		
3800	3920	4240	4100	АФС 1947, 1950	0,4	0,2		
3620	3680	4220	4000	АФС 1947, 1950 наз.-виз. 1969	0,9	0,5		IV/2, 8; V/11, 19, 20
4320	4320	4500	4350	АФС 1947, 1950	—	—		
4340	4340	4540	4400	АФС 1947, 1950	—	—		IV/2; V/19
(3880)	3940	4460	4300	АФС 1947, 1950	0,4	0,3		IV/2; V/19
3980	4000	4180	4100	АФС 1947, 1950	0,1	0,1		IV/2; V/19
3740	3850	4020	3950	АФС 1947, 1950	0,1	—		
3520	3660	4000	3900	АФС 1947, 1950	0,6	0,4		
3660	3680	4900	4100	АФС 1947, 1950	0,9	0,6		IV/2; V/19
4550	4550	4700	—	АФС 1947, 1950	—	—		
3980	4020	4650	4350	АФС 1947, 1950	0,2	0,2		IV/2; V/19
4120	4120	4400	4300	АФС 1947, 1950	0,1	0,1		IV/2; V/19
3800	3800	4740	4350	АФС 1947, 1950	0,4	0,4		IV/2; V/19
3680	3720	4700	4300	АФС 1947, 1950	0,5	0,5		IV/2; V/19
3720	3750	4180	3950	АФС 1947, 1950	0,4	0,2		IV/2; V/19
3900	3980	4300	4150	АФС 1947, 1950	0,6	0,4		IV/2; V/19
3520	3600	4900	4300	АФС 1947	1,5	1,0		IV/2; V/11, 19; рис. 47
3900	4040	4420	4300	АФС 1947	0,2	0,1		IV/2; V/19

№ по схеме	Название	Название реки, вытекающей из ледника	Морфологический тип	Общая экспозиция	Наибольшая длина, км		Площадь, км²	
					всего ледника	в том числе открытой части	всего ледника	в том числе открытой части
1	2	3	4	5	6	7	8	9
152	№ 152		дол., часть сл. дол.	Ю, ЮЗ	2,2	2,0	0,7	0,6
Сложный долинный ледник Джигели (№ 150—152) имеет наибольшую длину 4,8 км, общую площадь 3,1 км² (в том								
153	№ 153		дол.	ЮЗ	(1,3)	0,7	(0,3)	0,2
154	№ 154	пр. р. Обихингоу	дол.	ЮВ	1,7	1,7	0,8	0,8
155*	Сафидак	пр. р. Обихингоу	дол.	ЮВ	(6,1)	5,2	(6,2)	5,3
156*	№ 156		дол.	В	(1,7)	1,0	(0,6)	0,4
157*	№ 157		дол.	Ю	(1,4)	1,0	(0,5)	0,4
158*	Вангут	пр. р. Обихингоу	дол.	Ю	(2,7)	2,0	(1,0)	0,8
159*	№ 159	пр. р. Обихингоу	кар.	Ю	0,8	0,8	0,3	0,3
	30 ледников						24,0	19,9
Кроме того, в бассейнах правых притоков р. Обихингоу между устьями рек Обимазар и Боxуд имеется 16 ледников								
Итого 46 ледников							24,7	

БАССЕЙН р. КИРГИЗОБ

Бассейны правых притоков р. Киргизоб*

Южный склон

160*	№ 160	пр. р. Киргизоб	кар.-дол.	СВ	0,9	0,9	0,2	0,2
161*	№ 161	пр. р. Киргизоб	кар.	С	0,5	0,3	0,1	—
162*	№ 162	пр. р. Киргизоб	сл. дол.	В	6,2	3,0	4,5	2,8
163	№ 163		дол., часть сл. дол.	Ю	2,7	2,1	1,1	1,0
Сложный долинный ледник № 162—163 имеет наибольшую длину 6,2 км, общую площадь 5,6 км² (в том числе 1,8 км²								
164*	№ 164		вис. дол.	Ю	1,4	1,4	0,6	0,6
165*	№ 165		кар.-дол.	СВ	1,0	1,0	0,3	0,3
166*	№ 166		кар.-дол.	СВ	1,2	0,6	0,4	0,3
167*	№ 167		кар.-дол.	ЮВ	1,9	0,8	0,5	0,3
168*	№ 168		кар.-дол.	ЮЗ	1,9	1,7	0,5	0,5
169*	№ 169		кар.-дол.	Ю	(1,3)	(1,3)	(0,3)	(0,3)
170*	№ 170	пр. р. Киргизоб	прискл.	ЮВ	0,7	0,7	0,1	0,1
171*	№ 171	пр. р. Киргизоб	сл. дол.	Ю	2,3	1,2	1,1	0,9
172*	№ 172	пр. р. Киргизоб	кар.-дол.	Ю	1,5	0,8	0,5	0,4
173*	№ 173	пр. р. Киргизоб	вис.	Ю	0,2	0,2	0,1	0,1
174*	№ 174	пр. р. Киргизоб	дол.	ЮВ	2,8	2,1	0,6	0,5
175*	№ 175	пр. р. Киргизоб	вис.	Ю	0,5	0,5	0,2	0,2
176*	№ 176	пр. р. Киргизоб	вис. (пригребн.)	С	0,2	0,2	0,1	0,1
177*	№ 177	пр. р. Киргизоб	дол.	В	1,3	1,1	0,4	0,4
178*	Девлохан	пр. р. Киргизоб	дендр., осн. поток	В	12,2	7,8	7,2	5,5
179*	№ 179		сл. дол., часть дендр.	СВ	6,2	5,9	3,3	3,1
180*	№ 180		дол., часть дендр.	ЮВ, СВ	3,1	3,1	0,7	0,7
181*	№ 181		дол., часть дендр.	В	11,5	1,2	3,5	0,8
182	№ 182		дол., часть дендр.	Ю	1,9	1,1	0,9	0,5
183	№ 183		сл. дол., часть дендр.	Ю	3,8	3,0	1,8	1,4
Дендритовый ледник Девлохан (№ 178—183) имеет наибольшую длину 12,6 км, общую площадь 17,4 км² (в том								
184*	№ 184		дол.	ЮВ	2,2	2,0	0,5	0,5
185*	№ 185		сл. дол.	Ю	3,1	2,7	2,4	2,0
186	№ 186		кар.	З	0,9	0,9	0,3	0,3
	27 ледников						32,2	23,8
Кроме того, в бассейнах правых притоков р. Киргизоб имеется 12 ледников размерами менее 0,1 км² каждый, общей								
Итого 39 ледников							32,9	

Высота, м			Фирновая линия		Площадь области абляции, км²		Объем льда, км³	Ссылки на последующие таблицы (иллюстрации)
низшей точки конца ледника	низшей точки открытой части	высшей точки ледника	высота, м	способ определения и год	общая	в том числе открытой части		№ таблиц и иллюстраций / порядковые № сведений в таблицах
10	11	12	13	14	15	16	17	18
3820	3840	4620	4300	АФС 1947	0,4	0,3		IV/2; V/19
числе 0,7 км² закрыто мореной) и площадь области абляции 2,1 км²								
(3880)	4100	4420	4200	АФС 1947	(0,2)	0,1		IV/2; V/19
3900	3900	4640	4250	АФС 1947, 1950	0,4	0,4		IV/2; V/19
(3540)	3720	4360	4150	АФС 1947	(4,8)	3,9		IV/2; V/11, 19;
(3660)	3900	4320	4150	АФС 1947	(0,4)	0,2		
(3940)	4000	4480	4200	АФС 1947	(0,3)	0,2		
(3740)	3820	4560	4250	АФС 1947	(0,6)	0,4		IV/2; V/11, 19;
4400	4400	4660	4500	АФС 1947	—	—		
					15,1			
размерами менее 0,1 км² каждый, общей площадью 0,7 км²								
(р. ОБИХИНГОУ)								
(реки Киргизоб, Обихингоу)								
хр. Петра Первого								
3940	3940	4300	4050	АФС 1947	0,1	0,1		
3820	3940	4080	3950	АФС 1947	—	—		
3540	3650	4680	4000	АФС 1947	3,5	1,8		V/11
3660	3800	4660	4350	АФС 1947	0,7	0,6		
закрыто мореной) и площадь области абляции 4,2 км²								
3720	3720	4250	4000	АФС 1947	0,1	0,1		
3800	3800	4200	3950	АФС 1947	0,1	0,1		
3650	3780	4050	3900	АФС 1947	0,2	0,1		
(3900)	4250	4540	4300	АФС 1947	0,3	0,1		
3700	3750	(4500)	4250	АФС 1947	0,2	0,2		
(3950)	(3950)	(4750)	(4350)	АФС 1947	0,1	0,1		
4160	4160	4400	4300	АФС 1947	—	—		
3880	4120	4780	4400	АФС 1947	0,6	0,4		
4020	4280	4700	4350	АФС 1947	0,2	0,1		
4340	4340	4470	4400	АФС 1947	—	—		
3500	3790	4700	4400	АФС 1947	0,4	0,3		
4300	4300	4550	4450	АФС 1947	—	—		
4200	4200	4280	4200	АФС 1947	—	—		
3800	3850	4450	4100	АФС 1947	0,2	0,2		
3080	3650	5060	4400	АФС 1947	5,1	3,4		IV/4, 7, 8, 9; V/5, 11, 14, 20, 27, 28, 35; рис. 16, 17, 48
3420	3440	5120	4200	АФС 1947	2,0	1,8		IV/8; рис. 48
4050	4050	4900	4500	АФС 1947	0,5	0,5		рис. 16
3180	4430	5150	4450	АФС 1947	2,7	—		IV/8; рис. 16
3980	4200	4480	4350	АФС 1947	0,5	0,1		рис. 16
3700	4020	4800	4500	АФС 1947	1,2	0,8		рис. 16
числе 5,4 км² закрыто мореной) и площадь области абляции 12,0 км²								
(4200)	4220	4900	4450	АФС 1947	0,3	0,3		
4100	4150	4950	4500	АФС 1947	1,2	0,8		IV/8
3900	3900	4400	4100	АФС 1947	0,2	0,2		
					20,4			
площадью 0,7 км²								

№ по схеме	Название	Название реки, вытекающей из ледника	Морфологический тип	Общая экспозиция	Наибольшая длина, км		Площадь, км²	
					всего ледника	в том числе открытой части	всего ледника	в том числе открытой части
1	2	3	4	5	6	7	8	9

Всего на правобережье р. Обихингоу имеется 200 ледников общей площадью 137,6 км², в том числе 125 ледников (из них 32,6 км² покрыто мореной) и 75 ледников размерами менее 0,1 км² каждый, общей площадью 3,4 км²

ВЕРХОВЬЯ

Бассейны левых притоков р. Киргизоб

Южный склон хр. Петра Первого,

187	№ 187	пр. р. Гандо	кар.	ЮЗ	0,8	0,8	0,2	0,2
188*	Гандо	пр. р. Гандо	дендр., осн. поток	З	22,0	19,2	16,2	13,1
189	№ 189		дол., часть дендр.	ЮЗ, З	13,6	13,3	6,3	5,3
190	№ 190		дол., часть дендр.	СЗ, ЮЗ	5,6	5,2	1,9	1,8
191*	Дорофеева		дол., часть дендр.	СЗ, З	15,0	14,9	17,6	17,2
192*	№ 192		дол., часть дендр.	С	1,7	1,7	0,5	0,4
193*	№ 193		дол., часть дендр.	С	3,1	3,1	1,7	1,7
194*	№ 194		вис. дол., часть дендр.	С	1,5	1,5	0,4	0,4
Дендритовый ледник Гандо (№ 188—194) имеет наибольшую длину 22,0 км, общую площадь 44,6 км² (в том числе								
195*	№ 195		кар.-дол.	ЮВ	1,4	1,4	0,4	0,4
196*	№ 196		вис.	ЮЗ	0,7	0,7	0,1	0,1
197*	№ 197		кар.	Ю	0,7	0,7	0,2	0,2
198*	№ 198		дол.	Ю	1,6	1,3	0,4	0,4
199*	№ 199		дол.	Ю	1,8	0,6	0,6	0,4
200*	№ 200		вис. кар.	ЮВ	0,9	0,9	0,2	0,2
201*	№ 201		кар.-дол.	Ю	1,2	1,1	0,3	0,3
202*	№ 202		вис.	ЮВ	0,6	0,6	0,2	0,2
203*	№ 203		вис.	СЗ	0,7	0,7	0,1	0,1
204*	№ 204		кар.	З	0,4	0,4	0,1	0,1
205*	№ 205		прискл.	СВ	0,6	0,6	0,2	0,2
206*	№ 206		прискл.	С	0,5	0,5	0,2	0,2
207*	№ 207		дол.	С	2,3	2,3	1,0	1,0
208*	№ 208		дол.	С	2,9	2,9	1,2	1,1
209*	№ 209		дол.	СВ	2,6	2,1	0,7	0,5
210*	№ 210		дол.	СВ	2,3	2,0	0,7	0,5
211	№ 211		дол.	С	1,3	1,3	0,4	0,4
212	№ 212		дол.	СВ	1,9	1,9	0,5	0,5
213	№ 213		дол.	С	1,8	1,1	0,4	0,3
214	№ 214		дол.	СВ	2,3	2,3	0,9	0,9
215*	№ 215		дол.	С	1,3	1,3	0,3	0,3
216*	№ 216		дол.	СВ	3,5	3,5	2,4	2,4
217	№ 217	пр. р. Гандо	дол.	С	1,2	1,2	0,3	0,3
218*	№ 218	пр. р. Киргизоб	прискл.	СЗ	0,6	0,6	0,1	—
219*	№ 219		вис.	СЗ	0,4	0,4	0,1	0,1
220*	№ 220		вис.	С	0,3	0,3	0,1	0,1
221*	№ 221	пр. р. Киргизоб	кар.	СЗ	1,0	0,8	0,2	0,1
222	№ 222	пр. р. Киргизоб	вис.-дол.	СЗ	1,2	1,2	0,3	0,3
223*	№ 223	пр. р. Киргизоб	кар.-дол.	ЮЗ	1,3	0,8	0,4	0,3
	37 ледников						57,8	52,0

Кроме того, в бассейнах левых притоков р. Киргизоб имеется 29 ледников размерами менее 0,1 км² каждый, общей

Итого 66 ледников 59,4

Всего в бассейне р. Киргизоб имеется 105 ледников общей площадью 92,3 км², в том числе 64 ледника размерами дый, общей площадью 2,3 км²

БАССЕЙН р. ГАРМО

Южный склон хребтов Гармо и Петра Первого, западный склон хр. Академии Наук,

Дендритовый ледник Гармо с притоками

224*	Беляева	Гармо	сл. дол., осн. поток	ЮЗ	30,4	13,4	26,2	20,5
225*	№ 225		дол. часть сл. дол.	Ю, ЮЗ	18,1	14,8	6,1	4,8

Высота, м			Фирновая линия		Площадь области абляции, км²		Объем льда, км³	Ссылки на последующие таблицы (иллюстрации)
низшей точки конца ледника	низшей точки открытой части	высшей точки ледника	высота, м	способ определения и год	общая	в том числе открытой части		№ таблиц и иллюстраций / порядковые № сведений в таблицах
10	11	12	13	14	15	16	17	18

размерами 0,1 км² и более каждый, общей площадью 134,2 км²

р. ОБИХИНГОУ

(реки Киргизоб, Обихингоу)

северный склон хр. Гармо

4100	4100	5200	4500	АФС 1947	0,1	0,1	
3250	3560	6150	4750	АФС 1947	8,4	5,3	IV/4, 7; V/11, 14, 16, 26, 27, 28, 31, 35; рис. 11
3810	3820	6350	4800	АФС 1947	2,5	1,5	IV/7; V/14
4150	4190	5000	4600	АФС 1947	1,0	0,9	
3810	3820	5750	4450	АФС 1947	3,8	3,4	IV/7; V/31; рис. 12, 49
4020	4020	5100	4200	АФС 1947	0,2	0,1	рис. 12
3870	3870	5020	4300	АФС 1947	0,5	0,5	рис. 12
3940	3940	4750	4400	АФС 1947	0,2	0,2	

4,7 км² закрыто мореной) и площадь области абляции 16,6 км²

3800	3800	4740	4300	АФС 1947	0,2	0,1	
4400	4400	5200	—	АФС 1947	—	—	
(4200)	(4200)	(4400)	(4300)	АФС 1947	0,1	0,1	
4100	4120	4400	4300	АФС 1947	0,2	0,2	
4080	4260	4450	4350	АФС 1947	0,3	0,1	
4350	4350	4660	4550	АФС 1947	0,1	0,1	рис. 21
4350	4380	4720	4600	АФС 1947	0,1	0,1	рис. 21
5100	5100	5800	—	АФС 1947	—	—	
4300	4300	4900	—	АФС 1947	—	—	
4500	4500	4680	4550	АФС 1947	—	—	
4220	4220	4400	4250	АФС 1947	0,1	0,1	
4100	4100	4600	4250	АФС 1947	0,1	0,1	
3900	3900	4600	4350	АФС 1947	0,6	0,6	
3840	3840	4500	4200	АФС 1947	0,5	0,4	
3960	4060	4620	4300	АФС 1947	0,5	0,3	
4080	4120	4720	4300	АФС 1947	0,4	0,2	
4120	4120	4540	4300	АФС 1947	0,2	0,2	
4260	4260	4600	4400	АФС 1947	0,2	0,2	
3780	3970	4500	4200	АФС 1947	0,2	0,1	
4100	4100	4700	4400	АФС 1947	0,5	0,5	
4320	4320	4700	4300	АФС 1947	0,1	0,1	
3760	3760	4800	4400	АФС 1947	0,8	0,8	
4000	4000	4540	4300	АФС 1947	0,1	0,1	
3920	4020	4080	4050	АФС 1947	0,1	—	
4200	4200	4720	4250	АФС 1947	—	—	
4200	4200	4680	4250	АФС 1947	—	—	
4060	4080	4200	4150	АФС 1947	0,1	—	
3960	3960	4850	4200	АФС 1947	0,1	0,1	
4280	4350	4620	4400	АФС 1947	0,1	—	
					22,5		

площадью 1,6 км²

более 0,1 км², общей площадью 90 км² (из них 14,2 км² закрыто мореной) и 41 ледник размерами менее 0,1 км² каж-

(р. ОБИХИНГОУ)

северный склон Дарвазского хребта, северный склон хр. Пашимгар

2970	3840	6260	4900	АФС 1947, 1966	17,2	11,5	IV/4, 6, 7, 8, 10, 11; V/ 3, 5, 7, 9, 11, 13, 14, 20, 22, 26, 31, 33, 35; рис. 4, 8, 9, 50
3320	3480	6250	4800	АФС 1947	4,1	2,8	рис. 8, 50

№ по схеме	Название	Название реки, вытекающей из ледника	Морфологический тип	Общая экспозиция	Наибольшая длина, км		Площадь, км²	
					всего ледника	в том числе открытой части	всего ледника	в том числе открытой части
1	2	3	4	5	6	7	8	9
226*	№ 226		дол., часть сл. дол.	Ю	4,6	4,6	2,8	2,8
227*	№ 227		дол., часть сл. дол.	Ю	4,6	4,6	4,0	4,0
Сложный долинный ледник Беляева (№ 224—227) имеет наибольшую длину 30,4 км, общую площадь 39,1 км² (в том								
228*	Липского	Гармо	сл. дол., осн. поток	ЮВ, ЮЗ	25,3	16,2	13,1	10,0
229*	№ 229		дол., часть сл. дол.	СВ, Ю	10,4	7,6	4,7	4,2
230*	№ 230		дол., часть сл. дол.	В	4,1	4,1	1,6	1,6
Сложный долинный ледник Липского (№ 228—230) имеет наибольшую длину 25,3 км, общую площадь 19,4 км² (в том								
231*	Вавилова	Гармо	дендр., осн. поток	СЗ, ЮЗ	30,2	16,6	22,0	16,9
232*	№ 232		сл. дол., часть дендр.	ЮЗ	4,0	2,9	2,8	2,4
233*	№ 233		дол., часть дендр.	ЮЗ	3,7	2,0	1,7	1,1
234*	№ 234		сл. дол., часть дендр.	ЮЗ	4,6	4,6	2,1	2,0
235*	№ 235		дол., часть сл. дол.	З	3,9	3,6	1,1	1,0
236*	№ 236		дол., часть сл. дол.	СЗ	2,7	2,4	0,8	0,7
Сложный долинный ледник № 234—236 часть дендритового ледника Вавилова, имеет наибольшую длину 4,6 км,								
237*	№ 237		сл. дол., часть дендр.	З	7,1	4,9	2,0	1,7
238*	№ 238		дол., часть дендр.	СВ	1,7	1,2	0,7	0,6
239*	№ 239		асимм. дол., часть дендр.	СВ	1,7	1,5	0,8	0,7
Дендритовый ледник Вавилова (№ 231—239) имеет наибольшую длину 30,2 км, общую площадь 34,0 км² (в том								
240*	Шокальского	Гармо	сл. дол., осн. поток.	СЗ, З	25,5	13,1	17,4	13,3
241*	№ 241		дол., часть сл. дол.	З	4,3	4,0	2,0	1,9
242*	№ 242		дол., часть сл. дол.	ЮЗ, СЗ	5,8	5,5	1,5	1,4
243*	№ 243		дол., часть сл. дол.	СВ	2,0	2,0	1,2	1,1
Сложный долинный ледник Шокальского (№ 240—243) имеет наибольшую длину 25,5 км, общую площадь 22,1 км²								
Дендритовый ледник Гармо (№ 224—243) имеет наибольшую длину 30,4 км, общую площадь 114,6 км²								
244*	№ 244		дол.	Ю	2,4	1,5	0,7	0,5
245*	№ 245		дол.	Ю	2,2	1,4	0,9	0,6
246*	№ 246		кар.	Ю	0,7	0,7	0,2	0,2
247*	№ 247		дол., часть сл. дол.	ЮВ	3,9	3,6	2,2	1,8
248*	№ 248		дол., часть сл. дол.	ЮВ	2,4	2,1	1,0	0,8
Сложный долинный ледник № 247—248 имеет наибольшую длину 3,9 км, общую площадь 3,2 км² (в том числе 0,6								
249*	№ 249		кар.-вис.	В	0,8	0,8	0,3	0,3
250*	№ 250		кар.-дол.	З	1,1	1,1	0,2	0,2
251*	№ 251		вис.	ЮЗ	0,7	0,7	0,1	0,1
252*	№ 252		кар.	ЮЗ	0,9	0,2	0,1	—
253*	№ 253		дол.	ЮЗ	3,4	1,3	1,3	0,5
254*	№ 254		вис. кар.	З	0,9	0,9	0,2	0,2
255*	№ 255		вис. дол.	СВ	1,2	1,2	0,3	0,3
256*	№ 256		вис. кар.	СВ	0,6	0,6	0,1	0,1
257*	№ 257		дол.	СВ	1,8	1,8	0,6	0,6
258*	№ 258		дол.	СВ	1,3	1,3	0,4	0,4

Высота, м			Фирновая линия		Площадь области абляции, км²		Объем льда, км³	Ссылки на последующие таблицы (иллюстрации)
								№ таблиц и иллюстраций
низшей точки конца ледника	низшей точки открытой части	высшей точки ледника	высота, м	способ определения и год	общая	в том числе открытой части		порядковые № сведений в таблицах
10	11	12	13	14	15	16	17	18
4220	4220	6350	4800	АФС 1947	1,1	1,1		рис. 8, 50
4220	4220	5610	4900	АФС 1947	2,3	2,3		рис. 8
числе 7,0 км² закрыто мореной) и площадь области абляции 24,7 км²								
2980	3420	5450	4700	АФС 1947	6,7	3,6		IV/8; V/11; рис. 50
3600	3780	5080	4300	АФС 1947	2,2	1,7		IV/8; рис. 50
4160	4160	5380	4700	АФС 1947	0,8	0,8		IV/8
числе 3,6 км² закрыто мореной) и площадь области абляции 9,7 км²								
2980	3620	5880	4450	АФС 1947, 1966	14,5	9,4		IV/6, 7, 8, 10; V/3, 5, 7, 20, 22, 31; рис. 5
3900	4000	5740	4650	АФС 1947, 1966	1,2	0,8		IV/6, 8, 10; V/3, 7
4020	4540	5700	4700	АФС 1947, 1966	0,8	0,2		IV/8
4060	4060	5500	4700	АФС 1947, 1966	1,2	1,1		IV/8
4080	4100	5560	4650	АФС 1947, 1966	0,5	0,4		IV/8
4080	4100	5040	4600	АФС 1947, 1966	0,4	0,3		IV/8
общую площадь 4,0 км² (в том числе 0,3 км² закрыто мореной) и площадь области абляции 2,1 км²								
4080	4220	5460	4700	АФС 1947, 1966	0,9	0,6		IV/8
4280	4380	5200	4450	АФС 1947	0,2	0,1		
4240	4250	5050	4400	АФС 1947	0,3	0,2		IV/8
числе 6,9 км² закрыто мореной) и площадь области абляции 20,0 км²								
3020	3620	5680	4450	АФС 1947	10,4	6,3		IV/7; V/5, 11, 31; рис. 10
3980	4000	5280	4500	АФС 1947	1,0	0,9		
4060	4100	5300	4700	АФС 1947	0,8	0,7		
4080	4100	5100	4400	АФС 1947	0,5	0,4		
(в том числе 4,4 км² закрыто мореной) и площадь области абляции 12,7 км²								
(в том числе 21,9 км² закрыто мореной) и площадь области абляции 67,1 км²								
4160	4420	4740	4550	АФС 1947	0,4	0,2		
4020	4260	4780	4500	АФС 1947	0,5	0,2		
(4180)	4180	4560	4450	АФС 1947	0,1	0,1		
3850	3950	5140	4550	АФС 1947	1,5	1,1		IV/6, 10; V/3
4060	4100	4600	4450	АФС 1947	0,7	0,5		IV/6, 10; V/3
км² закрыто мореной) и площадь области абляции 2,2 км²								
4640	4640	5200	4700	АФС 1947	—	—		
4300	4300	5050	4750	АФС 1947	0,1	0,1		
5150	5150	5480	—	АФС 1947	—	—		
4200	4400	4550	4500	АФС 1947, 1966	0,1	—		
4260	4650	5600	4650	АФС 1947, 1966	0,8	—		IV/8
4520	4520	5040	4700	АФС 1947	0,1	0,1		
4160	4160	4900	4400	АФС 1947	0,1	0,1		
4540	4540	4950	—	АФС 1947	—	—		
4120	4120	4950	4350	АФС 1947	0,2	0,2		IV/8
4110	4110	4900	4350	АФС 1947	0,2	0,2		IV/8

№ по схеме	Название	Название реки, вытекающей из ледника	Морфологический тип	Общая экспозиция	Наибольшая длина, км		Площадь, км²	
					всего ледника	в том числе открытой части	всего ледника	в том числе открытой части
1	2	3	4	5	6	7	8	9
259*	№ 259		вис. дол.	СВ	1,2	1,2	0,4	0,4
260*	№ 260		дол.	СЗ	2,8	2,8	1,5	1,4
261*	№ 261		прискл.	З	0,8	0,8	0,4	0,4
262*	№ 262		кар.	ЮЗ	0,5	0,5	0,1	—
263*	№ 263		кар.-дол.	СВ	1,4	1,4	0,8	0,8
264*	Ванчдара	Мумбни	сл. дол., осн. поток	СЗ	9,5	9,2	6,9	6,5
265*	№ 265		дол., часть сл. дол.	С	2,1	2,1	1,3	1,3
266*	№ 266		дол., часть сл. дол.	СВ	4,4	4,4	3,3	3,3
Сложный долинный ледник Ванчдара (№ 264—266) имеет наибольшую длину 9,5 км, общую площадь 11,5 км² (в том								
267*	№ 267		вис. кар.	З	0,7	0,7	0,1	0,1
268*	№ 268		кар.-дол.	ЮЗ	1,1	1,0	0,2	0,2
269*	№ 269		дол.	Ю	1,5	1,3	0,4	0,4
270*	№ 270		вис.	С	0,8	0,8	0,1	0,1
271*	№ 271		вис. дол.	С	1,6	1,6	0,3	0,3
272*	№ 272		вис. дол.	С	1,2	1,2	0,2	0,2
273*	№ 273	пр. р. Мумбни	сл. дол.	СВ	2,1	2,1	1,1	1,1
274*	№ 274	пр. р. Мумбни	вис. кар.	СВ	0,6	0,6	0,1	0,1
275*	№ 275	пр. р. Мумбни	вис.	СВ	0,7	0,7	0,2	0,2
276*	№ 276	пр. р. Мумбни	дол.	С, В	2,2	2,2	1,2	1,2
277*	Токаест	Токаест	сл. дол., осн. поток	С	(5,6)	(5,6)	(6,9)	(6,9)
278*	№ 278		дол., часть сл. дол.	С	(3,4)	(2,7)	(1,6)	(1,5)
279*	№ 279		дол., часть сл. дол.	С	(4,5)	(4,5)	(2,4)	(2,4)
Сложный долинный ледник Токаест (№ 277—279) имеет наибольшую длину 5,6 км, общую площадь 10,9 км² (в том								
280*	№ 280		кар.-дол.	З	0,8	0,8	0,2	0,2
281*	№ 281		вис. дол.	З	1,1	1,1	0,2	0,2
282*	№ 282		асимм. дол.	СВ	(2,5)	(2,5)	(1,8)	(1,8)
283*	№ 283		дол.	В	(1,4)	(1,4)	(0,5)	(0,5)
284*	№ 284		(дол.)	ЮВ	(1,2)	(0,2)	(0,2)	—
285*	№ 285	пр. р. Токаест	дол.	В	(1,9)	(1,3)	(0,4)	0,3
286*	№ 286	пр. р. Токаест	дол.	СВ	(1,9)	1,5	(0,6)	0,4
287*	№ 287	Сафетоб	дол., часть сл. дол.	СЗ	2,5	2,5	1,2	1,2
288*	№ 288	Сафетоб	дол., часть сл. дол.	С	3,2	3,2	1,8	1,8
289*	№ 289	Сафетоб	дол., часть сл. дол.	СВ	2,9	2,9	2,1	2,1
Сложный долинный ледник Сафетоб (№ 287—289) имеет наибольшую длину 3,2 км, общую площадь 5,1 км² и пло								
290*	№ 290		кар.	З	0,4	0,4	0,1	0,1
291*	№ 291		сл. дол.	С	(2,8)	2,4	(1,6)	1,3
292*	№ 292		дол.	С	(2,9)	2,2	(0,7)	0,5
293*	№ 293	пр. р. Гармо	дол.	С	(1,7)	1,1	(0,5)	0,3
294*	№ 294	пр. р. Гармо	сл. дол.	С	(2,3)	2,2	(1,2)	1,1
295*	№ 295	пр. р. Гармо	дол.	С	(3,4)	3,0	(1,5)	1,1
296*	№ 296		вис.	С	0,6	0,6	0,1	0,1
297*	№ 297	пр. р. Гармо	дол.	С	(3,2)	1,7	(1,1)	0,8
298	№ 298	пр. р. Гармо	дол.	С	(2,1)	1,9	(0,5)	0,5
299	№ 299	пр. р. Гармо	дол.	С	1,4	1,4	0,3	0,3
300*	№ 300	пр. р. Гармо	вис.	С	0,6	0,6	0,1	0,1
	77 ледников						169,4	142,8
Кроме того, в бассейне р. Гармо имеется 35 ледников размерами менее 0,1 км² каждый, общей площадью 1,7 км²								
Итого 112 ледников							(171,1)	

Всего в бассейне р. Гармо имеется 112 ледников общей площадью 171,1 км², в том числе 77 ледников размерами общей площадью 1,7 км²

Высота, м			Фирновая линия		Площадь области абляции, км²		Объем льда, км³	Ссылки на последующие таблицы (иллюстрации)
низшей точки конца ледника	низшей точки открытой части	высшей точки ледника	высота, м	способ определения и год	общая	в том числе открытой части		№ таблиц и иллюстраций; порядковые № сведений в таблицах
10	11	12	13	14	15	16	17	18
3900	3900	4780	4350	АФС 1947	0,2	0,2		IV/8
3920	3920	4900	4300	АФС 1947	0,5	0,4		
4300	4300	4800	4500	АФС 1947	0,2	0,2		
4400	4640	4700	4650	АФС 1947	0,1	—		
3990	3990	4750	4400	АФС 1947	0,4	0,4		
3870	3900	5400	4400	АФС 1947	2,7	2,3		IV/6, V/3, 5, 11; рис. 51
4130	4130	4840	4400	АФС 1947	0,5	0,5		рис. 51
3940	3940	4900	4400	АФС 1947	1,4	1,4		рис. 51
числе 0,4 км² закрыто мореной) и площадь области абляции 4,6 км²								
4300	4300	4780	4600	АФС 1947	—	—		
4400	4400	4860	4650	АФС 1947	0,1	0,1		
4340	4380	4880	4650	АФС 1947	0,2	0,2		
4170	4170	4800	4350	АФС 1947	—	—		
4080	4080	4800	4350	АФС 1947	0,1	0,1		
4160	4160	4800	4350	АФС 1947	—	—		
4020	4020	4700	4400	АФС 1947	0,5	0,5		
4460	4460	4680	4500	АФС 1947	—	—		
4240	4240	4720	4500	АФС 1947	0,1	0,1		
4280	4280	4820	4450	АФС 1947	0,5	0,5		
3830	3830	(5000)	4300	АФС 1947	2,8	2,8		
3850	3940	(4820)	4300	АФС 1947	0,8	0,7		
3880	3880	(4840)	4300	АФС 1947	1,0	1,0		
числе 0,1 км² закрыто мореной) и площадь области абляции 4,6 км²								
4300	4300	4680	4400	АФС 1947	—	—		
4220	4220	4660	4300	АФС 1947	—	—		
(4360)	(4360)	(5060)	—					
(4400)	(4400)	(4900)	—					
(4180)	(4500)	(4800)	—					
(4120)	4200	4550	4250	АФС 1947	(0,2)	0,1		
(3960)	4060	4380	4200	АФС 1947	(0,4)	0,2		
4040	4040	4780	4300	АФС 1947	0,5	0,5		
4060	4060	4920	4300	АФС 1947	0,5	0,5		
4100	4100	5060	4300	АФС 1947	0,6	0,6		
щадь области абляции 1,6 км²								
4180	4180	4400	4250	АФС 1947	—	—		
(3800)	3900	4900	4250	АФС 1947	(0,7)	0,4		
(3780)	3920	4860	4200	АФС 1947	(0,4)	0,2		
(3760)	4050	4980	4100	АФС 1947	(0,2)	—		
(3660)	3700	4760	4250	АФС 1947	(0,6)	0,5		
(3640)	3900	4120	4300	АФС 1947	(0,9)	0,5		
4380	4380	4650	—	АФС 1947	—	—		
(3580)	3880	4930	4250	АФС 1947	(0,7)	0,4		
(3920)	3940	4820	4250	АФС 1947	(0,2)	0,2		
4020	4020	4580	4200	АФС 1947	0,1	0,1		
4120	4120	4500	4200	АФС 1947	—	—		
					(90,0)			

более 0,1 км², общей площадью 169,4 км² (из них 26,6 км² покрыто мореной) и 35 ледников размерами менее 0,1 км²,

№ по схеме	Название	Название реки, вытекающей из ледника	Морфологический тип	Общая экспозиция	Наибольшая длина, км		Площадь, км²	
					всего ледника	в том числе открытой части	всего ледника	в том числе открытой части
1	2	3	4	5	6	7	8	9

БАССЕЙН р. БОХУД

Бассейн р. Сагдар

Юго-западный склон хр. Пашимгар,

301*	№ 301	пр. р. Сагдар	дол.	ЮВ, ЮЗ	(1,7)	1,6	(0,5)	0,4
302*	№ 302	пр. р. Сагдар	дол.	Ю	1,2	1,2	0,2	0,2
303*	№ 303		вис.	З	0,4	0,4	0,1	0,1
304*	№ 304	пр. р. Сагдар	прискл.	С	0,8	0,8	0,2	0,2
305*	№ 305	пр. р. Сагдар	кар.	Ю	0,7	0,7	0,1	0,1
306*	№ 306	пр. р. Сагдар	дол.	ЮЗ	(2,0)	1,6	(0,7)	0,6
307*	Бурс	Сагдар	дол. часть сл. дол.	СЗ	(5,3)	5,3	(5,6)	5,6
308*	№ 308	Сагдар	дол. часть сл. дол.	СЗ	(2,8)	2,0	(1,3)	1,3

Сложный долинный ледник Бурс (№ 307—308) имеет наибольшую длину 5,3 км, общую площадь 6,9 км² и площадь

309*	№ 309		дол.	ЮЗ	(2,7)	(2,7)	(1,4)	(1,4)
310*	№ 310		дол.	СЗ	1,8	1,2	0,6	0,4
311*	№ 311	пр. р. Сагдар	вис. дол.	СВ	0,9	0,9	0,2	0,2
312*	№ 312	пр. р. Сагдар	вис. дол.	СВ	1,0	1,0	0,2	0,2
313*	№ 313	пр. р. Сагдар	дол.	СВ	1,4	0,9	0,4	0,3
	13 ледников						(11,5)	(11,0)

Кроме того, в бассейне р. Сагдар имеется 2 ледника размерами менее 0,1 км² каждый, общей площадью 0,1 км²

Итого 15 ледников (11,6)

Бассейн р. Обисытарги

Северный склон

314	№ 314	пр. р. Обисытарги	кар.	Ю	0,8	0,8	0,2	0,2
315*	Сытарги	Обисытарги	сл. дол., осн. поток	С	5,1	4,6	5,8	5,8
316*	№ 316		дол., часть сл. дол.	З	2,1	2,1	0,6	0,6
317*	№ 317		кар.-дол., часть сл. дол.	СВ	1,0	1,0	0,2	0,2
318*	№ 318	Обисытарги	дол., часть сл. дол.	В	5,7	4,6	3,7	3,6

Сложный долинный ледник Сытарги (№ 315—318) имеет наибольшую длину 6,0 км, общую площадь 10,3 км² (в том

319*	Сытарги		дол.	З	5,8	5,8	4,7	4,6
320*	№ 320		кар.	ЮЗ	1,2	1,2	0,5	0,5
321*	№ 321	пр. р. Обисытарги	ассим. дол.	СВ	1,3	1,0	0,4	0,4
322*	№ 322	пр. р. Обисытарги	асимм. дол.	СВ	2,1	2,1	1,1	1,1
323*	№ 323	пр. р. Обисытарги	склон.	СВ	0,7	0,7	0,3	0,3
324*	№ 324	пр. р. Обисытарги	вис. кар.	СВ	0,9	0,9	0,2	0,2
325*	№ 325	пр. р. Обисытарги	дол.	СВ	1,5	1,5	0,4	0,4
	12 ледников						18,1	17,9

Кроме того, в бассейне р. Обисытарги имеется 2 ледника размерами менее 0,1 км² каждый, общей площадью 0,1 км²

Итого 14 ледников 18,2

Бассейн р. Зорди-Бираусо

Северные склоны Дарвазского

326*	Зорди-Бираусо	Зорди-Бираусо	сл. дол., осн. поток	С	9,4	5,4	7,0	4,1
327*	№ 327	Зорди-Бираусо	дол., часть сл. дол.	СВ	8,2	6,1	3,5	2,8
328*	№ 328	Зорди-Бираусо	дол., часть сл. дол.	СВ	8,1	6,1	2,9	2,6
329*	№ 329	Зорди-Бираусо	дол., часть сл. дол.	СВ	5,4	2,0	1,2	0,7

Сложный долинный ледник Зорди-Бираусо (№ 326—329) имеет наибольшую длину 9,4 км, общую площадь 14,6 км²,

Высота, м			Фирновая линия		Площадь области абляции, км²		Объем льда, км³	Ссылки на последующие таблицы (иллюстрации) № таблиц и иллюстраций / порядковые № сведений в таблицах
низшей точки конца ледника	низшей точки открытой части	высшей точки ледника	высота, м	способ определения и год	общая	в том числе открытой части		
10	11	12	13	14	15	16	17	18
(р. ОБИХИНГОУ)								
(реки Бохуд, Обихингоу)								
северо-западный склон Дарвазского хребта								
(4400)	4420	4900	4600	АФС 1947	(0,2)	0,1		
4500	4500	4850	4600	АФС 1947	—	—		
4720	4720	4970	—	АФС 1947	—	—		
4180	4180	4650	4400	АФС 1947	0,1	0,1		
4400	4500	4700	4550	АФС 1947	—	—		
(4220)	4380	4550	4600	АФС 1947	(0,4)	0,3		
(3980)	3980	4850	4550	АФС 1947	(2,9)	2,9		IV/2; V/11, 19
(4020)	4120	4850	4500	АФС 1947	(0,8)	0,8		IV/2; V/19
области абляции 3,7 км²								
(4260)	(4260)	(4800)						
4080	4140	4450	4350	АФС 1947	0,3	0,1		IV/2; V/19
4200	4200	4850	4400	АФС 1947	—	—		IV/2; V/19
4100	4100	5000	4400	АФС 1947	—	—		
3660	3800	4500	4300	АФС 1947	0,2	0,1		
					(4,9)			
(реки Бохуд, Обихингоу)								
Дарвазского хребта								
4600	4600	4800	4650	АФС 1947	0,1	0,1		
3780	3820	5250	4400	АФС 1947	2,9	2,9		IV/2; V/11, 19
4100	4100	4600	4350	АФС 1947	0,4	0,4		IV/2; V/19
4100	4100	4400	4300	АФС 1947	0,1	0,1		IV/2; V/19
3800	3820	4850	4400	АФС 1947	1,2	1,1		IV/2; V/19
числе 0,1 км² закрыто мореной) и площадь области абляции 4,6 км²								
3880	3880	4750	4500	АФС 1947 наз.-виз. 1969	2,6	2,5		IV/2, 11, 14; V/2, 9, 19
4280	4280	4600	4500	АФС 1947	0,3	0,3		
3920	4000	4600	4300	АФС 1947	0,1	0,1		
3980	3980	4850	4400	АФС 1947	0,7	0,7		
4100	4100	4450	4350	АФС 1947	0,2	0,2		
4150	4150	4550	4400	АФС 1947	0,1	0,1		
4120	4120	4600	4300	АФС 1947	0,2	0,2		
					8,9			
(реки Бохуд, Обихингоу)								
и Мазарского хребтов								
3280	3670	4900	4300	АФС 1947	5,2	2,3		рис. 18
3350	3620	5400	4300	АФС 1947	1,8	1,1		рис. 18
3500	3620	5100	4400	АФС 1947	1,2	0,9		
3640	4200	4650	4450	АФС 1947	0,9	0,4		рис. 18
(в том числе 4,4 км² покрыто мореной) и площадь области абляции 9,1 км²								

№ по схеме	Название	Название реки, вытекающей из ледника	Морфологический тип	Общая экспозиция	Наибольшая длина, км		Площадь, км²	
					всего ледника	в том числе открытой части	всего ледника	в том числе открытой части
1	2	3	4	5	6	7	8	9
330*	№ 330		дол.	С, СЗ	3,4	3,4	2,1	2,1
331*	№ 331		кар.	СЗ	0,8	0,8	0,2	0,2
332*	№ 332		дол.	СЗ	(1,9)	1,6	(0,8)	0,6
333*	№ 333		дол.	С	4,9	4,9	3,3	3,3
334*	№ 334		асимм. дол.	СЗ	(5,0)	5,0	(3,7)	3,7
335*	№ 335		дол.	Ю	2,1	2,1	0,5	0,5
336*	№ 336		вис.	СВ	0,6	0,6	0,1	0,1
337*	№ 337		кар.-дол.	ЮВ	0,9	0,6	0,4	0,3
338*	№ 338		кар.-дол.	ЮВ	0,8	0,8	0,2	0,2
339	№ 339	пр. р. Зорди-Бираусо	асимм. дол.	СВ	2,8	2,5	1,0	1,0
340*	№ 340	пр. р. Зорди-Бираусо	вис.	СВ	0,6	0,6	0,1	0,1
	15 ледников						(27,0)	22,3
Кроме того, в бассейне р. Зорди-Бираусо имеется 2 ледника размерами менее 0,1 км² каждый, общей площадью								
Итого 17 ледников							27,1	
Бассейн р. Сурайша								
Северный склон								
341*	№ 341	пр. р. Сурайша	кар.	СЗ	1,2	1,0	0,5	0,5
342*	№ 342	пр. р. Сурайша	кар.-дол.	СЗ	1,2	1,2	0,4	0,4
343*	№ 343	пр. р. Сурайша	дол.	СЗ	1,6	1,6	0,3	0,3
344*	№ 344	пр. р. Сурайша	дол.	С	1,8	1,8	0,9	0,9
345*	Сурайша	Сурайша	сл. дол.	С	6,8	5,0	5,3	4,7
346	№ 346		дол., часть сл. дол.	СЗ	1,9	1,9	0,6	0,6
347	№ 347		кар. дол., часть сл. дол.	З	0,9	0,9	0,2	0,2
Сложный долинный ледник № 346, 347 имеет наибольшую длину 1,9 км, общую площадь 0,8 км² и площадь области								
7 ледников							8,2	7,6
Бассейн р. Минаду								
Северный склон								
348*	Минаду	Минаду	дол., часть сл. дол.	С	7,8	4,3	2,2	1,8
349*	Минаду	Минаду	дол., часть сл. дол.	С	8,1	8,1	3,7	3,4
350*	Минаду	Минаду	дол., часть сл. дол.	С	8,6	3,1	2,4	1,8
Сложный долинный ледник Минаду (№ 348—350) имеет наибольшую длину 8,6 км, общую площадь 8,3 км² (в том								
351*	№ 351		вис.	СЗ	0,4	0,4	0,1	0,1
352*	№ 352		дол.	С	1,9	1,9	0,6	0,6
	5 ледников						9,0	7,7
Бассейн р. Скогач								
Северный склон								
353*	Скогач	Скогач	дол.	С	12,0	12,0	12,6	11,5
354*	№ 354		кар.	С	0,9	0,9	0,2	0,2
355*	№ 355		вис.	СЗ	(0,4)	(0,4)	(0,1)	(0,1)
356*	№ 356		вис. дол.	СЗ	(1,2)	(1,2)	(0,2)	(0,2)
357*	№ 357		вис.	СЗ	(0,8)	(0,8)	(0,1)	(0,1)
358*	№ 358		склон.	СЗ	0,7	0,7	0,2	0,2
	6 ледников						(13,4)	(12,3)
Кроме того, в бассейне р. Скогач имеется 2 ледника размерами менее 0,1 км² каждый, общей площадью 0,1 км²								
Итого 8 ледников							(13,5)	

Всего в бассейне р. Бохуд имеется 66 ледников общей площадью 87,6 км², в том числе 58 ледников размерами более
дый, общей площадью 0,4 км²

Высота, м			Фирновая линия		Площадь области абляции, км²		Объем льда, км³	Ссылки на последующие таблицы (иллюстрации) № таблиц и иллюстраций порядковые № сведений в таблицах
низшей точки конца ледника	низшей точки открытой части	высшей точки ледника	высота, м	способ определения и год	общая	в том числе открытой части		
10	11	12	13	14	15	16	17	18
4000	4000	5050	4400	АФС 1947	1,0	0,1		
4160	4160	4750	4300	АФС 1947	—	—		
(4100)	4150	4800	4250	АФС 1947	(0,3)	0,1		
3750	3750	4700	4300	АФС 1947	1,5	1,5		
(4070)	(4070)	4750	4400	АФС 1947	(1,9)	1,9		
4440	4440	4900	(4600)	АФС 1947	0,2	0,2		
4180	4180	4650	4250	АФС 1947	—	—		
4340	4400	4680	4500	АФС 1947	0,2	0,1		
4350	4350	4580	4500	АФС 1947	0,1	0,1		
4000	4000	4950	4400	АФС 1947	0,6	0,6		
4300	4300	4700	4400	АФС 1947	—	—		
					(14,9)			
0,1 км²								
(реки Бохуд, Обихингоу)								
Мазарского хребта								
4050	4080	4650	4350	АФС 1947	0,2	0,2		
4180	4200	4500	4300	АФС 1947	0,1	0,1		
4080	4100	4550	4300	АФС 1947	0,2	0,2		
3950	3950	4450	4250	АФС 1947	0,5	0,5		
3790	3900	4950	4350	АФС 1947	3,8	3,2		IV/2; V/11, 19
4100	4100	4700	4300	АФС 1947	0,3	0,3		
4280	4280	(4500)	4350	АФС 1947	0,1	0,1		
абляции 0,4 км²								
					5,2			
(реки Бохуд, Обихингоу)								
Мазарского хребта								
3200	3800	5080	4400	АФС 1947	1,4	1,0		IV/2; V/11, 19
3200	3200	5000	4400	АФС 1947	2,1	1,8		IV/2; V/19
3230	4400	5500	4500	АФС 1947	1,3	0,7		IV/2; V/19
числе, 1,3 км² покрыто мореной) и площадь области абляции 4,8 км²								
3760	3760	4000	—	АФС 1947	—	—		
3900	3900	4750	4300	АФС 1947	0,3	0,3		
					5,1			
(реки Бохуд, Обихингоу)								
Мазарского хребта								
3050	3050	5250	4400	АФС 1947 наз.-виз. 1969-70	7,9	6,8		IV/2, 12, 14; V/2, 11, 19, 24 рис. 52, 53, 54
3820	3820	4400	4200	АФС 1947	—	—		
(4400)	(4400)	4600	—	АФС 1947	—	—		
(3900)	(3900)	(4950)	(4300)	АФС 1947	—	—		
(4400)	(4400)	(5150)	—	АФС 1947	—	—		
4250	4250	4750	4400	АФС 1947	0,1	0,1		
					8,0			

0,1 км² каждый, общей площадью 87,2 км² (из них 8,4 км² покрыто мореной), 8 ледников размерами менее 0,1 км² каж-

№ по схеме	Название	Название реки, вытекающей из ледника	Морфологический тип	Общая экспозиция	Наибольшая длина, км		Площадь, км²	
					всего ледника	в том числе открытой части	всего ледника	в том числе открытой части
1	2	3	4	5	6	7	8	9
								Бассейн р. Батрут
								Северный склон
359	Батрут	Батрут	дол.	С	12,4	10,6	16,6	15,8
360*	№ 360		асимм. дол.	СЗ	1,4	1,4	0,2	0,2
361*	№ 361		прискл.	СВ	0,6	0,6	0,1	0,1
362*	Батрут	Батрут	сл. дол.	СВ	9,3	8,1	6,6	5,9
	4 ледника						23,5	22,0
	Кроме того, в бассейне р. Батрут имеется 2 ледника размерами менее 0,1 км² каждый, общей площадью 0,1 км²							
	Итого 6 ледников						23,6	
								Бассейн р. Биджау
								Северный склон
363*	Биджау	Биджау	сл. дол., осн. поток	СВ	7,3	7,3	5,9	5,3
364*	№ 364	Биджау	дол., часть сл. дол.	СВ	6,7	4,2	2,0	1,6
	Сложный долинный ледник Биджау (№ 363, 364) имеет наибольшую длину 7,3 км, общую площадь 7,9 км² (в том							
365*	№ 365		вис. дол.	ЮВ	1,9	1,9	0,7	0,7
366*	№ 366		асимм. дол.	ЮВ	1,5	1,5	0,3	0,3
367*	№ 367		асимм. дол.	ЮВ	0,9	0,4	0,2	0,1
368*	№ 368	пр. р. Нусояк	вис.	С	0,4	0,4	0,1	0,1
369	№ 369	пр. р. Нусояк	кар.-дол.	СВ	1,1	1,1	0,2	0,2
370*	№ 370	пр. р. Нусояк	кар.-дол.	СВ	0,7	0,7	0,1	0,1
371*	Нусояк	Нусояк	сл. дол., осн. поток	С	6,6	2,4	2,6	1,5
372*	№ 372		дол., часть сл. дол.	СЗ	1,2	0,9	0,2	0,2
373*	Нусояк	Нусояк	дол., часть сл. дол.	СВ, С	5,4	2,2	1,0	0,5
374*	№ 374	Нусояк	дол., часть сл. дол.	СВ, С	2,8	2,3	0,6	0,4
	Сложный долинный ледник Нусояк (№ 371—374) имеет наибольшую длину 6,6 км, общую площадь 4,4 км² (в том							
375*	№ 375		дол.	СВ	1,0	1,0	0,3	0,3
376*	№ 376		вис.	С	1,0	1,0	0,1	0,1
377*	№ 377		вис.	С	0,9	0,9	0,2	0,2
	15 ледников						14,5	11,6
	Кроме того в бассейне р. Биджау имеется 5 ледников размерами менее 0,1 км² каждый, общей площадью 0,2 км²							
	Итого 20 ледников						14,7	
	Всего в верховьях р. Обихингоу имеется 270 ледников общей площадью 356,4 км², в том числе 191 ледник разме 0,1 км² каждый, общей площадью 4,0 км²							
								ЛЕВОБЕРЕЖЬЕ
								Бассейн левого притока р. Обихингоу между
								Северо-западные отроги
378	№ 378	пр. р. Обихингоу	дол.	СЗ	1,8	1,8	0,4	0,4
379	№ 379	пр. р. Обихингоу	дол.	СЗ	2,1	1,4	0,7	0,5
	2 ледника						1,1	0,9
	Кроме того, в бассейне левого притока р. Обихингоу между устьями рек Биджау и Обимазар имеется 3 ледника							
	Итого 5 ледников						1,3	
								БАССЕЙН р. ОБИМАЗАР
								Бассейны правых притоков
								Южный склон
380*	№ 380	пр. р. Обимазар	дол.	СЗ	0,8	0,8	0,1	0,1
381*	№ 381	пр. р. Обинисай	сл. дол.	С, ЮЗ	4,8	4,8	2,9	2,9
382*	№ 382		вис.	СЗ	0,6	0,6	0,1	0,1
383*	№ 383	Обинисай	дол.	СЗ	3,2	3,2	3,8	3,8

Высота, м			Фирновая линия		Площадь области абляции, км²		Объем льда, км³	Ссылки на последующие таблицы (иллюстрации)
низшей точки конца ледника	низшей точки открытой части	высшей точки ледника	высота, м	способ определения и год	общая	в том числе открытой части		№ таблиц и иллюстраций / порядковые № сведений в таблицах
10	11	12	13	14	15	16	17	18
(р. Обихингоу)								
Мазарского хребта								
2980	3100	5800	4450	АФС 1947	10,1	9,3		IV/2; V/19
4100	4100	4750	4450	АФС 1947	0,1	0,1		
3780	3780	4000	—	АФС 1947	0,1	0,1		
3120	3600	5300	4300	АФС 1947	3,9	3,2		IV/2; V/19
					14,2			
(р. Обихингоу)								
Мазарского хребта								
3800	3800	5300	4300	АФС 1947	3,4	2,8		
3800	4030	5000	4300	АФС 1947	1,1	0,7		
числе 1,0 км² закрыто мореной) и площадь области абляции 4,5 км²								
4200	4200	4750	4450	АФС 1947	0,3	0,3		
4280	4280	4750	4450	АФС 1947	0,2	0,2		
4100	4300	4500	4400	АФС 1947	0,1	—		
4000	4000	4400	4250	АФС 1947	—	—		
3960	3960	4550	4250	АФС 1947	0,1	0,1		
3750	3750	4300	4200	АФС 1947	—	—		
3320	3950	4800	4250	АФС 1947	1,5	0,4		
3670	3700	4400	(4250)	АФС 1947	0,1	0,1		
3440	3850	4850	4250	АФС 1947	0,7	0,2		
3650	3720	4650	4250	АФС 1947	0,4	0,2		
числе 1,8 км² покрыто мореной) и площадь области абляции 2,4 км²								
3740	3740	4350	4200	АФС 1950	0,1	0,1		
3950	3950	4300	4200	АФС 1950	—	—		
3950	3950	4300	4200	АФС 1950	—	—		
					7,6			

рами 0,1 и более каждый, общей площадью 352,4 км² (из них 45,2 км² покрыто мореной) и 79 ледников размерами менее

р. ОБИХИНГОУ

устьями рек Биджау и Обимазар (р. Обихингоу)

Мазарского хребта								
3550	3550	4400	4000	АФС 1950	0,3	0,3		
3750	3900	4250	4000	АФС 1950	0,4	0,2		
					0,7			

размерами менее 0,1 км² каждый, общей площадью 0,2 км²

(р. ОБИХИНГОУ)

р. Обимазар (реки Обимазар, Обихингоу)

Мазарского хребта								
4050	4050	4400	4350	АФС 1947	0,1	0,1		
3880	3880	4650	4450	АФС 1947	1,5	1,5		
4480	4480	4600	—	АФС 1947	—	—		
4000	4000	4600	4550	АФС 1947	2,0	2,0		

№ по схеме	Название	Название реки, вытекающей из ледника	Морфологический тип	Общая экспозиция	Наибольшая длина, км		Площадь, км²	
					всего ледника	в том числе открытой части	всего ледника	в том числе открытой части
1	2	3	4	5	6	7	8	9
384*	№ 384	пр. р. Обинисай	асимм. дол.	СЗ	2,5	2,5	0,8	0,8
385*	№ 385	пр. р. Обимазар	дол.	Ю	1,4	0,4	0,3	0,1
386	№ 386	пр. р. Шарак	дол.	Ю	2,2	2,2	0,8	0,8
387*	№ 387	пр. р. Шарак	кар.	Ю	0,8	0,8	0,2	0,2
388*	№ 388	Шарак	дол.	ЮЗ	3,6	3,2	2,0	1,7
389*	№ 389		дол.	СЗ, ЮЗ	1,7	1,7	0,4	0,4
390*	№ 390	пр. р. Обимазар	дол.	Ю	1,2	1,2	0,4	0,4
391*	№ 391	Джунгар	дол.	ЮЗ	2,0	1,6	1,2	1,1
	12 ледников						13,0	12,4
	Кроме того, в бассейнах правых притоков р. Обимазар имеется 1 ледник площадью 0,07 км²							
	Итого 13 ледников						13.1	
								Бассейн верховьев
	Юго-западный склон Мазарского хребта, северо-западный и северный склоны							
392*	Мазарский	Обимазар	сл. дол., осн. поток	СВ, СЗ	16,8	14,1	18,5	16,5
393*	№ 393	Обимазар	дол., часть сл. дол.	СВ, С СЗ	9,9	4,2	4,5	2,5
	Сложный долинный ледник Мазарский (№ 392—393) имеет наибольшую длину 16,8 км, общую площадь 23,0 км²							
394*	№ 394		дол.	Ю	0,9	0,9	0,2	0,2
395*	№ 395		дол.	ЮВ	0,4	0,4	0,1	0,1
396*	№ 396		дол.	ЮВ	2,1	2,1	1,0	1,0
397*	№ 397		дол.	ЮВ	2,4	2,4	0,8	0,8
398*	№ 398		дол.	СВ	0,9	0,9	0,2	0,2
399*	№ 399		вис.	С	0,2	0,2	0,1	0,1
400*	№ 400		кар.-дол.	ЮВ	0,8	0,8	0,3	0,3
401*	№ 401		кар.-дол.	СВ, ЮВ	1,2	1,2	0,5	0,5
402*	№ 402	пр. р. Обимазар	дол.	С	3,3	3,3	1,6	1,6
403*	№ 403	пр. р. Обимазар	дол.	С	0,9	0,7	0,1	—
404	№ 404	пр. р. Обимазар	дол.	С	1,7	1,7	0,4	0,4
405*	№ 405	пр. р. Обимазар	вис.	С	0,8	0,8	0,1	0,1
406*	Дарвазский	пр. р. Обимазар	дендр., осн. поток	СЗ	16,2	8,6	9,2	5,4
407*	№ 407	пр. р. Обимазар	дол., часть дендр.	СЗ	14,0	6,6	6,8	3,8
408*	№ 408		сл. дол., часть дендр.	ЮЗ	3,5	2,6	1,0	0,8
409*	№ 409		дол., часть дендр.	СВ	1,3	1,3	0,2	0,2
410*	№ 410		дол., часть дендр.	СВ	1,0	1,0	0,1	0,1
411*	№ 411		сл. дол., часть дендр.	СВ, СЗ	8,4	8,4	4,4	4,4
412*	№ 412		дол., часть дендр.	СВ, СЗ	2,5	1,6	0,5	0,4
413*	№ 413		дол., часть дендр.	СВ, СЗ	8,2	8,2	5,6	5,1
	Дендритовый ледник Дарвазский (№ 406—413) имеет наибольшую длину 16,2 км, общую площадь 27,8 км² (в том							
414*	№ 414		дол.	З	3,0	2,9	1,7	1,6
415*	№ 415		дол.	З	2,8	2,8	0,7	0,7
416*	№ 416		вис.	ЮЗ	0,9	0,9	0,3	0,3
417*	№ 417		вис.	СВ	0,8	0,8	0,4	0,4
418*	№ 418		дол.	СВ	0,9	0,9	0,1	0,1
419*	№ 419		асимм. дол.	В	2,4	2,0	0,8	0,6
420*	№ 420		асимм. дол.	СВ	2,4	2,4	1,3	1,3
421*	№ 421		вис. дол.	В	1,1	1,1	0,2	0,2
422*	№ 422		асимм. дол.	В	1,4	1,4	0,4	0,4
423*	№ 423		асимм. дол.	СВ	1,1	1,1	1,3	1,3
424*	№ 424		асимм. дол.	В, ЮВ	2,0	0,6	0,5	0,3
425*	№ 425		дол.	СВ	0,9	0,9	0,2	0,2
426*	№ 426		дол.	СВ	1,4	1,4	0,3	0,3
427*	№ 427		вис.	В	0,3	0,3	0,1	0,1
	36 ледников						64,5	52,3

Высота, м			Фирновая линия		Площадь области абляции, км²		Объем льда, км³	Ссылки на последующие таблицы (иллюстрации)
низшей точки конца ледника	низшей точки открытой части	высшей точки ледника	высота, м	способ определения и год	общая	в том числе открытой части		№ таблиц и иллюстраций; порядковые № сведений в таблицах
10	11	12	13	14	15	16	17	18
3940	3940	4400	4200	АФС 1947	0,5	0,5		
3730	4100	4200	4150	АФС 1947	0,2	—		
4100	4100	5300	4550	АФС 1947	0,3	0,3		
4230	4230	4600	4500	АФС 1947	—	—		
3740	3780	5250	4500	АФС 1947	0,8	0,5		рис. 20
3900	3900	5100	4500	АФС 1947	0,2	0,2		
4300	4300	4850	4600	АФС 1947	0,1	0,1		
4080	4100	4680	4400	АФС 1947	0,8	0,7		
					6,5			
р. Обимазар (р. Обихингоу)								
Дарвазского хребта, восточный склон хр. Дархарвак								
3200	3480	5400	4350	АФС 1947	8,7	6,7		IV/2, 11; V/9, 11, 19
3270	3780	4500	4350	АФС 1947	3,2	1,2		IV/2; V/19
(в том числе 4,0 км² закрыто мореной) и площадь области абляции 11,9 км²								
3880	4400	4600	4450	АФС 1947	0,1	0,1		
4380	4550	4650	4600	АФС 1947	—	—		
4220	4220	5150	(4400)	АФС 1947	0,4	0,4		
4000	4000	4900	(4400)	АФС 1947	0,4	0,4		
4070	4070	4300	(4250)	АФС 1947	0,1	0,1		
4600	4600	4900	—	АФС 1947	—	—		
4080	4080	4440	4350	АФС 1947	0,2	0,2		
3900	3900	4400	4300	АФС 1947	0,2	0,2		
3750	3800	4800	4300	АФС 1947	0,7	0,7		
3800	4080	4150	4100	АФС 1947	0,1	—		
3800	3800	4800	4300	АФС 1947	0,2	0,2		
4100	4100	4400	—	АФС 1947	—	—		
2950	3550	5200	4400	АФС 1947	6,6	2,8		IV/2; V/19; рис. 55
3050	3720	4900	4300	АФС 1947	5,0	2,0		IV/2; V/19
4180	4400	5800	4550	АФС 1947	0,5	0,3		
4100	4100	4900	4450	АФС 1947	0,1	0,1		
4090	4090	4800	4450	АФС 1947	—	—		рис. 55
3600	3600	5200	4450	АФС 1947	2,4	2,4		IV/2; V/19; рис. 411
3780	4000	4700	4300	АФС 1947	0,2	0,1		
3490	3490	4800	4450	АФС 1947	3,2	2,7		IV/2; V/19; рис. 56
числе 7,6 км² закрыто мореной) и площадь области абляции 18,0 км²								
4000	4050	5200	4400	АФС 1947	0,6	0,5		
3960	3960	5800	4450	АФС 1947	0,3	0,3		
4580	4580	5450	4600	АФС 1947	0,1	0,1		
4780	4780	5020	—	АФС 1947	—	—		
3940	3940	4460	—	АФС 1947	—	—		
4100	4300	4550	4400	АФС 1947	0,5	0,3		рис. 57
4150	4150	5000	4450	АФС 1947	0,7	0,7		рис. 57
4680	4680	4920	4700	АФС 1947	0,1	0,1		
4500	4500	4950	4550	АФС 1947	0,2	0,2		
4150	4150	4950	4450	АФС 1947	0,7	0,7		
4200	4300	4960	4450	АФС 1947	0,3	0,1		
4160	4160	4600	4400	АФС 1947	0,1	0,1		
4200	4200	4600	4400	АФС 1947	0,2	0,2		
4390	4390	4700	—	АФС 1947	—	—		
					36,1			

№ по схеме	Название	Название реки, вытекающей из ледника	Морфологический тип	Общая экспозиция	Наибольшая длина, км		Площадь, км²	
					всего ледника	в том числе открытой части	всего ледника	в том числе открытой части
1	2	3	4	5	6	7	8	9
Кроме того, в бассейне верховьев р. Обимазар имеется 4 ледника размерами менее 0,1 км² каждый, общей площадью								
Итого 40 ледников							64,7	
							Бассейны левых притоков р. Обимазар	
							Западный склон	
428	№ 428	пр. р. Обимазар	кар.-дол.	С	0,8	0,8	0,1	0,1
429	№ 429	пр. р. Обимазар	кар.-дол.	С	1,5	1,5	0,3	0,3
430	№ 430	пр. р. Обимазар	кар.-дол.	СЗ	1,0	1,0	0,2	0,2
431*	№ 431	пр. р. Обимазар	дол.	СЗ	1,0	0,7	0,1	0,1
432	№ 432	пр. р. Обимазар	вис. дол.	СЗ, З	1,4	1,4	0,2	0,2
433*	№ 433	пр. р. Обимазар	склон.	СЗ	0,5	0,5	0,1	0,1
434	№ 434	пр. р. Обимазар	кар.-дол.	З	1,0	1,0	0,2	0,2
435	№ 435	пр. р. Обимазар	кар.-дол.	З	1,2	1,2	0,3	0,3
436*	№ 436	пр. р. Обимазар	сл. дол., осн. поток	СЗ	5,5	5,5	4,0	3,9
437	№ 437	пр. р. Обимазар	дол., часть сл. дол.	СВ, СЗ	3,5	3,5	0,9	0,8
Сложный долинный ледник № 436, 437 имеет наибольшую длину 5,5 км, общую площадь 4,9 км² (в том числе 0,1 км²								
438*	№ 438		кар.	ЮЗ	1,0	1.0	0,3	0,3
439*	№ 439		вис. кар.	Ю	0,7	0,7	0,1	0,1
440*	№ 440		вис.	СВ	0,8	0,8	0,1	0,1
441*	№ 441		вис.	СВ	0,7	0,7	0,1	0,1
442*	№ 442	пр. р. Обимазар	кар.	СВ	0,8	0,5	0,1	—
443	№ 443	пр. р. Обимазар	кар.-дол.	СВ	1,1	1,1	0,3	0,3
444*	№ 444	пр. р. Обимазар	кар.	С	0,6	0,2	0,1	—
	17 ледников						7,5	7,1
Кроме того, в бассейне левых притоков р. Обимазар выше устья р. Дархарвак имеется 2 ледника размерами менее								
Итого 19 ледников							7,6	
							Бассейны правых притоков и верховьев р. Дархарвак	
							Северный склон	
445*	№ 445	пр. р. Дархарвак	дол.	СЗ	1,7	1,7	0,4	0,4
446*	№ 446	пр. р. Дархарвак	дол.	СЗ	3,8	3,8	2,9	2,9
447*	№ 447	пр. р. Дархарвак	склон.	С	1,9	1,9	0,6	0,6
448*	№ 448	пр. р. Дархарвак	дол.	З, ЮЗ	1,5	1,5	0,4	0,4
449*	№ 449		кар.-вис.	Ю	0,5	0,5	0,1	0,1
450*	№ 450	пр. р. Дархарвак	дол.	Ю	1,9	1,8	0,5	0,5
451*	№ 451	пр. р. Дархарвак	дол.	Ю, ЮЗ	(4,4)	4,4	(3,6)	3,5
452*	Дархарвак	Дархарвак	сл. дол., осн. поток	С, СЗ	6,9	6,9	3,0	3,0
453*	№ 453	Дархарвак	дол., часть сл. дол.	ЮЗ, СЗ	6,2	5,1	1,9	1,8
454*	№ 454	Дархарвак	дол., часть сл. дол.	СЗ	5,2	4,1	1,7	1,6
455*	№ 455		дол., часть сл. дол.	СВ, СЗ	4,1	4,1	1,3	1,3
456*	№ 456		дол., часть сл. дол.	СВ, СЗ	2,4	2,4	0,5	0,5
457*	№ 457		дол., часть сл. дол.	СВ	4,1	3,6	3,7	3,6
Сложный долинный ледник Дархарвак (№ 452—457) имеет наибольшую длину 6,9 км, общую площадь 12,1 км²								
458*	№ 458		дол.	ЮЗ	1,5	1,5	0,4	0,4
459*	№ 459		дол.	ЮЗ	3,2	3,2	1,4	1,4
460*	№ 460		вис.	ЮЗ	0,9	0,9	0,1	0,1
	16 ледников						(22,5)	22,1
Кроме того, в бассейнах правых притоков и верховьев р. Дархарвак имеется 2 ледника размерами менее 0,1 км²								
Итого 18 ледников							22,6	

Высота, м			Фирновая линия		Площадь области абляции, км²		Объем льда, км³	Ссылки на последующие таблицы (иллюстрации)
низшей точки конца ледника	низшей точки открытой части	высшей точки ледника	высота, м	способ определения и год	общая	в том числе открытой части		№ таблиц и иллюстраций; порядковые № сведений в таблицах
10	11	12	13	14	15	16	17	18

0,2 км²

выше устья р. Дархарвак (реки Обимазар, Обихингоу)

хр. Дархарвак

3890	3890	4550	4300	АФС 1947	—	—	
3780	3780	4600	4300	АФС 1947	0,2	0,2	
3880	3880	4500	4300	АФС 1947	0,1	0,1	
(3800)	3940	4420	4300	АФС 1947	0,1	0,1	
4350	4350	4780	4400	АФС 1947	0,1	0,1	
4400	4400	4800	4450	АФС 1947	0,1	0,1	
4400	4400	4800	4450	АФС 1947	0,1	0,1	
4240	4240	4900	4450	АФС 1947	0,1	0,1	
3860	3860	4700	4400	АФС 1947	2,5	2,4	
3880	3880	4600	4400	АФС 1947	0,5	0,4	

закрыто мореной) и площадь области абляции 0,5 км²

4240	4240	4600	4450	АФС 1947	0,1	0,1	
4380	4380	4880	—	АФС 1947	—	—	
4160	4160	4600	4400	АФС 1947	—	—	
4200	4200	4600	4400	АФС 1947	—	—	
4140	4340	4600	4400	АФС 1947	0,1	—	
3900	3900	4460	4300	АФС 1947	0,1	0,1	
3900	4200	4440	4350	АФС 1947	0,1	—	
					4,2		

0,1 км² каждый, общей площадью 0,07 км²

(реки Дархарвак, Обимазар, Обихингоу)

Дарвазского хребта

3880	3880	4320	4200	АФС 1947	0,3	0,3	
3860	3860	4740	4300	АФС 1947	1,7	1,7	
3880	3880	4660	4300	АФС 1947	0,2	0,2	
4380	4380	4900	4450	АФС 1947	0,1	0,1	
4500	4500	4700	—	АФС 1947	—	—	
4080	4100	5140	4500	АФС 1947	0,2	0,2	
(3850)	3850	5260	4400	АФС 1947	(0,7)	0,6	
3960	3960	4700	4350	АФС 1947	1,3	1,3	
3990	4180	5280	4600	АФС 1947	0,7	0,6	
3960	4180	5150	4450	АФС 1947	0,6	0,5	рис. 58
3960	3960	4600	4400	АФС 1947	0,8	0,8	рис. 58
3960	3960	4600	4400	АФС 1947	0,4	0,4	рис. 58
4000	4100	4800	4350	АФС 1947	1,0	0,9	рис. 58

(в том числе 0,3 км² закрыто мореной) и площадь области абляции 4,8 км²

4250	4250	4700	4550	АФС 1947	0,3	0,3	
4200	4200	5280	4600	АФС 1947	0,6	0,6	
4980	4980	5100	—	АФС 1947	—	—	
					8,9		

каждый, общей площадью 0,1 км²

№ по схеме	Название	Название реки, вытекающей из ледника	Морфологический тип	Общая экспозиция	Наибольшая длина, км		Площадь, км²	
					всего ледника	в том числе открытой части	всего ледника	в том числе открытой части
1	2	3	4	5	6	7	8	9
					Бассейны левых притоков р. Дархарвак			
					Северный и восточный склоны Дарвазского			
461	№ 461	пр. р. Дархарвак	кар.-дол.	С	1,9	1,9	0,7	0,7
462	№ 462	пр. р. Дархарвак	кар.-дол.	С	1,3	1,3	0,2	0,2
463	№ 463	пр. р. Дархарвак	дол.	С	3,9	3,6	2,5	2,4
464	№ 464	пр. р. Дархарвак	дол.	СЗ	(3,2)	3,1	(2,0)	2,0
465	№ 465	пр. р. Дархарвак	дол.	СЗ	(3,4)	2,5	(0,8)	0,7
466	№ 466	пр. р. Дархарвак	дол.	СЗ	3,3	3,3	2,7	2,7
467	№ 467	пр. р. Дархарвак	дол.	С	3,0	3,0	2,6	2,4
468	№ 468	пр. р. Дархарвак	асимм. дол.	СВ	4,3	4,1	2,1	1,6
469	№ 469	пр. р. Дархарвак	дол.	ЮВ	2,6	2,6	0,8	0,8
470	№ 470	пр. р. Дархарвак	кар.-дол.	В	1,2	1,2	0,3	0,3
471	№ 471	пр. р. Дархарвак	кар.-дол.	СЗ	0,9	0,9	0,2	0,2
472	№ 472	пр. р. Дархарвак	дол.	С	4,0	4,0	2,2	2,0
473	№ 473	пр. р. Дархарвак	котл.	С, СВ	4,9	4,9	8,9	8,5
474	№ 474	пр. р. Дархарвак	сл. дол.	СВ	3,6	3,6	4,2	4,2
475	№ 475		прискл.	ЮВ	1,1	1,1	0,5	0,5
476	№ 476	пр. р. Дархарвак	асимм. дол.	С, В	1,4	1,4	0,5	0,5
477*	№ 477	пр. р. Дарайзоткин	дол.	СВ	2,4	2,4	1,9	1,9
478*	№ 478	Дарайзоткин	дол., часть сл. дол.	В	4,1	3,4	3,4	3,0
479*	№ 479	Дарайзоткин	дол., часть сл. дол.	С, В	3,6	3,0	1,4	1,1
480*	№ 480	Дарайзоткин	дол., часть сл. дол.	СВ	2,0	2,0	0,6	0,6
	Сложный долинный ледник № 478—480 имеет наибольшую длину 4,1 км, общую площадь 5,4 км² (в том числе 0,7 км²							
481*	№ 481		кар.	В	0,6	0,6	0,2	0,2
482*	№ 482	пр. р. Дарайзоткин	кар.	ЮВ	0,7	0,7	0,1	0,1
483*	№ 483	пр. р. Дарайзоткин	дол.	ЮВ	1,7	1,7	0,2	0,2
	23 ледника						(39,0)	36,8
	Кроме того, в бассейнах левых притоков р. Дархарвак имеется 6 ледников размерами менее 0,1 км² каждый, общей							
	Итого 29 ледников						39,3	
					Бассейны левых притоков р. Обимазар между устьями			
					Северный склон			
484*	№ 484	пр. р. Обимазар	дол.	С	(3,5)	3,5	1,8	1,8
485*	№ 485	пр. р. Обимазар	дол.	СВ	1,3	1,3	0,2	0,2
486*	№ 486	пр. р. Обимазар	дол.	СВ	2,5	2,5	1,0	1,0
487*	№ 487	пр. р. Обимазар	кар.	С	0,7	0,7	0,1	0,1
488*	№ 488	пр. р. Обимазар	кар.	С	1,3	1,3	0,3	0,3
	5 ледников						3,4	3,4
					Бассейн р. Обизанки			
					Северо-западный склон хр. Зоткин,			
489	Зоткин	пр. р. Обизанки	сл. дол., осн. поток	С	3,5	3,5	1,5	1,5
490*	Зоткин		дол., часть сл. дол.	С	(2,9)	2,8	0,8	0,8
	Сложный долинный ледник Зоткин (№ 489, 490) имеет наибольшую длину 3,5 км, общую площадь 2,3 км² и площадь							
491*	№ 491		кар.-дол.	З	1,2	0,8	0,1	0,1
492*	№ 492		кар.-дол.	З	1,0	0,7	0,1	0,1
493*	№ 493		кар.	З	0,8	0,8	0,1	0,1
494*	№ 494		дол.	С	1,9	1,9	0,7	0,7
495*	№ 495	пр. р. Обизанки	кар.	С	0,8	0,8	0,1	0,1
496*	№ 496	пр. р. Обизанки	дол.	С	1,3	1,3	0,2	0,2
497*	№ 497	пр. р. Джитфат	кар.	СЗ	1,1	1,1	0,3	0,3
498*	№ 498	пр. р. Джитфат	дол.	СЗ	1,8	1,1	0,7	0,5
499*	№ 499	Джитфат	котл.	С	2,7	2,7	2,1	2,1
500*	№ 500		кар.	Ю	0,5	0,5	0,1	0,1
501	№ 501	пр. р. Джитфат	асимм. дол.	СВ	1,2	1,2	0,3	0,3
502	№ 502	пр. р. Джитфат	асимм. кар.	СВ	1,0	1,0	0,3	0,3

Высота, м			Фирновая линия		Площадь области абляции, км²		Объем льда, км³	Ссылки на последующие таблицы (иллюстрации)
низшей точки конца ледника	низшей точки открытой части	высшей точки ледника	высота, м	способ определения и год	общая	в том числе открытой части		№ таблиц и иллюстраций / порядковые № сведений в таблицах
10	11	12	13	14	15	16	17	18
(реки Дархарвак, Обимазар, Обихингоу)								
хребта, юго-восточный склон хр. Зоткин								
3750	3750	4700	4300	АФС 1947	0,2	0,2		
3800	3800	4540	4300	АФС 1947	0,1	0,1		
3500	3700	4540	4300	АФС 1947	1,2	1,1		
(3800)	3900	4500	4350	АФС 1947	(1,3)	1,3		
(3720)	3980	4580	4350	АФС 1947	(0,6)	0,5		
4000	4000	4680	4300	АФС 1947	1,1	1,1		рис. 6
3950	3950	4460	4300	АФС 1947	1,3	1,1		рис. 6
3860	3920	4620	4300	АФС 1947	1,6	1,1		рис. 6
3780	3780	4400	4350	АФС 1947	0,6	0,6		
3860	3860	4400	4300	АФС 1947	0,2	0,2		
3540	3540	3880	3850	АФС 1947	0,2	0,2		рис. 59
3380	3380	5020	4250	АФС 1947	1,1	0,9		рис. 59
3400	3400	4680	4350	АФС 1947	4,7	4,3		рис. 59
3840	3840	4500	4300	АФС 1947	3,0	3,0		
4100	4100	4650	4300	АФС 1947	0,1	0,1		
3840	3840	4460	4250	АФС 1947	0,2	0,2		
3920	3920	4580	4300	АФС 1947	1,2	1,2		
3820	3900	4660	4350	АФС 1947	1,1	0,7		
3830	3880	4560	4300	АФС 1947	0,8	0,5		
4140	4140	4580	4300	АФС 1947	0,3	0,3		
закрыто мореной) и площадь области абляции 2,2 км²								
4270	4270	4560	4300	АФС 1947	0,1	0,1		
4220	4220	4440	4300	АФС 1947	—	—		
3800	3800	4300	4250	АФС 1947	0,2	0,2		
					(21,2)			
площадью 0,3 км²								
рек Дархарвак и Обизанки (реки Обимазар, Обихингоу)								
хр. Зоткин								
(3560)	3580	4240	4150	АФС 1947	1,3	1,3		
3900	3900	4520	4200	АФС 1947	0,1	0,1		
3700	3700	4550	4200	АФС 1947	0,8	0,8		
3900	3900	4300	4200	АФС 1947	—	—		
3640	3640	4280	4200	АФС 1947	0,3	0,3		
					2,5			
(реки Обимазар, Обихингоу)								
северный склон Дарвазского хребта								
3860	3860	4630	4300	АФС 1947	0,8	0,8		
(3950)	3970	4650	4250	АФС 1947	0,4	0,4		
области абляции 1,2 км²								
4100	4300	4550	4200	АФС 1947	—	—		
4040	4100	4550	4200	АФС 1947	—	—		
4100	4100	4350	4200	АФС 1947	—	—		
3960	3960	4480	4250	АФС 1947	0,5	0,5		
4100	4100	4420	4300	АФС 1947	0,1	0,1		
4040	4040	4500	4300	АФС 1947	0,1	0,1		
3720	3720	4020	3950	АФС 1947	0,2	0,2		
3670	3850	4200	4100	АФС 1947	0,5	0,3		
3720	3720	4660	4150	АФС 1947	1,2	1,2		
3950	3950	4180	4150	АФС 1947	—	—		
3980	3980	4300	4100	АФС 1947	0,1	0,1		
3560	3560	4100	3950	АФС 1947	0,1	0,1		

№ по схеме	Название	Название реки, вытекающей из ледника	Морфологический тип	Общая экспозиция	Наибольшая длина, км		Площадь, км²	
					всего ледника	в том числе открытой части	всего ледника	в том числе открытой части
1	2	3	4	5	6	7	8	9
503	№ 503	пр. р. Обизанки	кар.	СЗ	0,8	0,8	0,2	0,2
504*	№ 504	пр. р. Обихарек	кар.-дол.	С	1,4	1,4	0,3	0,3
505	№ 505	пр. р. Обихарек	кар.	С	1,0	1,0	0,2	0,2
506*	№ 506	Обихарек	дол.	С	2,8	2,8	1,2	1,1
507*	№ 507	Обихарек	котл.	С	2,0	2,0	1,0	1,0
508	№ 508	пр. р. Обихарек	котл.	С	2,9	2,9	2,0	2,0
509*	№ 509	пр. р. Обихарек	асимм. дол.	СВ	2,2	2,2	1,0	0,9
510*	№ 510	пр. р. Обизанки	дол.	С	2,1	0,6	0,4	0,1
511*	№ 511	пр. р. Обизанки	дол.	СЗ	2,1	1,1	2,1	1,7
512*	№ 512		кар.-вис.	С	1,2	1,2	0,2	0,2
513*	№ 513	Обизанки	асимм. дол.	СЗ	2,2	2,2	1,1	1,1
514*	№ 514	Обизанки	прискл.	С	0,8	0,8	0,3	0,3
515*	№ 515	пр. р. Обизанки	дол.	СВ	4,0	4,0	2,9	2,9
516*	№ 516	пр. р. Обизанки	кар.	СВ	0,7	0,7	0,1	0,1
	28 ледников						20,4	19,3
	Кроме того, в бассейне р. Обизанки имеется 8 ледников размерами менее 0,1 км² каждый, общей площадью 0,4 км²							
	Итого 36 ледников						20,8	
	Всего в бассейне р. Обимазар имеется 160 ледников общей площадью 171,5 км², в том числе 137 ледников разме 0,1 км² каждый, общей площадью 1,2 км²							
	Бассейн р. Урфати							
	Северный склон							
517*	№ 517	пр. р. Урфати	дол.	С	2,2	2,2	0,8	0,8
518*	№ 518	Урфати	дол.	С	4,5	4,0	3,2	3,1
519*	№ 519	Урфати	дол.	СВ	4,4	4,2	2,8	2,8
520*	№ 520	пр. р. Урфати	кар.-дол.	СВ	1,2	1,2	0,1	0,1
521	№ 521	пр. р. Урфати	кар.-дол.	С	1,6	1,6	0,4	0,4
522*	№ 522	пр. р. Урфати	кар.	СВ	0,8	0,8	0,2	0,2
	6 ледников						7,5	7,4
	Бассейн левого притока р. Обихингоу между							
	Северный склон северного							
523*	№ 523	пр. р. Обихингоу	дол.	С	(1,3)	1,3	(0,4)	0,4
524*	№ 524	пр. р. Обихингоу	кар.	С	(0,9)	0,8	(0,2)	0,2
525*	№ 525	пр. р. Обихингоу	кар.-дол.	СВ	(0,9)	0,5	(0,2)	0,2
	3 ледника						0,8	0,8
	Бассейн р. Писода							
	Западный склон северного отрога Дарвазского							
526*	Писода	пр. р. Писода	дол.	СЗ	2,4	2,4	1,4	1,4
527*	№ 527	пр. р. Писода	прискл.	С	(1,1)	0,8	(0,3)	0,2
528*	№ 528	пр. р. Писода	кар.	С	0,5	0,5	0,1	0,1
529*	№ 529	пр. р. Писода	кар.	СЗ	(1,1)	1,1	(0,4)	0,4
530*	№ 530	пр. р. Писода	кар.	СЗ	0,7	0,7	0,1	0,1
531	№ 531	пр. р. Писода	кар.	С	0,8	0,8	0,2	0,2
532*	№ 532	пр. р. Писода	кар.	СЗ	0,5	0,5	0,1	0,1
533	№ 533	пр. р. Писода	дол.	С	1,3	1,3	0,4	0,4
534*	№ 534	Писода	дол.	СЗ	3,0	2,7	2,6	2,5
535*	№ 535	пр. р. Писода	кар.-дол.	СВ	1,2	1,2	0,3	0,3
536*	№ 536	пр. р. Писода	кар.	С	0,8	0,8	0,2	0,2
537*	№ 537	пр. р. Писода	кар.	СВ	0,7	0,7	0,1	0,1
538*	№ 538	пр. р. Писода	кар.	В	0,7	0,7	0,1	0,1
539*	№ 539	пр. р. Писода	кар.-дол.	ЮВ	0,7	0,7	0,2	0,2
540*	№ 540	пр. р. Писода	кар.-дол.	ЮВ	0,9	0,9	0,2	0,2
541*	№ 541	пр. р. Писода	прискл.	СВ	0,5	0,5	0,1	0,1
542*	№ 542	пр. р. Писода	дол.	СВ	1,4	1,4	0,5	0,5
	17 ледников						(7,3)	7,1
	Кроме того, в бассейне р. Писода имеется 3 ледника размерами менее 0,1 км² каждый, общей площадью 0,2 км²							
	Итого 20 ледников						(7,5)	

Высота, м			Фирновая линия		Площадь области абляции, км²		Объем льда, км³	Ссылки на последующие таблицы (иллюстрации)
низшей точки конца ледника	низшей точки открытой части	высшей точки ледника	высота, м	способ определения и год	общая	в том числе открытой части		№ таблиц и иллюстраций / порядковые № сведений в таблицах
10	11	12	13	14	15	16	17	18
3750	3750	4000	3950	АФС 1947	0,1	0,1		
3980	3980	4450	4100	АФС 1947	0,1	0,1		
3780	3780	4120	4050	АФС 1947	0,1	0,1		
3650	3650	4450	4100	АФС 1947	0,7	0,6		
3620	3620	4200	4100	АФС 1947	0,6	0,6		
3600	3600	4200	4100	АФС 1947	1,3	1,3		
3600	3600	4200	4000	АФС 1947	0,7	0,6		
3500	3940	4100	3950	АФС 1947	0,3	—		
3660	3900	4300	4000	АФС 1947	0,8	0,4		
3960	3960	4300	4100	АФС 1947	0,1	0,1		
3730	3730	4360	4100	АФС 1947	0,7	0,7		
3960	3960	4150	4100	АФС 1947	0,2	0,2		
3600	3600	4500	4200	АФС 1947	1,8	1,8		
3950	3950	4220	4100	АФС 1947	0,1	0,1		
					11,6			

рами более 0,1 км² каждый, общей площадью 170,3 км² (из них 16,9 км² покрыто мореной) и 23 ледника размерами менее

(р. Обихингоу)

Дарвазского хребта

3700	3700	4200	4100	АФС 1947, 1950	0,4	0,4	
3700	3800	4500	4150	АФС 1947, 1950	2,1	2,0	
3760	3800	4500	4150	АФС 1947, 1950	2,1	2,1	
3850	3850	4100	4050	АФС 1947, 1950	0,1	0,1	
3850	3850	4400	4100	АФС 1947, 1950	0,3	0,3	
3950	3950	4300	4100	АФС 1947, 1950	0,1	0,1	
					5,1		

устьями рек Урфати и Писода (р. Обихингоу)

отрога Дарвазского хребта

(3550)	3550	3900	3850	АФС 1947, 1950	(0,3)	0,3	
(3660)	3680	3950	3850	АФС 1947, 1950	(0,1)	0,1	
(3800)	3850	4100	3950	АФС 1947, 1950	(0,1)	0,1	
					(0,5)		

(р. Обихингоу)

хребта, северный склон Дарвазского хребта

3850	3850	4300	4000	АФС 1947, 1950	0,6	0,6	IV/14; V/2
(3750)	3800	4000	3850	АФС 1947, 1950	(0,2)	0,1	
3720	3720	3900	3850	АФС 1947, 1950	—	—	
(4080)	4080	4350	4150	АФС 1947, 1950	—	—	
4050	4050	4300	4100	АФС 1947, 1950	—	—	
4000	4000	4300	4150	АФС 1947, 1950	0,1	0,1	
4150	4150	4400	4200	АФС 1947, 1950	—	—	
3820	3820	4100	4050	АФС 1947, 1950	0,3	0,3	
3820	3880	4350	4100	АФС 1947, 1950 наз.-виз. 1969, 1970 г.	1,5	1,4	
3820	3820	4100	4050	АФС 1947, 1950	0,2	0,2	
3800	3800	4150	4000	АФС 1947, 1950	0,1	0,1	
3700	3700	4050	3950	АФС 1947, 1950	0,1	0,1	
3900	3900	4180	4100	АФС 1947, 1950	—	—	
4000	4000	4300	4150	АФС 1947, 1950	0,1	0,1	
3980	3980	4230	4150	АФС 1947, 1950	0,1	0,1	
3950	3950	4080	4000	АФС 1947, 1950	—	—	
3720	3720	4100	3950	АФС 1947, 1950	0,4	0,4	
					(3,7)		

№ по схеме	Название	Название реки, вытекающей из ледника	Морфологический тип	Общая экспозиция	Наибольшая длина, км		Площадь, км²	
					всего ледника	в том числе открытой части	всего ледника	в том числе открытой части
1	2	3	4	5	6	7	8	9
								Бассейн р. Лаур
								Северо-восточный склон
543*	№ 543	пр. р. Лаур	кар.	С	(0,5)	0,5	0,1	0,1
544*	№ 544	пр. р. Лаур	кар.-дол.	С	(0,8)	0,6	0,1	0,1
545*	№ 545	пр. р. Лаур	кар.	С	0,6	0,6	0,1	0,1
546*	№ 546	пр. р. Лаур	кар.-дол.	СЗ	0,9	0,7	0,2	0,2
547*	№ 547	Лаур	дол.	С	2,4	2,0	1,4	1,2
548	№ 548	пр. р. Лаур	кар.	СВ	0,8	0,8	0,2	0,2
549	№ 549	пр. р. Лаур	кар.	СВ	1,0	1,0	0,3	0,3
	7 ледников						(2,4)	2,2

Всего на левобережье р. Обихингоу имеется 201 ледник общей площадью 191,0 км², в том числе 172 ледника размера менее 0,1 км² каждый, общей площадью 1,6 км²

Всего в бассейне р. Обихингоу имеется 756 ледников общей площадью 712,4 км², в том числе 549 ледников разме менее 0,1 км² каждый, общей площадью 10,5 км²

Высота, м			Фирновая линия		Площадь области абляции, км²		Объем льда, км³	Ссылки на последующие таблицы (иллюстрации)
низшей точки конца ледника	низшей точки открытой части	высшей точки ледника	высота, м	способ определения и год	общая	в том, числе открытой части		№ таблиц и иллюстраций порядковые № сведений в таблицах
10	11	12	13	14	15	16	17	18
(р. Обихингоу)								
Дарвазского хребта								
(3800)	3800	4000	3900	АФС 1947	—	—		
(3700)	3740	3950	3900	АФС 1947	0,1	0,1		
3880	3880	4050	3900	АФС 1947	—	—		
3800	3850	4000	3900	АФС 1947	0,1	0,1		
3580	3650	4150	3900	АФС 1947	0,8	0,6		
3820	3820	4170	3950	АФС 1947	0,1	0,1		
3820	3820	4130	4000	АФС 1947	0,2	0,2		
					1,3			

ми 0,1 км² и более каждый, общей площадью 189,4 км² (из них 17,6 км² покрыто мореной) и 29 ледников размерами рами 0,1 км² и более каждый, общей площадью 701,9 км² (из них 97,1 км² покрыто мореной) и 207 ледников размерами

ПОЯСНЕНИЯ К ТАБЛИЦЕ 1

№ ледника по таблице	Название	№ графы	Пояснение
1	2	3	4
2, 5, 7, 8	№ 2, 5, 7, 8	15	Площадь области абляции каждого ледника менее 0,1 км²
3, 4, 12	№ 3, 4, 12	13, 14, 15	Положение фирновой линии по аэрофотоснимкам определить нельзя, так как поверхности ледников закрыты снегом
8	№ 8	4	Ледник питается лавинами, сходящими в основном с правого склона. Фирновая линия выражена нечетко, ледник имеет пятна фирна
10, 11, 13, 14	№ 10, 11, 13, 14	15	Площадь области абляции каждого ледника менее 0,1 км²
14	№ 14	3, 4	Ледник расположен в бассейне ледника № 15. Имеется участок перетекания льда к леднику № 13
15—17, 20—23	№ 15—17, № 20—23		Поверхность ледника закрыта снегом, видны отдельные участки протаявшего льда. См. также пояснение к ледникам № 3, 4
16, 17	№ 16, 17	4	Ледники соединяются в верховьях боковыми частями
18	№ 18	4	С правого борта на ледник сходят крупные лавины
19, 20	№ 19, 20	4	Ледник № 19 представляет сплошной ледопад, начиная от самых верховий. В верховьях имеется небольшой участок перетекания льда от ледника № 20 к леднику № 19
20—22	№ 20—22	13, 15	Поверхность ледников ровная и почти сплошь покрыта снегом
22, 23	№ 22, 23	4	Ледники соединяются в верховьях
23	№ 23	3	Ледник расположен в бассейне ледника № 22
24	№ 24	4, 15	Ледник питается, в основном, лавинами. Площадь области абляции менее 0,1 км²
25	№ 25	3, 15	Ледник расположен в бассейне ледника № 24. Площадь области абляции менее 0,1 км²
29, 30	№ 29, 30	4	Языки ледников соединяются боковыми частями
31	№ 31	3	Ледник расположен в бассейне ледника № 30
32	№ 32	3	Ледник расположен в бассейне ледника № 31. Площадь области абляции менее 0,1 км²
33	№ 33	4	Ледник преимущественно лавинного питания. Лавины, сходящие с правого склона, перекрывают ледник полосами, что затрудняет определение высоты фирновой линии
34, 35	№ 34, 35	4	Языки ледников соединяются боковыми частями
35	№ 35	4	Ледник существует исключительно за счет лавин. Конец широкого языка разделяется на несколько небольших язычков
40, 42—45, 47, 48	№ 40, 42—45, 47, 48	15	Площадь области абляции каждого ледника менее 0,1 км²
46—50	№ 46—50	4, 13	Поверхности ледников сильно разбиты трещинами. Ледники представляют сплошные ледопады, и поэтому определить фирновую линию на них трудно
51—56	№ 51—56	4, 13	Поверхность ледников почти сплошь ледяная. Имеются небольшие пятна фирна. Определение положения фирновой линии затруднительно
54, 55	№ 54, 55	4	Языки ледников соприкасаются боковыми частями
56	№ 56	4	Большую роль в питании ледника играют лавины
56, 57	№ 56, 57	15, 16	Площадь каждого ледника, покрытая мореной, менее 0,1 км²
58, 59	№ 58,59	4, 15	Ледники соединяются в верховьях. Площадь области абляции каждого ледника менее 0,1 км²
60, 61	№ 60, 61	4	Поверхность ледников представляет сплошной ледопад
62, 63	Баральмос, Мустаг	3, 4, 9	Ледники питаются лавинами и обвалами фирна и льда с крутых тыловых склонов. Висячие фирновые поля включены в площадь области аккумуляции ледников (в бассейне основного потока они занимают 0,5 км², в бассейне ледника № 63 — 0,2 км²)
			Ледник дает сток в р. Карашура (исток р. Шаклысу-Рагноу). Кроме того, часть вод стекает в бассейн р. Сурхоб
			Описание ледника см. в текстовой части
64, 67	№ 64, 67, 68	15	Площадь области абляции каждого ледника менее 0,1 км²
68			
66	№ 66	13	Область аккумуляции занимает весь ледник. Расход льда обвалами
69	Петра Первого		Основной поток сложного долинного ледника Петра Первого. Описание ледника см. в текстовой части
70	№ 70	9, 16	Область питания ледника расположена в каре, язык узкий и крутой. Площадь языка ледника, покрытая мореной, менее 0,1 км²
71	№ 71	4	Поверхность ледника снизу доверху разбита трещинами
72—74, 85, 88	№ 72—74, 85, 88	4, 8	В тыловой части над ледниками поднимаются крутые заснеженные склоны с висячими, разбитыми трещинами фирновыми полями, наиболее крупные из которых включены в площадь области аккумуляции ледников. Обвалы фирна, льда и лавины участвуют в питании ледников

№ ледника по таблице	Название	№ графы	Пояснение
1	2	3	4
73	№ 73	4	Ледник соединяется с ледником № 72, вместе они образуют приток ледника Петра Первого
74	№ 74	4	Ледник при выходе в главную долину перекрывает поверхность основного потока на всю его ширину
75—84	№ 75—84	3	Ледники находятся в бассейне сложного долинного ледника Петра Первого
75	№ 75	15	Площадь области абляции менее 0,1 км²
76	№ 76	4	Область питания ледника располагается в двух отдельных карах
78, 79	№ 78, 79	9, 16	Площадь каждого ледника, покрытая мореной, менее 0,1 км²
78	№ 78	4	Язык ледника раздвоен. Правая часть длиннее, частично закрыта мореной
80—82	№ 80—82	13, 15	Ледники расположены целиком в зоне аккумуляции
83	№ 83	4	Ледник занимает узкую, крутопадающую долину
86—89	№ 86—89	3	Ледники расположены в бассейне ледника № 85
87, 89	№ 87, 89	15	Площадь области абляции каждого ледника менее 0,1 км²
88	№ 88	10	Язык ледника кончается у левого края ледника № 85. Ручей, вытекающий из-под ледника, уходит под лед ледника № 85 близ его конца
90, 91	Зюрюзамин, № 91	4	Два основных потока сложного ледника Зюрюзамин имеют обширные ровные области питания, вытянутые с запада на восток. Языки сливаются в верхней своей части. Общий язык на большом протяжении закрыт мореной. Конец ледника малоактивный
92	№ 92	4, 9, 16	Крупный левый приток ледника Зюрюзамин занимает узкую, крутопадающую долину. Поверхность ледника покрыта трещинами. Язык ледника почти полностью закрыт моренным плащом. При выходе в главную долину нижняя часть ледника перекрывает основной поток ледника Зюрюзамин
93	№ 93	10	Небольшой приток ледника № 92. Место слияния принято как низкая точка ледника, так как ниже контуры его языка установить по аэрофотоснимкам невозможно. Ледник имеет крутое падение на всем протяжении
94—100	№ 94—100	3	Ледники расположены в бассейне сложного долинного ледника Зюрюзамин
95—97, 99, 101, 103, 107	№ 95—97, 99, 101, 103, 107	9,15	Площадь области абляции каждого ледника менее 0,1 км². На леднике № 101 его открытая часть занимает менее 0,1 км²
100	№ 100	4	На большем своем протяжении ледник крутой, растрескавный. Фирновая область и конец языка относительно более пологи
102	№ 102	4	Язык ледника широкий, заваленный мореной. На конце его развит термокарст. Питание ледника в основном лавинное
104	№ 104	4, 16	Область питания представлена фирновыми полями, висящими на крутых тыловых стенах над ледником. В правой части тылового склона располагается высокое ровное плато. От него к леднику узким потоком по крутому кулуару поступают фирн и лед. Фирновая линия проведена по нижней границе сплошного ряда обвально-лавинных конусов у подножия тыловой стены цирка. Язык ледника почти по всей его длине закрыт мореной
106	№ 106	4	Соединяется с главным ледником близ его конца. Верховья ледника — изломанные, участки ледопада, разорванные трещинами. Язык также крут
107	№ 107	3	Ледник расположен в бассейне ледника № 105
108	№ 108	4	Ледник состоит из трех потоков, вытекающих из трех цирков, расположенных на разных высотах. Правый цирк наиболее высокий, его крутой тыловой склон целиком закрыт фирном. Ледниковый поток спускается из этого цирка вниз широким ледопадом. Средний цирк — менее значительный, левый — наиболее обширный и расположен ниже других. После слияния ледники образуют короткий общий язык
109	№ 109	15, 16	Область питания мала по сравнению с длинным языком ледника, заваленным мореной
112	№ 112	4, 10, 13	Фирновая область отделена от языка ледника скальной ступенью, с которой спускается узкий ледопад. Фирновая граница расположена в верхней части ледопада. Язык почти полностью закрыт мореной. Его нижняя точка определена приблизительно
113	№ 113	4, 15, 16	Ледник имеет очень небольшую область питания по сравнению с длинным широким языком, закрытым моренным плащом. Питание ледника в основном лавинное. Часть льда

№ ледника по таблице	Название	№ графы	Пояснение
1	2	3	4
			поступает из высокого кара на тыловом склоне ледника
114	№ 114	4, 7	Короткий левый приток ледника почти полностью завален мореной
115	№ 115	3, 15	Ледник находится в бассейне ледника № 114. Площадь области абляции менее 0,1 км²
116	№ 116	4, 13, 15	Ледник расположен высоко, на узкой ступени скалистого склона. Поверхность его целиком занята областью аккумуляции. Расход льда осуществляется обвалами
117, 118, 122, 123, 130, 132	№ 117, 118, 122, 123, 130, 132	15	Площадь области абляции каждого ледника менее 0,1 км²
124	Юзман	4, 9, 15	Широкий открытый ледник расположен в замыкающем цирке долины р. Сангоба. Главный поток получает питание с крутых фирновых полей, висящих на тыловой стене цирка. Отдельные висячие поля включены в площадь области аккумуляции ледника. Левый поток берет начало из крупного кара. Большое участие в питании ледника принимают лавины. На языке развиты боковые и срединные морены. Конец ледника покрыт целиком мореной.
125, 126	№ 125, 126	3	Ледники расположены в бассейне ледника № 124. Языки ледников на небольшом участке соединены боковыми частями
125	№ 125	4, 13	Ледник получает питание с левого склона (северной экспозиции). Язык короткий, закрыт моренным плащом. Между правым краем ледника и склоном тянется мощная береговая морена. Высота фирновой линии меняется на разных участках ледника от 3650 до 3950 м
126	№ 126	4, 9, 16	Область питания ледника занимает крутую узкую ложбину, разбита трещинами. Язык спускается на дно главной долины слева от языка ледника № 125. Площадь языка ледника, покрытая мореной, менее 0,1 км²
127	№ 127	4, 13	Ледник прямоугольной формы. Язык короткий, конец его покрыт мореной. Ледник получает питание с правого склона. Под ним фирновая линия опускается с 3900 до 3700 м
128	№ 128	8, 15	Ледник питается почти исключительно лавинным снегом. Область аккумуляции чрезвычайно мала
129	Пир-Ях	4, 9	Основное питание ледник получает с левого склона (северной экспозиции), с которого круто спускается целый ряд ледничков-притоков. Их поверхность служит путями схода лавин, образующих у подножья склона крупные конусы выноса. На языке ледника морена занимает менее 0,1 км²
131	№ 131	13	Высота фирновой линии в пределах ледника меняется от 4100 м у правого склона до 4300 м
132	№ 132	3	Ледник расположен в бассейне ледника № 131
135	Верешкай	13	Ледник питается лавинами, главным образом с правого склона (северной экспозиции). Высота фирновой линии меняется от 4100 м в тыловой части ледника до 3850 м в его правой части
136	№ 136	3, 15	Ледник находится в бассейне ледника № 135. Площадь области абляции менее 0,1 км²
137	№ 137	15	Площадь области абляции менее 0,1 км²
138	№ 138	4, 8, 10	Широкая область питания занимает два кара. Конец ледника уходит под морену и определен с пониженной точностью
139, 144, 147	№ 139, 144, 147	9, 16	Площадь языка каждого ледника, покрытая мореной, менее 0,1 км²
140—142	№ 140, 141, Гусаляхана	4	Ледники имеют преимущественно лавинное питание. Большие площади на языках покрыты мореной
141	№ 141	4	Язык ледника окаймлен высокими валами береговых и конечной морен, кончается у озера, подпруженного мореной
142	Гусаляхана	9, 13	Ледник получает питание преимущественно с правого склона (северной экспозиции). Фирновая линия под этим склоном опускается с 4300 до 3800 м. На языке ледника вдоль осевой части протягивается широкая полоса морены
143—147	№ 143—147	3	Ледники расположены в бассейне ледника Гусаляхана
143	№ 143	13, 15	Ледник целиком находится в зоне аккумуляции. Расход льда обвалами
144	№ 144	4, 6	Конец ледника уходит под морену и достигает левого края ледника Гусаляхана
145	№ 145	4	Широкий язык ледника выходит из кара на обрыв скальной ступени
146	№ 146	4	Язык ледника заполняет узкую, крутопадающую долину, Поверхность его сплошь разбита трещинами
147	№ 147	4	Ледник образуется из двух потоков, берущих начало в двух отдельных карах. Общий язык ледника крут, растрес-

№ ледника по таблице	Название	№ графы	Пояснение
1	2	3	4
			кан, спускается в долину ледника Гусаляхана. Конец языка закрыт мореной
148	№ 148	13	Фирновая линия протягивается вдоль подножья склона северо-восточной экспозиции. Высота ее изменяется с 3800 до 4100 м
150	Джигели	4,9	Язык ледника окаймлен мощными моренными валами. Конец его покрыт моренным чехлом
155	№ 155	4	Крупный ледник, занимающий широкую открытую долину. Фирновая область сравнительно небольшая. Ниже ледника дно долины занято холмистым моренным рельефом с озерками
155—158	Сафидак, № 156, 157, Вангут	6, 8, 10, 15	Концы ледников закрыты мощным моренным чехлом и определены приближенно
156, 157	№ 156, 157	3	Ледники расположены в бассейне ледника Сафидак
159	№ 159	15	Площадь области абляции менее 0,1 км²
			Река Киргизоб получает свое название после слияния потоков, берущих начало от двух крупнейших ледников бассейна — Девлохан и Гандо
161	№ 161	9, 15, 16	Площадь области абляции менее 0,1 км² и целиком закрыта чехлом морены
162	№ 162	4, 13	Конец ледника завален мореной, местами с явлениями термокарста, особенно в правой его части. В верхней части ледник принимает несколько коротких, широких притоков, спускающихся из отдельных крупных цирков. Фирновая линия на этих притоках располагается на разной высоте — от 3900 м под склонами цирков, обращенными на север, до 4200 м под южными склонами. В табл. I дана наиболее характерная для ледника высота — 4000 м
			На крутых склонах цирков есть несколько висячих фирновых полей, площадь которых включена в площадь ледника
164—169	№ 164—169	3, 4	*Ледники находятся в бассейне ледника № 162 и имеют* преимущественно лавинное питание
165	№ 165	9, 16	Площадь ледника, покрытая мореной, менее 0,1 км²
167	№ 167	9, 10	Язык ледника засыпан мореной, конец его определен приближенно
168	№ 168	13, 4, 9, 16	Большую часть лавинного питания ледник получает со своего левого склона северо-западной экспозиции. Фирновая линия вдоль этого склона опускается вниз по леднику, изменяя таким образом свои высотные отметки с 4400 до 4150 м. Конец языка ледника спускается с крутой устьевой ступени. Площадь языка, покрытая мореной, менее 0,1 км²
169	№ 169	5—16	Сведения о высотах даны с пониженной точностью. Изображение рельефа на карте не соответствует действительности
170, 171	№ 170, 171	4	Языки ледников соединяются в боковой части
170, 173, 175, 176	№ 170, 173, 175, 176	15, 16	Площадь области абляции менее 0,1 км²
171	№ 171	4, 9	Область питания располагается в двух высоких карах, из которых круто спускаются по узким долинам ледяные потоки с сильно растресканной поверхностью. Общий язык ледника несет на себе мощную срединную морену, а в нижней части закрыт моренным чехлом
172	№ 172	13, 15	Область питания занимает большой глубокий кар. Фирновая линия находится под каровой ступенью
174	№ 174	4	Ледник имеет очень узкий длинный язык, покрытый трещинами, и небольшую, морфологически не выраженную область питания. Питание ледника преимущественно лавинное
175, 179	№ 175, 179	4	Ледники соединяются в верховьях
176	№ 176	15	Область аккумуляции занимает почти весь ледник
177	№ 177	4, 9, 16	На крутом правом склоне над ледником имеются висячие фирновые поля. Площадь языка ледника, покрытая мореной, менее 0,1 км²
178	Девлохан	4, 13	Основной поток дендритового ледника Девлохан (описание см. в текстовой части).
			Фирновая линия спускается вдоль правого борта ледника с 4600 м в цирке до 4100 м. Дана наиболее характерная для ледника высота фирновой линии
179	№ 179	4	Описание ледника см. в текстовой части
180	№ 180	4, 9	Поверхность ледника крутая, покрыта трещинами. Моренный чехол на льду занимает площадь менее 0,1 км²
181	№ 181	4, 9	Второй по величине из составляющих потоков ледника Девлохан. Язык ледника целиком закрыт моренным плащом
184, 185, 186	№ 184, 185, 186	3	Ледники находятся в бассейне ледника Девлохан

№ ледника по таблице	Название	№ графы	Пояснение
1	2	3	4
184	№ 184	4, 9	Конец ледника уход под морену. На льду моренный чехол занимает менее 0,1 км²
188	Гандо	4, 13	Основной поток дендритового ледника Гандо. Область питания сложная, многокамерная Высота фирновой линии меняется в зависимости от экспозиции составляющих ледниковых потоков — в цирках, обращенных на юг, она достигает 4850 м, под северным склоном опускается до 4700 м. Дана наиболее характерная высота — 4750 м. Описание ледника см. в текстовой части
191	Дорофеева	4, 13	Ледник имеет очень обширную, высокоподнятую фирновую область. Фирновая линия повышается по направлению от левого борта ледника к правому с 4250 до 4600 м. Описание ледника см. в текстовой части
192	№ 192	4	Ледник получает питание с крутого тылового склона северной экспозиции, большая часть которого от гребня до подножья покрыта растресканной толщей фирна. На участках склона свободных от фирна имеются крупные лавинные желоба.
193	№ 193	4	В районе фирновой границы на перегибе склона ледник образует ледопад. Язык разбит трещинами. Каплевидная форма его конца при впадении в ледник Гандо говорит о недавнем наступании ледника (см. рис. 12)
194	№ 194	4	Крутопадающий ледник. Его поверхность разбита трещинами. В правой части узкий длинный язык достигает основного потока ледника Гандо, хотя, вероятно, дает как приток очень небольшое количество льда. В левой части есть второй отдельный висячий язык
195—216	№ 195—216	3	Ледники расположены в бассейне дендритового ледника Гандо
195	№ 195	4,	Левая часть языка ледника, изогнутого у подножья крутого склона, обращенного на юг, закрыта чехлом морены
196	№ 196	13	Высокий висячий ледник. Область абляции практически отсутствует
198, 201	№ 198, 201	7, 9	Площадь языка каждого ледника, покрытая мореной, менее 0,1 км²
202, 203	№ 202, 203	4, 13, 16	Высокие ледники с крутой поверхностью. Область абляции занимает ничтожную часть площади. Расход льда осуществляется преимущественно обвалами
204	№ 204	15, 16	Площадь области абляции менее 0,1 км²
205	№ 205	4	По своей морфологии ледник близок к асимметричным долинным ледникам, но не имеет собственной долины, а располагается у подножья левого склона долины ледника Дорофеева и получает питание с этого склона. Площадь ледника, покрытая мореной, менее 0,1 км²
207	№ 207	4, 9	Область питания расположена в двух отдельных цирках. Боковые морены на языке ледника занимают площадь менее 0,1 км²
208	№ 208	4, 13	Большой участок склона северной экспозиции в тыловой части ледника дает значительное дополнительное питание
209, 210	№ 209, 210	4	Языки ледников соприкасаются друг с другом боковыми частями, имеют здесь общий вал морены, но не образуют единого ледникового потока
215	№ 215	3	Ледник расположен в бассейне ледника № 214. Конец ледника находится у бокового края языка ледника № 214
216	№ 216	4, 13	Средняя и верхняя часть ледника широкая, открытая. Фирновая линия опускается вдоль правой части ледника до 4200 м. Ледник имеет два языка — основной правый и короткий левый. Площадь ледника, покрытая мореной, менее 0,1 км²
218	№ 218	9, 15	Площадь области аккумуляции на леднике (слившиеся лавинные конусы) менее 0,1 км². Поверхность языка ледника полностью закрыта мореной
219, 220	№ 219, 220	3, 15	Область абляции на каждом леднике очень мала. Ледники расположены в бассейне ледника № 218
221	№ 221	4, 16	В области абляции поверхность льда, свободная от морены, занимает менее 0,1 км². Ледник расположен в тыловой части долины, дно которой ниже современного конца ледника на протяжении 1 км занято участками мертвого льда с термокарстом
223	№ 223	16	Площадь открытого льда в области абляции менее 0,1 км²
224—243	Гармо	4	Дендритовый ледник, воды которого питают главный исток р. Обихингоу. Описание ледника см. в текстовой части
224	Беляева	5, 8, 13	Основной поток сложного долинного ледника Беляева. Высокая фирновая область занимает несколько цирков. Крутые склоны над ледником несут на себе висячие фирно-

№ ледника по таблице 1	Название	№ графы	Пояснение
			вые поля, наиболее крупные из которых включены при подсчетах в область аккумуляции ледника. Высота фирновой линии меняется в разных частях ледника. В таблице приведена наиболее характерная ее высота
225	№ 225	4, 13	Одна из составляющих ледника Беляева. Начинается почти от гребня хр. Петра Первого. Фирновая линия в левой части цирка опущена до 4700 м (конусы обвалов и лавин), в правой на узком крутом потоке льда поднята до 4950 м
228	Липского	4	Основной поток сложного долинного ледника Липского. Верховья ледника широкие, фирновая область многокамерная. На языке хорошо развиты боковые морены. Полоса чистого льда протягивается узкой лентой и наиболее низко среди других составляющих на общем языке ледника Гармо
229	№ 229	13	Область питания обращена на север. Фирновая граница у правого борта ледника (северной экспозиции) опускается до высоты 4200 м, у левого края ледника высота ее 4400 м
231	Вавилова	4, 8, 13	Основной ствол крупного дендритового ледника Вавилова, описание которого дано в тексте. Фирновые поля, висящие на склонах над ледником, включены в площадь области аккумуляции
			Наиболее активный конец ледника по состоянию на 1966—1969 гг. обозначен на схеме точечным пунктиром. Ниже на поверхности языка ледника Гармо полоса льда ледника Вавилова выделена приблизительно
232	№ 232	4, 13	В среднем течении ледник получает приток из крутой долины слева. В верховьях ледника на высоком склоне находится крупное висячее фирновое поле, питающее основной ледник обвалами и лавинами. Кроме того, ледник получает питание с участка левого борта, покрытого снегом и фирном
233	№ 233	4, 9, 15	Ледник «возрожденного» типа. Фирновая область расположена в высоком каре и отделена от языка скальной ступенью. Низколежащий язык ледника питается лавинами и обвалами, постоянно падающими с обрыва каровой ступени. Язык сильно заморенен. Ледник получает слева незначительный приток, заваленный мореной
234—236	№ 234—236	4	Фирновые области ледников многокамерные и начинаются высоко, от гребней, имеют крутое падение. На общем языке составляющие потоки разделены моренами
235	№ 235	9	Из фирновой области ледника вправо, со скальной ступени свешиваются два небольших языка, нижний из которых достигает левого края языка ледника № 234
237	№ 237	4, 8, 9	В площадь ледника включены крупные фирновые поля, висящие на тыловых склонах над ледником. На языке ледника имеется широкая полоса срединной морены. После слияния с ледником Вавилова язык ледника № 237 прослеживается вдоль его правого притока № 234—236. Конец его малоактивен
238	№ 238	15, 16	Большая часть языка ледника закрыта мореной
239	№ 239	4	Правый борт долины целиком покрыт фирном, левый свободен от снега. Левую часть языка ледника закрывает морена
240	Шокальского	4, 8, 13	Основной поток сложного долинного ледника Шокальского. Область питания многокамерная с крутыми склонами, покрытыми снегом и фирном. Фирновая линия опускается от правого борта ледника к левому с высоты 4750 до 4250 м, средняя высота ее 4450 м. В районе фирновой линии и верхней части языка наблюдается характерная «ячеистая» поверхность с многочисленными мелкими озерками
			Наиболее активный конец ледника по состоянию на 1966—1968 гг. обозначен на схеме точечным пунктиром. Ниже на леднике Гармо полоса льда ледника Шокальского выделена приблизительно
241	№ 241	4	Ледник занимает узкую крутую долину, покрыт трещинами сверху донизу, конец его активный, выпуклый. Ледник получает питание с крутых склонов, обращенных на север
244—292	№ 244—292	3	Ледники находятся в бассейне дендритового ледника Гармо: ледник № 249 — в верховьях ледника Липского, ледники № 250, 251 — в верховьях ледника Беляева, ледники № 252—259 — в долине ледника Вавилова, ледники № 261—263 — в долине ледника Шокальского, остальные ледники лежат в боковых поперечных долинах над языком ледника Гармо
247—248	№ 247—248	4	Языки ледников соединены почти на всем протяжении, лишь концы их разделяются, обходя с двух сторон выступ на дне долины. Ледники кончаются выше бровки устьевой ступени долины

№ ледника по таблице	Название	№ графы	Пояснение
1	2	3	4
			На гребне цирка ледника № 247 находится семь висячих ледников с малой площадью, которые соединяются с высокими фирновыми областями ледников Дорофеева и Липского
249	№ 249	15	Площадь области абляции менее 0,1 км²
251	№ 251	13, 15	Ледник целиком расположен в зоне аккумуляции. Расход льда обвалами
252	№ 252	9, 15, 16	Язык ледника почти целиком закрыт мореной. Площадь области аккумуляции менее 0,1 км²
253	№ 253	4, 16	Ледник — «туркестанского» типа. Питание лавинное. Язык полностью закрыт моренным плащом. С крутой тыловой стены от висячего фирнового поля к леднику спускается узкий крутой, разбитый трещинами язык, дающий обвалы
255	№ 255	4	По крутой поверхности ледника постоянно сходят лавины, образуя на льду ледника Вавилова крупный, хорошо заметный конус выноса
256	№ 256	13, 15	Ледник расположен в зоне аккумуляции. Расход льда обвалами
258	№ 258	4, 13	Область питания ледника расположена на крутых склонах, у подножья которых находятся конусы выноса обвалов и лавин. По нижней границе конусов проведена фирновая линия
258, 260	№ 258, 260	4	Ледники в верховьях соединены друг с другом
259	№ 259	10	Язык ледника спускается почти до левой боковой морены ледника Вавилова
260	№ 260	4, 13, 16	Область питания располагается на крутой тыловой стене ледника, под которой находятся конусы обвалов и лавин. Левая часть языка ледника покрыта мореной
261	№ 261	4	Открытый, вытянутый в ширину ледник лежит у подножья северного склона обширного цирка
262	№ 262	9, 15	Ледник почти целиком закрыт мореной. Площадь области аккумуляции ничтожно мала. Питание лавинное
263	№ 263	4	Ледник получает питание с крутых склонов крупного кара, покрытых фирном
264	Ванчдара	4, 13	Ниже конца ледника располагается участок мертвого льда площадью 0,9 км².
			Приведена средняя высота фирновой линии, которая снижается от правого края ледника к левому
266	№ 266	4, 13	Область питания ледника асимметрична, занимает в основном склон северной экспозиции. Высота фирновой линии снижается с 4600 (слева на леднике) до 4200 м (в правой части). Язык ледника на поверхности основного потока (№ 264) окаймлен валом морены
267—272	№ 267—272	3	Ледники находятся в бассейне ледника Ванчдара
267, 270, 272, 274	№ 267, 270, 272, 274	15	Площадь области абляции менее 0,1 км²
269, 273	№ 269, 273	9, 16	Площадь языка каждого ледника, покрытая мореной, менее 0,1 км²
270—272, 266	№ 270—272, 266	4	В верховьях ледники последовательно соединены друг с другом
277—279, 282—285	Токаест, № 282—285	4—16	Верховья р. Токаест отсутствуют на аэрофотоснимках. Ледники оконтурены приблизительно на основании отдельных фотоснимков. Соответственно данные приведены с пониженной точностью. Высота фирновой линии на ледниках № 282—284 не определена
280—284	№ 280—284	3	Ледники расположены в бассейне сложного долинного ледника Токаест
280, 281	№ 280, 281	15	Площадь области абляции менее 0,1 км²
284	№ 284	4, 9	Язык полностью закрыт моренным плащом. Ледник питается лавинами, сходящими с правого склона
287—289	Сафетоб	4, 9	Языки трех крупных слившихся ледников разделены на поверхности моренами, площадь которых менее 0,1 км². Области питания ледников широкие, северные их склоны покрыты снегом и фирном
290	№ 290	15	Площадь области абляции менее 0,1 км²
293	№ 293	4, 9, 15	Ледник «возрожденного» типа. Область питания, расположенная на крутом склоне, отделена от языка отвесной скальной ступенью. Язык ледника почти полностью закрыт моренным чехлом. В верхней его части, под ступенью — крупный белый конус лавинного и обвального материала, питающего язык. Ниже конца ледника находится участок мертвых льдов площадью около 0,1 км²
293, 294	№ 293, 294	4	В верховьях, на небольшом участке ледники соединены друг с другом
294	№ 294	4, 9	Ледник состоит из трех потоков, основной из них — центральный. Правый приток спускается в главную долину

№ ледника по таблице	Название	№ графы	Пояснение
1	2	3	4
295, 297	№ 295, 297	4, 8, 10	из большого кара. Часть его льда стекает вправо, к леднику № 293. Морена покрывает правую часть языка ледника Концы языков крупных долинных ледников уходят под морену. Нижняя граница их определена приблизительно. Хорошо развиты мощные боковые морены. Крутые тыловые склоны ледников покрыты до гребней снегом и фирном
296	№ 296	3, 13, 15	Ледник расположен в бассейне ледника № 295 и находится целиком в области аккумуляции
300	№ 300	15, 16	Площадь области абляции менее 0,1 км²
302	№ 302	4, 15	Ледник, вероятно, пульсирующий. Площадь области абляции менее 0,1 км²
303	№ 303	3, 15	Ледник находится в области аккумуляции и расположен в бассейне ледника № 302
305	№ 305	15	Ледник расположен в области аккумуляции
305, 306	№ 305, 306	6, 8, 10	Языки ледников покрыты мощным чехлом конечной морены, поэтому данные определены приближенно
307, 308	№ 307, 308	4, 6, 8, 10	Конец сложного долинного ледника закрыт мореной и смыкается с рядом снежно-ледовых конусов, образовавшихся в результате постоянных обвалов лавин, фирна и льда с крутого левого склона долины, на котором расположены висячие ледники.
308, 310	№ 308, 310	4	Языки ледников соприкасаются боковыми частями.
309	№ 309	6—12	Все морфометрические характеристики даны с пониженной точностью из-за отсутствия аэрофотоснимка с этим ледником. На перспективной фотографии ледник сплошь покрыт снегом (1969 г.)
310	№ 310	4	Область питания ледника расположена на очень крутых склонах. Язык, выходя в долину, выполаживается
311, 312	№ 311, 312	15	Площадь области абляции каждого ледника менее 0,1 км²
315	Сытарги	4	Ледник имеет обширную многокамерную область питания. Поверхность ледника, за исключением нижней части языка, разбита трещинами
315—320	Сытарги, № 316—318,	13	В питании ледников большое участие принимают лавины
316	Сытарги, № 320 № 316	4, 10	Язык ледника отделен от основного потока (№ 315) условно при его впадении, так как ниже по течению контур языка трудно проследить в основном теле ледника
318	№ 318	4	Ледник имеет обширную область питания, занимающую несколько цирков. Поверхность ледника неровная, разбита трещинами
319	Сытарги	4	Язык ледника, в отличие от положения на 1947 г., отделился от ледника № 315 и не является сейчас его притоком. В питании ледника участвуют обвалы фирна и льда с небольших висячих ледничков левого склона, площадь которых при подсчете включена в общую площадь ледника. Поверхность ледника, особенно в верхней его части, бугристая
320	№ 320	3, 4	Ледник расположен в бассейне ледника № 319 (Сытарги). Поверхность ледника бугристая. Ниже по течению его контур трудно проследить в основном теле ледника
321	№ 321	16	Площадь ледника, покрытая мореной, менее 0,1 км²
321—325	№ 321—325	4	Ледники питаются лавинами и обвалами фирна и льда исключительно со склонов северной экспозиции
326—329	№ 326—329	4	Сложный долинный ледник образуется от слияния четырех потоков льда, основной из которых ледник № 326. Области питания ледников располагаются на крутых склонах и частично представлены висячими фирновыми полями. Общий язык ледника широкий, на большом протяжении покрыт мореной, на конце его развит термокарстовый рельеф
330—338	№ 330—338	3	Ледники расположены в бассейне сложного долинного ледника № 326—329
331, 336, 340	№ 331, 336, 340	15	Площадь области абляции менее 0,1 км²
341	№ 341	4	Большая часть ледника расположена на тыловой стене кара. Три его языка, расходящиеся веером, внизу покрыты чехлом морены площадью менее 0,1 км²
344	№ 344	4	Ниже конца языка имеются участки мертвого льда общей площадью 0,1 км²
345	№ 345	4, 13	Ледник питается обвалами фирна, льда и лавинами с крутого правого склона. Фирновая граница проведена по нижнему краю слившихся лавинно-обвальных конусов у подножья этого склона. Язык ледника закрыт сплошным мощным чехлом морены. Моренные валы начинаются в верховьях пологой части ледника, под конусами. Ниже конца языка имеется участок мертвого льда площадью 0,3—0,4 км²
348—350	Минаду	4	Ледник состоит из трех длинных узких потоков. Фирновые бассейны ледников обширные, крутые, северной экспо-

№ ледника по таблице	Название	№ графы	Пояснение
1	2	3	4
			зиции. Поверхности ледников сильно растресканы. Большой участок довольно ровной поверхности имеет лишь ледник № 350 в фирновом бассейне. Фирновые поля на тыловом склоне питают ледник № 349 обвалами и лавинами. В верхних частях ледники соединяются между собой. Имеется небольшой участок перетекания льда от ледника № 350 к леднику № 349. Общий язык ледников в средней части представляет ледопад, ниже которого выполаживается. На языках ледников № 348 и 350, в значительной части погребенных под мореной, сильно развит термокарст
350	№ 350	4	Область питания ледника отделена от языка уступом. Здесь постоянны обвалы льда
351	№ 351	3, 15	Ледник расположен в бассейне ледника № 348 и целиком находится в зоне аккумуляции
352	№ 352	3, 4	Ледник расположен в бассейне ледника № 348 и на большом протяжении соединен с ним, лишь конец языка поворачивает в долину справа
353	Скогач	4, 9	Область питания ледника расположена на северном очень крутом склоне Мазарского хребта. Левая часть фирновой области занимает широкий цирк и имеет спокойную поверхность. Здесь ледник получает значительную часть питания за счет обвалов фирна и льда с крутого тылового склона. Правая часть фирновой области более высокая и крутая, представляет ледопад. Длинный язык ледника расположен в узкой глубокой долине, его верхняя часть сильно разбита трещинами (примерно на протяжении $^1/_3$ общей длины ледника). В нижней части языка краевые участки ледника закрыты боковыми моренами
353, 359	№ 353, 359	4	Ледники на небольшом участке соединяются в верховьях
354—358	№ 354—358	3	Ледники расположены в бассейне ледника Скогач
355—357	№ 355—357	10, 11, 12, 13	Ледники расположены на очень крутых склонах, которые изображены на карте условным знаком скал, поэтому их высотные отметки определены приближенно
355, 357	№ 355, 357	15	Ледники расположены в зоне аккумуляции
359	Батрут	4	Ледник имеет обширную область питания, разделенную вдоль на две равные части узким отрогом Мазарского хребта. Фирновая область в верховьях ровная, ниже ее поверхность превращается в ледопад. Трещинами разбита и вся поверхность языка. Перед выходом в расширение долины ледник обрывается крутой ступенью, ниже которой находится «возрожденная» часть ледника длиной около 2 км. Конец языка сильно заморенен
360	№ 360	4, 10	Ледник является притоком ледника № 359, и получает питание исключительно с северного склона. За низшую точку принята отметка при впадении в основной ледник
361	№ 361	3	Ледник находится в бассейне ледника № 359 и расположен целиком в области абляции
362	Батрут	4, 10	Ледник состоит из двух потоков, область питания левого из них расположена в узкой крутой долине. На северном склоне над фирновой областью правого потока расположены висячие фирновые поля и ледники, обвалы фирна и льда с которых, а также лавины составляют значительную долю питания этого ледника. Язык ледника (особенно конец его и правая часть) покрыт мореной. Низшая точка ледника под конечной мореной определена приближенно. Ниже конца языка у края ледника № 359 имеются участки малоактивного льда. Ледник пульсирующий. Конец его периодически продвигается вперед и частично перекрывает конец ледника № 359
363, 364	Биджау, № 364		Описание сложного долинного ледника Биджау см. в тексте
365	№ 365	4	Ледник получает лавинное питание исключительно с левого склона. Справа в него вливается сильно растресканный поток, частично перекрывающий ледник. Ниже образуется общий висячий язык
365, 382	№ 365, 382	4	Ледники на небольшом протяжении соединяются друг с другом
365—367	№ 365—367	3	Ледники расположены в бассейне ледника № 364
366	№ 366	4	Ледник имеет два яруса: верхний расположен на тыловой стене кара, нижний имеет свою область питания на правом склоне долины
367	№ 367	4	Ледник питается лавинами, главным образом с правого склона

№ ледника по таблице	Название	№ графы	Пояснение
1	2	3	4
368, 370	№ 368, 370	15	Площадь области абляции каждого ледника менее 0,1 км²
371—374	Нусояк, № 372, 374	4, 9, 16	Сложный долинный ледник состоит из четырех потоков, области питания которых лежат на северном склоне Мазарского хребта. Поверхности ледников сильно разбиты трещинами, на большом протяжении засыпаны мореной. Конец общего языка имеет термокарстовый рельеф
374, 375	№ 374, 375	4	Ледники соединяются в верховьях
376, 377	№ 376, 377	4	Ледники соединяются в верховьях, площадь области абляции каждого ледника менее 0,1 км²
375—377	№ 375—377	3	Ледники расположены в бассейне ледника Нусояк
380	№ 380	15	Область абляции занимает почти весь ледник
381	№ 381	4	Ледник состоит из двух ветвей: правая — основная — более полога, левая расположена на крутом склоне и сильно разбита трещинами. Наибольшую долю питания ледник получает с крутого тылового склона
382	№ 382	3, 15	Ледник расположен в бассейне ледника № 381 и целиком находится в области аккумуляции, в верховьях соединен с ледником № 365
383	№ 383	4	Область питания ледника занимает две камеры, после слияния образуется широкий поток, который заканчивается плоским языком
383, 384	№ 383, 384	4	Языки ледников соприкасаются боковыми частями
384	№ 384	4	Ледник получает значительную долю питания с левого склона
385	№ 385	4	Ледник туркестанского типа. Почти вся поверхность его покрыта мореной. Верхняя граница морены совпадает с фирновой линией
387	№ 387	15	Площадь области абляции менее 0,1 км²
388	№ 388	4	Большую роль в питании ледника играют лавины и обвалы фирна, висящего на крутых склонах, окаймляющих область питания. Ледник сильно разбит трещинами, представляя почти сплошной ледопад
388, 389	№ 388 и 389	4	В верховьях ледники соединяются друг с другом
389	№ 389	3	Ледник расположен в бассейне ледника № 388
390, 391	№ 390, 391	4	Большая роль в питании ледников принадлежит лавинам
392	Мазарский	4	Область питания ледника имеет сходство с ледниками плато. Большая часть плато принадлежит Мазарскому леднику, кроме этого, оно питает и еще несколько крупных долинных ледников в других бассейнах. Нижняя часть языка ледника изрезана термокарстом. В верховьях ледник соединяется с ледником Сед юго-восточного склона Дарвазского хребта и с ледником № 414
393	№ 393	4	Ледник не имеет морфологически выраженной фирновой области и существует исключительно за счет обвалов фирна и лавин, которые сходят с правого склона. Ледник почти сплошь закрыт мощным чехлом поверхностной морены. После слияния с Мазарским ледником конец его языка изъеден термокарстом
392, 393	№ 392, 393	4	Ледники расположены в узких, глубоких долинах с очень крутыми склонами
392—398	№ 392—398	4, 15	Большая роль в питании этих ледников принадлежит лавинам
394	№ 394	4, 15	Слева над ледником расположен висячий ледничок площадью менее 0,1 км², питающий ледник обвалами фирна и лавинами. Область питания ледника представляет соединившиеся лавинные конусы. Язык разбит трещинами
394—401	№ 394—401	3	Ледники расположены в бассейне Мазарского ледника
395	№ 395	4, 15	Поверхность ледника сильно загрязнена мореной. Площадь области абляции менее 0,1 км²
396—398	№ 396—398	3, 4, 13	Поверхности ледников сильно разрушены Ледники № 396 и 397 расположены в бассейне ледника № 398, который в свою очередь находится в бассейне Мазарского ледника. Высоты фирновых линий даны с пониженной точностью, так как поверхность этих ледников на имеющихся аэрофотоснимках покрыта свежим снегом
396	№ 396	4	На небольшом участке нижняя часть языка ледника соприкасается с языком Мазарского ледника, здесь часть льда ледника № 396 перетекает к Мазарскому леднику
397	№ 397	4	Лавины, сходящие с нижней части ледника, пересекают ледник № 398 и достигают языка Мазарского ледника
399	№ 399	15	Весь ледник расположен в области аккумуляции
402	№ 402	4, 9	Большую роль в питании ледника играют лавины. Площадь ледника, покрытая мореной, менее 0,1 км²

№ ледника по таблице	Название	№ графы	Пояснение
1	2	3	4
403	№ 403	4, 9	Ледник расположен у основания крутого склона, с которого сходят лавины и обвалы фирна. Язык ледника почти полностью погребен под мореной. Узкая полоса фирна является слившимися конусами выноса лавин. Участок чистого льда занимает площадь менее 0,1 км²
405	№ 405	15	Площадь области абляции менее 0,1 км²
406	Дарвазский	4, 9	Основной поток дендритового ледника Дарвазского образуется из пяти небольших потоков, расположенных на крутых склонах в верховьях долины. В питании составляющих потоков большое участие принимают лавины. Фирновая область основного потока невелика по площади. Морена появляется в верхней части языка, нижняя и средняя части его сплошь покрыты мощным чехлом морены
406, 417	№ 406, 417	4	Ледники соединяются в верховьях
407	№ 407	4, 9	Ледник расположен в длинной долине, имеющей значительный уклон. Средняя часть ледника разбита трещинами и представляет ледопад, протягивающийся почти до слияния с Дарвазским ледником. Нижняя часть его языка, а также часть ледопада закрыты моренным чехлом. Фирновая область невелика. Питание ледник получает за счет лавин. Дана средняя высота границы лавинного питания. В верховьях ледник соединяется с ледником Сед, расположенным в бассейне р. Ванч
408—413	№ 408—413	4	Большую роль в питании ледников играют лавины
410	№ 410	15	Площадь области абляции менее 0,1 км²
413, 436	№ 413, 436	4	Ледники соединяются в верховьях
414	№ 414	3, 4, 13	Ледник расположен в бассейне ледника № 407. Питается лавинами и обвалами фирна исключительно с левого склона. Дана средняя высота границы лавинного питания
414, 392	№ 414, Мазарский	4	В верховьях ледники соединяются друг с другом
415—418, 420—427	№ 415—418, 420—427	3	Ледники расположены в бассейне ледника № 406
417, 418	№ 417, 418	4, 15	Площадь области абляции каждого ледника чрезвычайно мала
419	№ 419	3	Ледник расположен в бассейне ледника № 413
416—426	№ 416—426	4, 13	Ледники имеют преимущественно лавинное питание. Лавины сходят с обрамляющих ледники северных склонов. Высота границы лавинного питания на каждом леднике меняется в зависимости от участка
427	№ 427	3, 15	Ледник расположен в бассейне ледника № 426. Область аккумуляции занимает почти весь ледник
431	№ 431	10	Конец языка ледника завален мореной. Высота низшей точки ледника дана приближенно
431, 433	№ 431, 433	15	Область аккумуляции на ледниках очень мала.
436	№ 436	4	В верховьях ледника имеется небольшой участок перетекания льда от ледника № 413. Кроме того, ледник в верховьях соединяется с ледником № 446
438, 439	№ 438, 439	3	Ледники расположены в бассейне ледника № 436
440, 441	№ 440, 441	3	Ледники расположены в бассейне ледника № 437
439—441	№ 439—441	15	Площадь области абляции каждого ледника менее 0,1 км²
442	№ 442	15	Область аккумуляции на леднике ничтожно мала. Площадь ледника, свободная от морены, занимает менее 0,1 км²
444	№ 444	15	Ледник питается исключительно лавинами. Площадь области аккумуляции менее 0,1 км². Почти вся поверхность ледника покрыта мореной
445	№ 445	4	Фирновая область ледника расположена на тыловых склонах цирка. Питается ледник исключительно лавинами
446	№ 446	4	Ледник имеет обширную область питания, состоящую из трех крупных каров. Его язык широкий и короткий. Справа ледник принимает небольшой приток, площадь которого включена в общую площадь ледника. В верховьях на небольшом участке соединяется с ледником № 436. Ниже конца языка имеется участок мертвого льда площадью 0,2 км²
447	№ 447	4	Язык ледника раздваивается, обтекая нунатак. Ниже обе части вновь соединяются
448	№ 448	4	Ледник висит на крутом склоне. Его язык сильно разбит трещинами. Конец ледника, выходя в долину, выполаживается
449	№ 449	3, 15	Ледник расположен в бассейне ледника № 448. Область аккумуляции занимает почти весь ледник
450	№ 450	4, 9	Ледник получает питание с левого склона в виде лавин и узких потоков фирна. В верховьях соединяется с ледником № 451. Площадь ледника, покрытая мореной, менее 0,1 км²
451	№ 451	4, 6, 8, 10, 15	Область питания ледника состоит из трех ветвей. Две из них, бо́льшие по площади, сливаясь, образуют широкий, сильно разрушенный язык. Он соединяется с расположенной

№ ледника по таблице	Название	№ графы	Пояснение
1	2	3	4
			ниже третьей ветвью. Язык ледника покрыт мощным чехлом морены, поэтому данные соответствующих граф определены приближенно
453	№ 453	4	Область питания ледника морфологически плохо выражена. Поверхность ледника сильно разбита трещинами, особенно в средней части, которая представляет ледопад. Язык ледника раздваивается, обтекая нунатак. Левая основная часть его соединяется со сложным долинным ледником Дархарвак, правая часть короткая. Большое участие в питании ледника принимают лавины, сходящие с тылового и левого склонов
453—458	№ 453—458	4	Большая роль в питании ледников принадлежит лавинам
458—460	№ 458—460	3	Ледники расположены в бассейне сложного долинного ледника Дархарвак
460	№ 460	15	Весь ледник расположен в области аккумуляции
464	№ 464	15	Конец ледника закрыт мореной, занимающей менее 0,1 км² площади языка. Ниже находится участок мертвого льда размером около 0,4 км²
465	№ 465	6, 8, 10, 15	Язык ледника закрыт мощным чехлом морены, поэтому данные в соответствующих графах определены приближенно
466	№ 466	15	Площадь морены на леднике менее 0,1 км²
466—468	№ 466—468	4	Концы ледников выходят в долину, где имеют общий участок мертвого льда. Большую роль в питании ледников играют лавины
471	№ 471	15	Область аккумуляции занимает менее 0,1 км². Ледник существует за счет лавин
473	№ 473	4, 9	Ледник очень широк, имеет трехкамерную область питания. Язык ледника в нижней части суживается, здесь на его поверхности протягиваются несколько мощных моренных гряд, в конце они сливаются, образуя сплошной чехол
474	№ 474	4	Ледник состоит из трех потоков, средний из которых наиболее мощный. Правый поток спускается с крутой почти отвесной ступени
475	№ 475	3	Ледник расположен в бассейне ледника № 474
477	№ 477	4	Область питания ледника расположена на крутых склонах. Большую долю лавинного питания ледник получает с правого склона
478—480	№ 478—480	4	Области питания правого и левого потоков расположены на крутых склонах, а языки их имеют спокойную ровную поверхность. Питание преимущественно лавинное. Ледник № 480 представляет почти сплошной ледопад. Область его питания занимает узкую ступень на склоне
481	№ 481	3	Ледник расположен в бассейне ледника № 478
482	№ 482	15	Площадь области абляции менее 0,1 км²
482, 483	№ 482, 483	4	Ледники расположены в верховьях узких глубоких долин и существуют исключительно за счет лавин. Ниже ледников расположены каменные глетчеры
483	№ 483	15	Площадь области аккумуляции менее 0,1 км²
484	№ 484	4	Ледник имеет приток, расположенный выше его области питания. Площадь притока включена в общую площадь ледника
484—488	№ 484—488	4	Большое участие в питании ледников принимают лавины
486	№ 486	13	Граница лавинного питания колеблется в пределах 4200—4600 м. Поверхность ледника имеет бугристо-ячеистый рельеф
487	№ 487	15	Площадь области абляции менее 0,1 км²
488	№ 488	15	Площадь области аккумуляции менее 0,1 км²
490	№ 490	4	Правая, менее мощная ветвь сложного долинного ледника № 489—490. Конец языка закрыт мореной, площадь которой менее 0,1 км²
491, 492	№ 491, 492	4, 9	На небольшом участке языки ледников соприкасаются друг с другом. Площадь ледника, покрытая мореной, менее 0,1 км²
491—494	№ 491—494	3	Ледники расположены в бассейне ледника № 489—490
491—493	№ 491—493	15	Площадь области абляции ледников менее 0,1 км²
495	№ 495	15	Почти весь ледник расположен в области абляции
497—499	№ 497—499	4	Области питания ледников расположены на очень крутых склонах, с которых сходят лавины и обвалы фирна и льда, приносящие основное питание ледникам
499	№ 499	4	Ледник состоит из нескольких потоков льда, вытекающих из полуразрушенных каров. Общий язык ледника короткий и широкий
499, 504	№ 499, 504	4	В верховьях ледники соединяются друг с другом
500	№ 500	3	Ледник расположен в бассейне ледника № 499. Площадь области абляции менее 0,1 км²

№ ледника по таблице	Название	№ графы	Пояснение
1	2	3	4
504	№ 504	4	Ледник имеет участок перетекания льда к леднику № 505. Здесь на крутом перегибе образуется ледопад
506	№ 506	4	Ледник имеет приток, расположенный выше фирновой области в верхнем ярусе цирка. Его площадь включена в общую площадь ледника
506, 507	№ 506, 507	4	Ледники имеют общий участок мертвого льда, погребенного под мореной, площадью 0,1 км². В питании ледников большое участие принимают лавины
509	№ 509	4	Ледник существует за счет лавин преимущественно с северного склона. Язык ледника широкий, плоский
510	№ 510	4, 6, 8, 10, 16	Ледник туркестанского типа, практически не имеет фирновой области, питается исключительно лавинами. Почти вся поверхность покрыта мощным чехлом морены. Конец языка закрыт мощной мореной, поэтому данные в соответствующих графах определены приближенно. Открытая часть области абляции менее 0,1 км²
511	№ 511	4, 9, 16	Область питания ледника отделена от его языка крутым скальным уступом. Лед стекает к языку узким потоком через понижение в нем. Кроме того, на язык обрушиваются обвалы фирна, висящего на краю уступа. Язык ледника имеет спокойную поверхность и наполовину закрыт мореной
512	№ 512	3	Ледник расположен в бассейне ледника № 511
513	№ 513	4	Ледник питается главным образом лавинами, лишь справа в верховьях ледника есть участок фирновой области. Правая часть языка ледника сильнее выдвинута вниз по долине
513, 514	№ 513, 514	4	Ледники соприкасаются друг с другом в боковых частях
515	№ 515	4	Область питания ледника расположена в двух цирках. Со склонов, обрамляющих ледник, на его поверхность сходят лавины
516	№ 516	4, 15	Ледник существует исключительно за счет лавин. Площадь области аккумуляции менее 0,1 км²
517	№ 517	9, 15	Площадь участка ледника, покрытого мореной, менее 0,1 км²
517—519	№ 517—519	4	Ледники расположены в широких открытых долинах. Поверхности их ровные, чистые или слегка прикрыты мореной. Языки ледников широкие и плоские
518, 519	№ 518, 519	4	Ледники в своем нижнем течении соединяются боковыми частями
520	№ 520	15	Площадь области аккумуляции менее 0,1 км²
522, 532	№ 522, 532	4	Ледники соединяются в верховьях
523—525	№ 523—525	4, 6, 8—10, 15	Ледники существуют за счет лавинного питания. Площадь каждого ледника, покрытая мореной, менее 0,1 км². Характерны мощные валы конечных морен. Данные в графах 6, 8, 10, 15 определены приближенно
526	Писода	4	Язык ледника широкий, плоский. Слева в нижней замореннной части на небольшом участке язык ледника соприкасается с языком ледника № 527
527	№ 527	4	Язык ледника закрыт мощным слоем морены, который ниже конца языка закрывает и участок мертвого льда, поэтому высота конца ледника определена с пониженной точностью
528—530, 532	№ 528—530, 532	15	Площадь области абляции ледников менее 0,1 км²
529	№ 529	4	Конец языка ледника покрыт чехлом конечной морены площадью менее 0,1 км²
530	№ 530	4	Ледник существует за счет лавин, которые сходят с северного и западного склонов
534	№ 534	4	В верховьях ледник соединяется с небольшим ледником, расположенным на южном склоне Дарвазского хребта
534, 535	№ 534, 535	4	Ниже концов ледников имеются участки мертвого льда площадью 0,1 км² каждый
536	№ 536	4	Ледники получают значительную долю лавинного питания с северного склона
537	№ 537	15	Площадь области питания менее 0,1 км²
538, 541	№ 538, 541	15	Площади областей абляции ледников менее 0,1 км²
539, 540, 542	№ 539, 540, 542	4	Ледники существуют исключительно за счет лавин, поступающих со склонов северо-восточной экспозиции
543	№ 543	4, 15	Поверхность ледника бугристая, вся разбита трещинами. Язык ледника закрыт мощной толщей морены, поэтому данные в графах определены приближенно. Площадь области абляции ледника менее 0,1 км²
544	№ 544	4, 15, 16	Ледник имеет преимущественно лавинное питание. Конец языка закрыт мощной мореной, высота его конца и длина определены приближенно. Площадь области питания, а также участков ледника, покрытых мореной, менее 0,1 км². Ни-

№ ледника по таблице	Название	№ графы	Пояснение
1	2	3	4
			же конца ледника имеется небольшой участок мертвого льда
545	№ 545	3, 15	У конца ледника имеется озеро. Площадь области абляции менее 0,1 км²
546	№ 546	4	В питании ледника большую роль играют лавины. Площадь участков ледника, покрытых мореной, менее 0,1 км²
547	№ 547	4	Область питания ледника двухкамерная. Язык широкий, конец его закрыт мореной. На аэрофотоснимке трудно проследить границу между малоактивным льдом языка ледника и мертвым льдом ниже него
	Происхождение названий ледников		
62, 63	Баральмос, Мустаг	2	Первооткрыватель ледников В. И. Липский закрепил за этими ледниками их местные названия — Борольмаз и Мустаг (табл. V/№ 17)
69—74	Петра Первого	2	В 1899 г. В. И. Липский составил первое подробное описание сложного ледника и дал ему имя Петра Великого (табл. V/№ 17)
90—92, 135, 150 155, 158, 307, 315, 319, 353, 359, 362	Зюрюзамин, Верешкай, Джигели, Сафидак, Вангут, Бурс, Сытарги, Скогач, Батрут	2	В. И. Липский, впервые посетивший и описавший ледники в 1899 г. (табл. V/№ 17), закрепил за ними местные названия. Ледники № 359 и 362 в то время соединялись, образуя общий язык протяженностью около 2 км
124	Юзман	2	Название ледника местного происхождения впервые утверждено В. И. Липским в 1899 г., называвшим «Юзман» всю группу ледников № 124—127 (табл. V/№ 17)
129	Пир-Ях	2	Местное название. В литературе впервые встречается у Я. С. Эдельштейна, изучавшего ледник в 1904 и 1905 гг. (табл. V/№ 34)
178	Девлохан	2	Старое местное название, принятое на современных картах. В 1913 г. участниками немецкой экспедиции был назван ледником Финстервальдера. Это название сохранил и К. К. Марков в 1932 г. (табл. V/№ 20)
191, 224, 231	Дорофеева, Беляева, Вавилова	2	Названия ледникам даны участниками Памирской высокогорной экспедиции 1931 г. (табл. V/№ 15). Ледник Дорофеева — в честь замечательного топографа, которому принадлежит основная заслуга в появлении на карте ледниковой области «белого пятна» Памира. Ледник Беляева назван именем русского исследователя, впервые описавшего ледник в 1916 г., ледник Вавилова — в честь председателя Географического общества СССР
228, 247—248	Липского, № 247—248	2	Название ледника появилось на карте Таджикской комплексной экспедиции 1932 г. (табл. V/№ 15), очевидно, по ошибке, но сохранилось за этим ледником до настоящего времени. Раньше, в 1916 г., Я. И. Беляев назвал именем В. И. Липского, первоисследователя ледников хр. Петра Первого, более западный ледник (№ 247—248), бывший тогда притоком ледника Гармо, сейчас не имеющий названия (табл. V/№ 3)
240	Шокальского	2	Ледник назван в 1916 г. Я. И. Беляевым (табл. V/№ 3) в честь председателя Русского географического общества того времени.

ТАБЛИЦА II

СПИСОК ГИДРОМЕТЕОРОЛОГИЧЕСКИХ СТАНЦИЙ И ПОСТОВ В РАЙОНЕ ЛЕДНИКОВ

№ п/п	Название реки, в бассейне которой расположена станция	Название станции или поста	В чьем ведении находится	Абсолютная высота, м	Площадь водосбора гидрологических постов, км²	Период наблюдений, годы							дополнительные
						уровень воды	сток воды	сток наносов	химический состав воды	основные метеорологические	осадки	толщина снега	
1	2	3	4	5	6	7	8	9	10	11	12	13	14
1	Обихингоу	гп Ляйрун	УГМС ТаджССР	2080	4190	1962—1974							
2	Обимазар (р. Обихингоу)	гп Сангвор	»	2200	1030	1955—1974	1955—1959, 1961—1974				1945—1951, 1957—1974		
3	Обихингоу	гмст Тавиль-Дара	»	1620	5390	1958—1974	1958			1932—1974	1932—1974	1932—1974	
4	Обихингоу	мст Сангвор	»	2180	1880	1950—1974	1950, 1952—1974			1951—1974	1951—1974	1951—1974	
5	Сарыоб (р. Обихингоу)	гп Калаи-Санг	»	1800	304	1961—1974	1961—1974						
6	Езган (р. Обихингоу)	гп Езган	»	1600	39,4	1952—1974	1952—1974	1952—1974					
7	Сурхсу (р. Обихингоу)	гп Шакоу	»	2000	255	1961—1974	1961—1974						
8	пер. Хабурабат	мст Хабурабат	»	3350						1942—1974	1942—1974	1948—1974	
9	Рагноу (р. Обихингоу)	гп Ляйрун-Боло	»	2080	742	1962—1974	1962—1974						
10	Ледник Федченко	мст Ледник Федченко	»	4170						1933—1974	1933—1974	1933—1974	

ТАБЛИЦА III

СПИСОК СУММАРНЫХ ОСАДКОМЕРОВ И СНЕГОМЕРНЫХ ПУНКТОВ В РАЙОНЕ ЛЕДНИКОВ

№ п/п	Название бассейна и номер осадкомера или снегопункта	Местоположение	Абсолютная высота, м	Экспозиция склона	Период наблюдений, годы
1	2	3	4	5	6
1	Гармо (бассейн р. Обихингоу), ос 4	У конца ледника Гармо	2960	гориз.	1940—1974
2	Обимазар (бассейн р. Обихингоу), ос 39	У слияния р. Обимазар и реки, вытекающей из ледника Дарвазского	2960	гориз.	1957—1974
3	Обихингоу, ос 40	У кишл. Яфуч	2040	гориз.	1957—1974
4	Писода (бассейн р. Обихингоу), ос 44	У верхнего озера	3330	гориз.	1958—1974
5	Обихингоу, ос 54	пер. Гардоникофтар	3750	гориз.	1961—1974
6	Бохуд (бассейн р. Обихингоу), ос 111	У языка ледника Скогач	3100	гориз.	1969—1974
7	Обихингоу, ос 116	У развалин кишл. Пашимгар	2660	гориз.	1970—1974
8	Обимазар (бассейн р. Обихингоу), ос 117	У конца Мазарского ледника на левом берегу р. Обимазар	3220	гориз.	1970—1974
9	Обихингоу, сп 1	Кишл. Лябиджар	1340	гориз.	1938—1974
10	Обихингоу, сп 1а	Верхняя окраина кишл. Даштигурк	1480	гориз.	1959—1974
11	Обихингоу, сп 2	В 2,5 км вышел кишл. Чильдара	1530	гориз.	1938—1974
12	Обихингоу, сп 2а	В 0,3 км выше кишл. Езган	1580	гориз.	1959—1974
13	Обихингоу, сп 3	В 2 км выше кишл. Грум	1720	гориз.	1938—1974
14	Обихингоу, сп 3а	Нижняя окраина развалин кишл. Сабзихарв	1760	гориз.	1959—1974
15	Обихингоу, сп 3б	Нижняя окраина кишл. Иштон	1860	гориз.	1959—1974
16	Обихингоу, сп 4	В 2 км выше кишл. Арганкуль	1920	ЮЗ	1938—1974
17	Обихингоу, сп 4а	Кишл. Хипшун, справа от дороги	1900	гориз.	1959—1974
18	Обихингоу, сп 5	В 2,5 км ниже кишл. Сангвор	2060	гориз.	1938—1974
19	Обихингоу, сп 5а	В 0,4 км выше развалин кишл. Рехч-Поен	2220	гориз.	1959—1974
20	Обихингоу, сп 6	Выше кишл. Верхний Сыкат	2400	ЮВ	1938—1974
21	Обихингоу, сп 6а	Юго-восточная окраина кишл. Сангвор	2240	гориз.	1961—1974
22	Обихингоу, сп 7	Кишл. Верхний Арзинг	2540	З	1938—1974
23	Обихингоу, сп 8	В 100 м выше кишл. Пашимгар	2660	ЮВ	1951—1974
24	Обихингоу, сп 9	Кишл. Ляйрун	1980	гориз.	1952—1974
25	Обихингоу, сп 10	В 1 км выше кишл. Бирса	2520	Ю	1952—1974
26	Обихингоу, сп 11	Кишл. Рога	2480	гориз.	1952—1974
27	Обихингоу, сп 12	Выше кишл. Рога	2640	ЮЗ	1952—1974

ЭКСПЕДИЦИОННЫЕ И СТАЦИОНАРНЫЕ ИССЛЕДОВАНИЯ ЛЕДНИКОВ

№ п/п	Номер и название ледника по схеме	Время проведения работ	Характеристика (состав) проведенных исследований	Организация, производящая работы	№ источника по табл. V
1	2	3	4	5	6
1	Баральмос (62—63), Петра Первого (69, 72—74), 85, 88	1897	Пройден до верховьев ледника Баральмос, дано описание поверхности ледника, места соединения с ним притока, морен. Открыты и впервые описаны ледник Петра Первого и основные его притоки, характер соединения их с главным потоком, морены, конец ледника. Сделаны зарисовки и фотографии ледников	РГО (В. И. Липский)	17, 19
2	Зюрюзамин (90—92), 104, 112—114, Юзман (124—125), 127, Пир-Ях (129), Верешкай (135), 137—139, Гусаляхана (142), 144—147, 148—154, Сафидак (155), Вангут (158), Бурс (307—310), Сытарги (315—319), 345, 348—350, Скогач (353), Батрут (359, 362) Мазарский (392—393), Дарвазский (406, 407, 411, 413)	1899	Первое посещение целого ряда ледников. В бассейне р. Обимазар пройдены с большим трудом языки ледников Тихарви (Мазарский) и Арнават (Дарвазский) с трещинами и бугристой поверхностью, заваленной черной мореной большой мощности. Долина р. Бохуд обследована целиком с посещением всех крупных боковых долин с ледниками «одинакового типа». Отмечены морфологические особенности ледников и строение их поверхности, а также питание ледников обвалами снежных масс, висящих на крутых склонах в верховьях ледников. Краткая характеристика ледников, питающих правые притоки р. Обихингоу между устьями рек Киргизоб и Сангоба. Обследована ледниковая группа Юзман. Отмечены некоторые особенности ледниковых долин. Несколько ледников северного склона хр. Петра Первого и ледник Пир-Ях отмечены издали	РГО (В. И. Липский)	17, 18
3	Баральмос (62), Петра Первого (69), Юзман (124—125), Пир-Ях (129)	1904, 1905	Первое посещение и описание ледника Пир-Ях и его долины. Подробное описание характера поверхности и морен ледников Петра Первого, Баральмос (назван автором Товарбек) и Юзман. Отмечены изменения концов ледников за время после посещения их В. И. Липским. Оставлены метки у края ледников Пир-Ях и Юзман	Санкт-Петербургское Минералогическое общество (Я. С. Эдельштейн)	34
4	Баральмос (62), Петра Первого (69), Зюрюзамин (90), 104, Юзман (124), Пир-Ях (129), Девлохан (178), Гандо (188), Гармо (224)	1913	Выполнены измерения высоты концов крупных ледников хр. Петра Первого. Впервые пройден ледник Гармо-Беляева. Изучалась морфология ледников и ряд вопросов древнего оледенения	Австро-немецкий альпийский клуб	12, 13, 28, 36
5	Долины рек Карашура и Обихингоу	1916	Пересечение хр. Петра Первого через Тупчек и пер. Гарданикофтар. Первое исследование геоморфологии и древнего оледенения этого района	РГО (Д. В. Наливкин)	23, 29
6	Гармо (224), Вавилова (231), 232, 247, 248, Ванчдара (264)	1916	Рекогносцировочное обследование долины и ледника Гармо до западных склонов хр. Академии Наук. Составлена схематическая карта ледника, впервые дано описание некоторых его притоков. Пройден ледник Ванчдара, в его верховьях открыт Пулковский перевал, ведущий в долину р. Ванч	РГО (Я. И. Беляев)	3, 4, 5, 30
7	Девлохан (178), Гандо (188, 189), Дорофеева (191), Гармо (224), Вавилова (231), Шокальского (240)	1931	Впервые пройден и снят фототеодолитом весь ледник Гандо и его юго-восточная ветвь (ледник Дорофеева), а также конец ледника Девлохан. Выполнена фототеодолитная съемка долины и языка ледника Гармо, пройдены разведочным маршрутом ледники Гармо, Вавилова, Шокальского до их верховьев. Установлена связь ледника Гармо с	Памирская высокогорная экспедиция АН СССР	14, 15, 30, 33

№ п/п	Номер и название ледника по схеме	Время проведения работ	Характеристика (состав) проведенных исследований	Организация, производящая работы	№ источника по табл. V
1	2	3	4	5	6
			системой ледника Гандо. Подробно описаны поверхности ледников, системы боковых притоков, характер впадения притоков		
8	Верешкай (135), Девлохан (178, 179, 181, 185) Гармо-Беляева (224), Липского (228—230), Вавилова (231), 232—237, 239, 253, 257—259	1932	Впервые обследован цирк ледника Беляева. Выполнена фототеодолитная съемка ледников Беляева и Вавилова, а также долин Бохуд и Киргизоб. Расшифрована многолетняя «загадка пика Гармо», окончательно установлено местонахождение высшей точки Советского Союза (7495 м). При геологических работах снова посещались и описывались языки ледников Гандо и Гармо. К. К. Марковым дана подробная характеристика морфологии ледника Гармо, Вавилова, Девлохан и их притоков, особенностей питания, отмечено положение концов ледников. Изучена геоморфология долин, отмечены следы древнего оледенения	Таджикская комплексная экспедиция АН СССР	15, 20, 26, 31, 32
9	Девлохан (178), бассейн ледника Гандо	1948	Гляцио-геоморфологические исследования в долине ледника Гандо и частично в бассейне ледника Девлохан. Собраны данные о высоте снеговой линии на разных склонах, типах ледников, описаны морены, мертвый лед, положение концов ледников. Установлено отступание ледников в обоих бассейнах	Памирский отряд ИГАН (Е. В. Тимашев)	27, 28, 32
10	Гармо (224), Вавилова (231), 232, 247—248	1950	Е. В. Тимашев составил описание поверхности концевой части ледника Гармо, а также характера питания ледника, собрал данные по состоянию притоков ледников Гармо и Вавилова	Альпинистская экспедиция ДСО «Локомотив»	7, 32
11	Гармо (224), Сытарги (319), Мазарский (392)	с 1957	Начаты и проводятся до настоящего времени наблюдения за положением концов ледников. Тахеометрические съемки концов языков повторяются через 2—3 года	УГМС ТаджССР	9
12	Скогач (353)	1969—1972	Комплексные стационарные гляциологические работы в течение периода абляции. Метеорологические и гидрологические наблюдения, измерения абляции, скорости движения льда, снегосъемки в верховьях ледника, топографические съемки конца ледника	Гидрографическая партия УГМС ТаджССР	24
13	Бассейн р. Обихингоу в целом	1968—1971	Облеты всех ледников района на вертолете. Аэровизуальное дешифрирование аэрофотоснимков с целью каталогизации ледников. Фотосъемка ледников	ИГАН	
14	Сытарги (319), Скогач (353), Писода (526)	1969—1970	Наблюдения за режимом фирновых областей ледников. Снегомерная съемка по продольному и ряду поперечных профилей, описание строения толщи фирна в шурфах, измерения плотности и температур в толще	ИГАН	2

ТАБЛИЦА V

СПИСОК РАБОТ, СОДЕРЖАЩИХ СВЕДЕНИЯ О ЛЕДНИКАХ

№ п/п.	Номер и название ледника по схеме	Автор и наименование работы	Место издания работ	Краткая аннотация
1	2	3	4	5
1	Оледенение бассейна р. Киргизоб	Арапов Ю. А. Петрографические и геологические наблюдения в верховьях р. Хингоу	«Труды Таджикской комплексной экспедиции 1932 г.», 1935, вып. 17	Геологическая съемка, в том числе в районе ледников Гандо и Девлохан. Отмечено положение конца ледника Девлохан
2	Сытарги (319), Скогач (353), Писода (526)	Проблемы современного оледенения Памиро-Алая. Авт.: А. Б. Бажев, Г. М. Варнакова, В. М. Котляков, О. В. Рототаева	«Труды САРНИГМИ», 1974, вып. 14 (95)	Сведения о работах по изучению режима фирновых областей ледников. Приводятся составляющие баланса массы ледника Писода
3	Гармо (224), Вавилова (231), 232, 247—248, Ванчдара (264)	Беляев Я. И. На ледниках Гармо	«Изв. РГО», 1919—1923, т. 55, вып. 1	Маршрутное обследование долины и ледника Гармо, некоторых его притоков и ледника Ванчдара, через верховья которого найден путь в долину р. Ванч
4	Оледенение бассейна р. Гармо	Беляев Я. И. Схематическая карта реки и ледника Гармо и истоков р. Ванч	«Изв. РГО», 1928, т. 60, вып. 1	Первая схематическая карта бассейна ледника Гармо, составленная по материалам работ 1916 г.
5	Девлохан (178), Гармо (224), Вавилова (231), Шокальского (240), Ванчдара (264)	Беседин П. И. На ледниках Гармо. Дарваз	«Изв. РГО», 1919—1923, т. 55, вып. 1	Описание конца ледника Девлохан, относительное положение конца ледника Гандо. Краткая характеристика поверхности ледника Гармо и крупных притоков левого склона
6	Район оледенения в целом	Вологдин А. Г. Вахио-и-Болё (Дарваз и хребет Петра Великого)	В кн.: «Таджикская комплексная экспедиция 1932 г.» Л., Госхимтехиздат, 1933	Орография и следы древнего оледенения в бассейне р. Обихингоу, различие рельефа Дарвазского хребта и хр. Петра Первого. История изучения района, в том числе ледников
7	Гармо (224), Вавилова (231), 232	Гарф Б. А. К верховьям ледника Гармо	В кн.: Побежденные вершины. Ежегодник советского альпинизма. Год 1951. М., Географгиз, 1952	Краткое описание поверхности ледников
8	Район оледенения в целом	Забиров Р. Д. Оледенение Памира	М., Географгиз, 1955	Характеристика орографии и оледенения хребтов Академии наук, Петра Первого и Дарвазского
9	Гармо (224), Сытарги (319) Мазарский (392)	Колебания ледников Средней Азии в последние десятилетия. Авт.: Л. А. Канаев, Н. В. Максимов, А. Т. Мошкин, В. И. Рацек, А. Г. Санников, Л. Н. Соколов, В. Ф. Суслов, В. П. Фатеев, А. С. Щетинников	«Труды САРНИГМИ», 1974, вып. 14 (95)	Изменения положения концов ледников с 1957 по 1971 г.
10	Район оледенения в целом	Кеммерих А. О. Воды Памира и Памиро-Алая	М., «Мысль», (в печати)	Гидрологическая характеристика бассейна
11	62, 69, 90, 104, 124, 129, 135, 150, 155, 158, 162, 178, 188, 224, 228, 240, 264, 307, 315, 345, 348, 353, 392	Корженевский Н. Л. Каталог ледников Средней Азии	Ташкент, 1930	Систематизированы данные по основным крупным ледникам бассейна, описанным до 1930 г. разными авторами
12	Оледенение бассейна р. Обихингоу	Корженевский Н. Л. Краткий обзор исследования ледников Средней Азии с 1907 по 1932 г.	«Изв. ГГО», 1934, т. 66, вып. 4	Приводится большой список литературы, в том числе по ледникам бассейна р. Обихингоу
13	Гармо (224)	Корженевский Н. Л. О морфологии и гипсометрии хр. Академии наук СССР	«Труды ин-та геол. АН УзССР», 1948, вып. 2	История изучения хребта, в том числе экспедиции на ледники истоков р. Обихингоу. Отмечен характер питания ледников западного склона

№ п/п	Номер и название ледника по схеме	Автор и наименование работы	Место издания работ	Краткая аннотация
1	2	3	4	5
14	Девлохан (178), Гандо (188), Дорофеева (189), Гармо (224)	Крыленко Н. В., Щербаков Д. И., Памирская высокогорная экспедиция	В кн.: Экспедиции Всесоюзной Академии наук 1931 г. Л., 1932	Основные результаты экспедиции 1931 г.
15	Оледенение бассейна верховьев р. Обихингоу	Крыленко Н. В., Щербаков Д. И., Марков К. К. Пять лет по Памиру	М.—Л., Изд-во АН СССР, 1935	Описание маршрутов и итоги памирских экспедиций 1928, 1929, 1931—1933 гг.
16	Гандо (188)	Летавет А. А. Десять путешествий в горах Средней Азии	В кн.: 25 лет советского альпинизма. М., Географгиз, 1949	Впервые пройден язык ледника Гандо на протяжении 10 км, сплошь закрытый мореной
17	Баральмос (62, 63), Петра Первого (69, 72—74), 85, 88	Липский В. И. Хребет Петра Великого и его ледники	«Изв. РГО», 1898, т. 34, вып. 3	Описание путешествия 1897 г.
18	Оледенение хребтов Петра Первого, Дарвазского и Мазарского	Липский В. И. Ледниковые области Арзинга, Мазара и Мука	«Изв. РГО», 1899, т. 35, вып. 6	Описание путешествия 1899 г.
19	90—92, 104, 112—114, 124, 125, 127, 129, 135, 137—139, 142, 144—147, 148—154, 155, 158, 307—310, 315—319, 345, 348—350, 353, 359, 362, 392, 393, 406, 407, 411, 413	Липский В. И. Горная Бухара. Результаты трехлетних путешествий в Среднюю Азию в 1896, 1897 и 1899 годах. Часть 2 (1897 г.). Часть 3 (1899 г.)	СПб, Изд. РГО, 1902, (ч. 2), 1905, (ч. 3)	В 1897 г. исследованы ледники Баральмос, Петра Первого и их притоки. В 1899 г. автор посетил, описал или отметил не менее 50 ледников хребтов Петра Первого, Дарвазского и Мазарского
20	Бассейны ледников Девлохан, Гармо, Вавилова, Верешкай	Марков К. К. Геоморфологический очерк Северного Памира и Вахии по наблюдениям 1932—1933 гг.	«Труды ледниковых экспед. 2-го МПГ», 1936, вып. 1	Описание морфологических особенностей ледников. Геоморфология и древнее оледенение долины р. Обихингоу
21	Баральмос (62, 63) Петра Первого (69, 72—74)	Мушкетов И. В. Исследования ледников в России в 1897 г.	«Изв. РГО», 1898, т. 34, вып. 5	Описание маршрута, экспедиции Липского В. И. 1897 г.
22	Гармо (224), Вавилова (231)	Науменко В. С. Покорение пика Гармо	В кн.: «Побежденные вершины. Ежегодник советского альпинизма. Год 1949. М., Географгиз, 1949	Первовосхождение на пик Гармо через ледник Вавилова
23	Оледенение бассейнов рек Карашура, Обихингоу	Наливкин Д. В. Предварительный отчет о поездке летом 1915 г. в Горную Бухару и на Западный Памир	«Изв. РГО», 1916, т. 52, вып. 3	Первое описание следов древнего оледенения в долинах рек Карашура и Обихингоу. Формы древних ледников
24	Скогач (353)	Сапников А. Г., Яблоков А. А. Некоторые результаты изучения ледника Скогач	«Труды САРНИГМИ», 1974, вып. 14 (95)	Состав комплексных гляциологических работ летнего стационара 1969—1972 гг., некоторые результаты наблюдений
25	Оледенение бассейна верховьев р. Обихингоу	Таджикская комплексная экспедиция 1932 г.	Л., Госхимтехиздат, 1933	Организация экспедиции и итоги ее работы
26	Гандо (188), Гармо (224)	Тагеева А. О ледниках западного Памира Гандо, Гармо и Ванч	«Изв. ГГО», 1934, т. 66, вып. 4	Маршрутное описание поверхности ледников, положение концов. Приведена схематическая карта ледника Гандо (по И. Г. Дорофееву)
27	Девлохан (178), бассейн ледника Гандо (188)	Тимашев Е. В. Исследование ледника Гандо в 1948 г.	В кн.: Побежденные вершины. Ежегодник советского альпинизма. Год 1949. М., Географгиз, 1949	Составлена морфологическая схема «котловины Гандо». Описание ледников, типы ледников, высота снеговой линии, морены, мертвый лед. Установлено отступание ледников Гандо и Девлохан.
28	Девлохан (178), Гандо (188)	Тимашев Е. В. Отступание конца ледника Девлохан за 35 лет	«Изв. ВГО», 1954, т. 86, вып. 1	Установлено постепенное отступание конца ледника Девлохан за 35 лет на 3100 м (по долине), или 235 м по высоте. Ледник Гандо также сокращается

Продолжение табл. V

№ п/п	Номер и название ледника по схеме	Автор и наименование работы	Место издания работ	Краткая аннотация
1	2	3	4	5
29	Оледенение хр. Петра Первого	Тимашев Е. В. Хребет Петра Первого	В кн.: Побежденные вершины. Ежегодник советского альпинизма. Год 1953. М., Географгиз, 1954	История изучения хребта, в том числе ледников. Особенности водораздела хр. Петра Первого в районе ледника Баральмос
30	Оледенение бассейна верховьев р. Обихингоу	Чистовский О. Г. В стране великих гор	М., Географгиз, 1959	О высокогорной топографической памирской экспедиции 1945—1949 гг. История топосъемок на Памире, в том числе работ на ледниках
31	Гандо (188), Дорофеева (191), Гармо (224), Вавилова (231), Шокальского (240)	Щербаков Д. И. Памирская высокогорная экспедиция 1931 г.	«Труды Памирской экспедиции 1931 г.», 1933, вып. 1 (16)	Маршруты и основные итоги работ экспедиции 1931 г.
32	Оледенение бассейнов рек Киргизоб, Гармо, Бохуд и правых притоков Обихингоу	Щербаков Д. И. Восточная часть хребта Петра Великого	В кн.: Таджикская комплексная экспедиция 1932 г. Л., Геохимтехиздат, 1933	Геологические работы и топографические съемки во время работ экспедиции 1932 г., в том числе в районе ледников
33	Гармо (224)	Щербаков Д. И. Высочайшие вершины и оледенение Северо-Западного Памира	«Природа», 1953, № 4	Краткая история изучения ледников Памира. Описание ледника Гармо
34	Баральмос (62), Петра Первого (69), Юзман (124), Пир-Ях (129)	Эдельштейн Я. С. Несколько замечаний о ледниках хребта Петра Великого	«Изв. РГО», 1906 г., т. 42, вып. 1	Описание ледников. Отмечено изменение их концов со времени посещения В. И. Липским
35	Баральмос (62), Петра Первого (69), Зюрюзамин (90), 104, Юзман (124), Пир-Ях (129), Девлохан (178), Гандо (188), Гармо (224)	Klebelsberg R. Beitrage zur geologie Westturkestans	Insbruck, 1922	Определено положение концов ледников в 1913 г. Морфология ледников, вопросы древнего оледенения

ДОПОЛНИТЕЛЬНЫЕ МАТЕРИАЛЫ

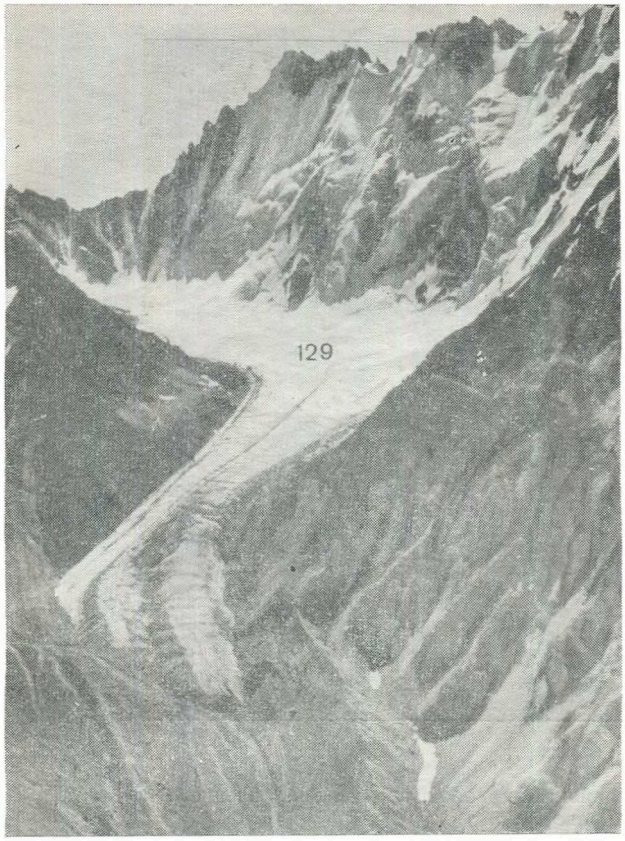


Рис. 46. Ледник Пир-Ях (№ 129), хр. Петра Первого.

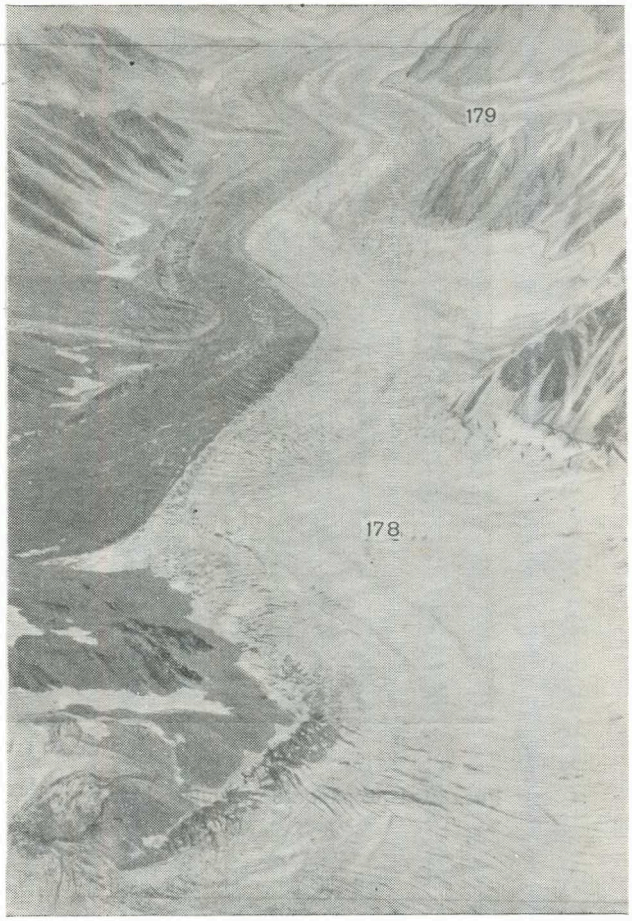


Рис. 48. Ледник Девлохан (№ 178).

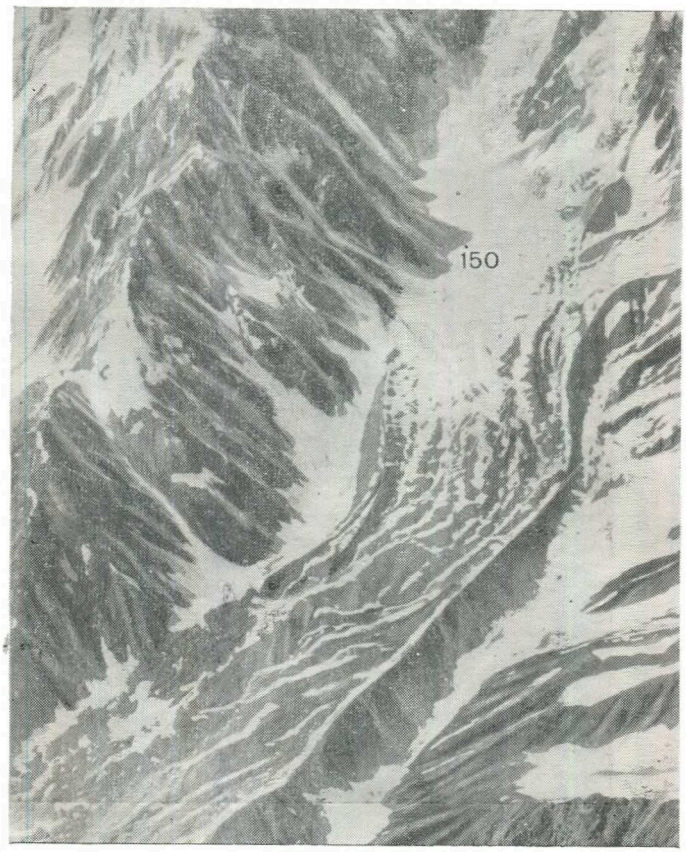


Рис. 47. Ледник Джигели (№ 150) на южном склоне хр. Петра Первого.

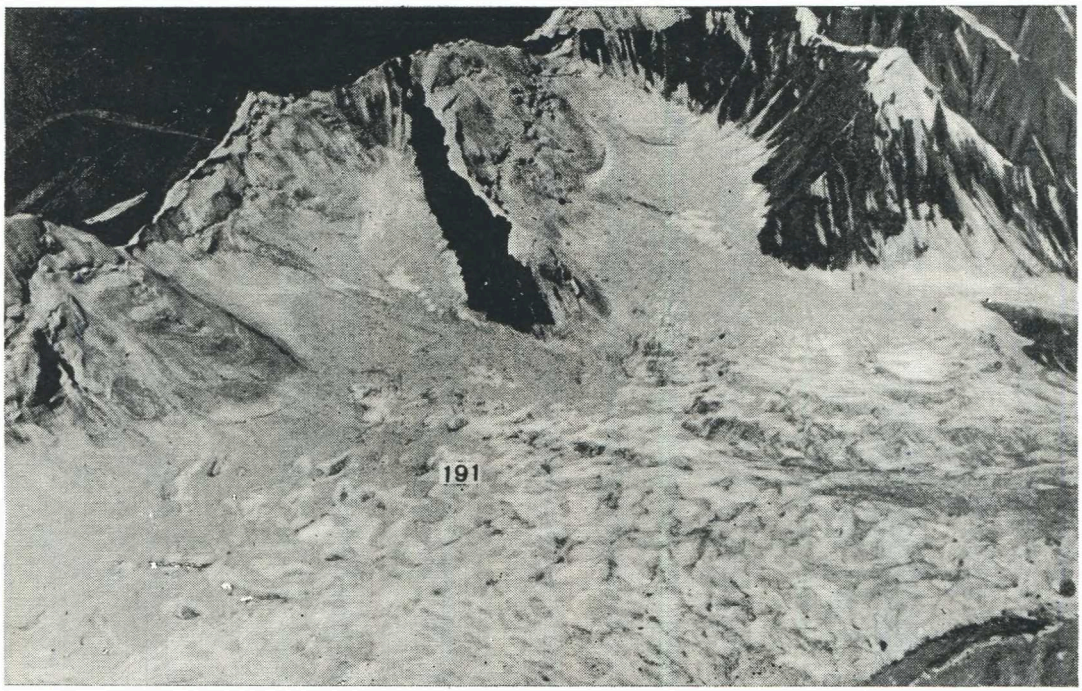


Рис. 49. Поверхность ледника Дорофеева (№ 191) в районе фирновой линии (направление течения льда слева направо).

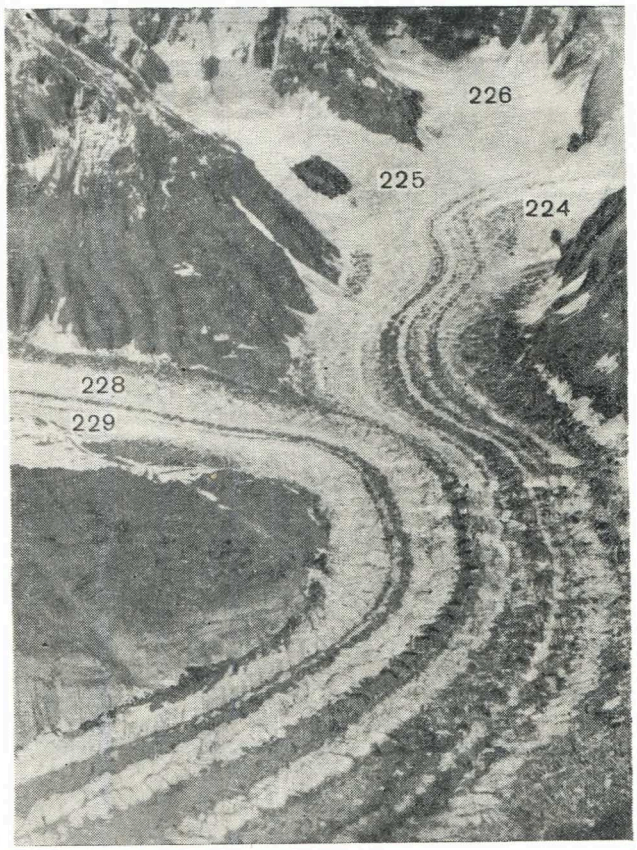


Рис. 50. Ледник Гармо. Участок слияния ледников Беляева (№ 224—227) и Липского (№ 228—230).

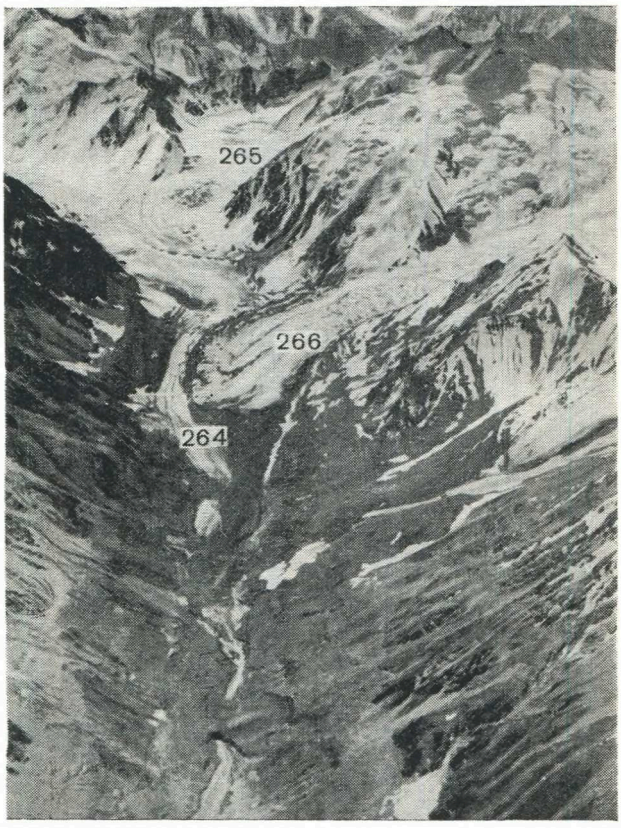


Рис. 51. Ледник Ванчдара (№ 264—266) в бассейне ледника Гармо.

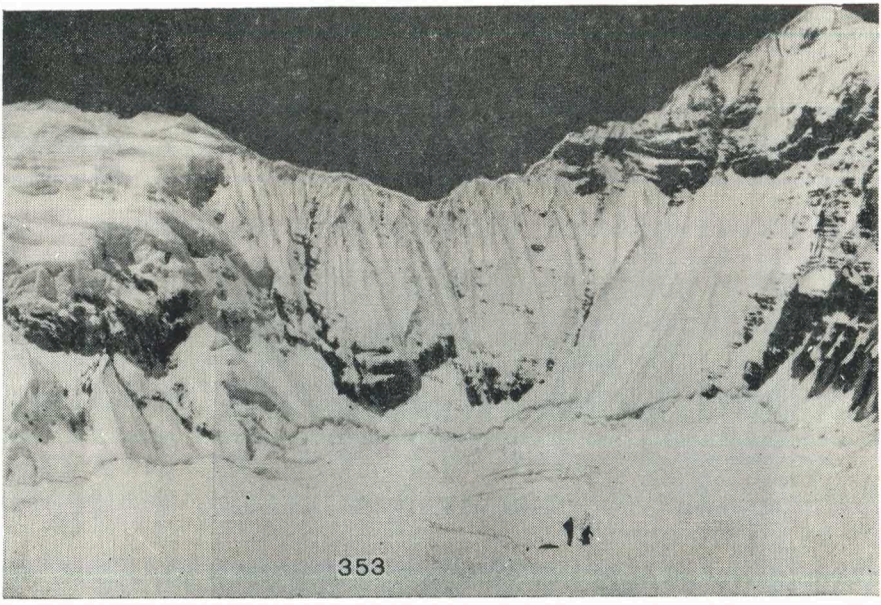


Рис. 52. Типичный участок фирновой области ледника Скогач (№ 353).



Рис. 53. Поверхность ледника Скогач (№ 353) в среднем течении.

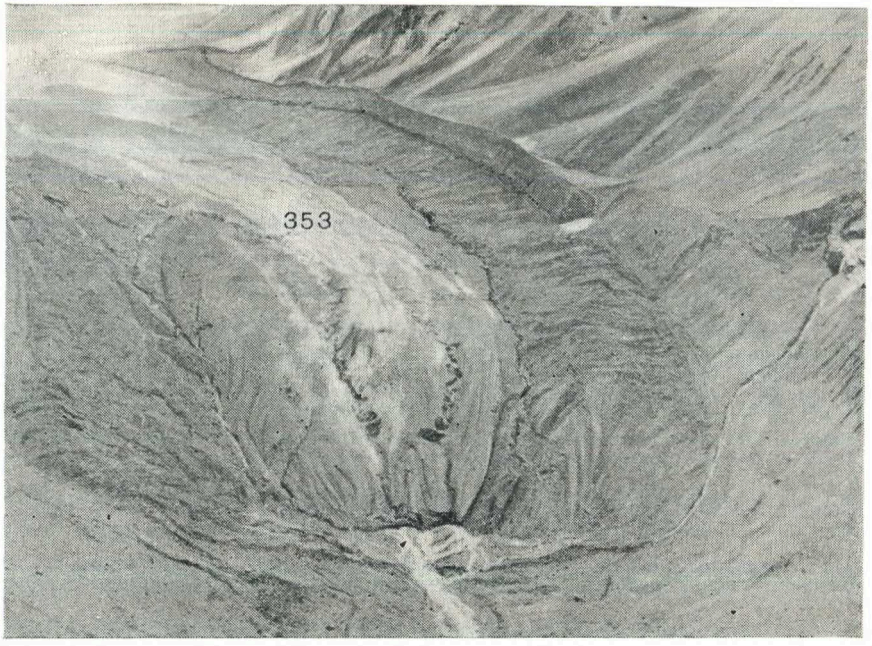


Рис. 54. Конец языка ледника Скогач (№ 353).

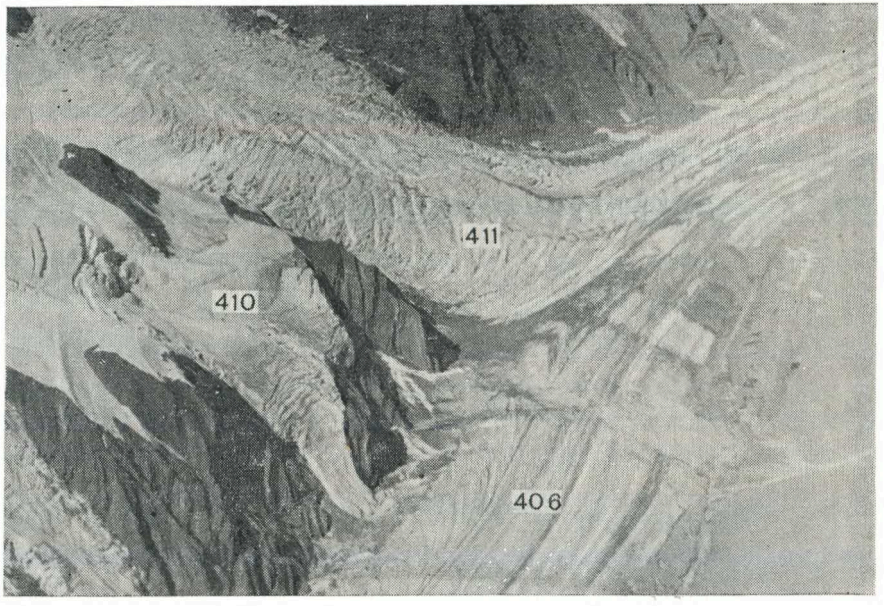


Рис. 55. Участок слияния Дарвазского ледника (№ 406) с его левым притоком № 411.

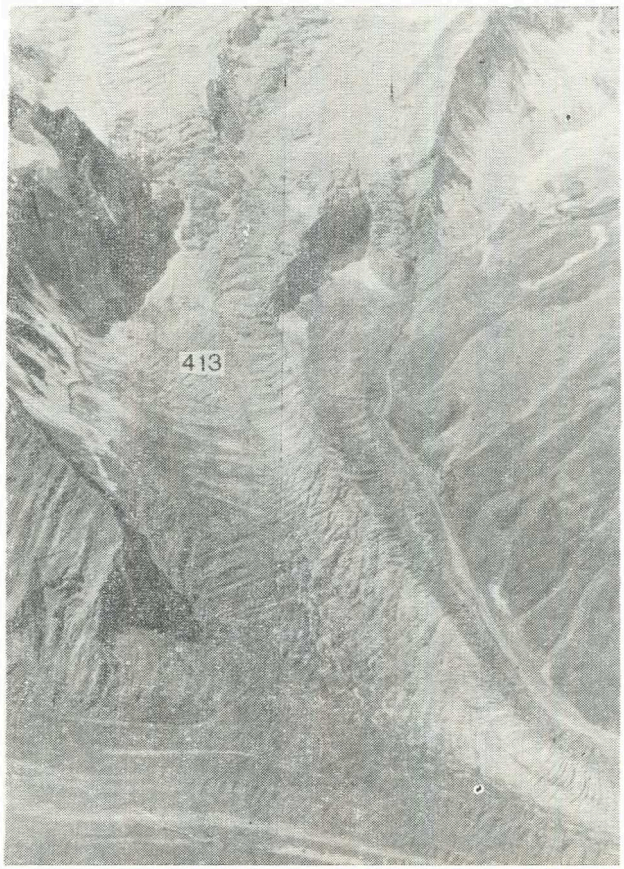


Рис. 56. Левый приток Дарвазского ледника (№ 413).

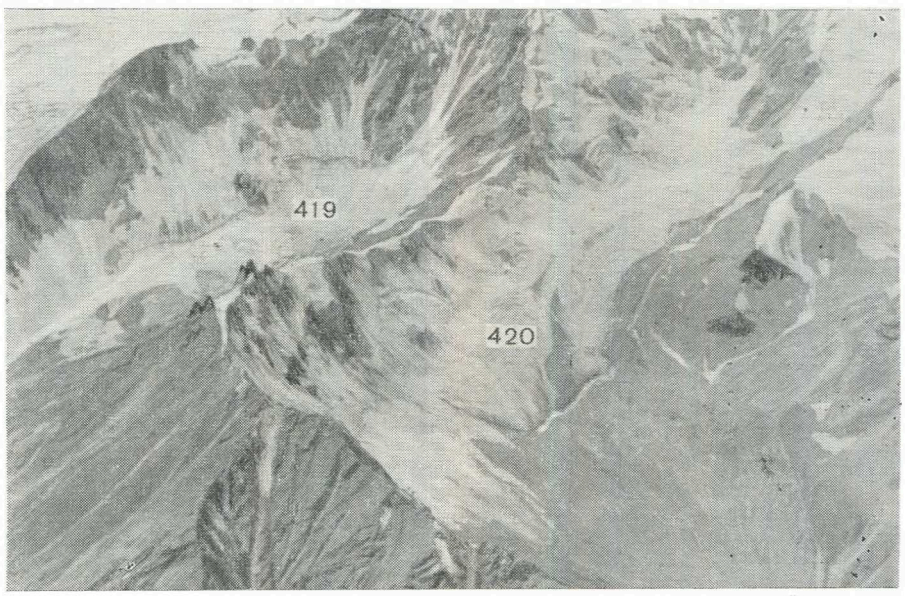


Рис. 57. Асимметричные долинные ледники № 419, 420 в бассейне Дарвазского ледника.

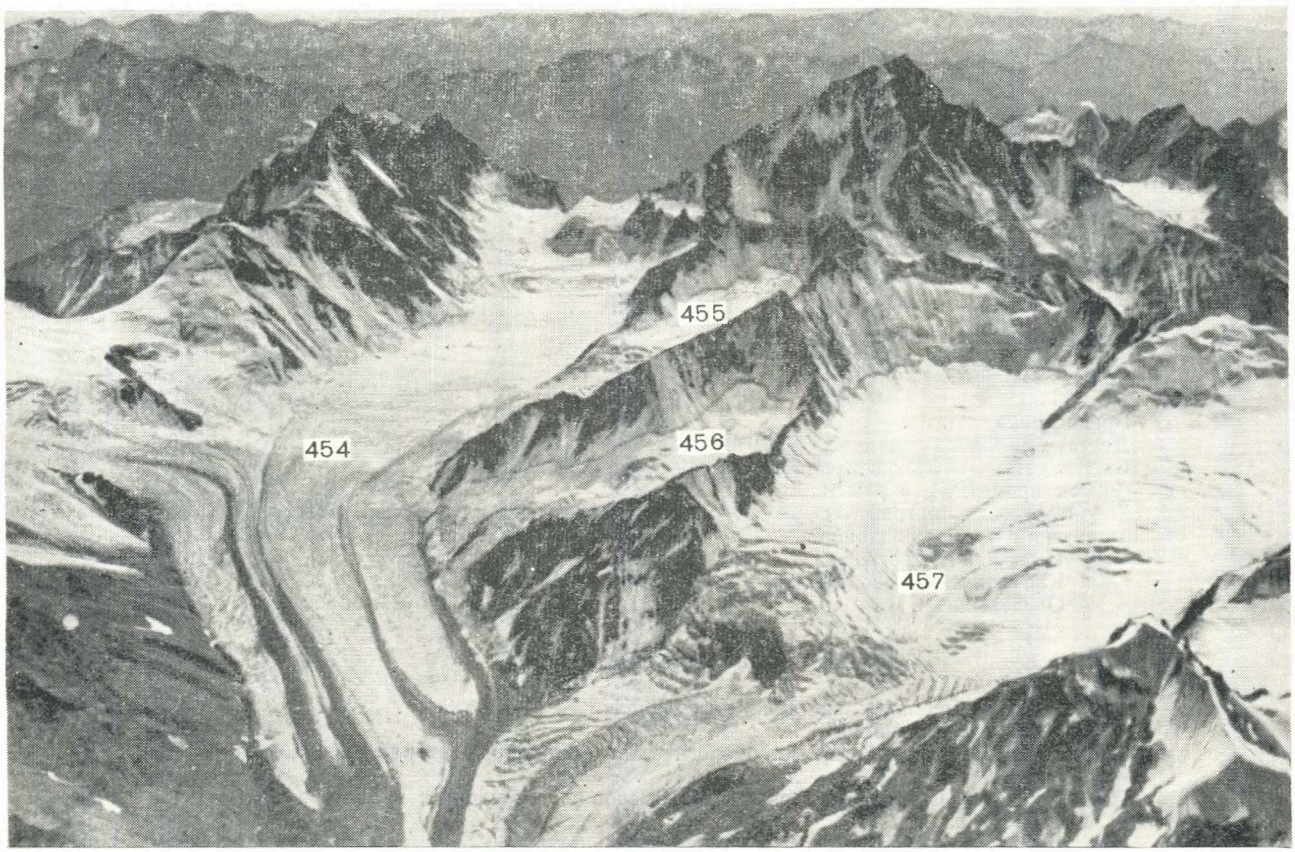


Рис. 58. Сложный долинный ледник (№ 452—457) в истоках р. Дархарвак.

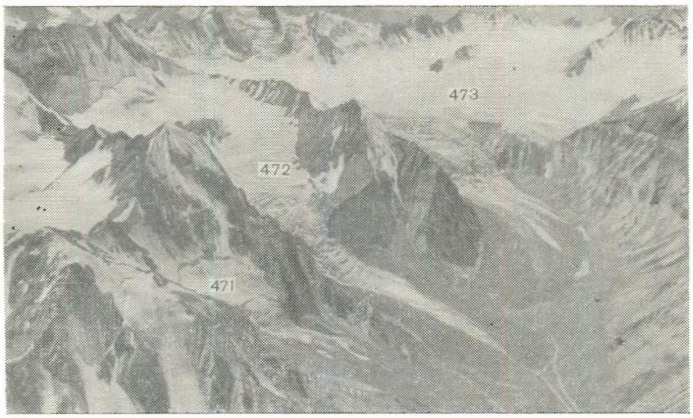


Рис. 59. Характер оледенения Дарвазского хребта в верховьях р. Дархарвак (ледники № 472, 473).

СОДЕРЖАНИЕ

Предисловие 3
Деление Каталога ледников СССР на тома, выпуски и части 6
Список томов, выпусков и частей Каталога ледников СССР 8
Список принятых сокращений 9
Характеристика географического положения, климатических условий, морфологии и режима ледников 10
Рельеф и гидрография 10
Климатические особенности и гидрологический режим 13
Оледенение 15

Основные таблицы Каталога ледников

Таблица I. Основные сведения о ледниках 50
Пояснения к таблице I 82
Таблица II. Список гидрометеорологических станций и постов в районе ледников 96
Таблица III. Список суммарных осадкомеров и снегомерных пунктов в районе ледников 97
Таблица IV. Экспедиционные и стационарные исследования ледников . . . 98
Таблица V. Список работ, содержащих сведения о ледниках 100
Дополнительные материалы 103

Каталог ледников СССР, т. 14, вып. 3, ч. 9

Редактор И. С. Якорь

Техн. редактор Н. Ф. Грачева

Корректор Л. А. Сандлер

ИБ № 1014

Сдано в набор 14/VI 1977 г. Подписано к печати 3/II 1978 г. М-09247. Формат 60×90¹/₈. Бумага тип. № 1. Печ. л. 14. Уч.-изд. л. 16,27. Тираж 320 экз. Индекс ГЛ-259. Зак. 192. Цена 1 р. 10 к. Гидрометеоиздат. 199053. Ленинград, 2-я линия, д. 23.

Типография издательства «Волгоградская правда». г. Волгоград. Привокзальная площадь. Дом печати.